

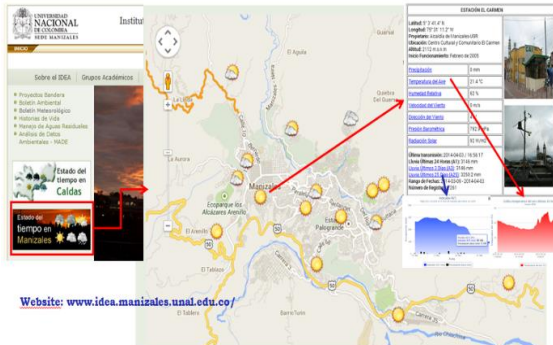
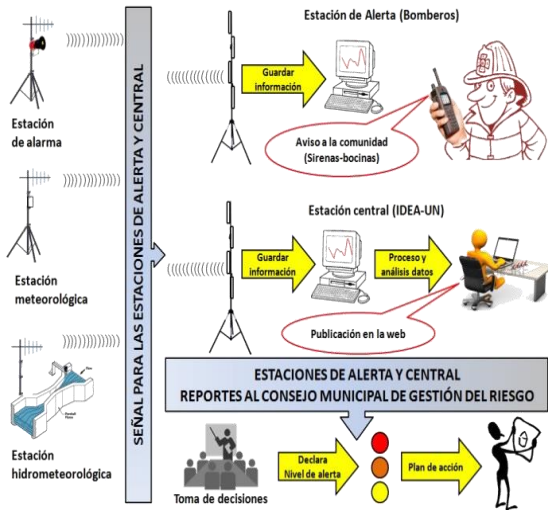


UNIVERSIDAD
NACIONAL
DE COLOMBIA



UNIVERSIDAD NACIONAL DE COLOMBIA SEDE MANIZALES

INSTITUTO DE ESTUDIOS AMBIENTALES – IDEA



Website: www.idea.manizales.unal.edu.co/



PROYECTO:
OPERACIÓN Y MANTENIMIENTO
PREVENTIVO Y CORRECTIVO A
LAS REDES HIDROMETEOROLÓGICAS,
DE CALIDAD DEL AIRE Y SÍSMICA
EN EL DEPARTAMENTO
DE CALDAS

CONVENIO 221 de 2016

AFOROS LÍQUIDOS EN RÍOS
Y QUEBRADAS DE MANIZALES
Y DEL DEPARTAMENTO DE CALDAS
2017-2019

Marzo de 2020



AFOROS LÍQUIDOS EN RÍOS Y QUEBRADAS DE MANIZALES Y DEL DEPARTAMENTO DE CALDAS 2017-2019

1 Contenido

1. INTRODUCCIÓN	4
2. DESCRIPCIÓN	8
3. METODOLOGÍA.....	12
3.1 Selección de la sección de aforo	13
3.2 Levantamiento topográfico	14
3.3 Realización del aforo líquido.....	15
4. RESULTADOS	19
4.1 Quebrada Cristales – Valles de la Alhambra	20
4.2 Quebrada El Bohío – Vereda el Águila	23
4.3 Quebrada El Guamo – CDI San Sebastián	26
4.4 Quebrada El Guamo – Lavadero Los Puentes.....	29
4.5 Quebrada el Perro - Expoferias.....	32
4.6 Quebrada El Rosario – San Marcos de León	35
4.7 Quebrada El Triunfo – Mirador de Villapilar	38
4.8 Quebrada Guayabal – Recinto del pensamiento	41
4.9 Quebrada La Francia – Los Puentes.....	44
4.10 Quebrada las Pavas – Autopistas del café	47
4.11 Quebrada Manizales - Skinco.....	50
4.12 Quebrada Manzanares – Industrias Básicas de Caldas.....	53
4.13 Quebrada Marmato – Planta CHEC	56
4.14 Quebrada Olivares – Aguas de Manizales	59
4.15 Quebrada Olivares – Bocatoma	62
4.16 Quebrada Olivares – Bomberos Voluntarios	65
4.17 Quebrada Olivares – El Popal.....	68
4.18 Quebrada Palogrande – Ruta 30.....	71



4.19	Quebrada Palogrande – Terminal de Transportes.....	74
4.20	Quebrada Salinas – Relleno Sanitario EMAS	77
4.21	Quebrada Tesorito	80
4.22	Río Chinchiná – Bosque Popular	83
4.23	Río Chinchiná – Cenicafé.....	86
4.24	Río Chinchiná – El Bosque.....	89
4.25	Río Doña Juana – Vía la Dorada Norcasia	92
4.26	Río Guacaica - CHEC.....	95
4.27	Río Guacaica – El Jordán	98
4.28	Río Pácora	101
4.29	Río Pensilvania - Microcentral	104
4.30	Río Pozo – Vía la Merced Pácora	107
4.31	Río Rioclaro – La Batea.....	110
4.32	Río Rioclaro – La Guayana.....	113
4.33	Río Risaralda – Camping La Palmera.....	116
4.34	Río Santo Domingo – Manzanares.....	119
4.35	Río Supía – Los Piononos	122
4.36	Río Supía – Supía.....	125
4.37	Río Tapias	128
4.38	Resumen ecuaciones de calibración.....	131
4.39	Resultados de los aforos de caudal sólido	132
4.39.1	Quebrada el Rosario – Autopistas.....	132
4.39.2	Quebrada Olivares – Bocatoma	134
4.39.3	Quebrada Olivares – el Popal.....	135
4.39.4	Quebrada Salinas – EMAS	137
4.39.5	Río Chinchiná – Cenicafé	138
4.39.6	Río Chinchiná – el Bosque	140
5.	CLASIFICACIÓN DE LOS RÍOS	141
5.1	Clasificación aplicada a los ríos de Caldas	142



5.2	Mapas de clasificación	149
6.	ANEXOS	173
7.	REFERENCIAS.....	173

1. INTRODUCCIÓN

Este informe tiene como fin presentar la correlación nivel – caudal obtenida a partir de los aforos realizados en 37 estaciones hidrometeorológicas de monitoreo. Respecto al informe de aforos anterior (entregado en el 2017) se han presentado algunos cambios con el fin de mejorar dichas curvas de calibración, los que se indican a continuación:

- Se ha realizado un cambio en la tara de cada estación, con el fin de prevenir niveles negativos producto de los procesos de socavación que se puedan presentar en los cauces.
- Se han revisado tanto los aforos como las series de nivel, corrigiendo errores de medición.
- Constantemente se revisan de manera detallada las series de nivel, comprobando que los valores arrojados por el sensor son consistentes con otras variables como la precipitación.
- Se hacen visitas técnicas de mantenimiento correctivo y preventivo a las estaciones siempre que sea necesario.
- Se han revisado en detalle las curvas de calibración con los resultados de los aforos.
- Como parte de la contrapartida de la UN desde el 2019 se vienen realizando aforos sólidos, para lo que el equipo de trabajo en ingeniería hidráulica y ambiental determinó darle prioridad a la cuenca de la quebrada Olivares y el Río Chinchiná, por ser las dos principales corrientes de la ciudad. De manera, que se anexa un capítulo con dichos resultados. Aún se tienen muy pocos resultados y



por tanto no se anexan curvas de relación entre caudal líquido y sólido, las que se espera adjuntar en futuros informes.

Por tal razón, este informe reemplaza al anterior, es decir, que las curvas propuestas en este informe son las vigentes a la fecha.

Realizar aforos líquidos en una corriente de agua natural o artificial significa determinar el caudal que pasa por la corriente, para diversos fines y en áreas diversas de las ciencias de la tierra. Sin embargo, los aforos no se pueden realizar con frecuencia en razón de sus costos y de las dificultades que para ello ofrecen las condiciones ambientales, por lo que una práctica usual es encontrar relaciones de carácter empírico que permitan correlacionar el nivel (Z) con el caudal (Q). Esto se hace de esta manera porque el nivel sí se puede determinar fácilmente por medio de observación directa sobre una mira, o por medio de sensores de nivel. De tal forma que, con los aforos realizados se determina la **curva de calibración de la sección de aforos** (también denominada curva de gasto por otros autores) (Figura 1). Por medio de esta curva se obtienen a su vez los hidrogramas de una creciente en la corriente (Figura 1).

Para la determinación adecuada de la curva de calibración se requiere un número de aforos, y entre mayor es el número, mejor es la correlación obtenida. No existe uniformidad en la cantidad de aforos requeridos, el IDEAM realiza mínimo dos (2) al año (IDEAM, 2007), mientras que otros autores recomiendan diez (10) o más (Marbello Pérez, 2013) pero se considera que lo correcto es determinar el número de aforos a realizar según las condiciones del río (OMM, 2011),

En ríos de morfología constante, estable, o poco variable, la curva de calibración puede ser considerada unívoca y estable. Pero muy pocos ríos llenan esta condición y menos los considerados ríos de montaña (Posada García, 1994).

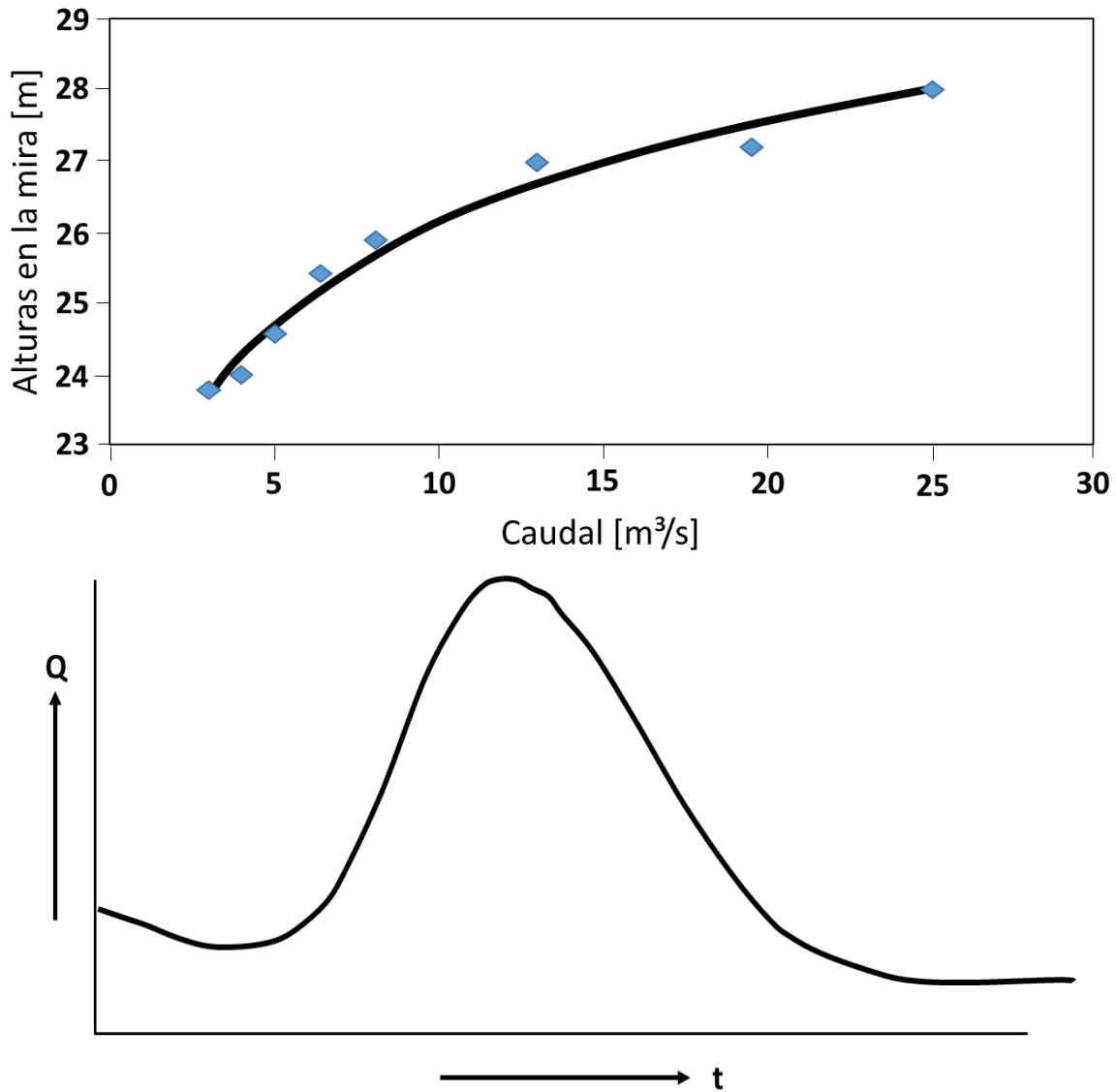


Figura 1. Arriba) curva de calibración de una sección hipotética y abajo) Hidrograma de una hipotética creciente

Para determinar dicha correlación, se han utilizado durante mucho tiempo ecuaciones empíricas de tipo potencial, como la mostrada a continuación.

$$Q = c(Z - Z_0)^b$$

Ecuación 1



Donde Q es el caudal estimado (m^3/s), Z el nivel medido en la mira, limnógrafo o sensor de nivel, Z_0 es el nivel para un caudal 0 y b y c son parámetros de calibración obtenidos mediante los aforos. También se utiliza una expresión polinomial (Herschly, 2009).

$$Q = c_0 + c_1Z + c_2Z^2 + \dots + c_mZ^m \quad \text{Ecuación 2}$$

Esta última tiene la ventaja de que se adapta a cualquier forma de la curva, pero no representa una explicación física del fenómeno (Shiklomanov et al., 2006), y estas formas de calcular el caudal presentan el inconveniente de que no sirven para niveles superiores de flujo, si existen diferencias en la sección (Martínez Plata, 2012).

Otra manera de obtener las curvas de calibración es mediante el uso del método área velocidad, que emplea la ecuación de base física siguiente:

$$Q = vA \quad \text{Ecuación 3}$$

Esta ecuación presenta una base física y siempre tendrá mayor precisión que la anterior; sin embargo, la dificultad radica en establecer una ecuación de velocidad que represente adecuadamente la corriente. Tradicionalmente se han utilizado las ecuaciones de Chezy o Manning (Ecuaciones Ecuación 4 Ecuación 5 respectivamente).

$$v = CS_0^{1/2}R_h^{1/2} \quad \text{Ecuación 4}$$

$$v = \frac{1}{n}S_0^{1/2}R_h^{2/3} \quad \text{Ecuación 5}$$

Donde v es la velocidad del flujo (m/s), C y n son los coeficientes de rugosidad de la superficie sólida de Chézy y Manning respectivamente, S_0 es la pendiente de fondo –que se considera para este caso igual a la pendiente de la superficie del agua e igual a la pendiente de la línea de energía- y R_h es el radio hidráulico.

Estas ecuaciones fueron desarrolladas para flujo uniforme, es decir considerando que ni el área ni la pendiente de fondo cambian, y considerando que la pendiente friccional es



similar a la pendiente de fondo. Esto muy raras veces se da en condiciones naturales, aunque en algunos casos las perturbaciones son tan menores que se pueden despreciar. No ocurre así cuando la rugosidad de fondo tiene un papel importante en la hidrodinámica ya que para estos casos las ecuaciones anteriores generan grandes errores en los cálculos. Tal es el caso de los ríos de montaña, donde los sedimentos son de gran tamaño y la rugosidad juega un papel fundamental en el comportamiento hidráulico de la sección. En dicho caso, se recomienda utilizar el método área-velocidad para el cálculo del caudal, pero con la ley de velocidades determinada por medio de los estudios de Prandtl-Von Karman (Posada García, 1994).

$$v = \left(5.75 \log \frac{12.2 R_h}{k'_s} \right) \sqrt{g R_h S_f} \quad \text{Ecuación 6}$$

Donde v es la velocidad del flujo (m/s), R_h es el radio hidráulico, k'_s es la rugosidad del fondo, g es la aceleración de gravedad y S_f es la pendiente friccional. La rugosidad del fondo se debe calibrar por medio de los parámetros obtenidos en campo, y dependerá del tamaño de las partículas así:

$$\begin{aligned} k'_s &= 3d_{90} \\ k'_s &= 3.5d_{84} \\ k'_s &= 5.2d_{65} \\ k'_s &= 6.8d_{50} \end{aligned} \quad \text{Ecuación 7}$$

La cantidad de aforos necesaria para obtener la mejor correlación entre el nivel y el caudal es variable y depende en general de las características de la corriente a aforar; sin embargo, la Universidad Nacional de Colombia sede Manizales recomienda mínimo 10 aforos.

2. DESCRIPCIÓN

Los ríos y quebradas a los cuales se les realizaron los aforos incluyen estaciones hidrometeorológicas que pertenecen a las redes denominadas en el SIMAC como red SAT

Manizales, Red Caldas y red UDEGER. A continuación, se identifican las estaciones en las que se realizaron aforos:

Tabla 1. Estaciones aforadas

N°	Estación	Ubicación	Altitud	Año instalación	No. de aforos
1	Quebrada Cristales - Valles de la Alhambra	N 5° 2' 18.34" W 75° 27' 22.11"	2091	2015	6
2	Quebrada el Bohío - Vereda el Águila	N 5° 6' 42.45" W 75° 30' 33.23"	1690	2015	7
3	Quebrada El Guamo - CDI San Sebastián	N 5° 5' 13.93" W 75° 29' 10.94"	2120	2015	9
4	Quebrada El Guamo - Lavadero los puentes	N 5° 4' 15.02" W 75° 29' 44.44"	2043	2014	6
5	Quebrada el Perro - Expoferias	N 5° 2' 31.66" W 75° 28' 27.74"	2036	2015	4
6	Quebrada el Rosario - Autopistas	N 5° 2' 41.77" W 75° 35' 48.28"	1131	2017	2
7	Quebrada el Rosario - San Marcos de León	N 5° 3' 46.8" W 75° 32' 48.87"	1621	2015	6
8	Quebrada el Triunfo - Mirador de Villapilar	N 5° 5' 19.54" W 75° 31' 37.36"	2046	2015	6
9	Quebrada Guayabal - Recinto del pensamiento	N 5° 2' 29.84" W 75° 26' 44.32"	1978	2014	8
10	Quebrada la Francia - Los Puentes	N 5° 3' 45.77" W 75° 32' 45.49"	1631	2015	6
11	Quebrada las Pavas - Autopistas del Café	N 5° 1' 33.84" W 75° 35' 16.38"	1222	2015	7
12	Quebrada Manizales - Skinco	N 5° 2' 18.8" W 75° 25' 49.35"	2267	2014	9
13	Quebrada Manzanares - Industrias Básicas de Caldas	N 5° 3' 30.89" W 75° 36' 26.86"	1110	2014	4
14	Quebrada Marmato - Planta intermedia CHEC	N 5° 3' 3.68" W 75° 31' 5.08"	1788	2015	6
15		N 5° 3' 47.53"	2078	2015	4



N°	Estación	Ubicación	Altitud	Año instalación	No. de aforos
	Quebrada Olivares - Aguas de Manizales	W 75° 29' 7.35"			
16	Quebrada Olivares - Bocatoma	N 5° 3' 55.74" W 75° 26' 50.25"	2242	2014	11
17	Quebrada Olivares - Bomberos Voluntarios	N 5° 4' 13.6" W 75° 30' 0.79"	1923	2014	9
18	Quebrada Olivares - El popal	N 5° 3' 43.81" W 75° 28' 26.17"	2091	2011	9
19	Quebrada Palogrande - Ruta 30	N 5° 3' 20.42" W 75° 30' 3.31"	1986	2008	2
20	Quebrada Palogrande - Terminal de Transporte	N 5° 3' 3.88" W 75° 30' 25.33"	1881	2015	4
21	Quebrada Salinas - Relleno sanitario EMAS	N 5° 4' 42.21" W 75° 30' 29.91"	2020	2015	7
22	Quebrada Tesorito - vía al Magdalena	N 5° 2' 3.76" W 75° 25' 53.77"	2295	2010	7
23	Río Chinchiná - Bosque Popular El Prado	N 5° 1' 52.71" W 75° 28' 42.5"	1982	2015	7
24	Río Chinchiná - Cenicafé	N 4° 59' 23.55" W 75° 36' 0.91"	1294	2013	7
25	Río Chinchiná - El Bosque	N 4° 59' 37.55" W 75° 33' 55.36"	1405	2013	7
26	Río Doña Juana - Vía la Dorada Norcasia	N 5° 30' 3.53" W 75° 18' 44.71"	190	2013	6
27	Río Guacaica - CHEC	N 5° 8' 12.52" W 75° 29' 47.36"	1621	2011	6
28	Río Guacaica - El Jordán	N 5° 6' 36.37" W 75° 39' 28.77"	909	2011	7
29	Río Pácora	N 5° 32' 27.04" W 75° 27' 31.87"	1690	2013	6
30	Río Pensilvania – Microcentral	N 5° 23' 2.4" W 75° 8' 8.99"	1773	2012	6
31		N 5° 26' 33.86"	803	2011	6



N°	Estación	Ubicación	Altitud	Año instalación	No. de aforos
	Río Pozo - Vía la Merced Pácora	W 75° 33' 24.53"			
32	Río Rioclaro - La Batea	N 4° 58' 11.18" W 75° 31' 53.74"	1610	2013	7
33	Río Rioclaro - Vereda la Guayana	N 4° 56' 51.45" W 75° 29' 47.53"	1860	2011	4
34	Río Risaralda - Camping la Palmera	N 5° 6' 44.89" W 75° 50' 25.09"	1010	2010	7
35	Río Santodomingo – Manzanares	N 5° 12' 17.29" W 75° 8' 13.6"	1450	2012	7
36	Río Supía - Los Piononos	N 5° 22' 35.23" W 75° 36' 46.11"	731	2011	7
37	Río Supía – Supía	N 5° 27' 10.01" W 75° 39' 10.22"	1186	2011	4
38	Río Tapias	N 5° 13' 26.28" W 75° 38' 18.73"	842	2013	6

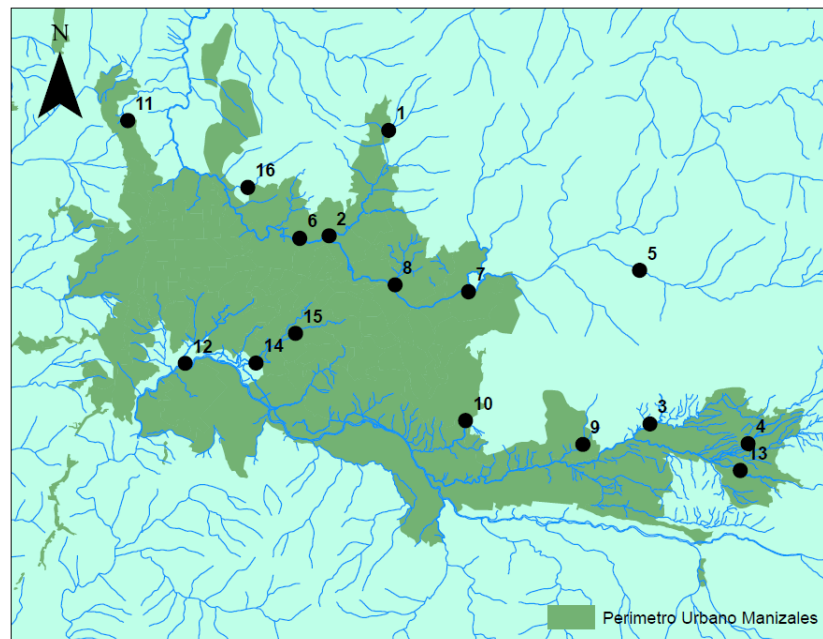


Figura 2. Estaciones aforadas, dentro del área urbana de Manizales, (La numeración corresponde a la Tabla 1)

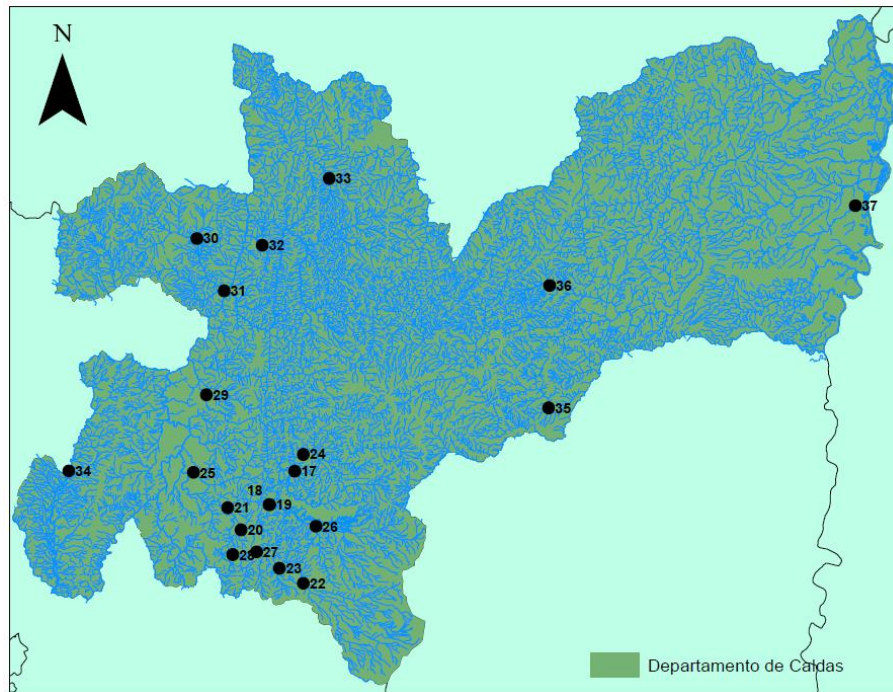


Figura 3. Estaciones aforadas, dentro del departamento de Caldas (La numeración corresponde a la Tabla 1)

3. METODOLOGÍA

Para tener un control sobre el nivel de agua en las corrientes monitoreadas con una estación hidrometeorológica, conocer su variación y obtener un valor del caudal que circula para cada nivel, se instaló en cada estación un sensor de nivel electrónico, el cual emite una señal cada cinco minutos que genera una medida del nivel de agua en el río en tiempo real referenciado con un nivel de referencia o Datum que, en el caso de canales artificiales se hace coincidir con el punto más bajo del fondo del canal y en el caso de corrientes naturales se sitúa a una distancia por debajo del fondo del cauce (las fechas de instalación se muestran en la **Tabla 1**).

La metodología seguida obedece a las recomendaciones del Protocolo de Monitoreo y Seguimiento del Agua (IDEAM, 2007), y algunas recomendaciones prácticas que ha recopilado la Universidad Nacional en el ejercicio de la realización de aforos. En general, el procedimiento seguido fue el siguiente:



- Selección del sitio de aforo,
- Levantamiento topográfico,
- Determinación del nivel de banca llena,
- Selección del método de aforo líquido.

3.1 Selección de la sección de aforo

No es necesario que el aforo se realice en el lugar donde se ubica el sensor pues, teniendo en cuenta el principio de continuidad, el caudal permanece constante siempre que no tenga afluentes ni efluentes en ese tramo. Por esta razón, y con el fin de facilitar la medida, se busca un lugar que tenga ciertas características:

- Debe ser un tramo recto del cauce.
- Las líneas de flujo deben ser lo más paralelas posibles entre sí, y perpendiculares a la sección transversal.
- El lecho del canal debe ser lo más regular posible.
- No debe haber obstrucciones como rocas, troncos de árboles o plantas acuáticas en el lecho.
- La pendiente longitudinal debe ser lo más uniforme posible.
- No debe haber afluentes ni efluentes entre la sección de aforo y el sensor de nivel.

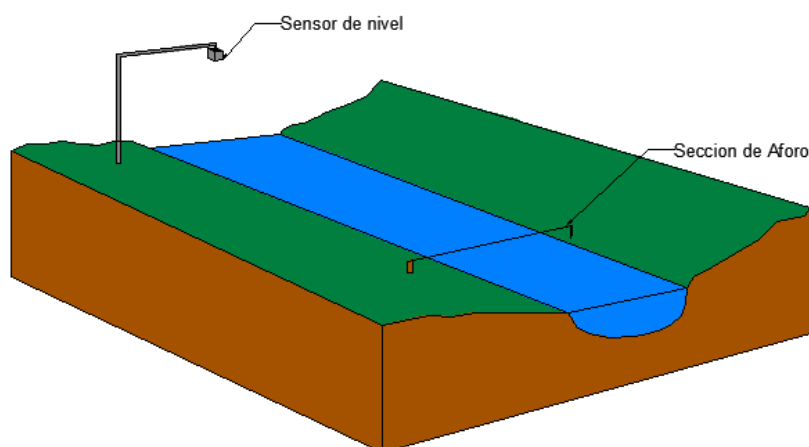


Figura 4. Esquema de selección del lugar de aforo



Luego de tener el lugar adecuado para la campaña de aforos, existen dentro de la metodología usada dos partes fundamentales, la topografía y el aforo líquido. La exactitud de los datos obtenidos depende del trabajo realizado en estos dos aspectos.

3.2 Levantamiento topográfico

En este aparte se realiza un levantamiento de la topografía del terreno y se debe distinguir claramente lo siguiente:

- Perfil transversal de la sección de aforo, no sólo del área mojada, sino hasta la altura de banca llena (**Figura 5**)
- Identificación de banca llena
- Perfil longitudinal del cauce

El termino banca llena hace referencia a un nivel que se presenta en promedio 5 veces cada 10 años, es decir, tiene un periodo de retorno de 2 años (Posada García, 1994). Para la identificación de la banca llena, es de vital importancia que la topografía realizada en la sección de aforo sea lo más detallada posible, marcando los cambios de pendiente del terreno y el ancho del cauce (W). Se busca que la topografía abarque las zonas de inundación -si las hay-, los hombros de la sección, y que supere el nivel de banca llena, el cual debe tomarse previamente. Con lo anterior, se debe marcar un punto de referencia, debe ser firme para que las crecientes del rio no modifiquen su ubicación; por lo mismo, debe estar en un lugar alejado del cauce o en estructuras permanentes que se encuentren dentro de la sección (puentes, muros, mojones, etc.).

Como se ha expresado anteriormente, dentro de la misma campaña de aforos se puede variar la sección transversal, pero desde el punto de vista de la topografía facilita en gran medida tener la misma sección; esto permite que se puedan percibir los cambios geomorfológicos que se presentan.

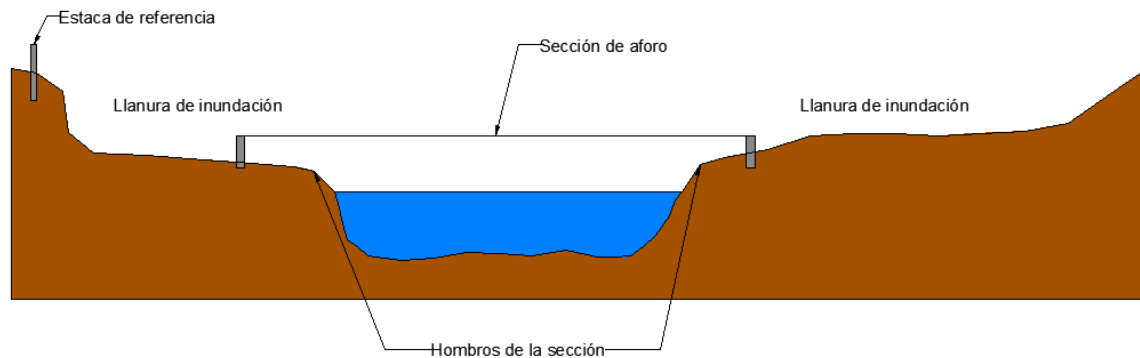


Figura 5. Límites de la topografía de la sección

3.3 Realización del aforo líquido

Luego de tener de forma detallada la sección transversal del río, se procede a realizar el aforo líquido; los aforos se realizaron por vadeo en todos los casos (lo que no significa que siempre sea así pues en algunos casos a futuro podría ser necesario hacer aforos por suspensión) y el método de obtención del caudal es el de área – velocidad (los formatos utilizados para este procedimiento se muestran en el anexo 1).

El método área – velocidad consiste en subdividir la sección en secciones más pequeñas o dovelas (b_1, b_2, b_3, b_4, b_n), como se muestra en la **Figura 6**, y en el centro de esas dovelas se mide la velocidad del flujo de la siguiente manera:

- Si la profundidad en el centro de la dovela b_j es menor o igual a 12cm se toma una lectura a 0.6 de la profundidad medida desde la superficie.
- Si la profundidad en el centro de la dovela b_j se encuentra entre 12cm y 16cm se toman 3 lecturas: a 0.2, 0.6 y 0.8 de la profundidad medida desde la superficie.
- Si la profundidad en el centro de la dovela b_j es mayor a 16 cm se toman 5 lecturas: en el fondo, a 0.2, 0.6, 0.8 de la profundidad y en la superficie.
- En la dovela más profunda se deben tomar 11 lecturas (cada 0.1 de la profundidad iniciando en el fondo de la dovela y finalizando en la superficie).

En cada una de estas dovelas se debe calcular el caudal con la siguiente ecuación: $Q = V * A$; donde, Q , es el caudal en cada dovela (m^3/s); A , es el área de cada sección (m^2) y V , la velocidad en la sección (m/s), la cual se determina según la profundidad de la dovela, así:

- Para profundidades menores a 12 cm: $V = V_{0.6}$
- Para profundidades entre 12cm y 16 cm: $V = \frac{V_{0.8} + 2 * V_{0.6} + V_{0.2}}{4}$
- Para profundidades mayores a 16cm: $V = \frac{V_1 + 3 * V_{0.8} + 2 * V_{0.6} + 3 * V_{0.2} + V_{0.0}}{10}$
- En la dovela de mayor profundidad: $V = \frac{\sum V_i}{11}$

La sumatoria de los caudales en cada dovela da como resultado el caudal final del cauce; debe comprobarse que el caudal en cada dovela no supere el 20% del caudal total del río.

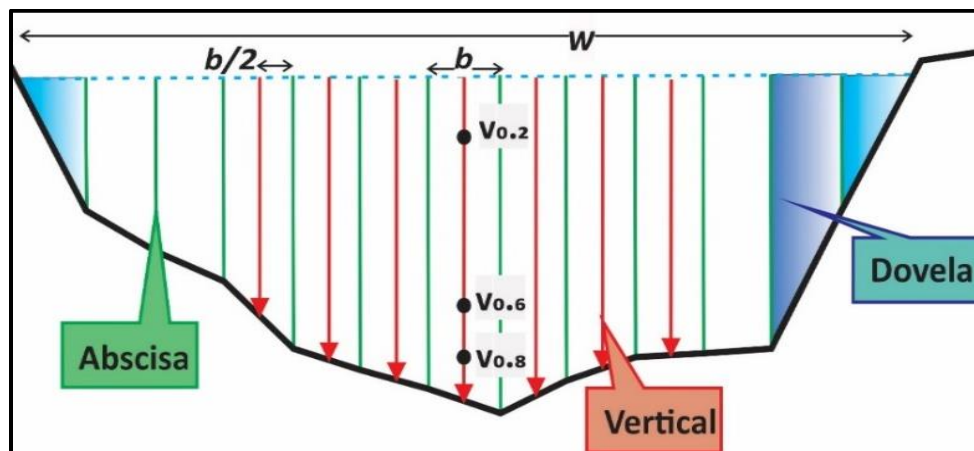


Figura 6. Sección típica de aforo, profundidades medidas desde la superficie

En este método, para determinar el caudal de cada dovela q_i , se multiplica la velocidad media \bar{v}_i en la vertical por el área correspondiente a la dovela a_i que se aproxima como un trapecio, la cual se calcula multiplicando el ancho de la dovela b por el promedio de las profundidades de las abscisas que delimitan la dovela h_j, h_{j+1} , como lo indica la Ecuación 8.

$$q_i = \bar{v}_i * b * \frac{h_j + h_{j+1}}{2} \quad \text{Ecuación 8}$$

El caudal total que pasa por la sección se calcula con la sumatoria del caudal de cada dovela para el número de total de dovelas n , según la Ecuación 9.



$$Q_t = \sum_{i=1}^n q_i$$

Ecuación 9

cen la realización correcta de aforos, más aún los ríos de montaña, que en épocas de crecientes no sólo mueven un caudal líquido considerable sino también un caudal sólido de grandes proporciones.

Adicionalmente, cuando se tiene un gran número de aforos de estos niveles medios, la curva de calibración se reduce a una simple relación de niveles y caudales dándole un ajuste a la curva, pero el problema reside en extrapolar dichos valores para niveles mayores y en este caso teniendo pocos aforos en cada estación.

Existen diferentes métodos para hacer dicha extrapolación, pero uno de los más acertados es el método de Manning, usado en este caso para realizar las curvas de calibración de las estaciones mencionadas en la **Tabla 1**; la base de este método es la Ecuación 10.

$$Q = \frac{A}{n} (Rh)^{2/3} S^{1/2}$$

Ecuación 10

Donde **Q** es el caudal medido, **Rh** es el Radio hidráulico, **A** es el área de la sección mojada, **S** es la pendiente longitudinal del cauce y **n** es el coeficiente de rugosidad de Manning.

En la realización de las campañas de aforo, fácilmente se pueden determinar parámetros como el área mojada, el perímetro mojado, la pendiente longitudinal y la velocidad promedio del flujo, con lo cual se puede determinar el caudal directamente haciendo uso de las ecuaciones Ecuación 8 y Ecuación 9. Sin embargo, el coeficiente de rugosidad de Manning (n) no se puede obtener directamente en el trabajo de campo.

El coeficiente de rugosidad (n) para niveles altos no genera cambios importantes en el flujo; por lo tanto, se puede considerar constante. Con base en esto, se determina un



coeficiente de rugosidad para cada aforo, despejándolo de la **Ecuación 10**, luego, se promedian los valores consistentes entre sí, es decir, si el coeficiente de rugosidad de Manning de alguno de los aforos no es coherente con los demás, no se tiene en cuenta para calcular el promedio.

De esta forma, se puede obtener un coeficiente de rugosidad (n) para cada río. Del mismo modo, la pendiente longitudinal del río puede considerarse constante e igual a la pendiente de la línea de energía, con lo cual la **Ecuación 10** puede reducirse a la siguiente expresión:

$$Q = K \frac{A^{5/3}}{P^{2/3}} \quad \text{Ecuación 11}$$

Donde

$$K = \frac{S^{1/2}}{n}$$

Cuando se tiene un cauce de sección regular, fácilmente se puede encontrar una relación entre el nivel del río y el área mojada, pero los cauces naturales no presentan paredes regulares en sus orillas con pendientes uniformes.

Por tanto, se requiere encontrar una relación entre el área mojada y el perímetro mojado de la sección transversal respecto de la profundidad del río; para cada nivel (y) del río existe un área mojada (A_y) y un perímetro mojado (P_y), como se muestra en la **Figura 7**. Esto se puede realizar porque en los aforos se tomó dicha sección. Pero aún más, se puede encontrar una relación entre el área mojada, el perímetro y el nivel medido por el sensor (z).

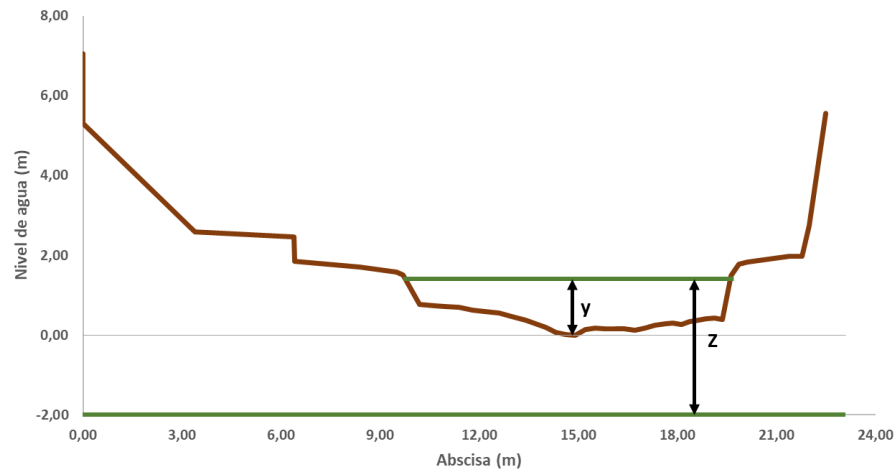


Figura 7. Sección transversal en función de la profundidad (y) y el nivel medido por el sensor (z)

De esta manera, se puede obtener el caudal con la ecuación de Manning, para cada lectura realizada por el sensor.

4. RESULTADOS AFOROS LÍQUIDOS

En respuesta al trabajo realizado en campo, se disponen los datos obtenidos para realizar los diferentes cálculos, con lo cual se obtienen las curvas de calibración de cada estación hidrometeorológica ubicada en los ríos y quebradas aforados. A continuación, se presentan los siguientes resultados:

- Vista en planta de cada una de las estaciones (sin escala).
- Sección transversal de aforo de cada estación (cabe aclarar que pertenecen a uno de los aforos realizados en cada estación y en algunos casos es diferente a la sección donde se ubica el sensor).
- Resumen de resultados de cada una de las estaciones.
- Curva de calibración de cada estación.
- Relación entre el nivel del sensor y el perímetro mojado.
- Relación entre el nivel del sensor y el área transversal.

Los aforos originales, así como el registro fotográfico se presentan en el anexo 2.

4.1 Quebrada Cristales – Valles de la Alhambra

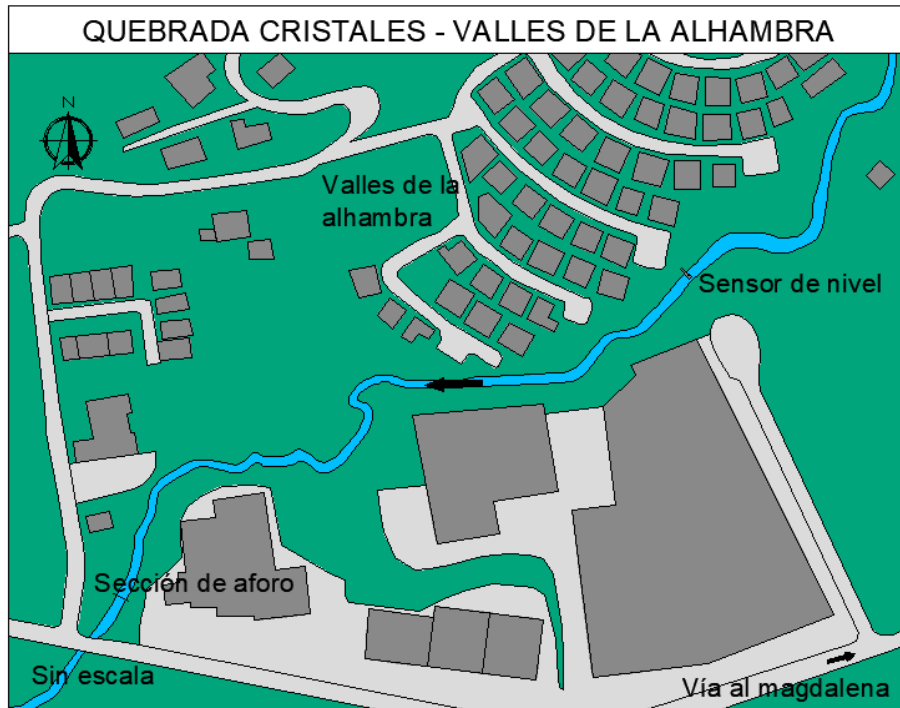


Figura 8. Vista en planta, quebrada Cristales - Valles de la Alhambra

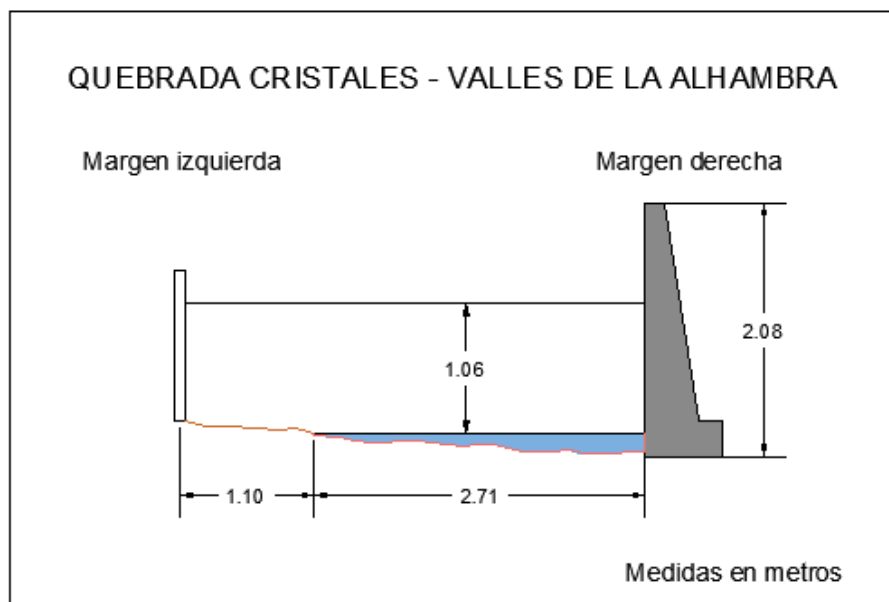


Figura 9. Sección transversal, quebrada Cristales - Valles de la Alhambra, con medidas hechas en un cierto momento



Tabla 2. Resumen de resultados, quebrada Cristales - Valles de la alhambra

ESTACIÓN											
QUEBRADA CRISTALES - VALLES DE LA ALHAMBRA											
LATITUD	N 5° 2' 11.91"			LONGITUD	W 75° 27' 33.09"			ELEVACIÓN (msnm)	2091		
Fecha aforo (dd-mm-aa)	GENERAL SECCIÓN DE AFORO				DATOS DEL SENSOR			RESULTADOS			
	Profundidad máxima (m)	Ancho de la sección mojada (m)	Ancho dovela (m)	Perímetro Mojado (m)	Altura desde el sensor a la superficie del agua (m)	Nivel medido por el sensor (m)	Velocidad media del flujo (m/s)	Área mojada (m ²)	Caudal medido (m ³ /s)	Error cuadrático medio para caudal	
18/10/2017	0.073	2.000	0.200	2.080	4.850	2.355	0.254	0.116	0.030	0.001	
21/11/2017	0.105	2.300	0.200	2.390	4.790	2.610	0.625	0.137	0.086	0.013	
3/01/2018	0.119	2.470	0.250	2.480	4.770	2.630	0.552	0.212	0.117	0.012	
22/02/2018	0.164	2.710	0.250	2.910	4.750	2.650	0.474	0.313	0.148	0.035	
8/05/2019	0.100	2.400	0.300	2.540	4.930	2.470	0.397	0.182	0.072	0.016	
22/07/2019	0.110	1.920	0.250	2.100	5.020	2.380	0.345	0.124	0.043	0.007	

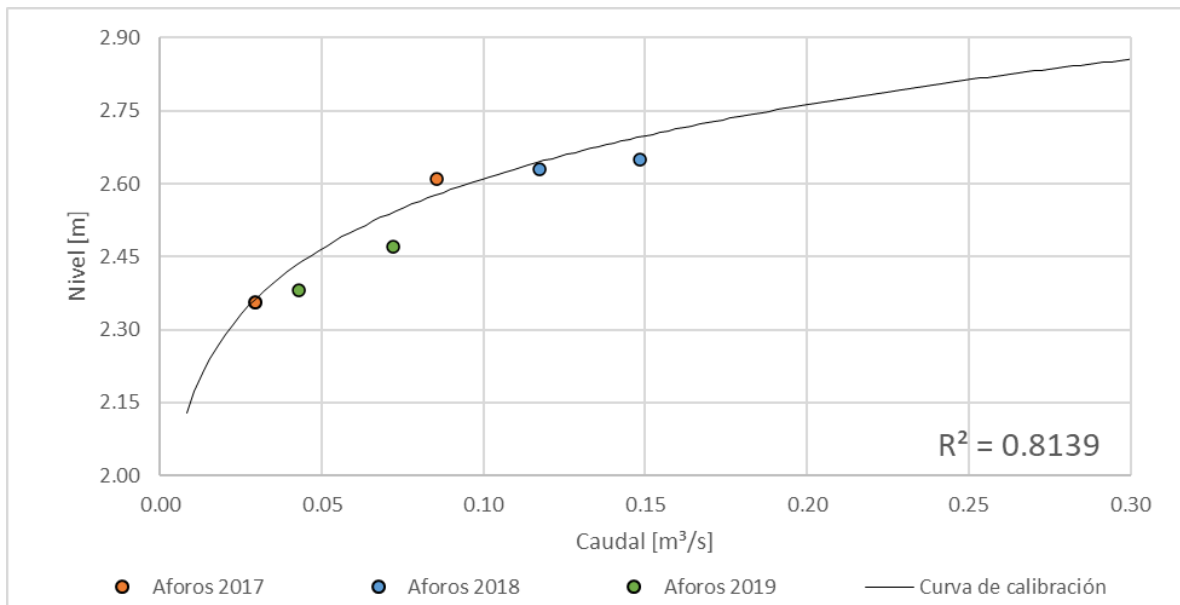


Figura 10. Curva nivel vs caudal, quebrada Cristales - Valles de la alhambra

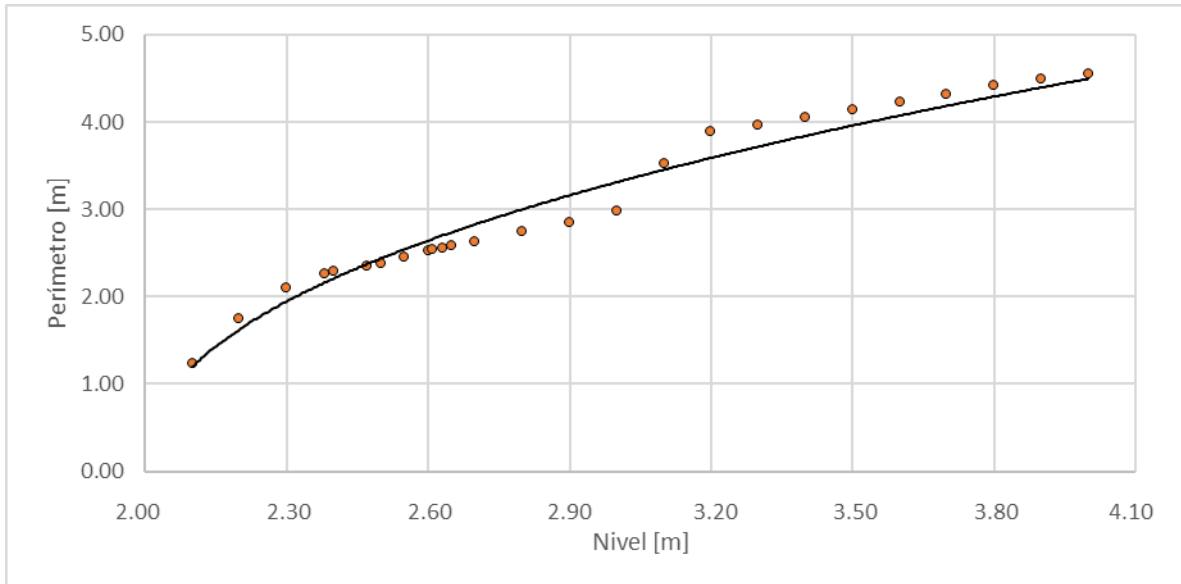


Figura 11. Nivel vs Perímetro, quebrada Cristales - Valles de alhambra

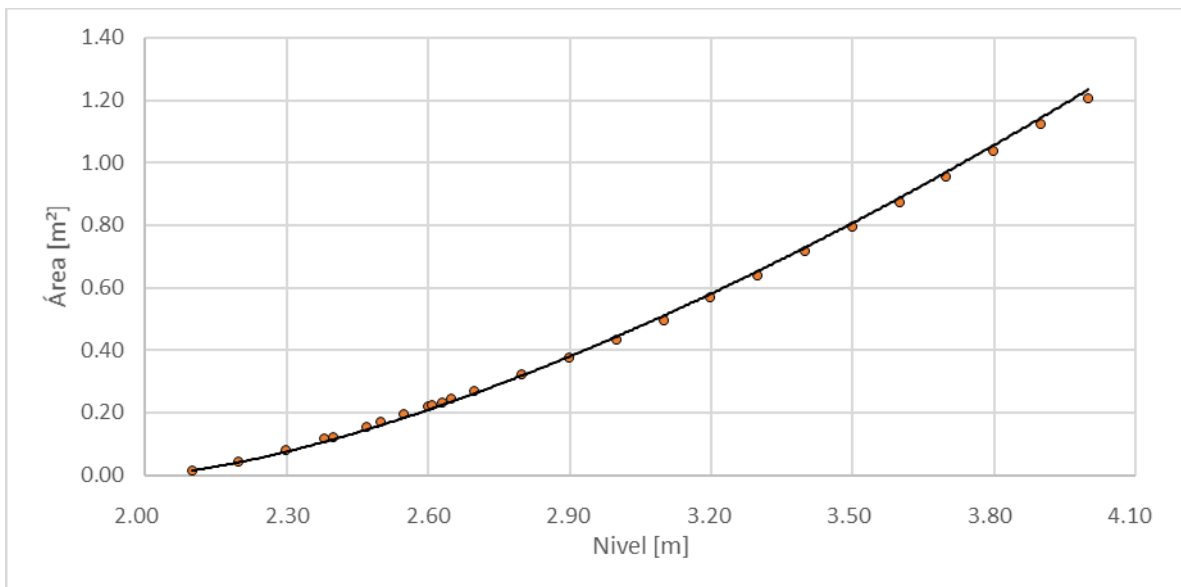


Figura 12. Nivel vs Área, quebrada Cristales - Valles de la alhambra

4.2 Quebrada El Bohío – Vereda el Águila

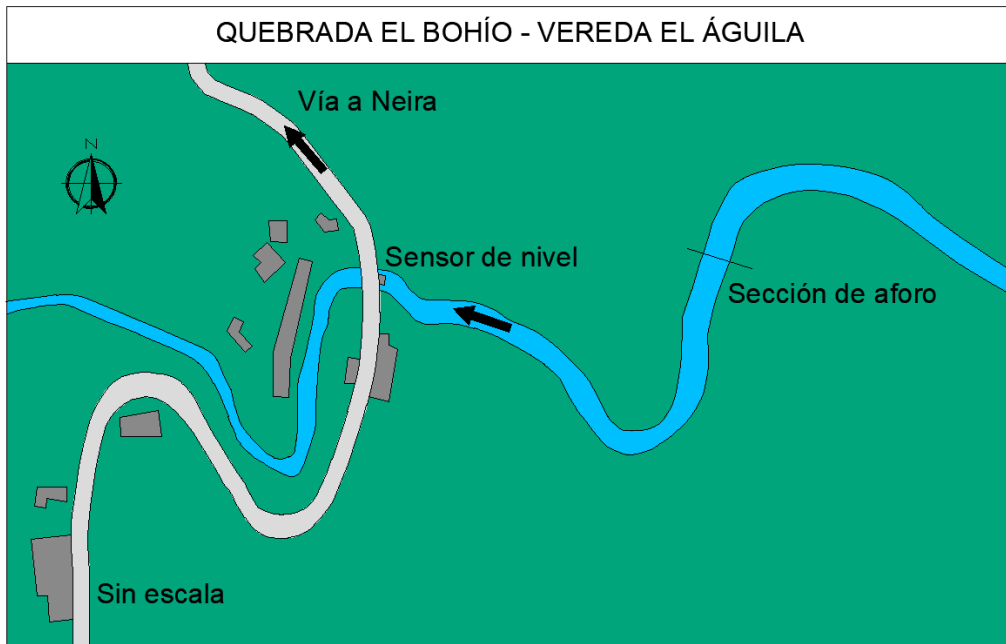


Figura 13. Vista en planta, quebrada el Bohío - Vereda el Águila

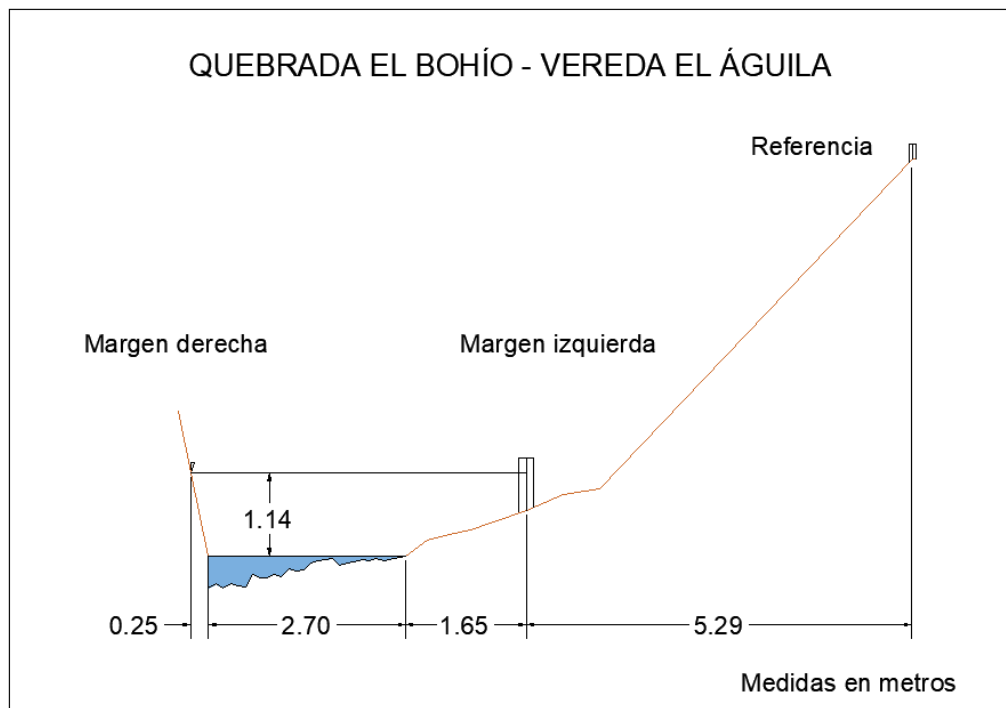


Figura 14. Sección transversal, quebrada el Bohío – Vereda el águila, con medidas hechas en un cierto momento.



Tabla 3. Resumen de resultados, quebrada el Bohío – Vereda el Águila

ESTACIÓN QUEBRADA EL BOHÍO - VEREDA EL ÁGUILA										
LATITUD	N 5° 6' 42.95"			LONGITUD	W 75° 30' 40.4"			ELEVACIÓN (msnm)	1690	
Fecha aforo (dd-mm-aa)	GENERAL SECCIÓN DE AFORO				DATOS DEL SENSOR			RESULTADOS		
	Profundidad máxima (m)	Ancho de la sección mojada (m)	Ancho dovela (m)	Perímetro Mojado (m)	Altura desde el sensor a la superficie del agua (m)	Nivel medido por el sensor (m)	Velocidad media del flujo (m/s)	Área mojada (m ²)	Caudal medido (m ³ /s)	Error cuadrático medio para caudal
9/11/2017	0.223	2.200	0.200	2.493	13.700	3.220	0.303	0.259	0.079	0.063
15/12/2017	0.303	1.950	0.200	2.380	13.140	3.420	0.338	0.346	0.117	0.081
10/01/2018	0.390	2.200	0.200	2.440	13.300	3.160	0.237	0.449	0.107	0.020
24/02/2018	0.263	2.700	0.200	3.480	12.900	3.124*	0.935	0.531	0.497	0.378
11/05/2019	0.360	2.560	0.220	3.014	13.050	3.250	0.438	0.340	0.149	0.001
3/07/2019	0.310	2.500	0.220	2.930	13.100	2.720	0.279	0.341	0.095	0.051
25/07/2019	0.230	1.780	0.180	2.040	11.790	2.880	0.188	0.217	0.041	0.028

*Nivel de sensor inconsistente respecto al caudal medido en campo.

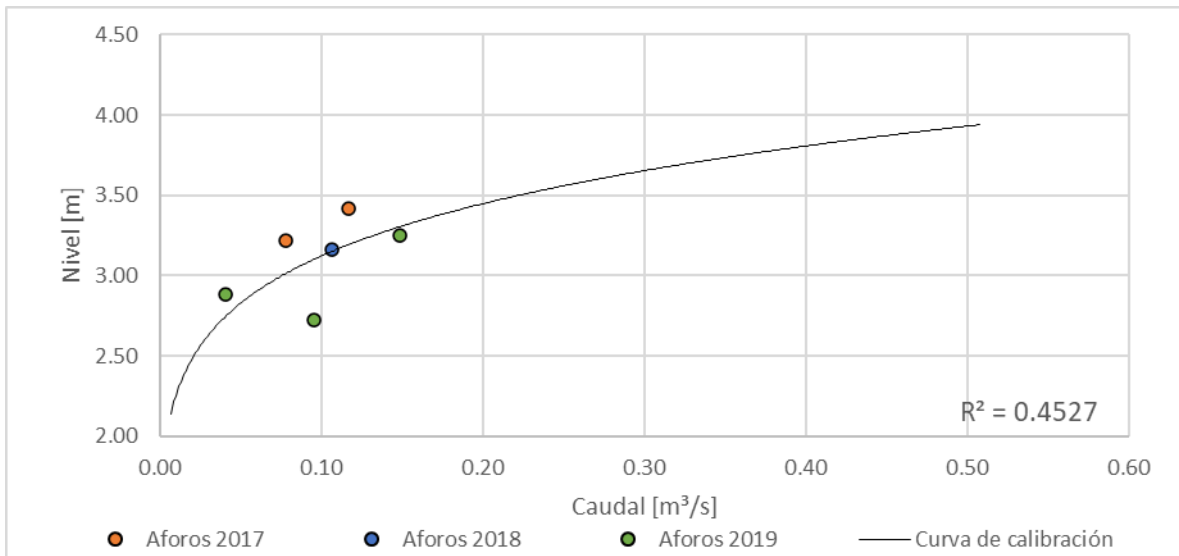


Figura 15. Curva nivel vs caudal, quebrada el Bohío

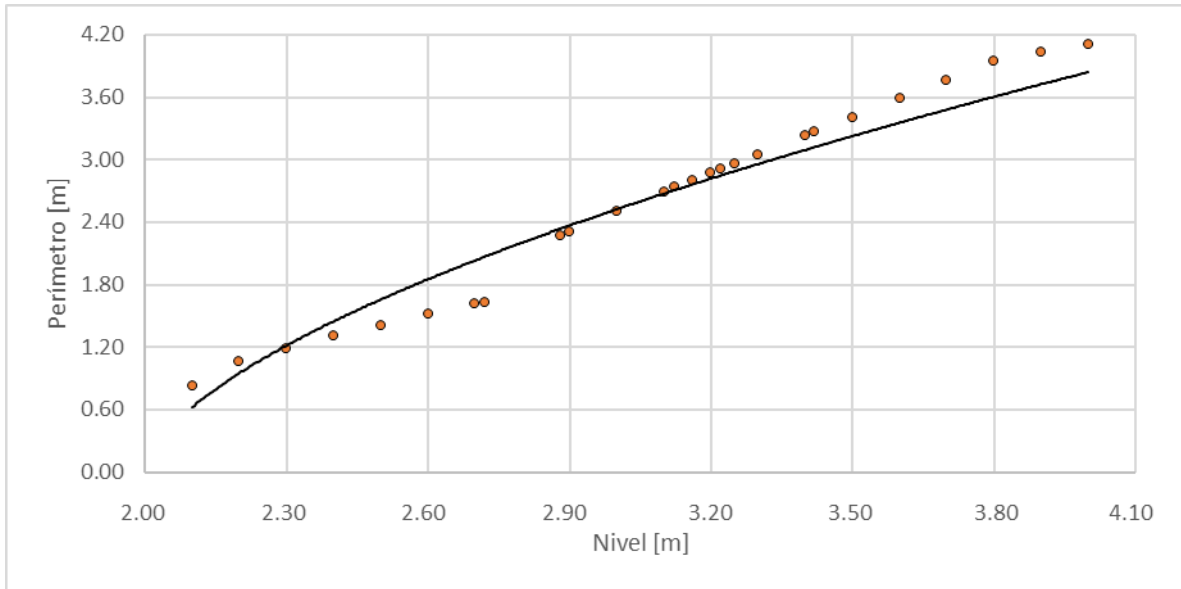


Figura 16. Nivel vs perímetro, quebrada el Bohío

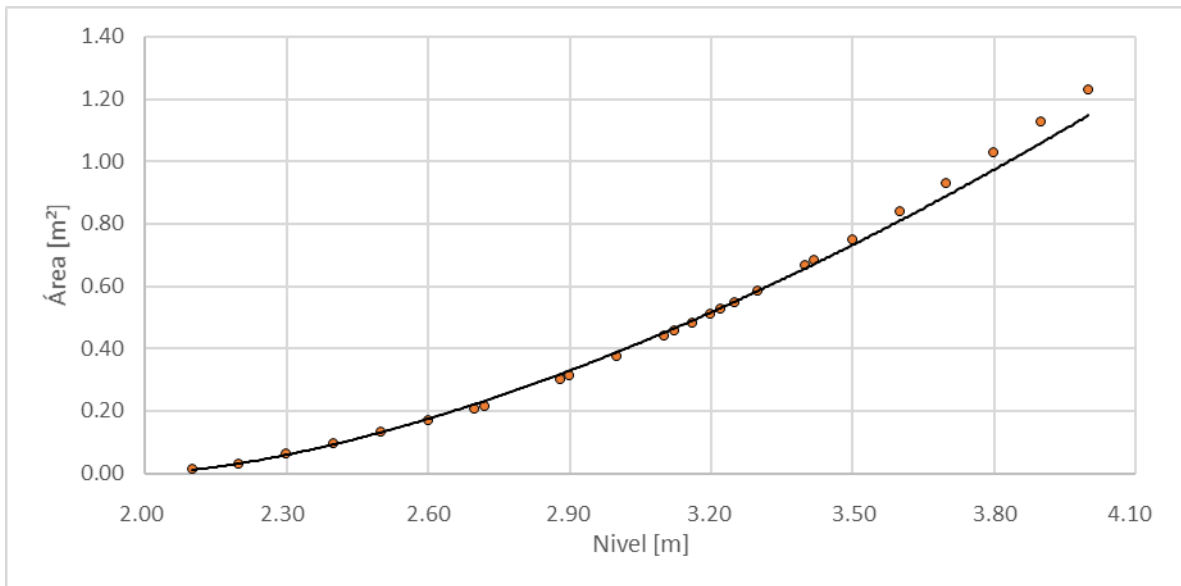


Figura 17. Nivel vs área, quebrada el Bohío

4.3 Quebrada El Guamo – CDI San Sebastián



Figura 18. Vista en planta, quebrada el Guamo - CDI San Sebastián

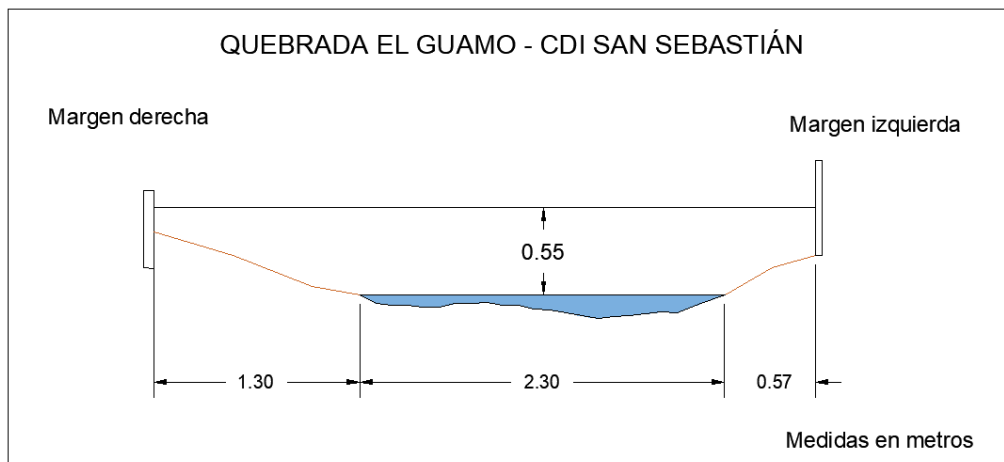


Figura 19. Sección transversal, quebrada el Guamo - CDI San Sebastián, con medidas hechas en un cierto momento



Tabla 4. Resumen de resultados, quebrada el Guamo - CDI San Sebastián

ESTACIÓN		QUEBRADA EL GUAMO - CDI SAN SEBASTIÁN								
LATITUD	N 5° 5' 23.76"	LONGITUD	W 75° 29' 23.46"	ELEVACIÓN (msnm)	2120					
Fecha aforo (dd-mm-aa)	GENERAL SECCIÓN DE AFORO				DATOS DEL SENSOR			RESULTADOS		
	Profundidad máxima (m)	Ancho de la sección mojada (m)	Ancho dovela (m)	Perímetro Mojado (m)	Altura desde el sensor a la superficie del agua (m)	Nivel medido por el sensor (m)	Velocidad media del flujo (m/s)	Área mojada (m ²)	Caudal medido (m ³ /s)	Error cuadrático medio para caudal
9/05/2017	0.165	2.500	0.300	2.580	12.620	2.130	0.353	0.319	0.113	0.053
19/05/2017	0.171	3.000	0.300	3.060	12.550	2.056*	0.382	0.418	0.160	0.151
30/06/2017	0.145	2.300	0.260	2.340	12.630	2.135	0.278	0.232	0.065	0.001
19/07/2017	0.100	2.200	0.240	2.240	12.710	2.063	0.034	0.154	0.005	0.006
27/07/2017	0.102	2.300	0.200	2.310	12.690	2.074	0.176	0.140	0.025	0.008
10/08/2017	0.095	2.240	0.200	2.350	12.650	2.120	0.181	0.150	0.027	0.023
12/12/2017	0.151	2.300	0.200	2.310	12.580	2.141	0.349	0.189	0.066	0.006
14/05/2019	0.115	2.730	0.260	2.780	12.740	2.064	0.039	0.208	0.008	0.004
20/07/2019	0.140	2.980	0.200	3.100	12.700	2.070	0.035	0.302	0.011	0.004

*Nivel de sensor inconsistente respecto al caudal medido en campo.

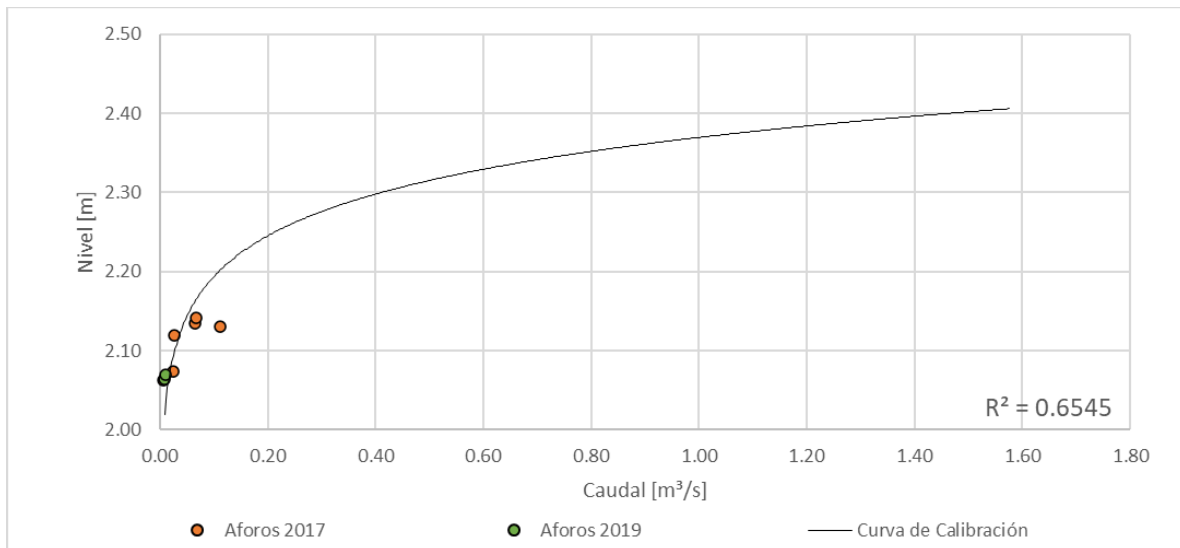


Figura 20. Curva nivel vs caudal, quebrada el Guamo - CDI San Sebastián

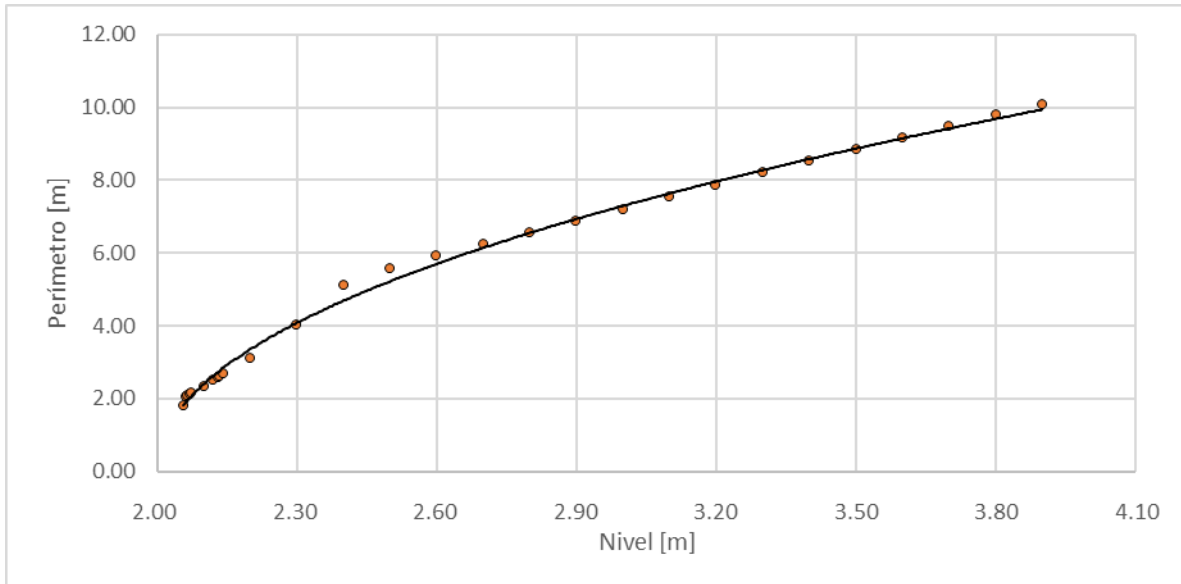


Figura 21. Nivel vs perímetro, quebrada el Guamo - CDI San Sebastián

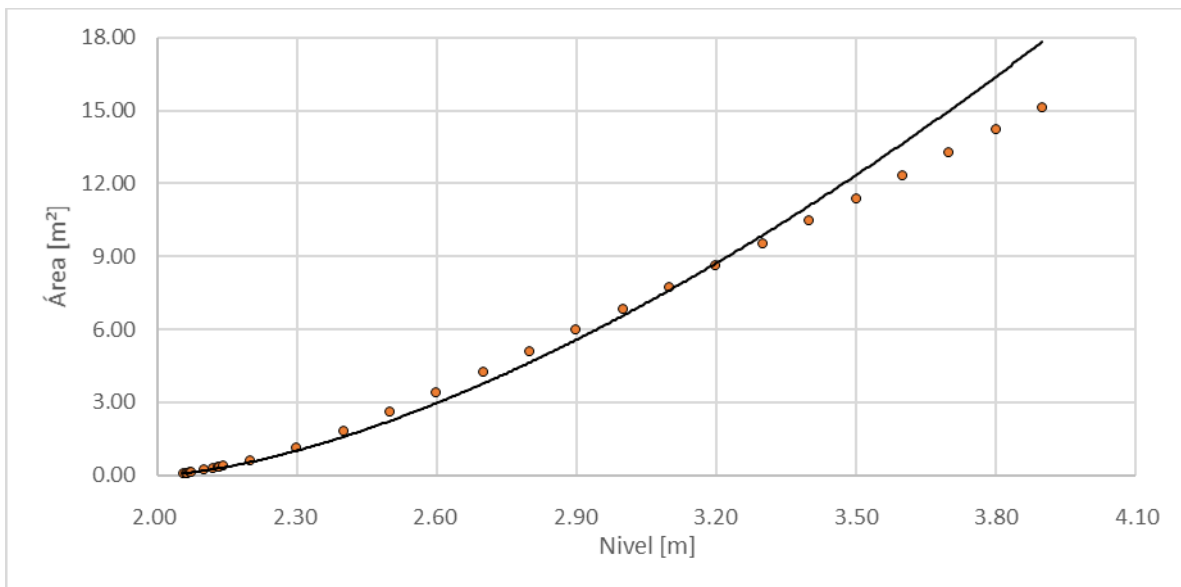


Figura 22. Nivel vs área, quebrada el Guamo - CDI San Sebastián

4.4 Quebrada El Guamo – Lavadero Los Puentes



Figura 23. Vista en planta, quebrada el Guamo - Lavadero los puentes

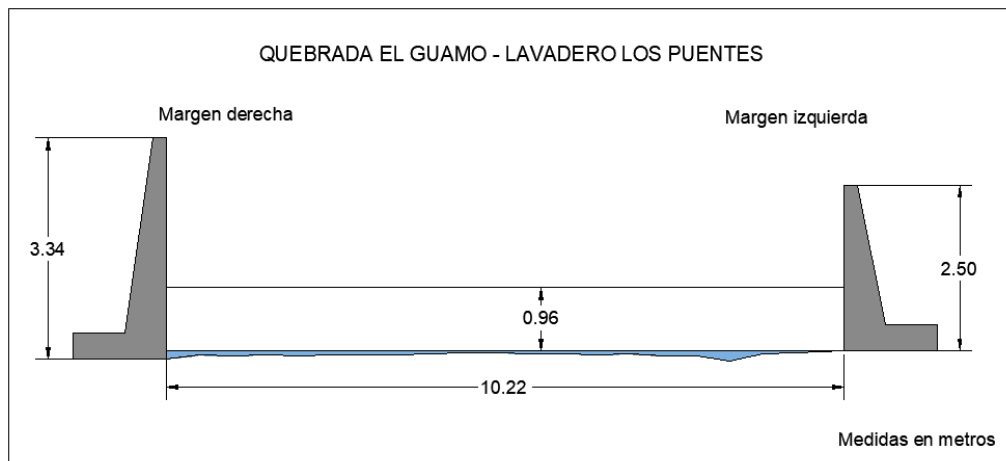


Figura 24. Sección transversal, quebrada el Guamo - Lavadero los Puentes, con medidas hechas en un cierto momento



Tabla 5. Resumen de resultados, quebrada el Guamo - Lavadero los Puentes

ESTACIÓN		QUEBRADA EL GUAMO - LAVADERO LOS PUENTES								
LATITUD	N 5° 4' 15.08"	LONGITUD	W 75° 29' 54.96"	ELEVACIÓN (msnm)	2043					
SECCIÓN DE AFORO				SENSOR			RESULTADOS			
Fecha aforo (dd-mm-aa)	Profundidad máxima (m)	Ancho de la sección mojada (m)	Ancho dovela (m)	Perímetro Mojado (m)	Altura desde el sensor a la superficie del agua (m)	Nivel medido por el sensor (m)	Velocidad media del flujo (m/s)	Área mojada (m ²)	Caudal medido (m ³ /s)	Error cuadrático medio para caudal
5/05/2017	0.155	10.220	1.000	10.340	5.320	2.596	0.449	0.787	0.353	0.108
18/05/2017	0.167	10.220	1.000	10.350	5.210	2.706	0.583	0.893	0.521	0.210
20/06/2017	0.160	10.220	1.000	10.380	5.450	2.368	0.438	0.677	0.297	0.085
4/07/2017	0.134	10.220	1.000	10.330	5.520	2.324	0.340	0.661	0.225	0.073
27/07/2017	0.145	9.000	1.000	9.110	5.680	2.305	0.347	0.507	0.176	0.047
10/08/2017	0.148	10.220	1.000	10.370	5.720	2.296	0.326	0.524	0.171	0.051

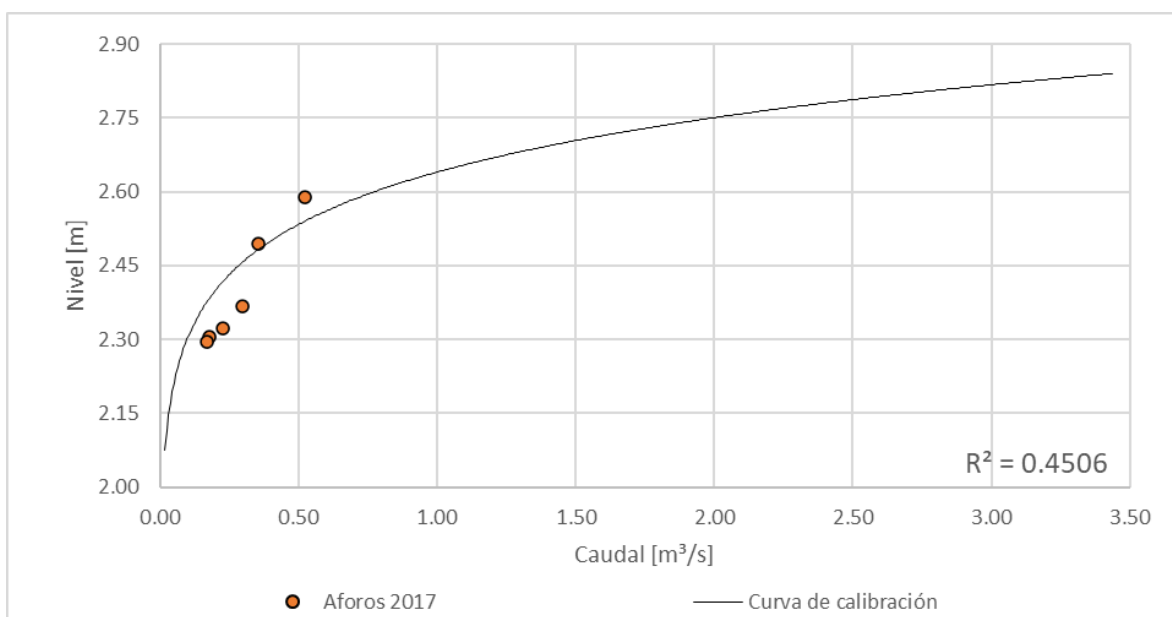


Figura 25. Curva nivel vs caudal, quebrada el Guamo - Lavadero los Puentes

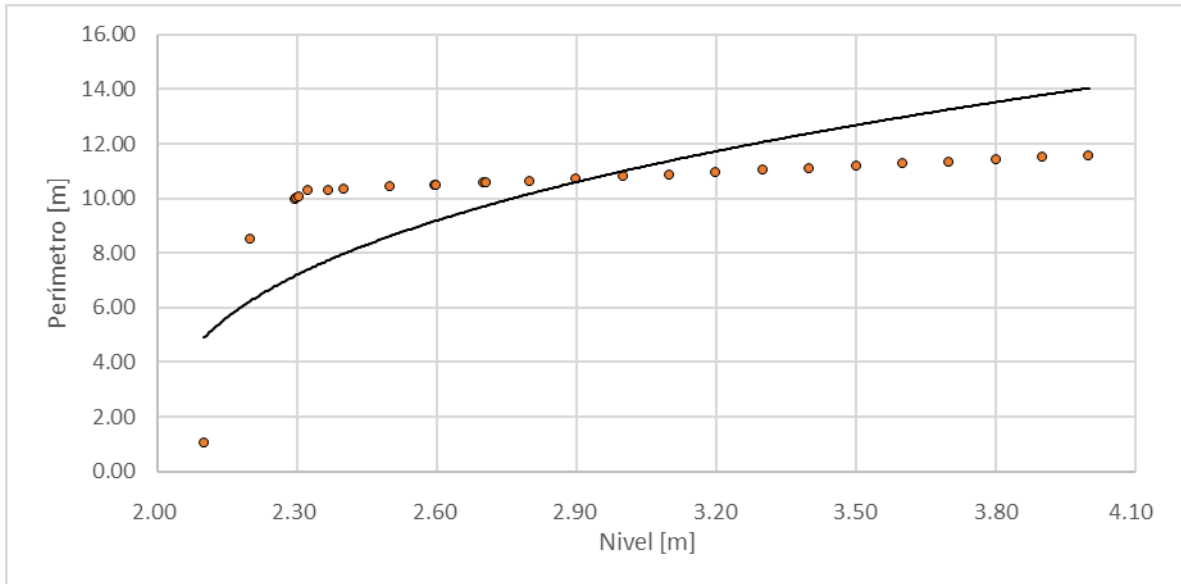


Figura 26. Nivel vs perímetro, quebrada el Guamo - Lavadero los Puentes

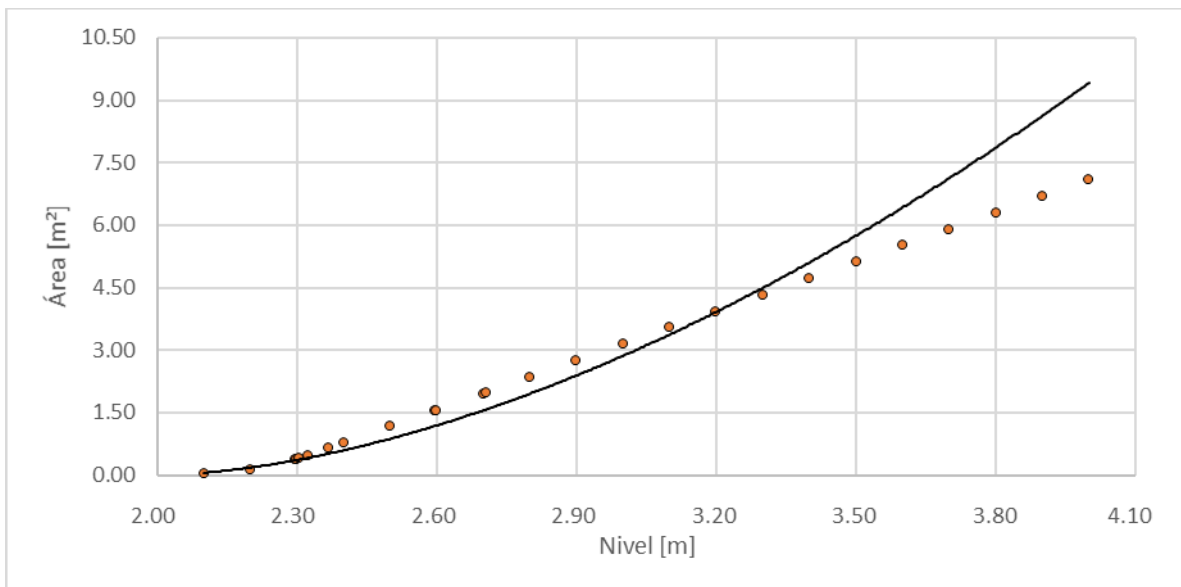


Figura 27. Nivel vs área, quebrada el Guamo - Lavadero los Puentes

4.5 Quebrada el Perro - Expoferias



Figura 28. Vista en planta, quebrada el Perro - Expoferias

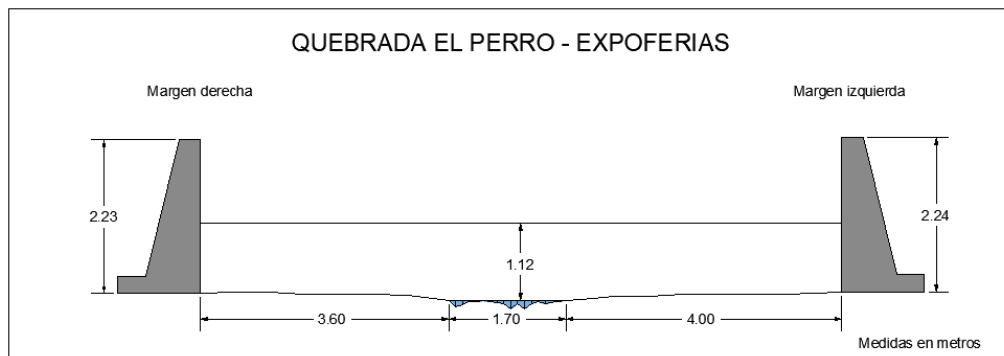


Figura 29. Sección transversal, quebrada El Perro – Expoferias, con medidas hechas en un cierto momento.



Tabla 6. Resumen de resultados, quebrada El Perro – Expoferias

ESTACIÓN		QUEBRADA EL PERRO - EXPOFERIAS								
LATITUD	N 5° 2'31.66"	LONGITUD	W 75° 28' 27.74"	ELEVACIÓN (msnm)	2036					
Fecha aforo (dd-mm-aa)	SECCIÓN DE AFORO				SENSOR		RESULTADOS			
	Profundidad máxima (m)	Ancho de la sección mojada (m)	Ancho dovela (m)	Perímetro Mojado (m)	Altura desde el sensor a la superficie del agua (m)	Nivel medido por el sensor (m)	Velocidad media del flujo (m/s)	Área mojada (m ²)	Caudal medido (m ³ /s)	Error cuadrático medio para caudal
31/10/2017	0.085	1.400	0.100	1.405	8.270	2.273	0.895	0.063	0.056	0.077
22/11/2017	0.105	2.000	0.100	2.040	8.080	2.283	1.316	0.107	0.141	0.007
3/01/2018	0.098	1.500	0.100	1.540	8.220	2.281	1.297	0.090	0.117	0.028
27/02/2018	0.120	1.700	0.200	1.860	9.500	2.050	0.097	0.063	0.006	0.005

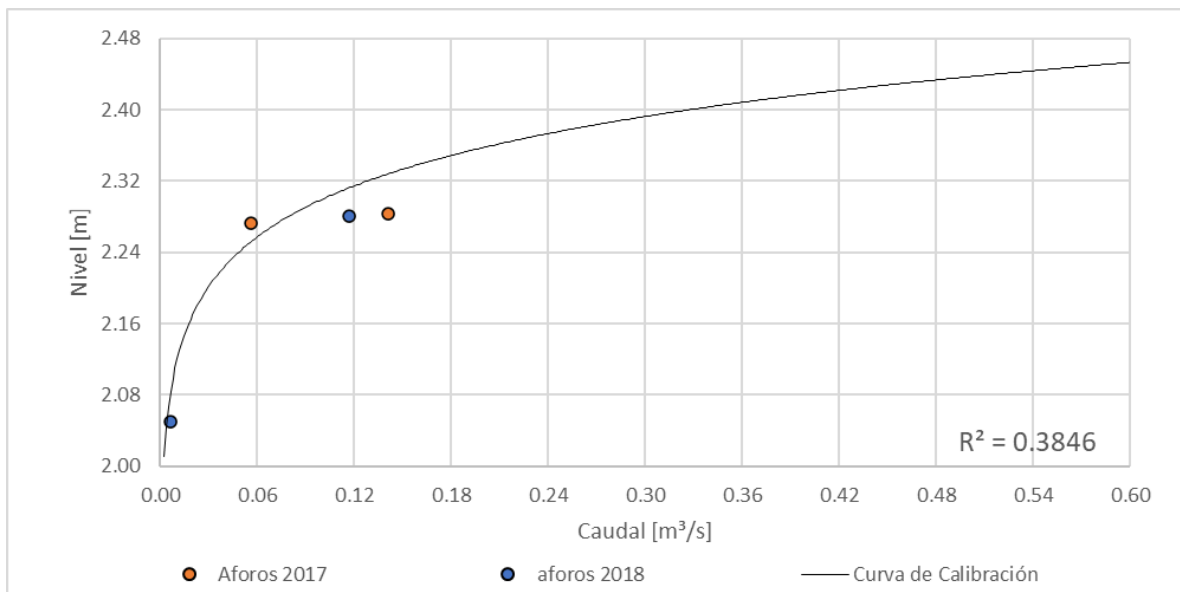


Figura 30. Curva nivel vs caudal, quebrada El Perro – Expoferias

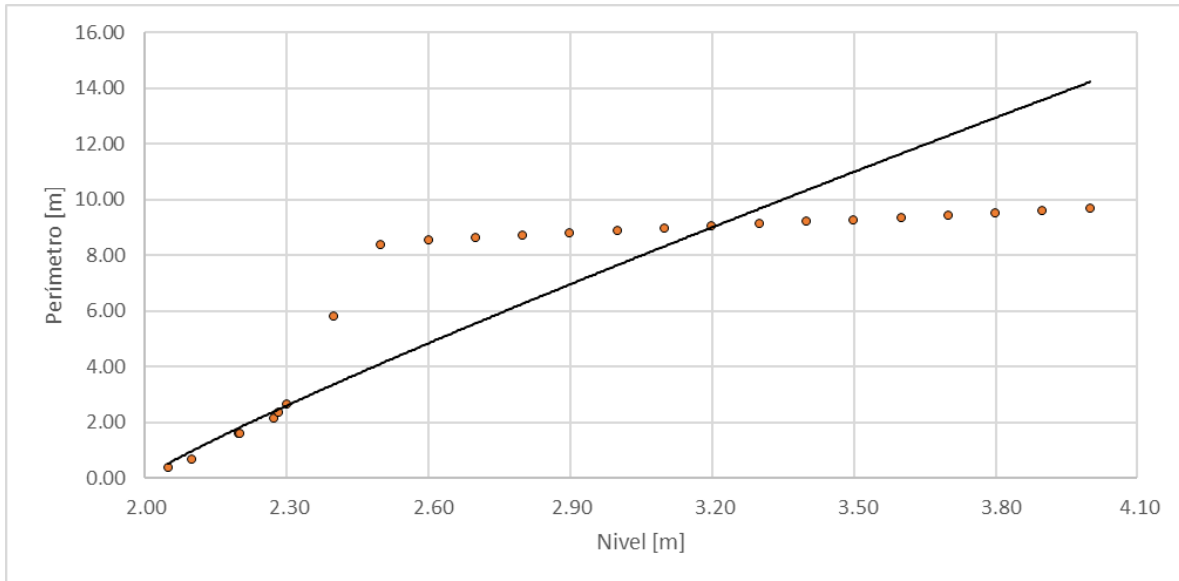


Figura 31. Nivel vs perímetro, quebrada El Perro – Expoferias

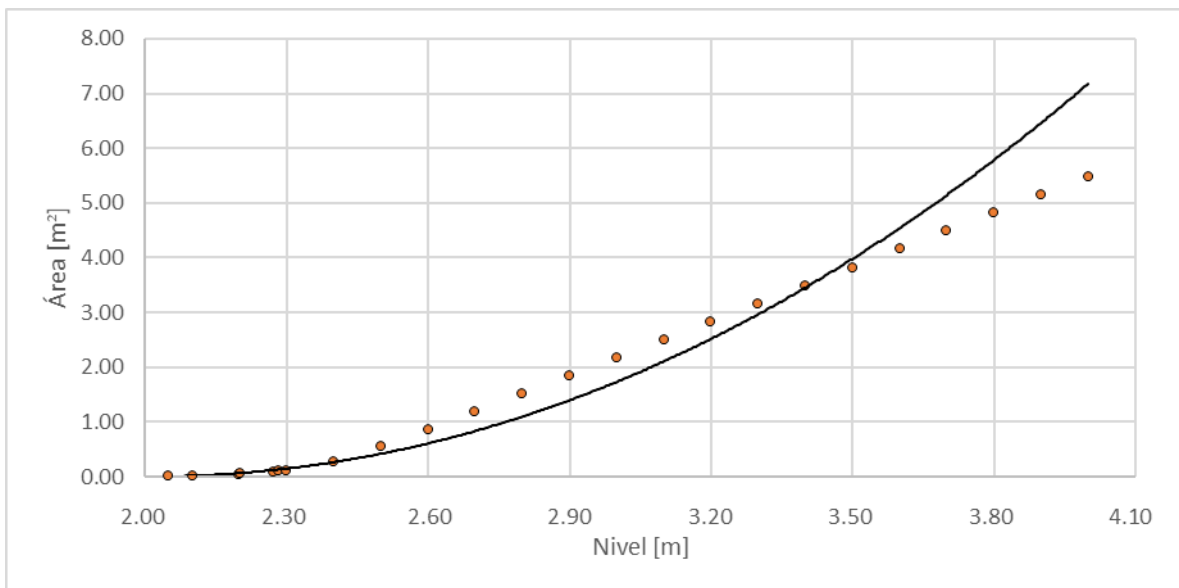


Figura 32. Nivel vs área, quebrada El Perro – Expoferias

4.6 Quebrada El Rosario – San Marcos de León



Figura 33. Vista en planta, quebrada el Rosario - San Marcos de León

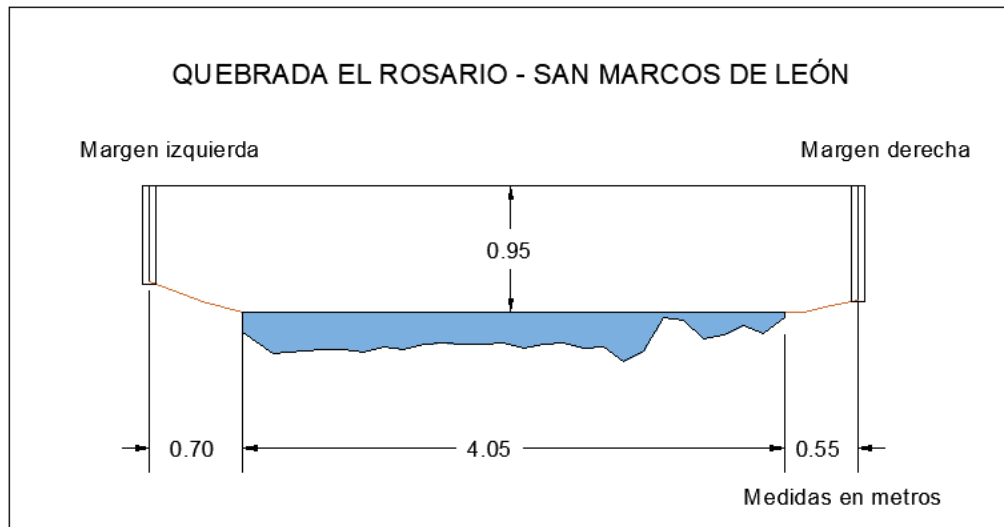


Figura 34. Sección transversal, quebrada El Rosario - San Marcos de León, con medidas hechas en un cierto momento



Tabla 7. Resumen de resultados, quebrada El Rosario - San Marcos de León

ESTACIÓN QUEBRADA EL ROSARIO - SAN MARCOS DE LEÓN										
LATITUD	N 5° 3' 50.14"			LONGITUD	W 75° 32' 51.47"			ELEVACIÓN (msnm)	1621	
Fecha aforo (dd-mm-aa)	GENERAL SECCIÓN DE AFORO				DATOS DEL SENSOR			RESULTADOS		
	Profundidad máxima (m)	Ancho de la sección mojada (m)	Ancho dovela (m)	Perímetro Mojado (m)	Altura desde el sensor a la superficie del agua (m)	Nivel medido por el sensor (m)	Velocidad media del flujo (m/s)	Área mojada (m ²)	Caudal medido (m ³ /s)	Error cuadrático medio para caudal
6/11/2017	0.495	4.000	0.400	4.342	7.840	2.409	0.088	0.918	0.081	0.059
13/12/2017	0.347	4.400	0.400	4.875	7.580	2.669	0.225	0.991	0.223	0.238
9/01/2018	0.420	4.310	0.400	4.820	7.670	2.579	0.275	0.710	0.195	0.130
23/02/2018	0.365	4.050	0.300	4.640	7.740	2.509	0.153	0.874	0.134	0.104
5/05/2019	0.154	1.330	0.130	1.590	8.100	2.149	0.087	0.400	0.035	0.023
30/07/2019	0.123	1.250	0.120	1.390	8.200	2.049	0.166	0.105	0.017	0.017

*Estación sin sensor durante los días de aforos, niveles tomados en base a la altura desde el sensor a la superficie del agua

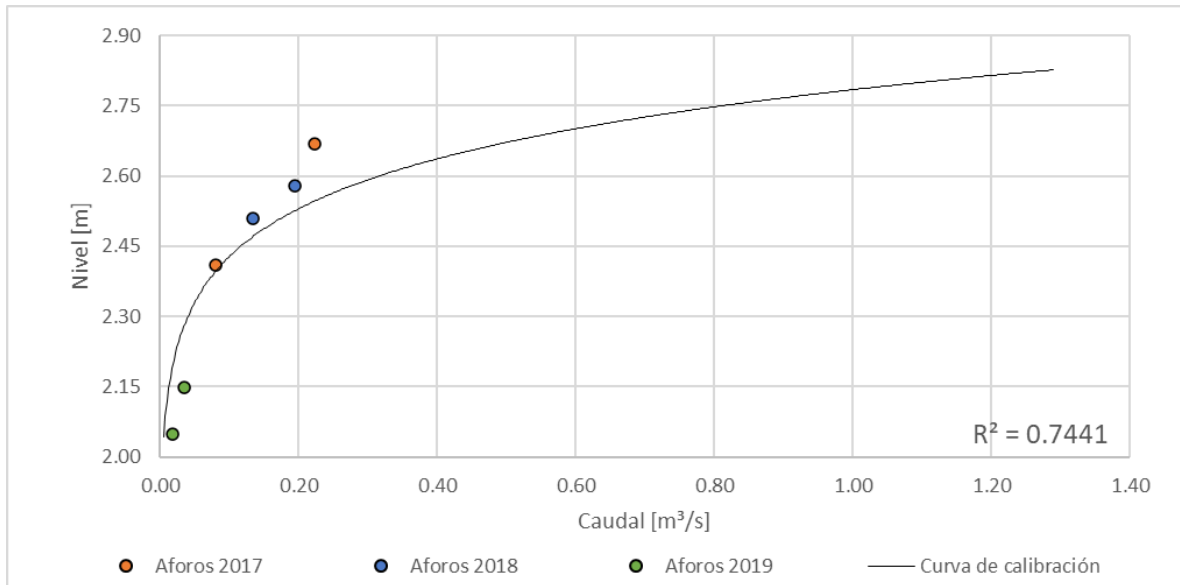


Figura 35. Curva nivel vs caudal, Quebrada El Rosario - San Marcos de León

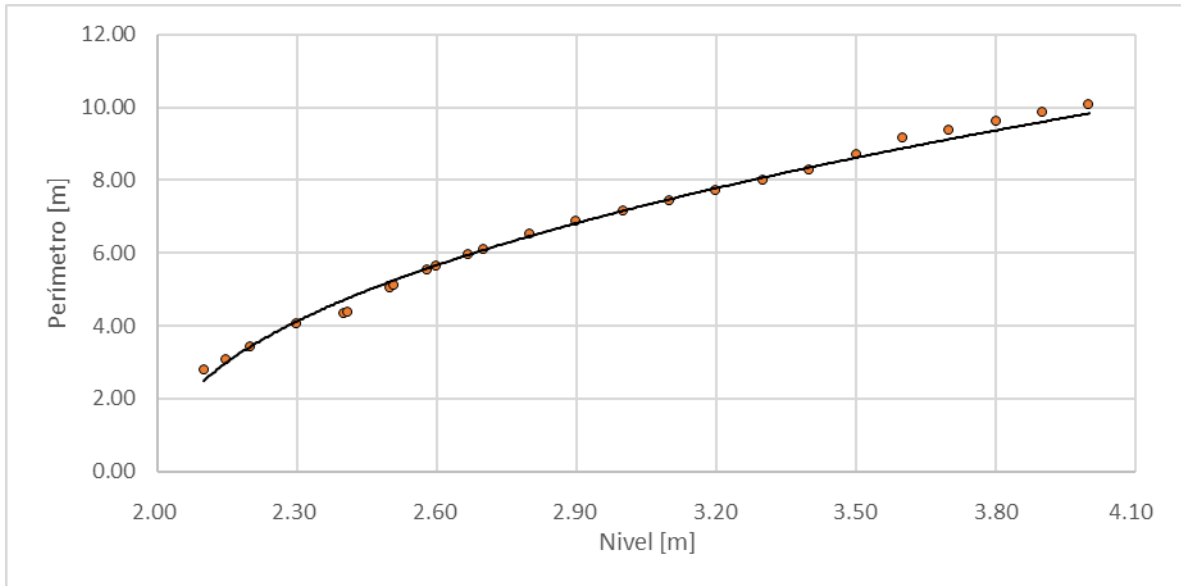


Figura 36. Nivel vs perímetro, quebrada El Rosario - San Marcos de León

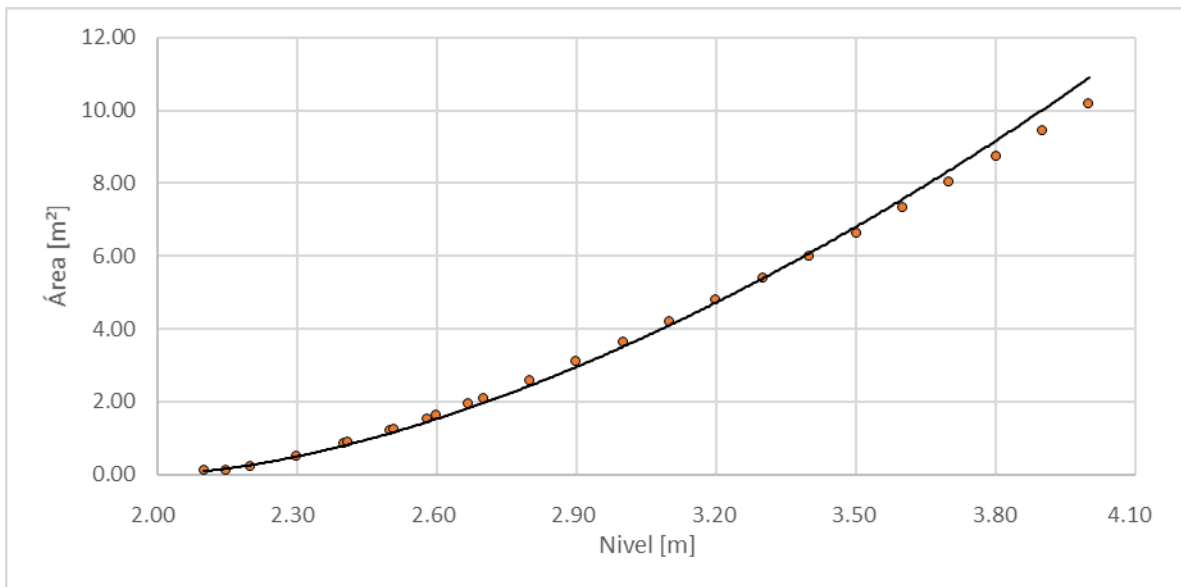


Figura 37. Nivel vs área, quebrada El Rosario - San Marcos de León

4.7 Quebrada El Triunfo – Mirador de Villapilar

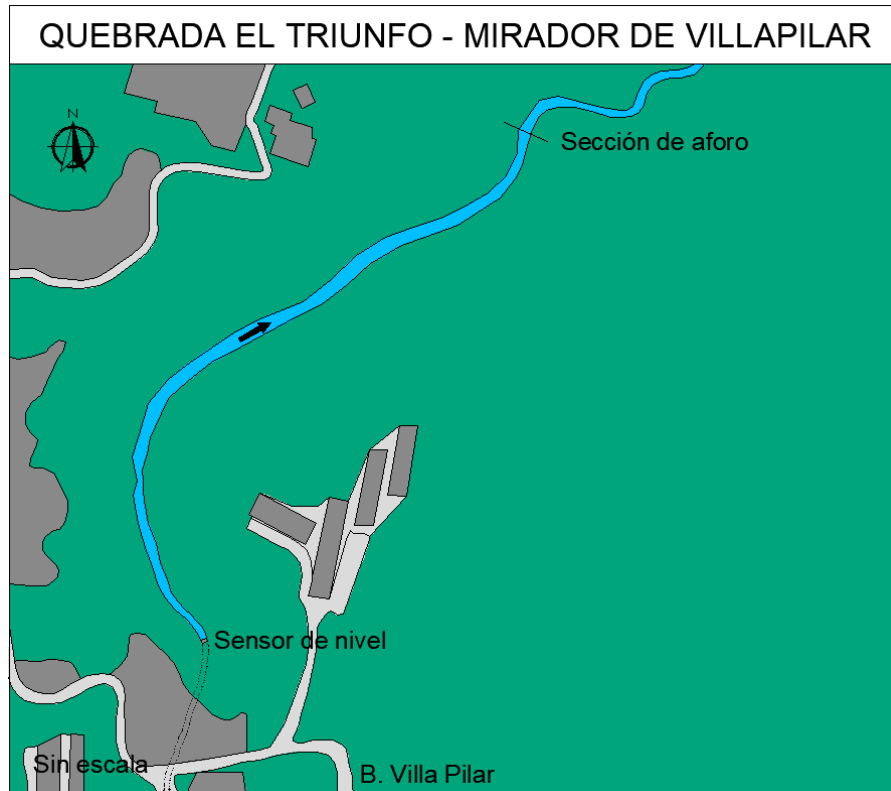


Figura 38. Vista en planta, quebrada el Triunfo - Mirador de Villapilar

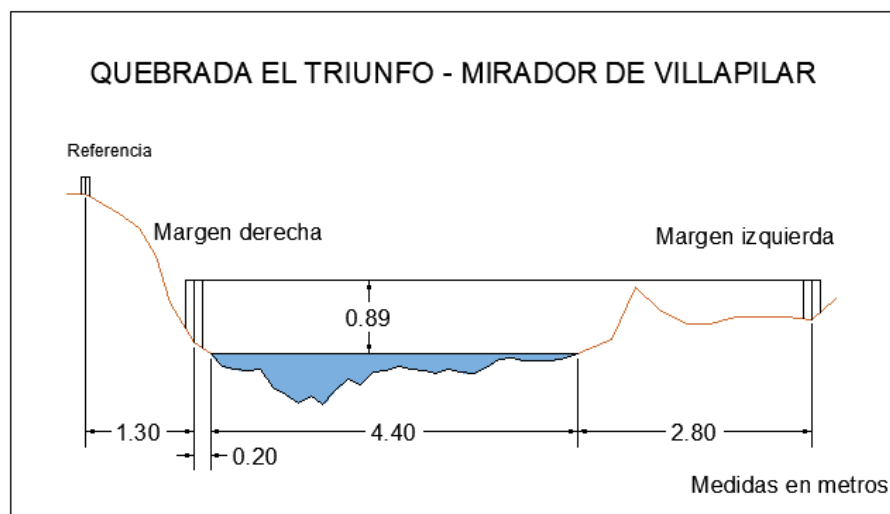


Figura 39. Sección transversal, quebrada El Triunfo - Mirador de Villapilar, con medidas hechas en un cierto momento



Tabla 8. Resumen de resultados, quebrada el Triunfo - Mirador de Villapilar

ESTACIÓN		QUEBRADA EL TRIUNFO - MIRADOR DE VILLAPILAR								
LATITUD	N 5° 5' 20.93"	LONGITUD	W 75° 31' 34.25"	ELEVACIÓN (msnm)	2046					
Fecha aforo (dd-mm-aa)	GENERAL SECCIÓN DE AFORO				DATOS DEL SENSOR			RESULTADOS		
	Profundidad máxima (m)	Ancho de la sección mojada (m)	Ancho dovela (m)	Perímetro Mojado (m)	Altura desde el sensor a la superficie del agua (m)	Nivel medido por el sensor (m)	Velocidad media del flujo (m/s)	Área mojada (m ²)	Caudal medido (m ³ /s)	Error cuadrático medio para caudal
14/11/2017	0.443	5.000	0.500	5.441	10.420	0.039	0.057	1.050	0.060	0.053
12/12/2017	0.379	3.300	0.300	3.740	10.400	0.060	0.116	0.797	0.092	0.073
6/01/2018	0.528	4.700	0.300	5.523	10.370	0.033	0.092	1.188	0.109	0.104
28/02/2018	0.600	4.400	0.300	4.980	10.500	0.059	0.039	1.004	0.039	0.020
22/05/2019	0.487	4.600	0.420	5.800	10.550	0.109	0.113	0.979	0.111	0.023
4/08/2019	0.386	4.200	0.350	4.640	10.600	0.159	0.076	0.734	0.056	0.170

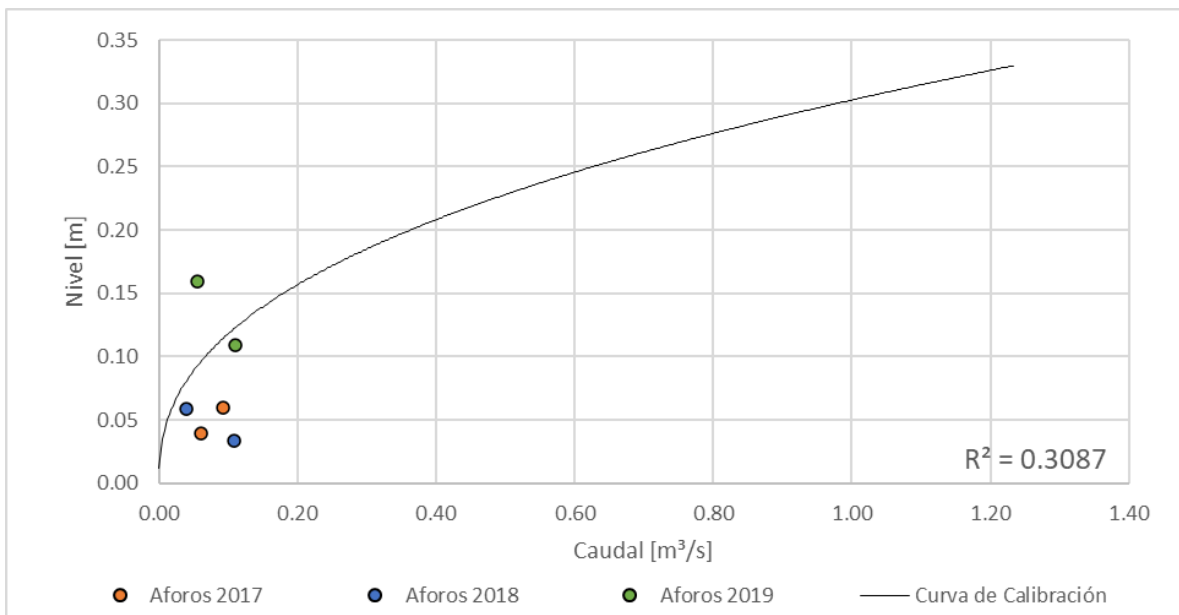


Figura 40. Curva nivel vs caudal, quebrada el Triunfo - Mirador de Villapilar

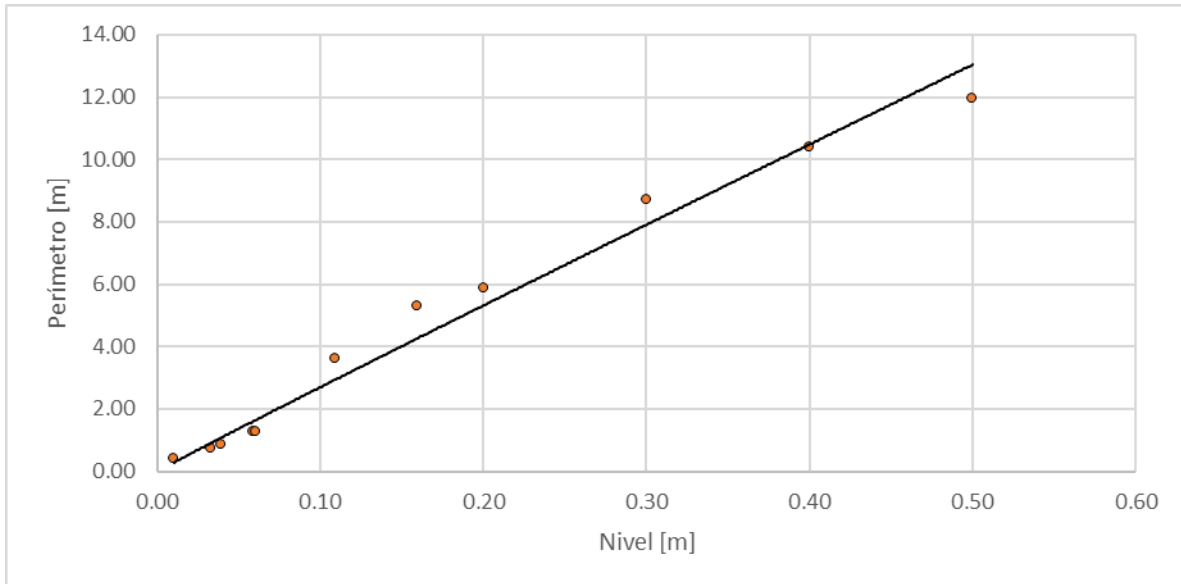


Figura 41. Nivel vs perímetro, quebrada el triunfo - Mirador de Villapilar

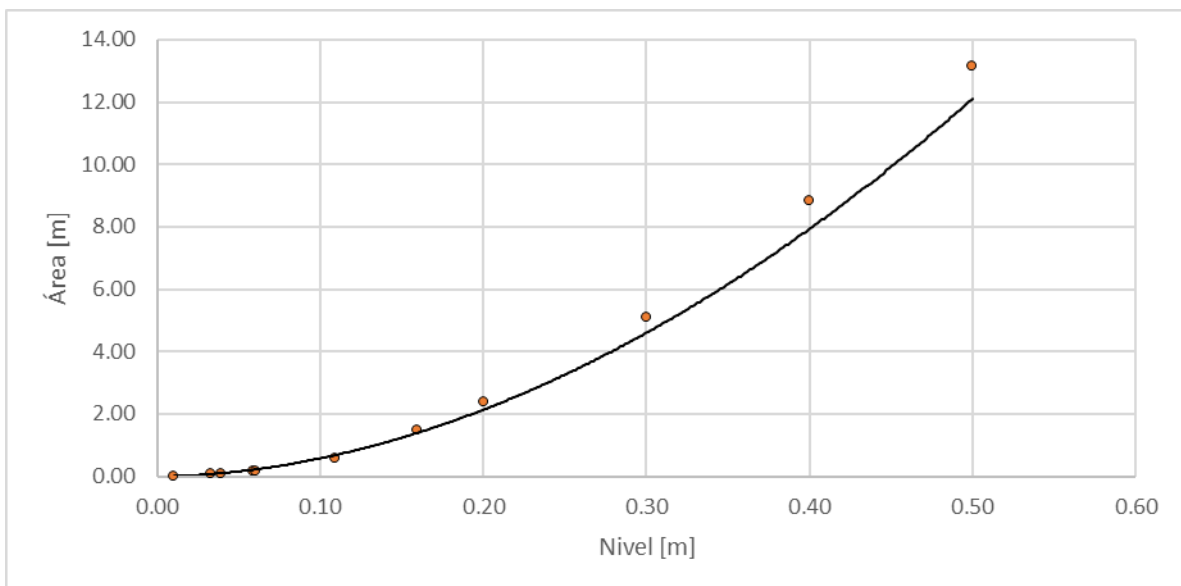


Figura 42. Nivel vs área, quebrada el Triunfo - Mirador de Villapilar

4.8 Quebrada Guayabal – Recinto del pensamiento



Figura 43. Vista en planta, quebrada Guayabal - Recinto del pensamiento

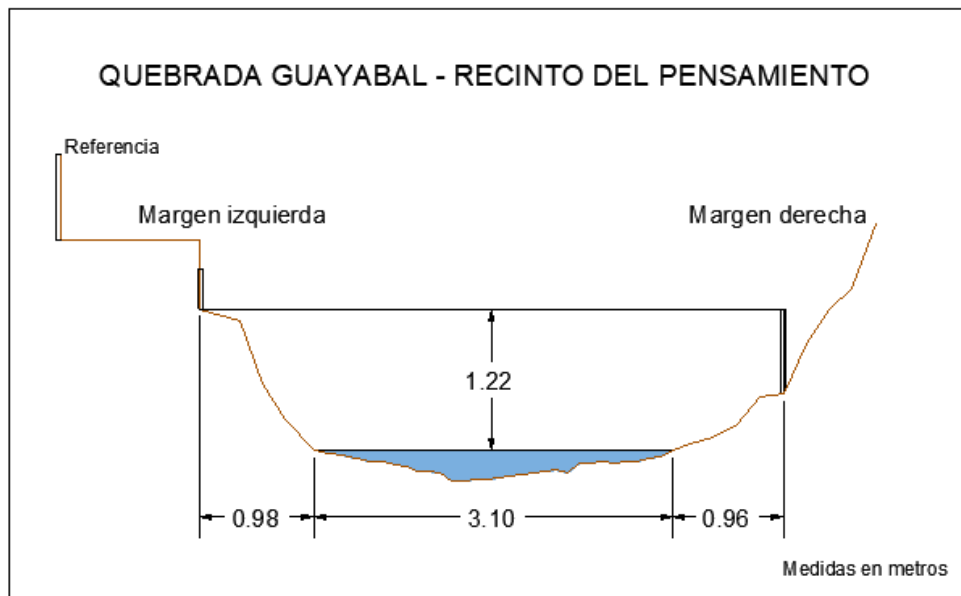


Figura 44. Sección transversal, quebrada Guayabal - Recinto del pensamiento, con medidas hechas en un cierto momento



Tabla 9. Resumen de resultados, quebrada Guayabal - Recinto del pensamiento

ESTACIÓN QUEBRADA GUAYABAL - RECINTO DEL PENSAMIENTO										
LATITUD	N 5° 2' 40.74"			LONGITUD	W 75° 26' 56.88"			ELEVACIÓN (msnm)	2043	
Fecha aforo (dd-mm-aa)	GENERAL SECCIÓN DE AFORO				DATOS DEL SENSOR			RESULTADOS		
	Profundidad máxima (m)	Ancho de la sección mojada (m)	Ancho dovela (m)	Perímetro Mojado (m)	Altura desde el sensor a la superficie del agua (m)	Nivel medido por el sensor (m)	Velocidad media del flujo (m/s)	Área mojada (m ²)	Caudal medido (m ³ /s)	Error cuadrático medio para caudal
4/05/2017	0.370	3.400	0.500	3.590	5.450	2.506	0.449	0.787	0.172	0.020
18/05/2017	0.450	3.200	0.200	3.490	5.430	2.542	0.583	0.893	0.375	0.149
16/06/2017	0.324	3.550	0.250	3.630	5.580	2.431	0.438	0.677	0.152	0.020
8/07/2017	0.306	3.300	0.250	3.460	5.550	2.407	0.340	0.661	0.162	0.047
28/07/2017	0.278	3.200	0.200	3.280	5.570	2.375	0.347	0.507	0.097	0.003
11/08/2017	0.258	3.100	0.200	3.210	5.600	2.366	0.326	0.524	0.071	0.018
23/05/2019	0.460	3.780	0.300	4.190	5.360	2.451	0.331	1.524	0.289	0.142
31/07/2019	0.260	2.700	0.220	2.910	5.630	2.365	0.165	2.524	0.050	0.038

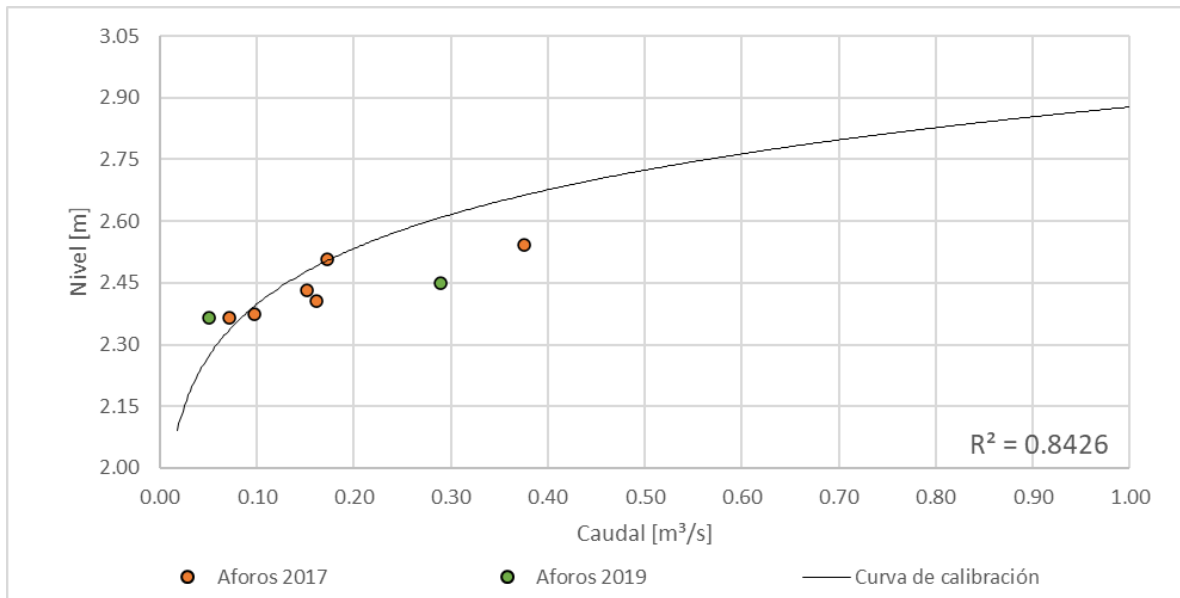


Figura 45. Curva nivel vs caudal, quebrada Guayabal - Recinto del pensamiento

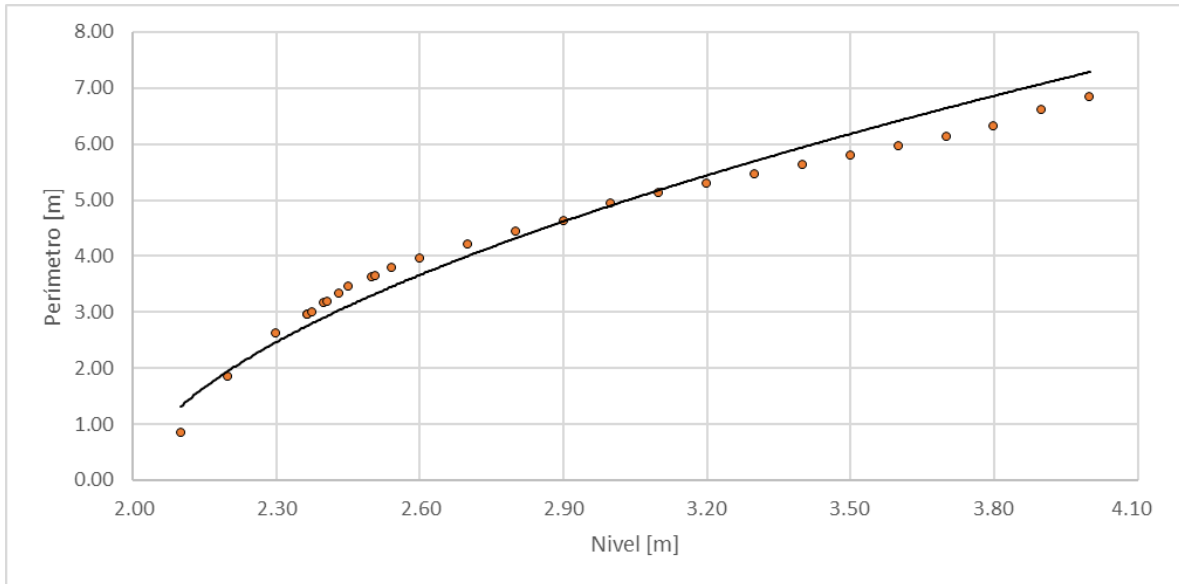


Figura 46. Nivel vs perímetro, quebrada Guayabal - Recinto del pensamiento

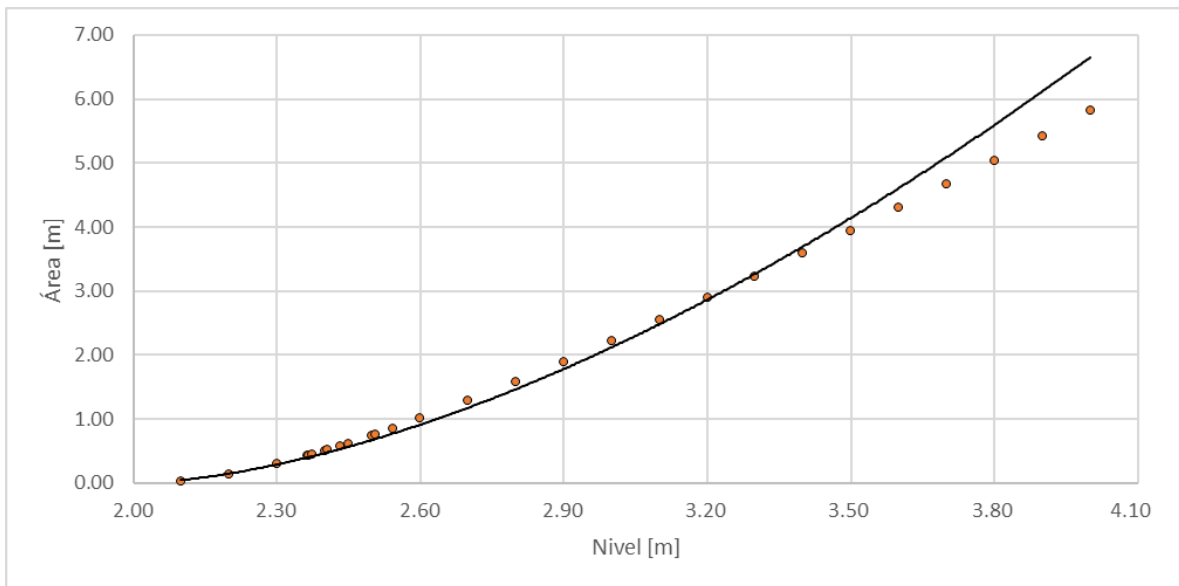


Figura 47. Nivel vs área, quebrada Guayabal - Recinto del pensamiento

4.9 Quebrada La Francia – Los Puentes



Figura 48. Vista en planta, quebrada la Francia - Los puentes

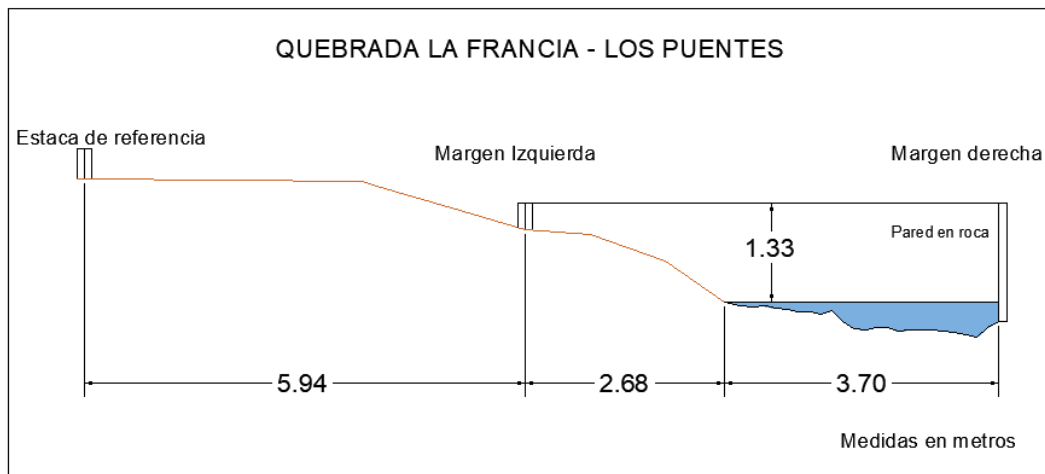


Figura 49. Sección transversal, quebrada la Francia - Los Puentes, con medidas hechas en un cierto momento



Tabla 10. Resumen de resultados, quebrada la Francia - Los Puentes

ESTACIÓN										
QUEBRADA LA FRANCIA - LOS PUENTES										
LATITUD	N 5° 3' 45.52"			LONGITUD	W 75° 32' 48.91"			ELEVACIÓN (msnm)	1631	
GENERAL SECCIÓN DE AFORO				DATOS DEL SENSOR			RESULTADOS			
Fecha aforo (dd-mm-aa)	Profundidad máxima (m)	Ancho de la sección mojada (m)	Ancho dovela (m)	Perímetro Mojado (m)	Altura desde el sensor a la superficie del agua (m)	Nivel medido por el sensor (m)	Velocidad media del flujo (m/s)	Área mojada (m ²)	Caudal medido (m ³ /s)	Error cuadrático medio para caudal
6/11/2017	0.455	3.340	0.400	3.480	11.890	2.159	0.165	1.026	0.169	0.037
13/12/2017	0.566	3.510	0.400	4.080	11.490	2.234	0.219	1.396	0.305	0.193
9/01/2018	0.550	3.510	0.400	4.150	11.610	2.177	0.163	1.309	0.214	0.050
23/02/2018	0.443	3.700	0.300	4.900	12.100	2.156	0.117	0.931	0.109	0.086
5/05/2019	0.388	3.520	0.300	4.040	12.250	2.085	0.088	1.006	0.089	0.039
29/06/2019	0.245	3.000	0.300	3.220	12.330	2.081	0.085	0.453	0.038	0.005

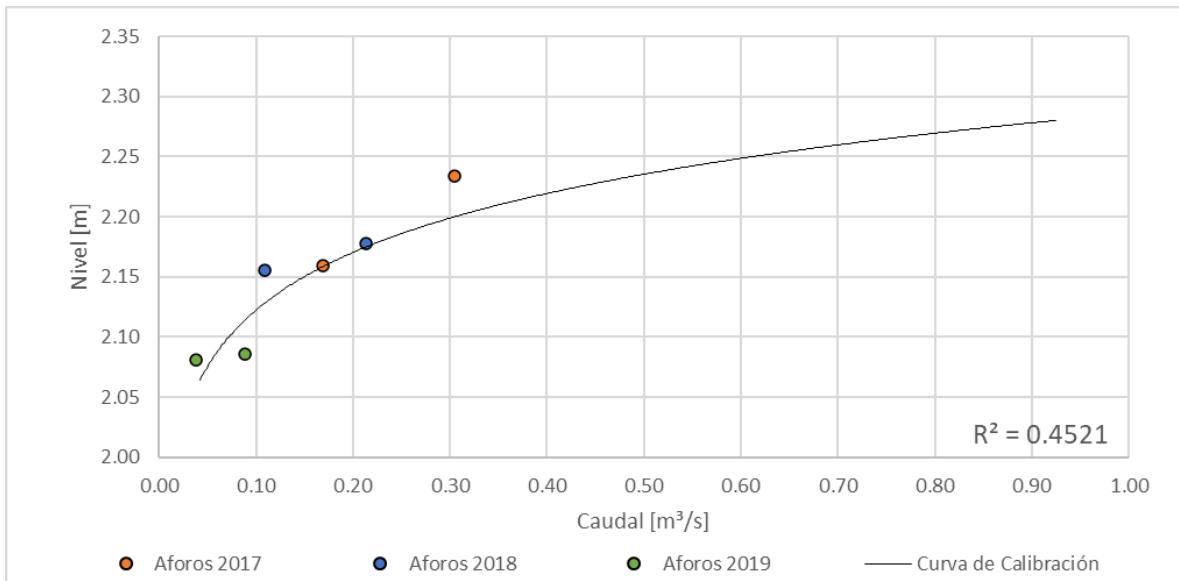


Figura 50. Curva nivel vs caudal, quebrada la Francia - Los Puentes

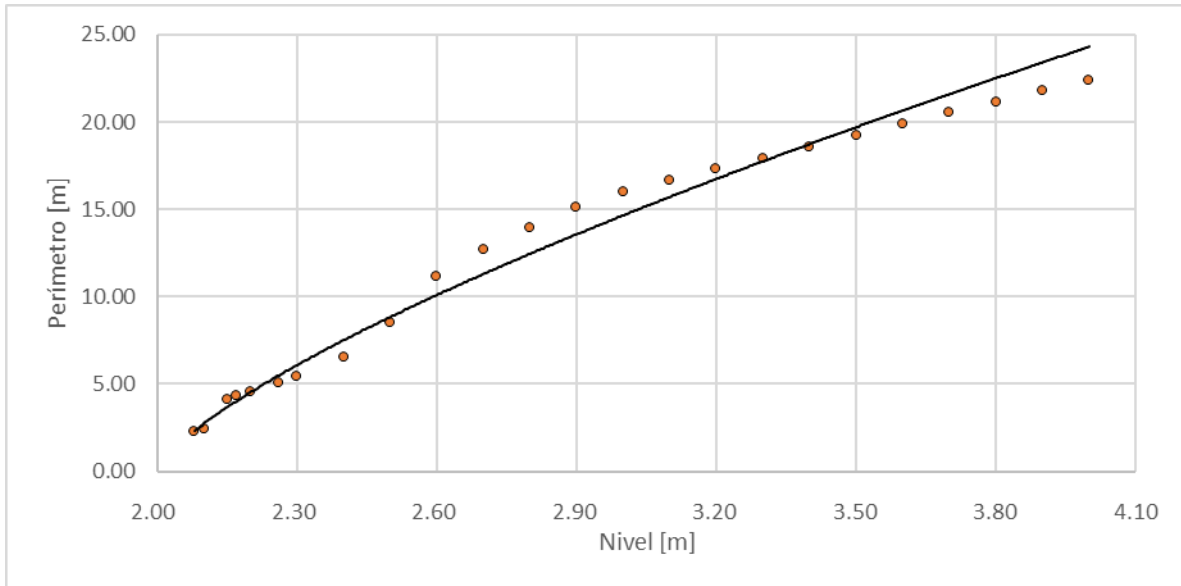


Figura 51. Nivel vs perímetro, quebrada la Francia - Los Puentes

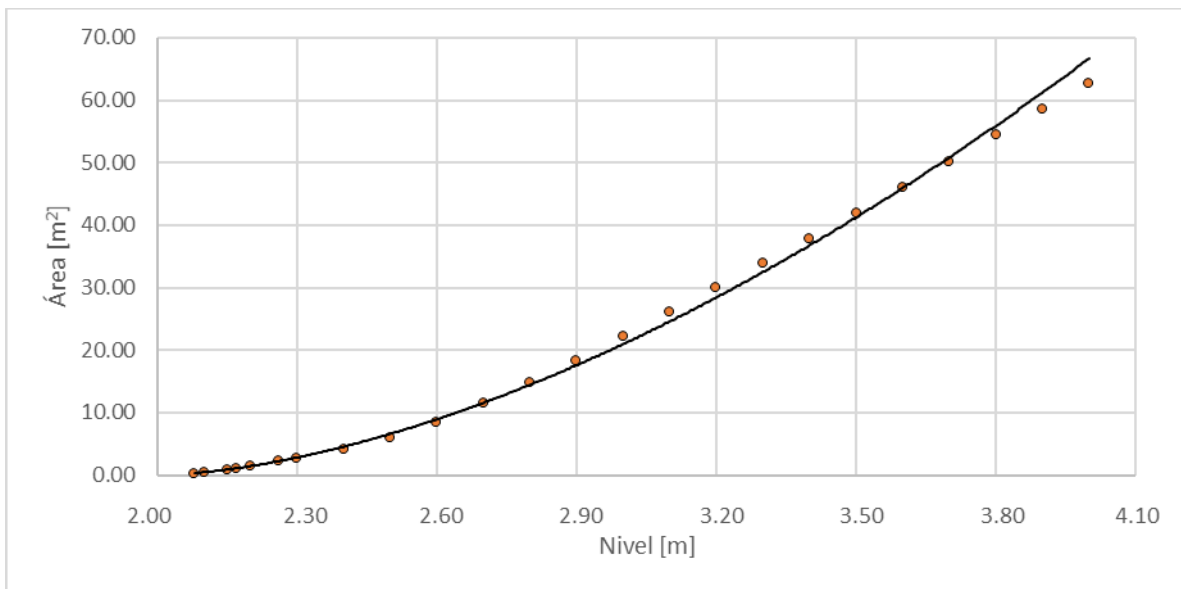


Figura 52. nivel vs área, quebrada la Francia - Los Puentes

4.10 Quebrada las Pavas – Autopistas del café



Figura 53. Vista en planta, quebrada las Pavas - Autopistas del café

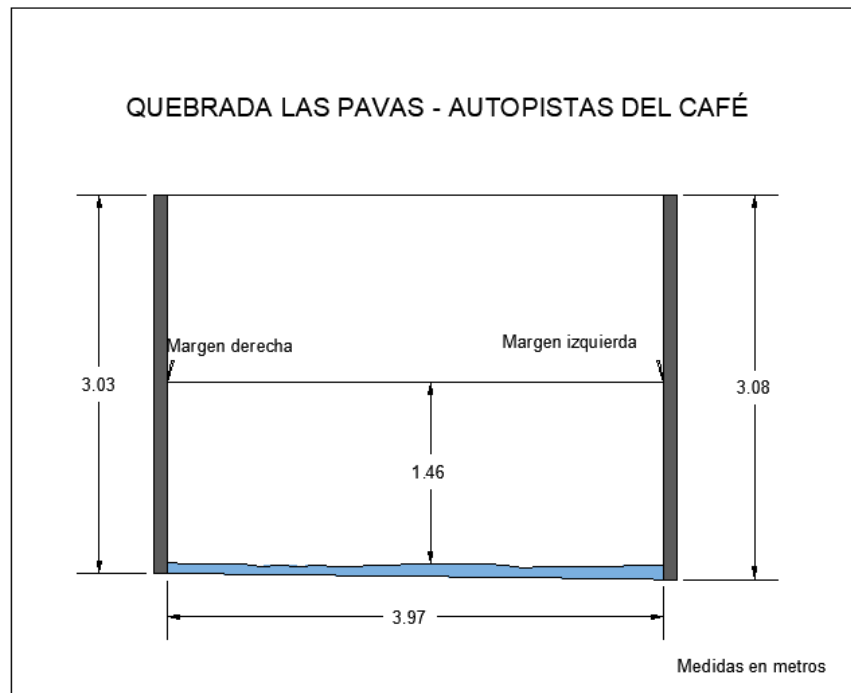


Figura 54. Sección transversal, quebrada Las Pavas - Autopistas del Café, con medidas hechas en un cierto momento



Tabla 11. Resumen de resultados, quebrada Las Pavas - Autopistas del Café

ESTACIÓN QUEBRADA LAS PAVAS - AUTOPISTAS DEL CAFÉ										
LATITUD	N 5° 1' 33.98"			LONGITUD	W 75° 35' 16.77"			ELEVACIÓN (msnm)	1222	
Fecha aforo (dd-mm-aa)	GENERAL SECCIÓN DE AFORO				DATOS DEL SENSOR			RESULTADOS		
	Profundidad máxima (m)	Ancho de la sección mojada (m)	Ancho dovela (m)	Perímetro Mojado (m)	Altura desde el sensor a la superficie del agua (m)	Nivel medido por el sensor (m)	Velocidad media del flujo (m/s)	Área mojada (m ²)	Caudal medido (m ³ /s)	Error cuadrático medio para caudal
6/11/2017	0.198	3.910	0.550	4.300	5.620	2.231	0.315	0.711	0.224	0.131
11/12/2017	0.108	3.910	0.500	4.110	5.680	2.296*	1.444	0.264	0.381	0.238
9/01/2018	0.090	3.910	0.500	4.030	5.590	2.250	0.999	0.177	0.177	0.071
23/02/2018	0.116	3.910	0.300	4.170	5.530	2.306	0.322	0.342	0.110	0.041
5/05/2019	0.270	3.300	0.300	3.580	5.710	2.316	0.315	0.584	0.184	0.024
28/06/2019	0.316	3.100	0.280	3.300	5.760	2.294	0.095	0.521	0.049	0.091
31/07/2019	0.217	2.600	0.240	2.870	5.800	2.223	0.058	0.318	0.019	0.068

*Nivel de sensor inconsistente respecto al caudal medido en campo.

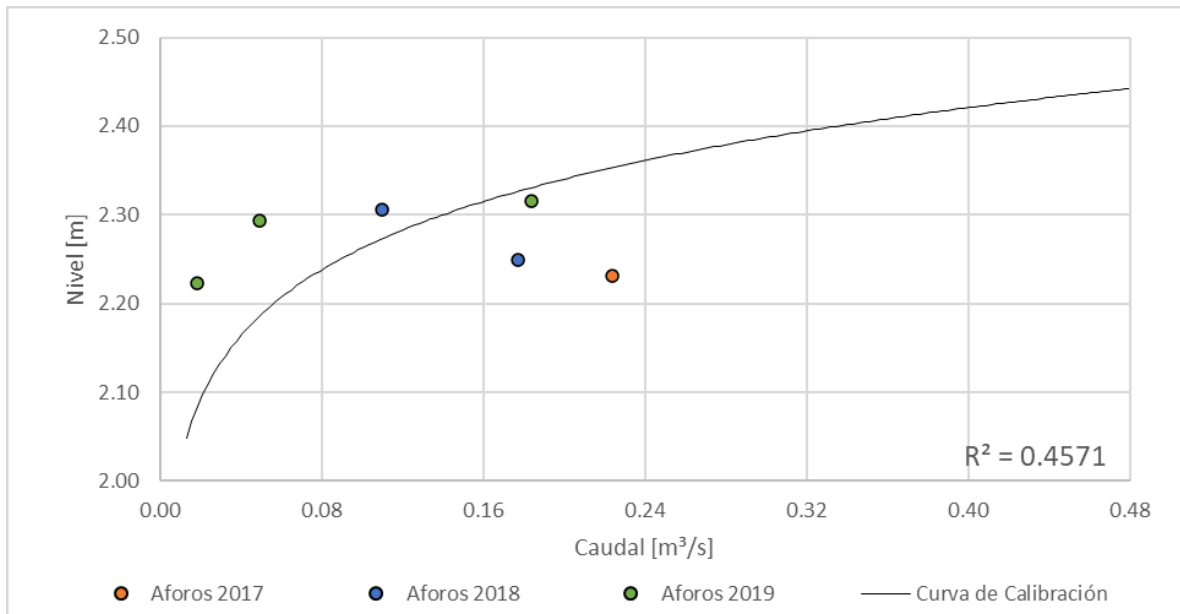


Figura 55. Curva nivel vs caudal, quebrada Las Pavas - Autopistas del Café

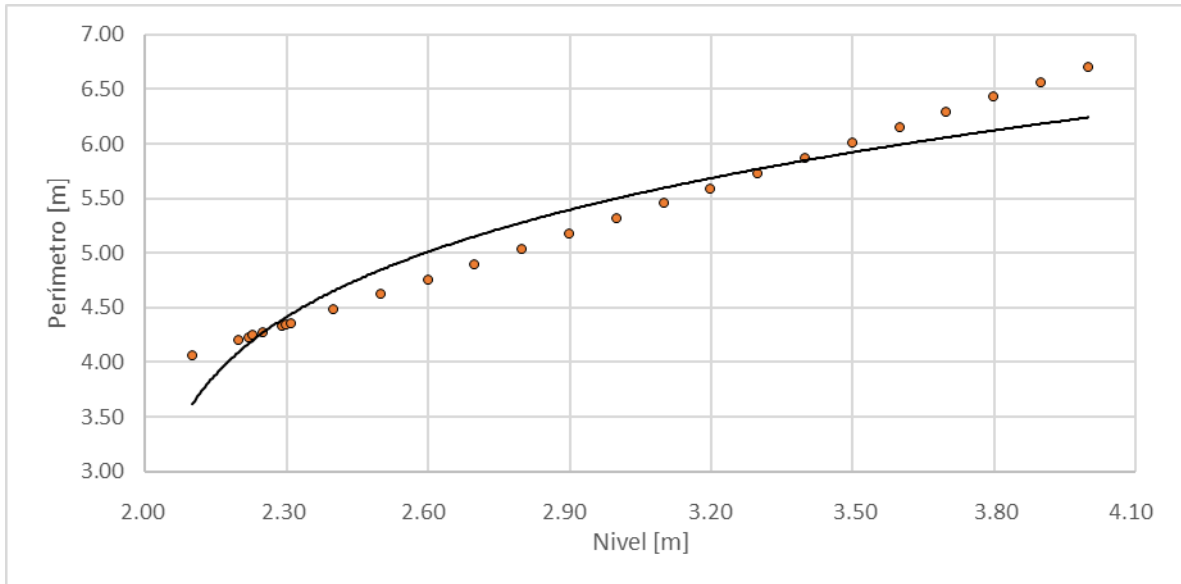


Figura 56. Nivel vs perímetro, quebrada Las Pavas - Autopistas del Café

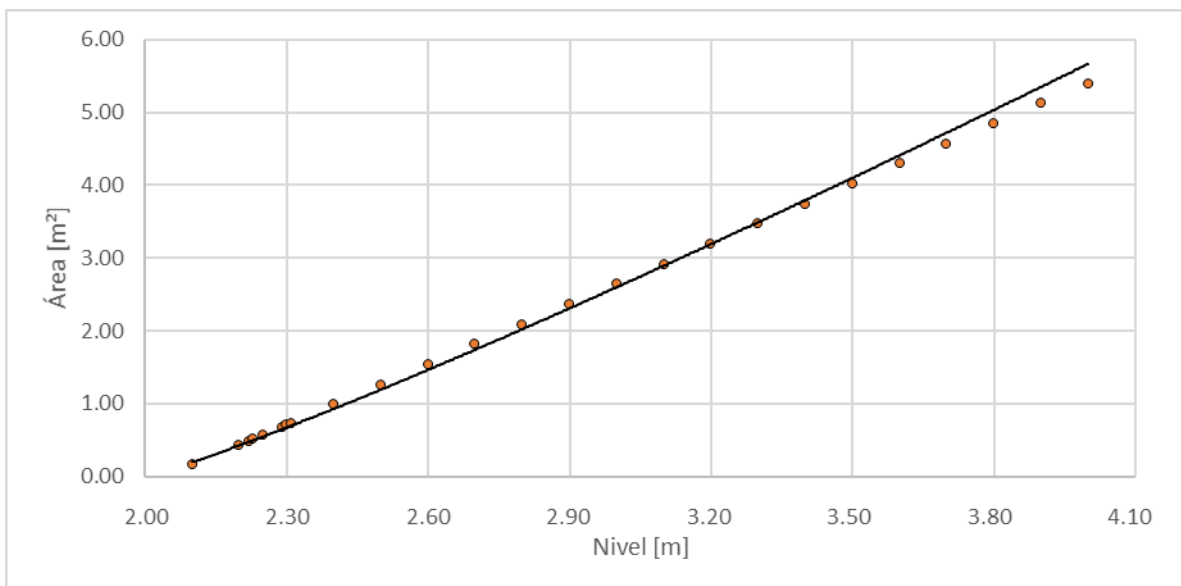


Figura 57. Nivel vs área, quebrada Las Pavas - Autopistas del Café

4.11 Quebrada Manizales - Skinco



Figura 58. Vista en planta, quebrada Manizales - Skinco

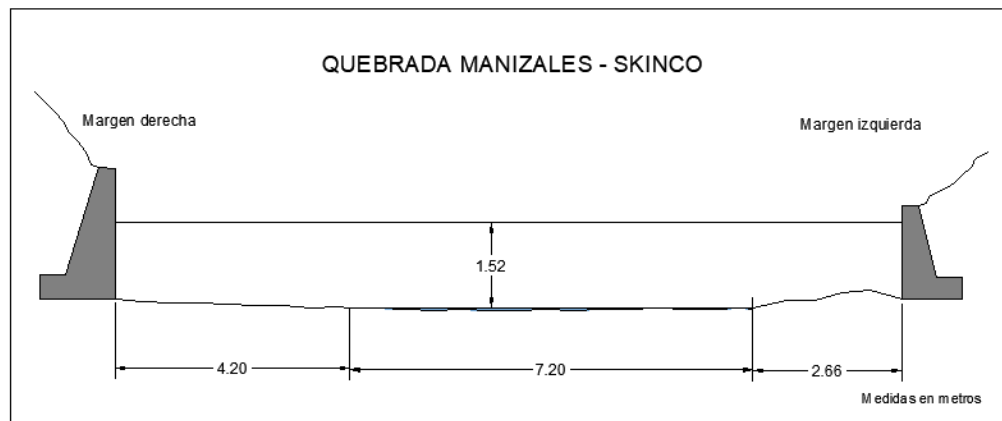


Figura 59. Sección transversal, quebrada Manizales – Skinco, con medidas hechas en un cierto momento



Tabla 12. Resumen de resultados, quebrada Manizales – Skinco

ESTACIÓN		QUEBRADA MANIZALES - SKINCO								
LATITUD	N 5° 2' 18.8"	LONGITUD	W 75° 25' 49.35"	ELEVACIÓN (msnm)	2267					
GENERAL SECCIÓN DE AFORO				DATOS DEL SENSOR			RESULTADOS			
Fecha aforo (dd-mm-aa)	Profundidad máxima (m)	Ancho de la sección mojada (m)	Ancho dovela (m)	Perímetro Mojado (m)	Altura desde el sensor a la superficie del agua (m)	Nivel medido por el sensor (m)	Velocidad media del flujo (m/s)	Área mojada (m ²)	Caudal medido (m ³ /s)	Error cuadrático medio para caudal
9/06/2017	0.068	7.500	1.000	7.510	6.740	2.135	0.401	0.431	0.173	0.037
12/07/2017	0.140	7.820	0.500	7.860	6.750	2.129	0.314	0.472	0.148	0.044
2/08/2017	0.075	7.000	0.500	7.030	6.770	2.120	0.242	0.385	0.093	0.069
13/10/2017	0.078	7.200	0.500	7.210	6.840	2.106	0.174	0.347	0.060	0.060
13/12/2017	0.366	3.700	0.300	4.070	6.700	2.149	0.413	0.741	0.306	0.039
17/12/2017	0.412	3.900	0.320	4.250	6.400	2.164	0.445	0.966	0.430	0.100
22/05/2019	0.459	4.500	0.380	4.970	6.620	2.149	0.303	1.232	0.373	0.107
28/06/2019	0.375	4.290	0.400	4.470	6.690	2.137	0.282	0.877	0.248	0.029
29/06/2019	0.375	4.290	0.400	4.470	6.690	2.125	0.282	0.877	0.248	0.070

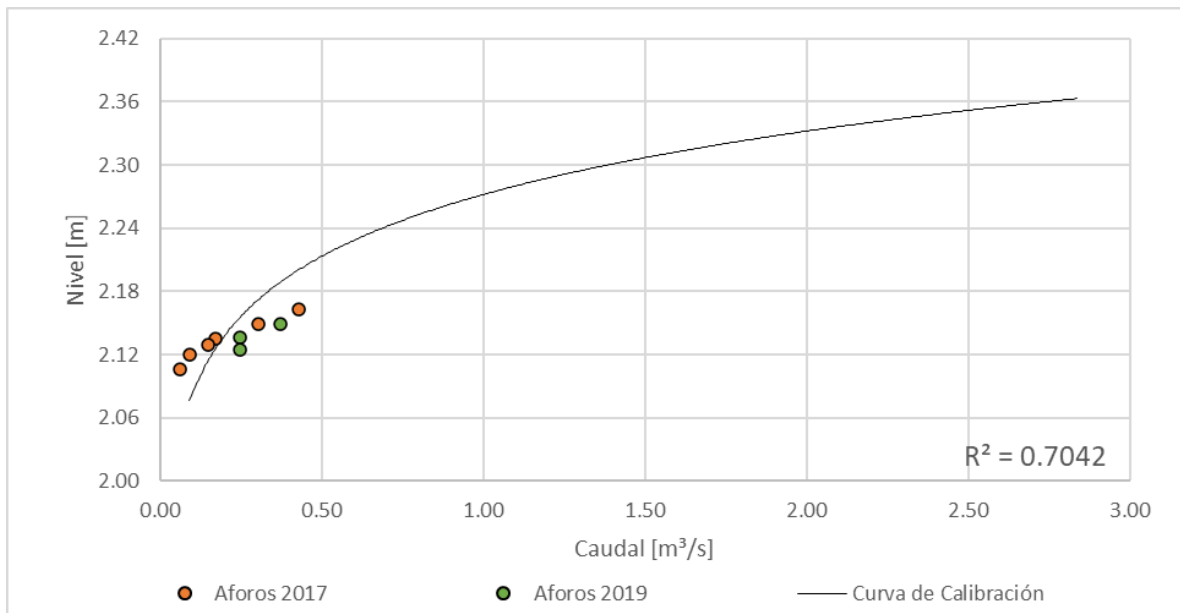


Figura 60. Curva nivel vs caudal, quebrada Manizales – Skinco

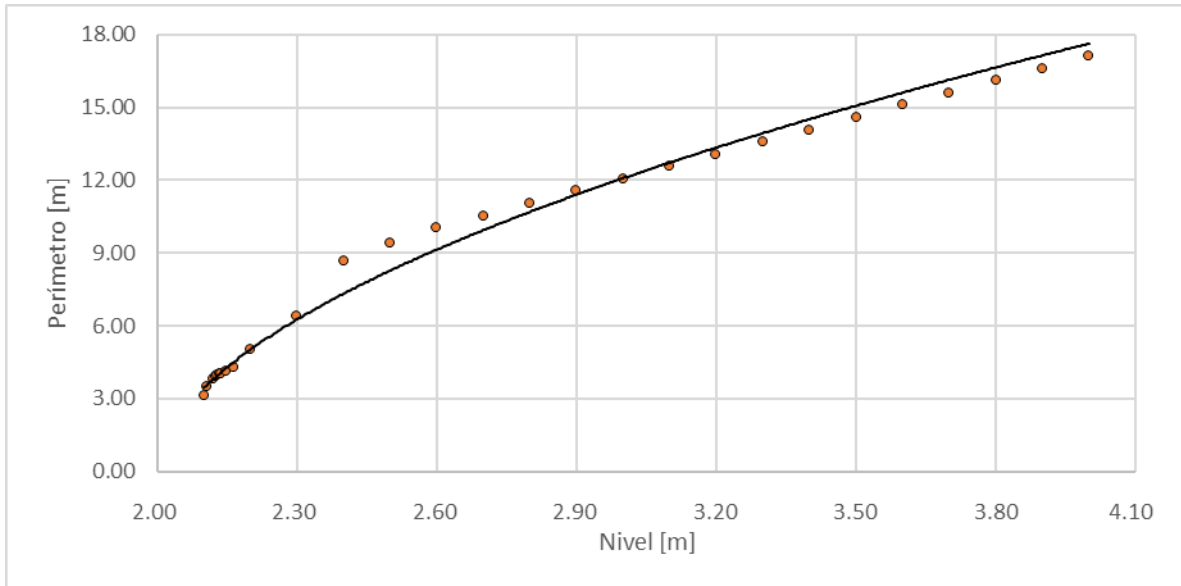


Figura 61. Nivel vs Perímetro, quebrada Manizales – Skinco

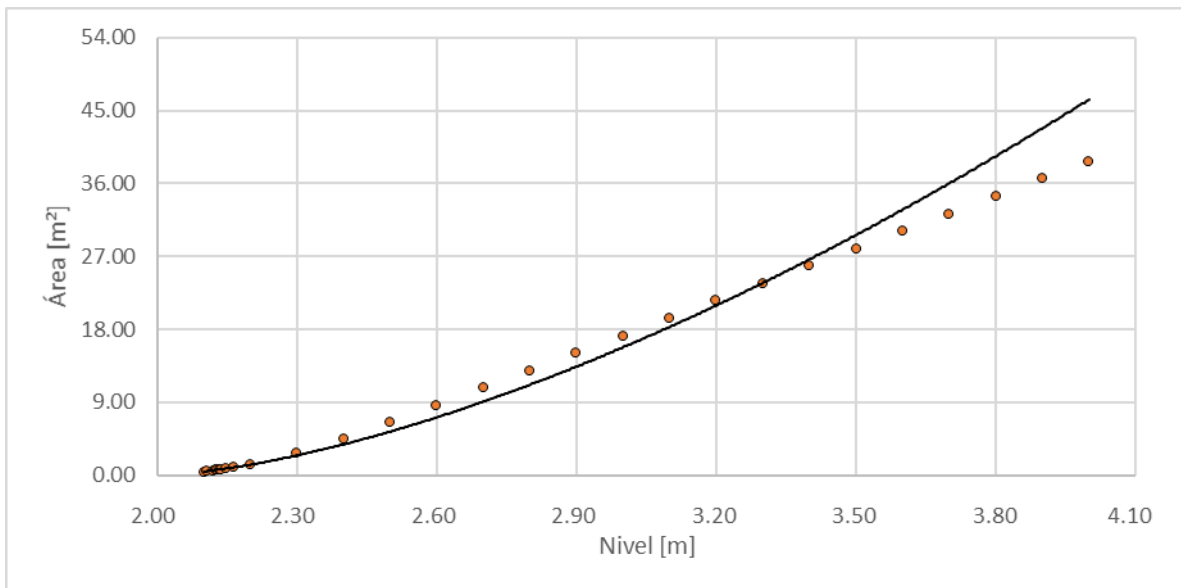


Figura 62. Nivel vs área, quebrada Manizales – Skinco

4.12 Quebrada Manzanares – Industrias Básicas de Caldas



Figura 63. Vista en planta, quebrada Manzanares - Industrias básicas de Caldas

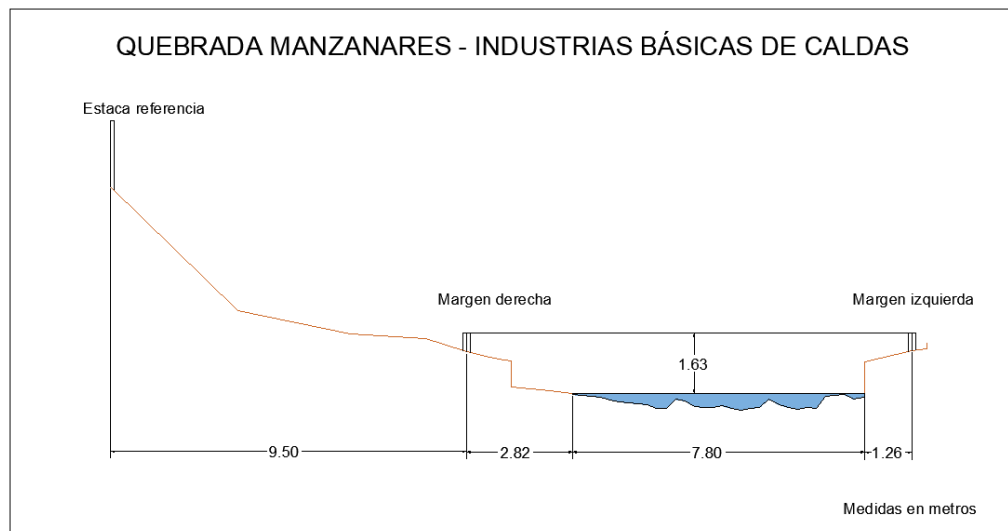


Figura 64. Sección transversal, quebrada Manzanares - Industrias Básicas de Caldas, con medidas hechas en un cierto momento.



Tabla 13. Resumen de resultados, quebrada Manzanares - Industrias Básicas de Caldas

ESTACIÓN		QUEBRADA MANZANARES - INDUSTRIAS BÁSICAS DE CALDAS								
LATITUD	N 5° 3' 3.68"	LONGITUD	W 75° 36' 27.04"	ELEVACIÓN (msnm)	1110					
GENERAL SECCIÓN DE AFORO				DATOS DEL SENSOR			RESULTADOS			
Fecha aforo (dd-mm-aa)	Profundidad máxima (m)	Ancho de la sección mojada (m)	Ancho dovela (m)	Perímetro Mojado (m)	Altura desde el sensor a la superficie del agua (m)	Nivel medido por el sensor (m)	Velocidad media del flujo (m/s)	Área mojada (m ²)	Caudal medido (m ³ /s)	Error cuadrático medio para caudal
6/11/2017	0.557	6.700	0.600	7.030	6.700	2.147	0.433	2.086	0.904	0.625
11/12/2017	0.695	8.720	0.800	9.390	6.500	2.353	0.846	4.052	3.428	1.077
11/01/2018	0.544	8.000	0.800	8.600	6.620	2.297	0.630	2.483	1.565	0.022
23/02/2018	0.384	7.800	0.500	8.360	6.590	2.215	0.472	2.017	0.952	0.247

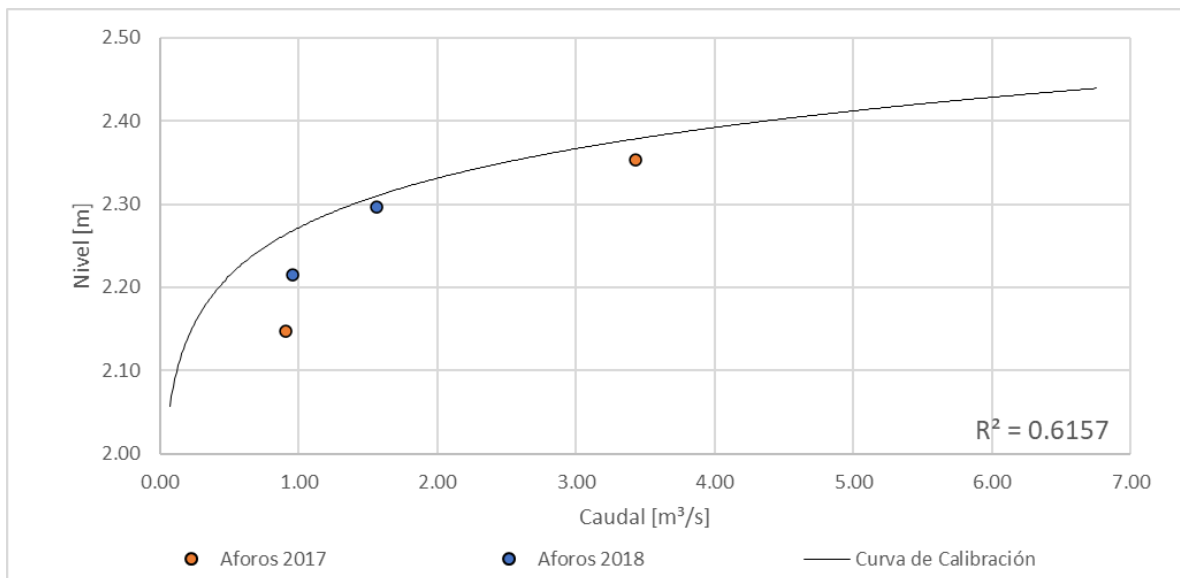


Figura 65. Curva nivel vs caudal, quebrada Manzanares - Industrias Básicas de Caldas

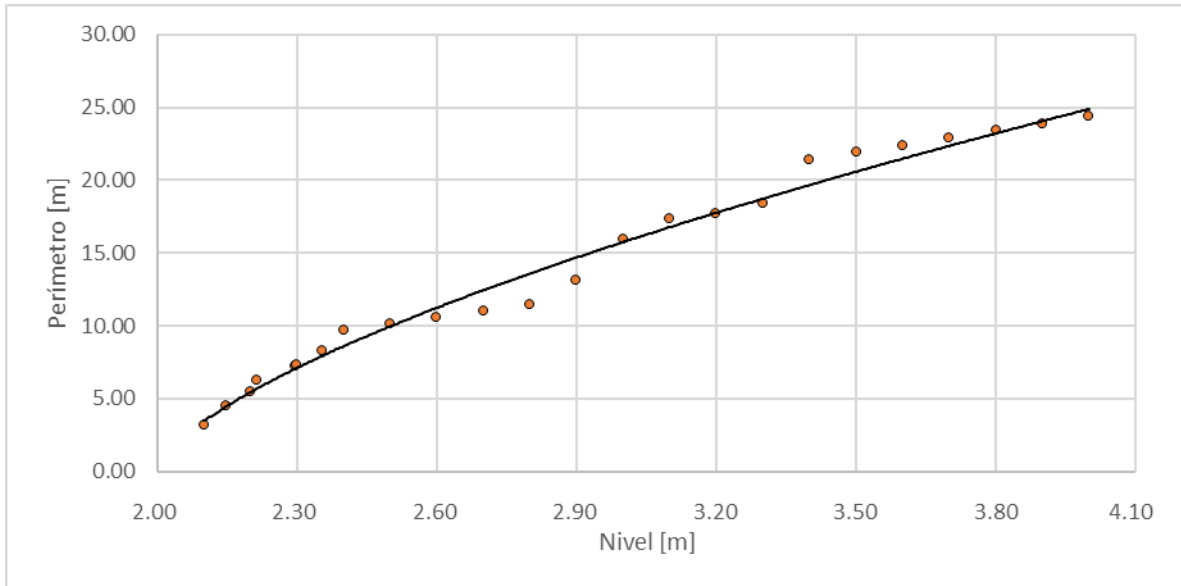


Figura 66. Nivel vs perímetro, quebrada Manzanares - Industrias Básicas de Caldas

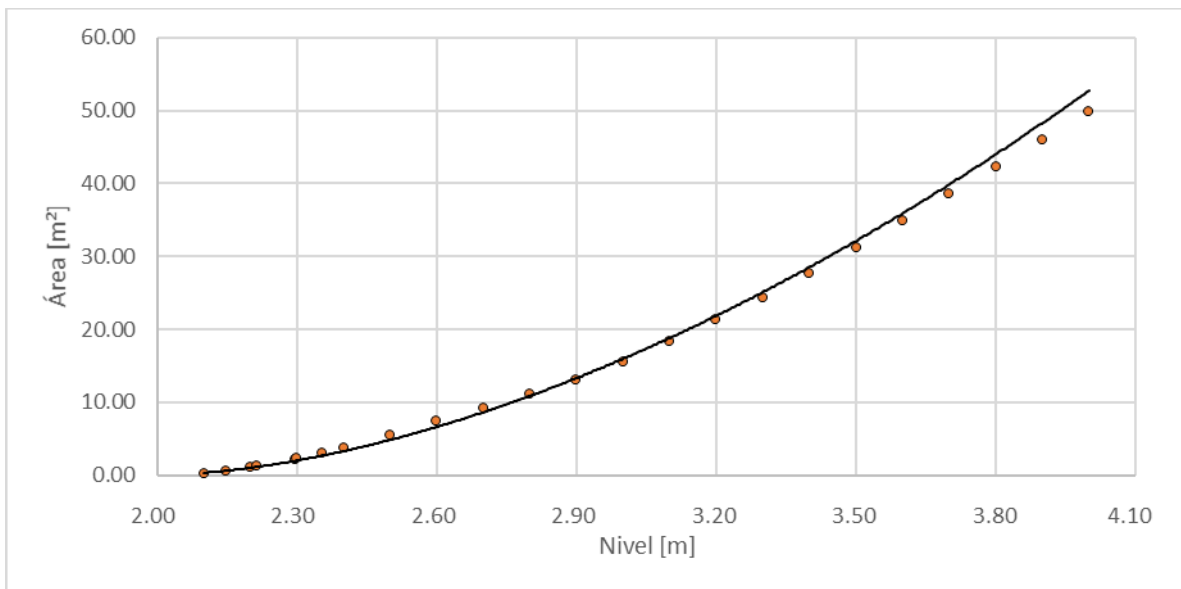


Figura 67. Nivel vs área, quebrada Manzanares - Industrias Básicas de Caldas

4.13 Quebrada Marmato – Planta CHEC

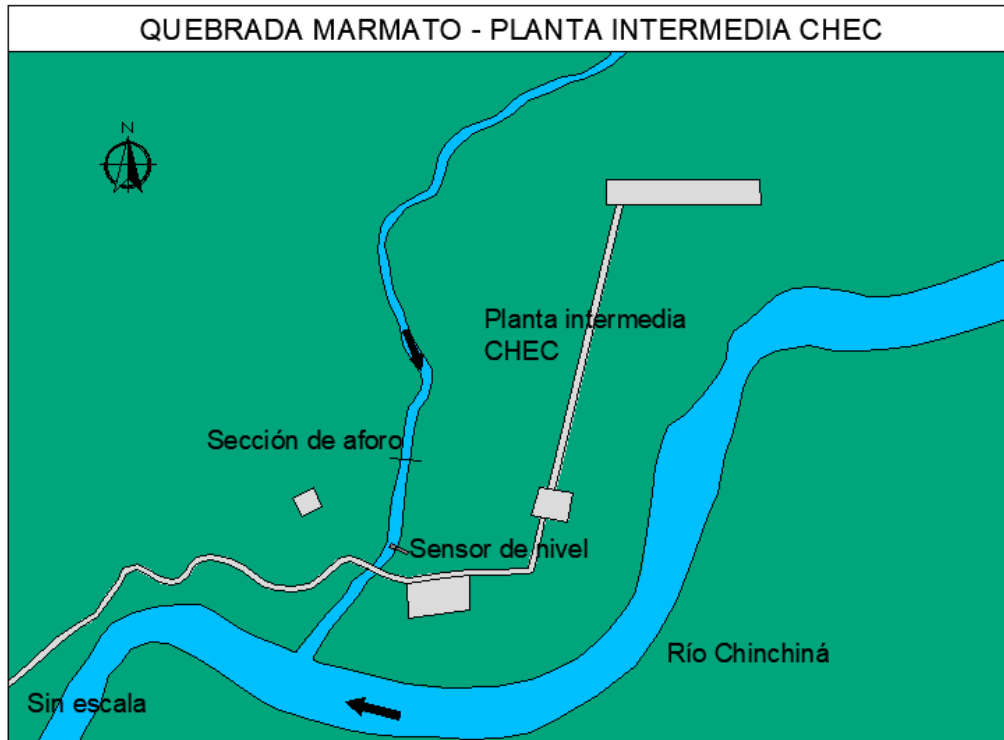


Figura 68. Vista en planta, quebrada Marmato - Planta intermedia CHEC

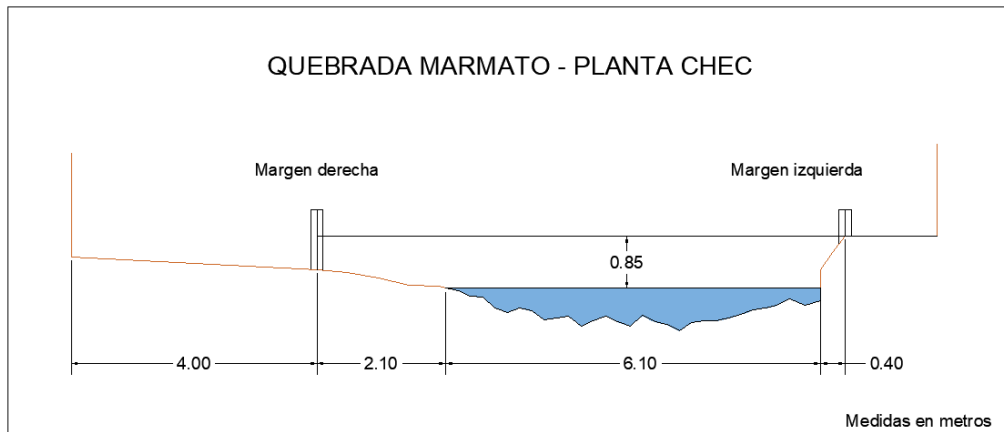


Figura 69. Sección transversal, quebrada Marmato - Planta intermedia CHEC, con medidas hechas en un cierto momento.



Tabla 14. Resumen de Resultados, quebrada Marmato - Planta intermedia CHEC

ESTACIÓN QUEBRADA MARMATO - PLANTA CHEC										
LATITUD	N 5° 3' 3.68"			LONGITUD	W 75° 31' 5.08"			ELEVACIÓN (msnm)	1788	
Fecha aforo (dd-mm-aa)	GENERAL SECCIÓN DE AFORO				DATOS DEL SENSOR			RESULTADOS		
	Profundidad máxima (m)	Ancho de la sección mojada (m)	Ancho dovela (m)	Perímetro Mojado (m)	Altura desde el sensor a la superficie del agua (m)	Nivel medido por el sensor (m)	Velocidad media del flujo (m/s)	Área mojada (m ²)	Caudal medido (m ³ /s)	Error cuadrático medio para caudal
21/11/2017	0.665	6.700	0.400	7.320	5.600	2.508	0.103	2.578	0.266	0.068
6/12/2017	0.497	6.000	0.500	6.540	5.560	2.491	0.117	1.910	0.223	0.083
5/01/2018	0.602	7.050	0.300	8.310	5.580	2.468	0.087	2.503	0.217	0.052
24/02/2018	0.685	6.100	0.400	6.850	5.490	2.464	0.115	2.400	0.277	0.014
3/07/2019	0.480	6.400	0.600	6.900	5.640	2.365	1.638	0.136	0.223	0.086
30/07/2019	0.496	5.500	0.460	6.160	5.760	2.368	0.770	0.129	0.100	0.040

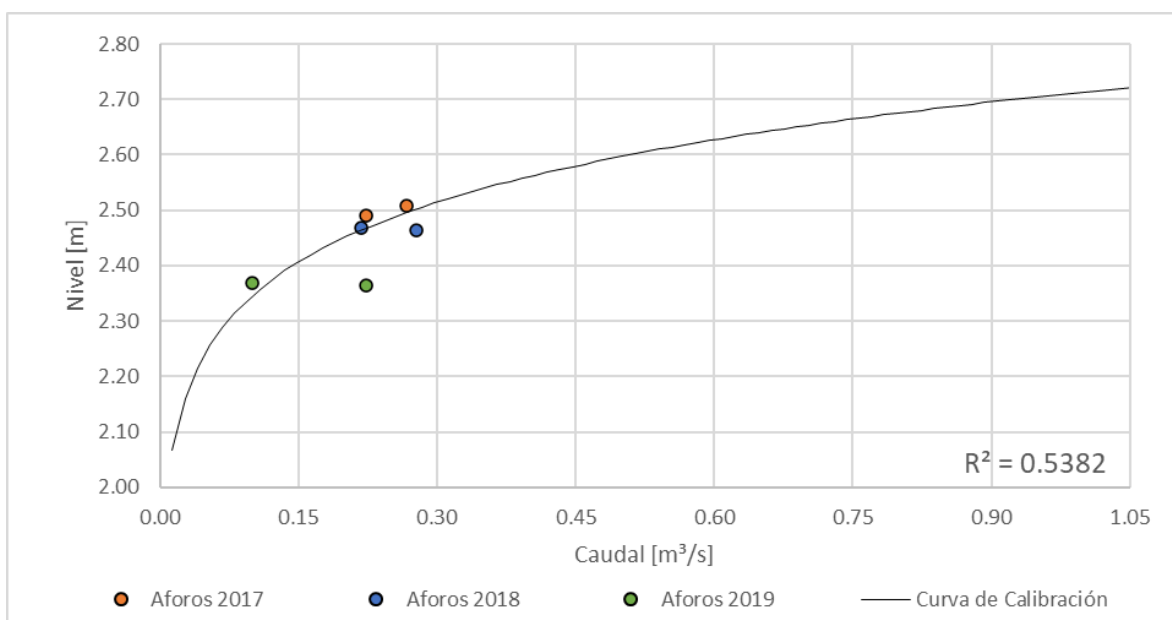


Figura 70. Curva nivel vs caudal, quebrada Marmato - Planta intermedia CHEC

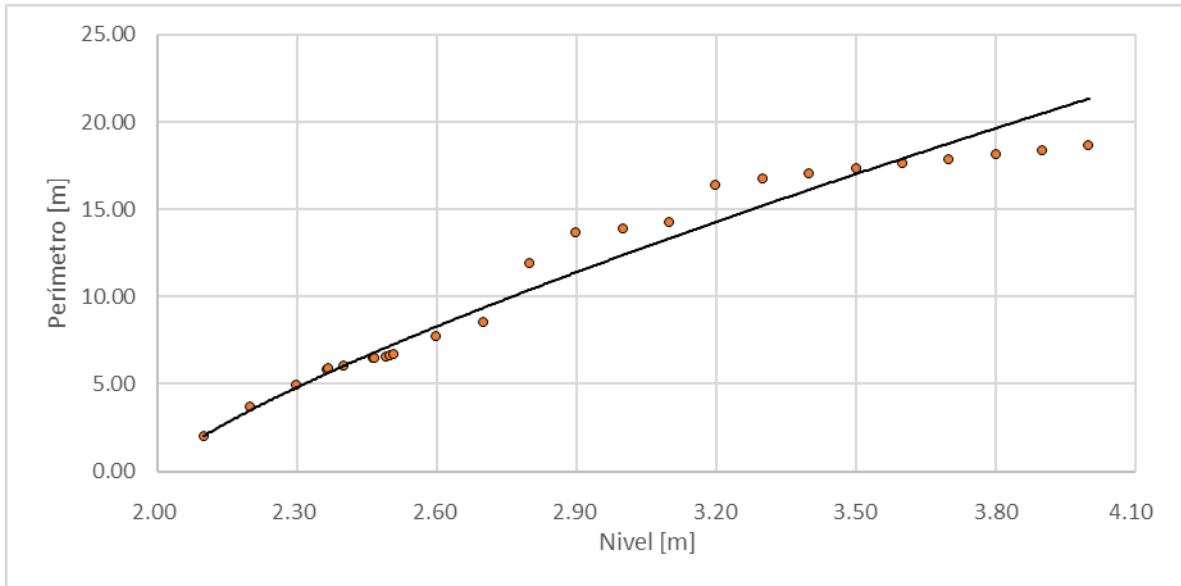


Figura 71. Nivel vs perímetro, quebrada Marmato - Planta intermedia CHEC

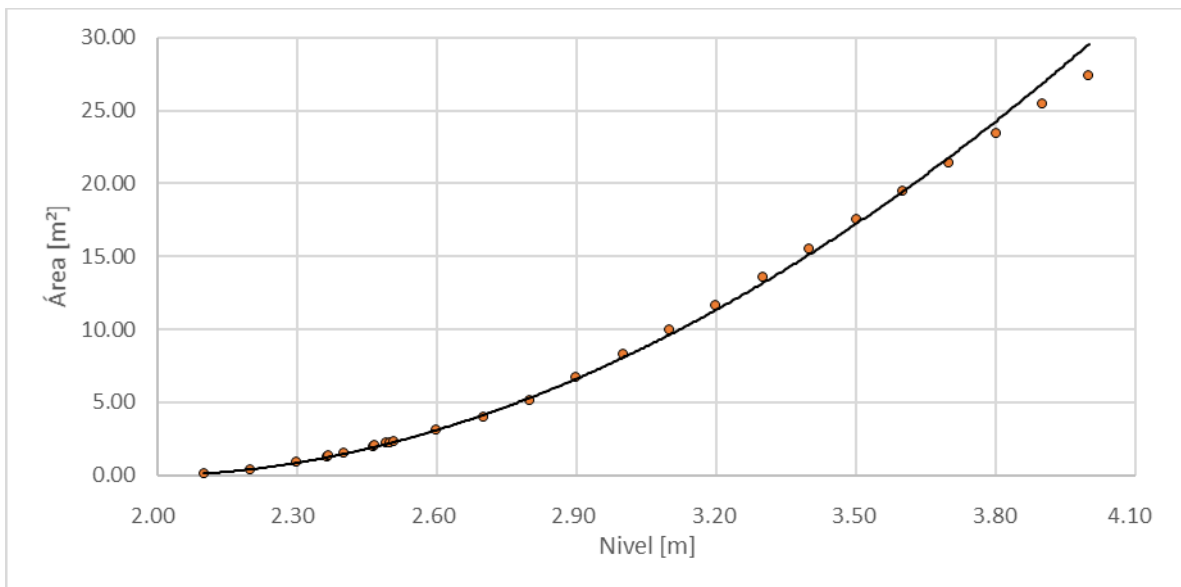


Figura 72. Nivel vs área, quebrada Marmato - Planta intermedia CHEC

4.14 Quebrada Olivares – Aguas de Manizales



Figura 73. Vista en planta, quebrada Olivares - Aguas de Manizales

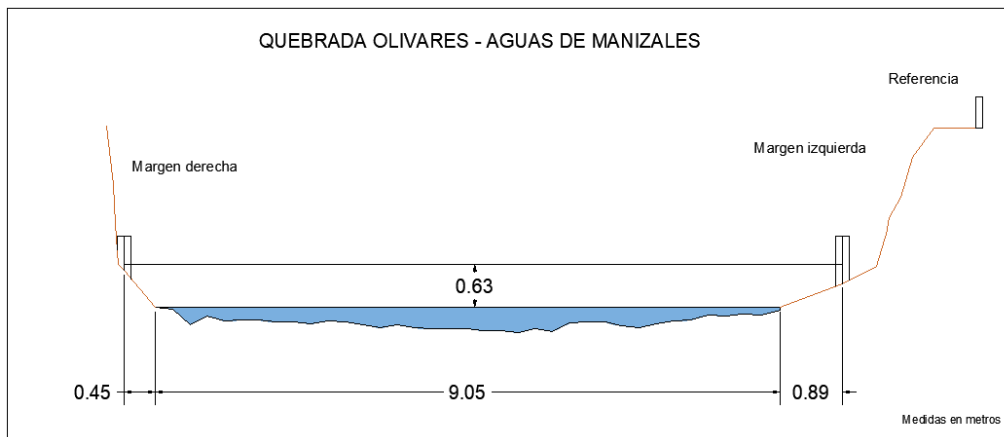


Figura 74. Sección transversal, Quebrada Olivares - Aguas de Manizales, con medidas hechas en un cierto momento



Tabla 15. Resumen de resultados, quebrada Olivares - Aguas de Manizales

ESTACIÓN QUEBRADA OLIVARES - AGUAS DE MANIZALES										
LATITUD	N 5° 3' 3.68"			LONGITUD	W 75° 36' 27.04"			ELEVACIÓN (msnm)	1110	
GENERAL SECCIÓN DE AFORO				DATOS DEL SENSOR			RESULTADOS			
Fecha aforo (dd-mm-aa)	Profundidad máxima (m)	Ancho de la sección mojada (m)	Ancho dovela (m)	Perímetro Mojado (m)	Altura desde el sensor a la superficie del agua (m)	Nivel medido por el sensor (m)	Velocidad media del flujo (m/s)	Área mojada (m²)	Caudal medido (m³/s)	Error cuadrático medio para caudal
2/11/2017	0.557	9.000	0.600	9.141	3.650	2.123	0.320	1.805	0.578	0.285
22/11/2017	0.695	8.700	0.500	8.848	3.350	2.251	0.822	1.997	1.642	1.595
1/10/2018	0.544	9.090	0.500	9.274	3.450	2.149	0.976	2.056	2.006	0.770
27/02/2018	0.384	9.050	0.500	9.307	3.500	2.159	0.446	1.949	0.870	0.520

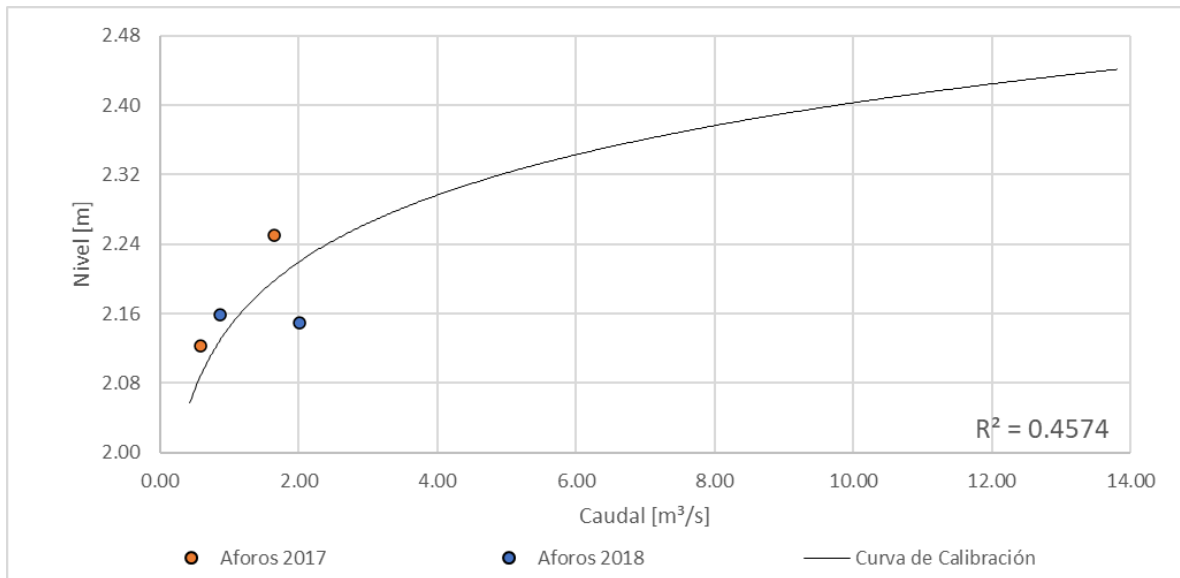


Figura 75. Curva nivel vs caudal, quebrada Olivares - Aguas de Manizales

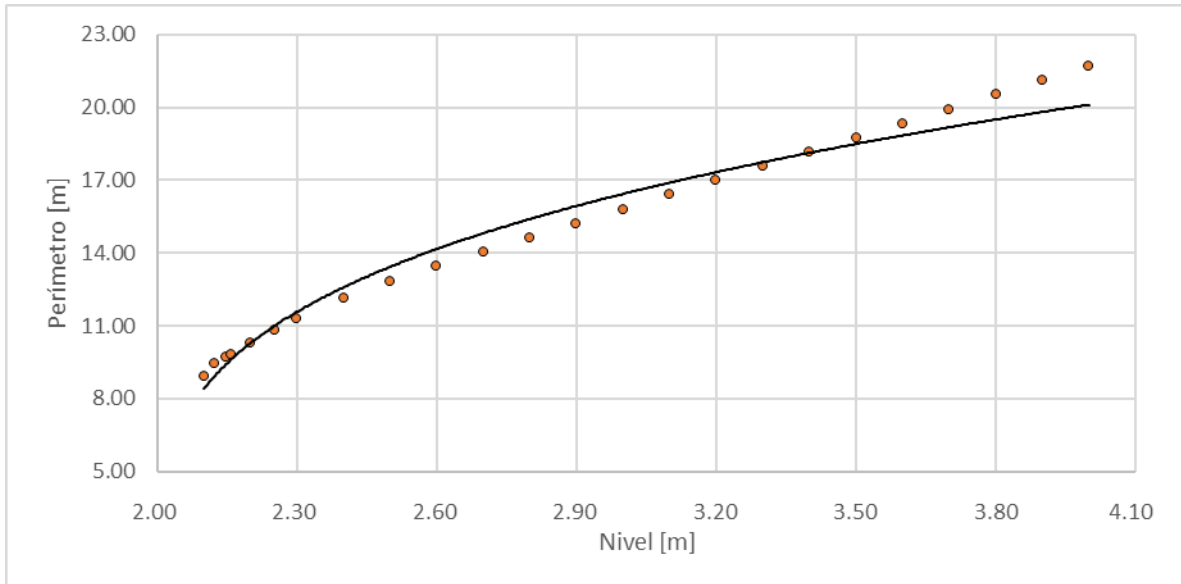


Figura 76. Nivel vs perímetro, quebrada Olivares - Aguas de Manizales

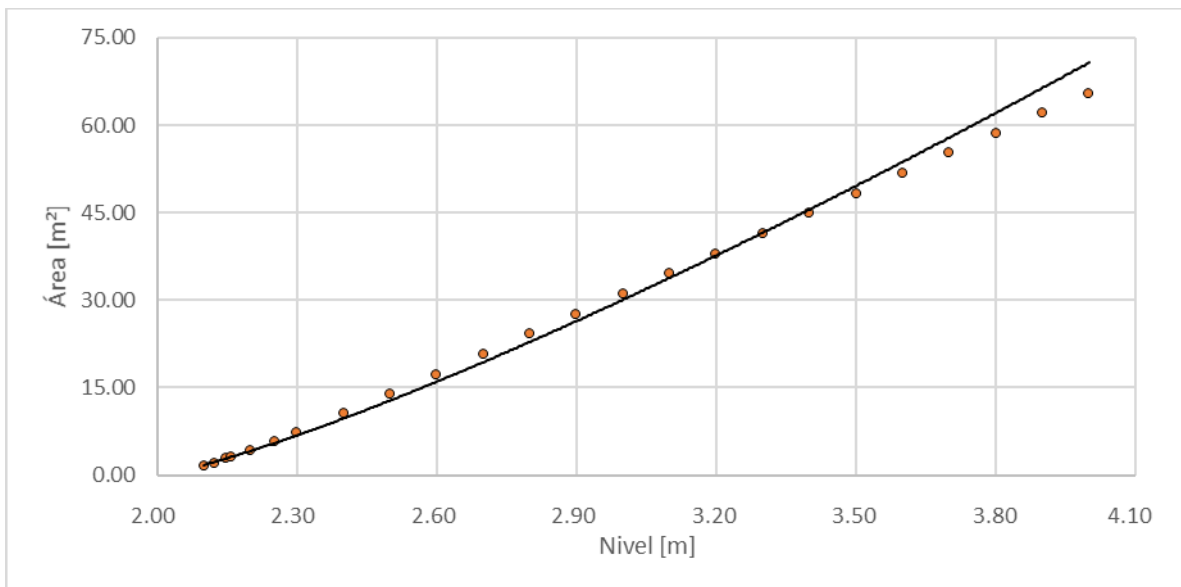


Figura 77. Nivel vs área, quebrada Olivares - Aguas de Manizales

4.15 Quebrada Olivares – Bocatoma

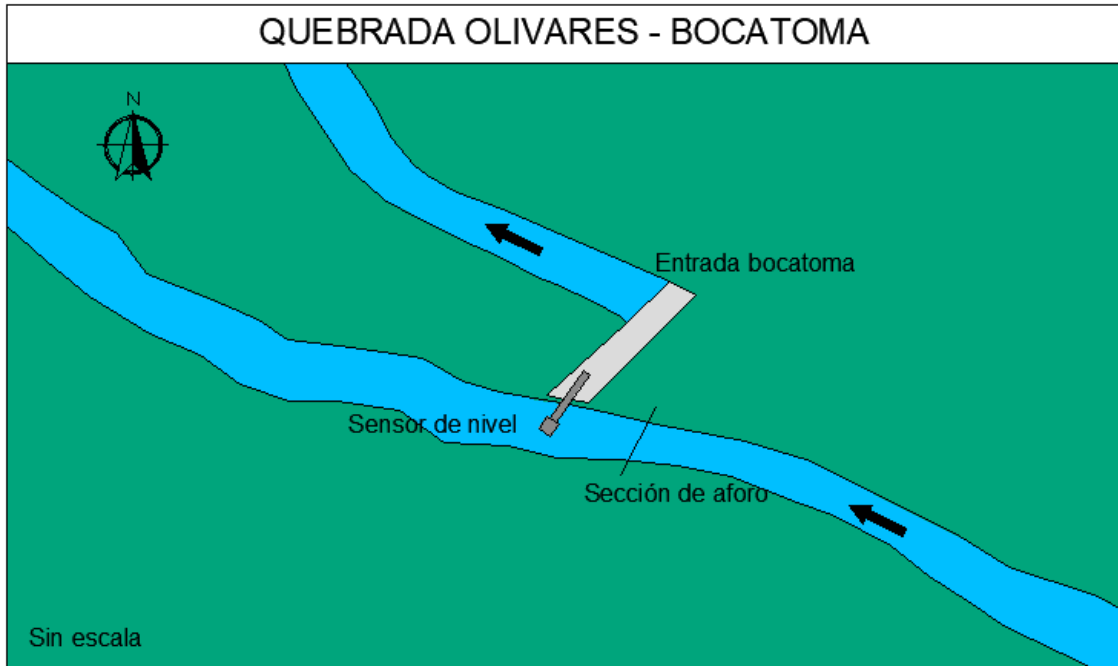


Figura 78. Vista en planta, quebrada Olivares - Bocatoma

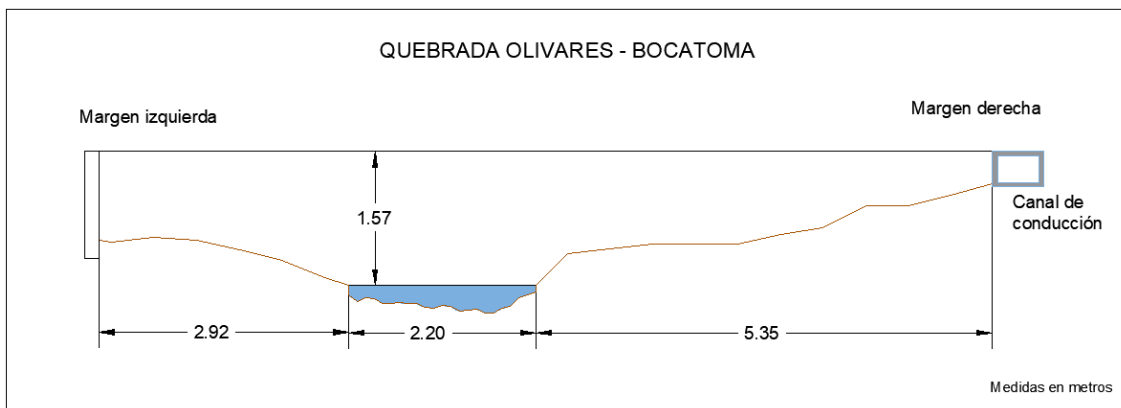


Figura 79. Sección transversal, quebrada Olivares – Bocatoma, con medidas hechas en un cierto momento



Tabla 16. Resumen de resultados, quebrada Olivares – Bocatoma

ESTACIÓN										
QUEBRADA OLIVARES - BOCATOMA RIO BLANCO										
LATITUD	N 5° 4' 6"			LONGITUD	W 75° 27' 0.36"			ELEVACIÓN (msnm)	2242	
Fecha aforo (dd-mm-aa)	GENERAL SECCIÓN DE AFORO				DATOS DEL SENSOR			RESULTADOS		
	Profundidad máxima (m)	Ancho de la sección mojada (m)	Ancho dovela (m)	Perímetro Mojado (m)	Altura desde el sensor a la superficie del agua (m)	Nivel medido por el sensor (m)	Velocidad media del flujo (m/s)	Área mojada (m ²)	Caudal medido (m ³ /s)	Error cuadrático medio para caudal
5/05/2017	0.260	2.250	0.300	2.410	4.020	2.289	0.394	0.407	0.160	0.070
19/05/2017	0.317	2.430	0.200	2.600	3.960	2.365	0.504	0.544	0.274	0.114
16/06/2017	0.272	2.240	0.200	2.430	4.040	2.225	0.208	0.448	0.093	0.045
8/07/2017	0.259	2.220	0.200	2.390	4.090	2.267	0.177	0.368	0.065	0.009
31/07/2017	0.254	2.220	0.200	2.420	4.120	2.356	0.142	0.349	0.050	0.101
11/08/2017	0.252	2.200	0.200	2.410	4.170	2.322	0.105	0.372	0.039	0.079
28/11/2017	0.315	2.330	0.200	2.550	4.000	2.382	0.406	0.417	0.170	0.009
1/05/2019	0.320	2.440	0.220	2.890	3.860	2.429	0.484	0.597	0.289	0.052
19/06/2019	0.280	2.270	0.230	2.655	3.995	2.337	0.233	0.465	0.106	0.025
7/08/2019	0.260	2.280	0.220	2.510	3.940	2.267	0.349	0.352	0.123	0.049
13/09/2019	0.130	2.230	0.220	2.470	4.112	2.220	0.127	0.237	0.030	0.016

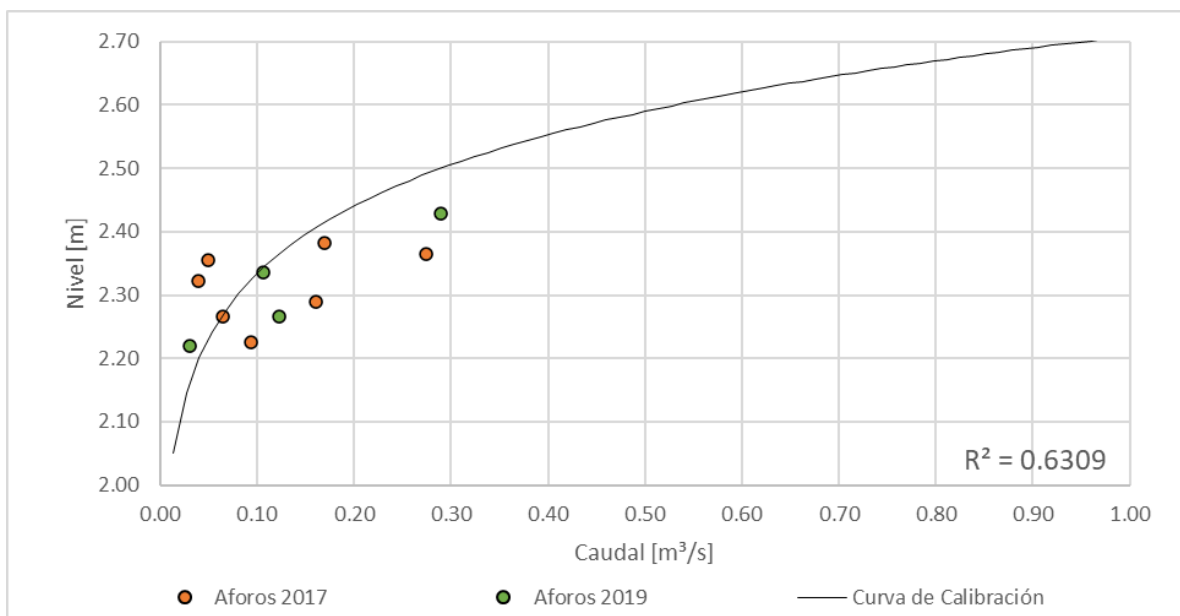


Figura 80. Curva nivel vs caudal, quebrada Olivares - Bocatoma

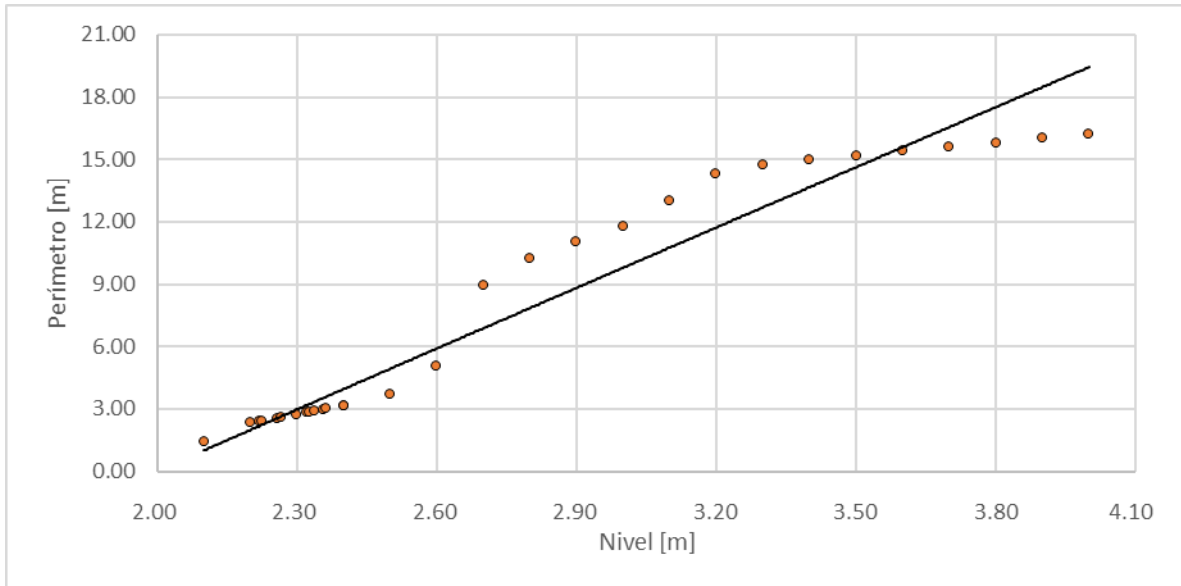


Figura 81. Nivel vs perímetro, quebrada Olivares - Bocatoma río Blanco

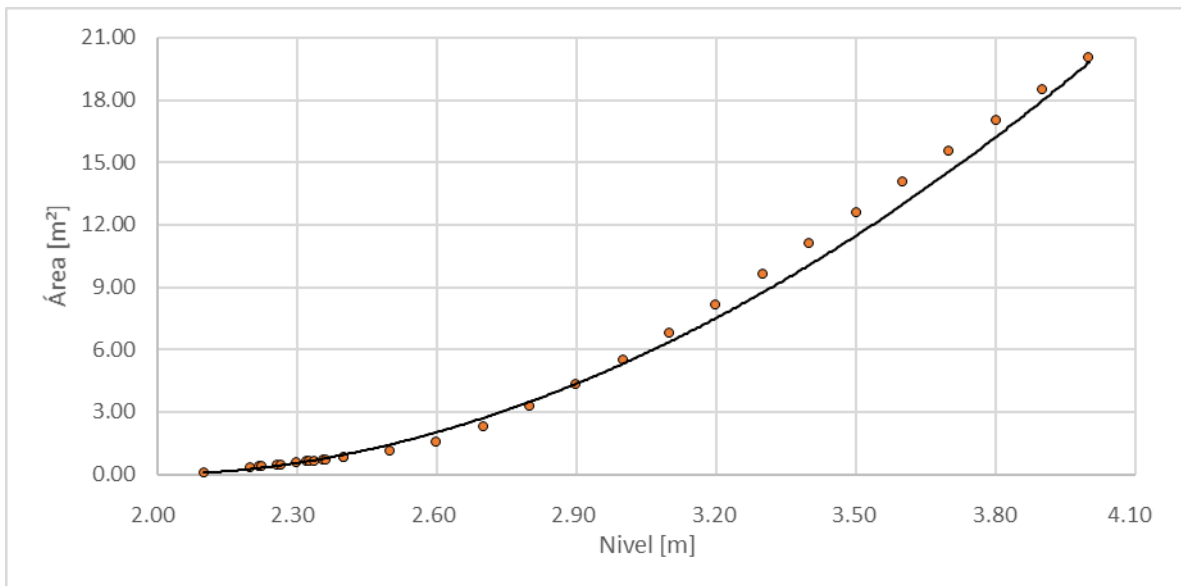


Figura 82. Nivel vs área, quebrada Olivares - Bocatoma río Blanco

4.16 Quebrada Olivares – Bomberos Voluntarios

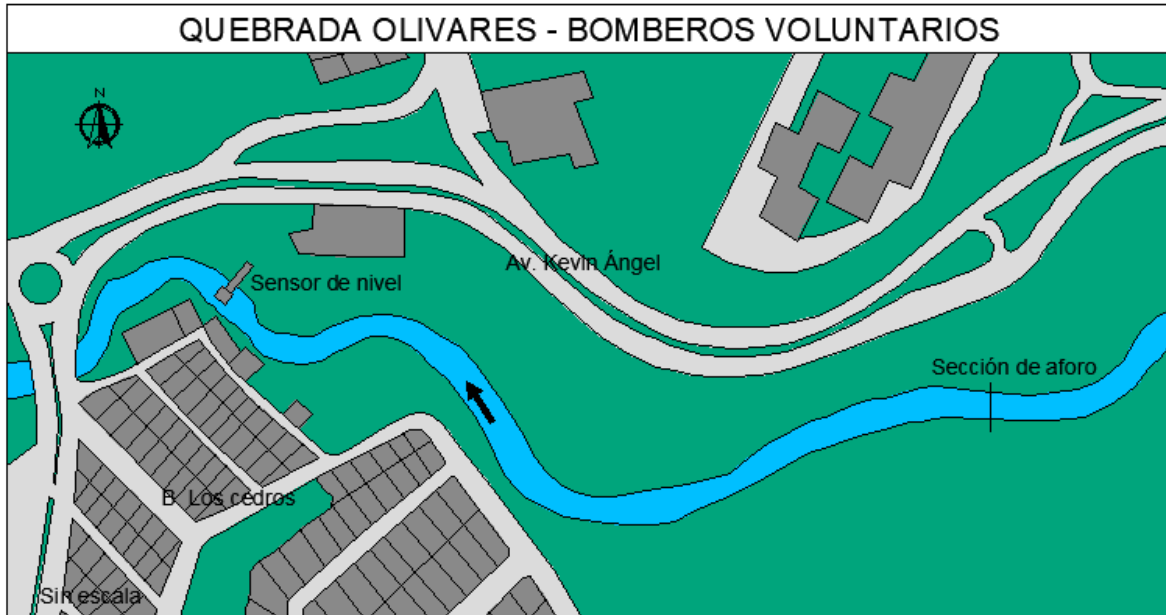


Figura 83. Vista en planta, quebrada Olivares - Bomberos voluntarios

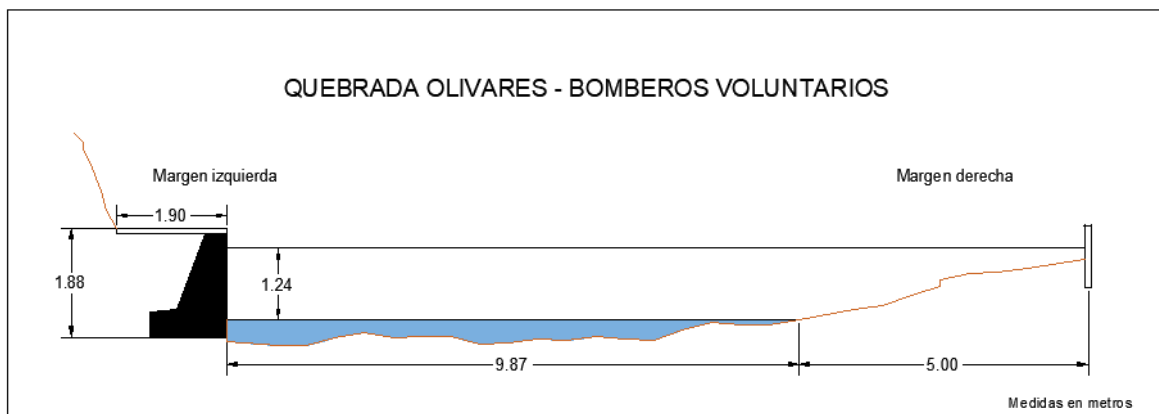


Figura 84. Sección transversal, Quebrada Olivares - Bomberos voluntario, con medidas hechas en un cierto momento



Tabla 17. Resumen de resultados, quebrada Olivares - Bomberos voluntarios

ESTACIÓN QUEBRADA OLIVARES - BOMBEROS VOLUNTARIOS										
LATITUD	N 5° 4' 22.5"			LONGITUD	W 75° 30' 3.06"			ELEVACIÓN (msnm)	1923	
Fecha aforo (dd-mm-aa)	GENERAL SECCIÓN DE AFORO				DATOS DEL SENSOR			RESULTADOS		
	Profundidad máxima (m)	Ancho de la sección mojada (m)	Ancho dovela (m)	Perímetro Mojado (m)	Altura desde el sensor a la superficie del agua (m)	Nivel medido por el sensor (m)	Velocidad media del flujo (m/s)	Área mojada (m ²)	Caudal medido (m ³ /s)	Error cuadrático medio para caudal
25/05/2017	0.453	10.300	0.500	10.580	6.120	3.648	0.478	2.839	1.357	0.161
30/05/2017	0.432	10.240	0.500	10.750	6.210	3.641	0.487	2.568	1.249	0.063
20/06/2017	0.465	10.200	0.500	10.710	6.150	3.611	0.430	2.986	1.285	0.143
4/07/2017	0.515	10.450	0.500	11.190	6.250	3.616	0.371	3.050	1.132	0.018
27/07/2017	0.411	10.000	0.500	10.460	6.390	3.560	0.257	2.493	0.641	0.428
10/08/2017	0.427	9.870	0.500	10.370	7.180	3.555	0.246	2.883	0.708	0.353
28/04/2019	0.480	9.880	0.600	10.440	6.340	3.500	0.581	2.748	1.597	0.612
30/06/2019	0.380	9.000	0.600	9.300	6.590	3.444	0.301	2.034	0.612	0.298
30/07/2019	0.319	8.800	0.600	9.080	6.650	3.405	0.293	1.264	0.370	0.490

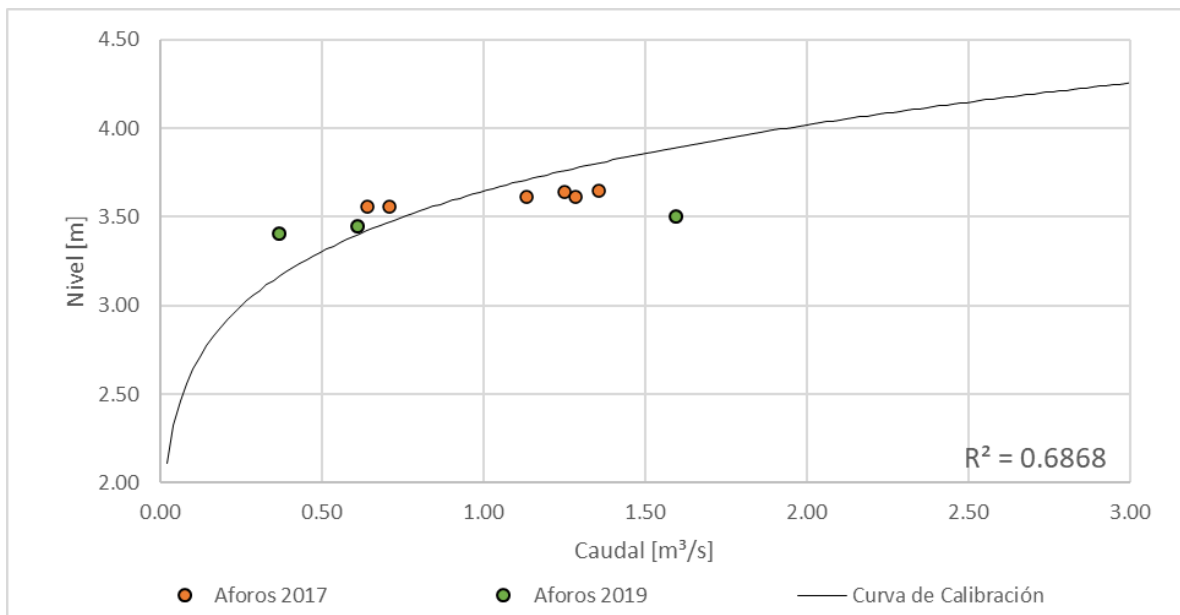


Figura 85. Curva nivel vs caudal, quebrada Olivares - Bomberos voluntarios

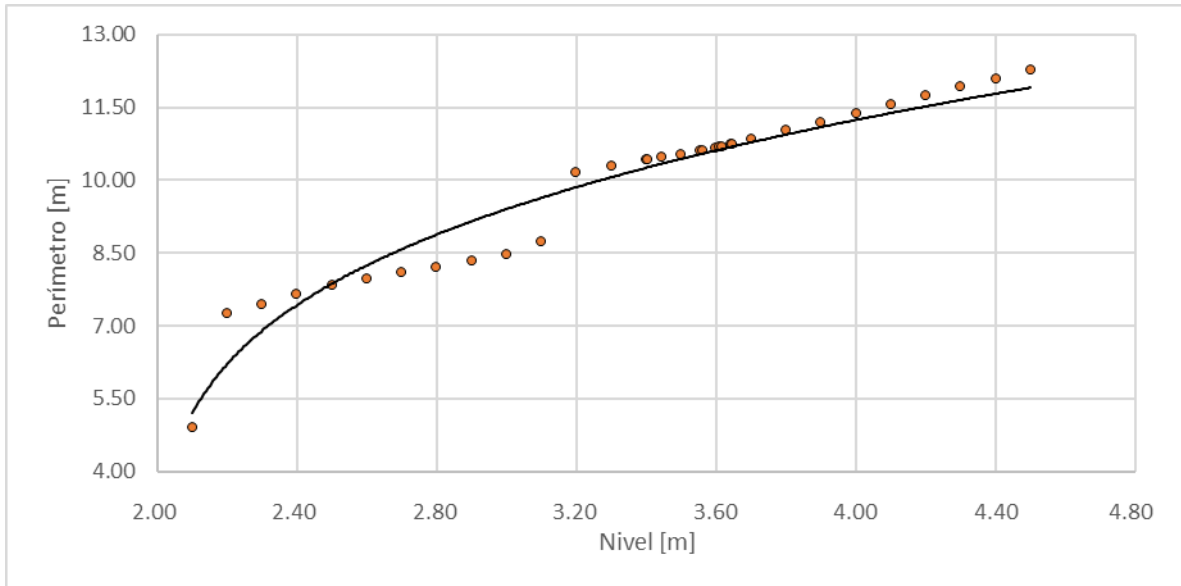


Figura 86. Nivel vs Perímetro, quebrada Olivares - Bomberos voluntarios

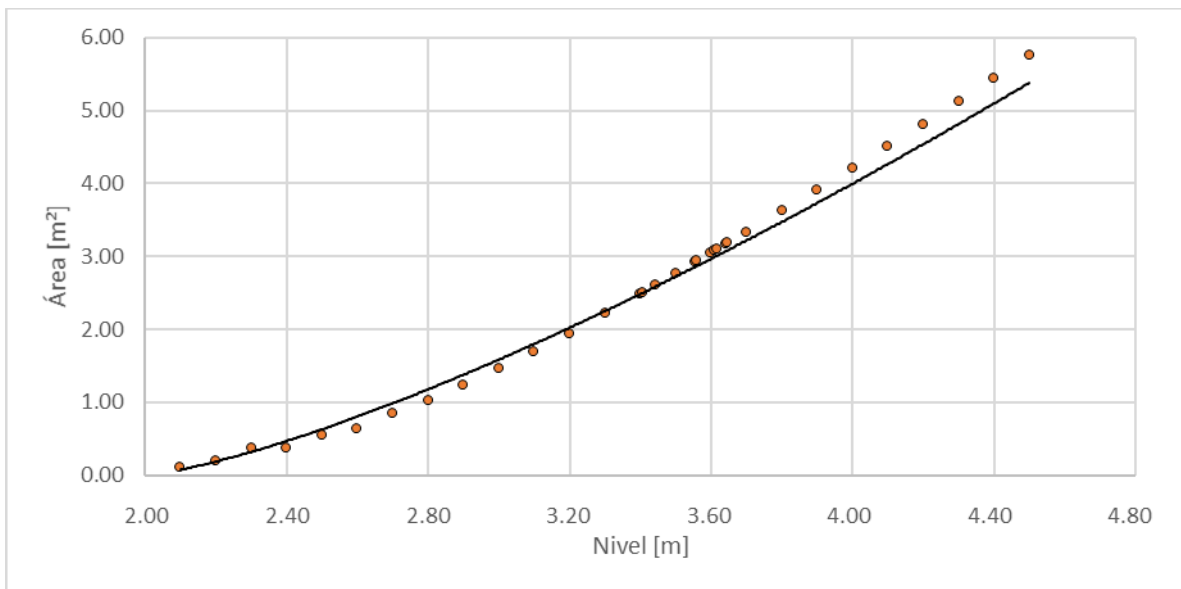


Figura 87. Nivel vs Área, quebrada Olivares - Bomberos voluntarios

4.17 Quebrada Olivares – El Popal



Figura 88. Vista en planta, quebrada Olivares - El popal

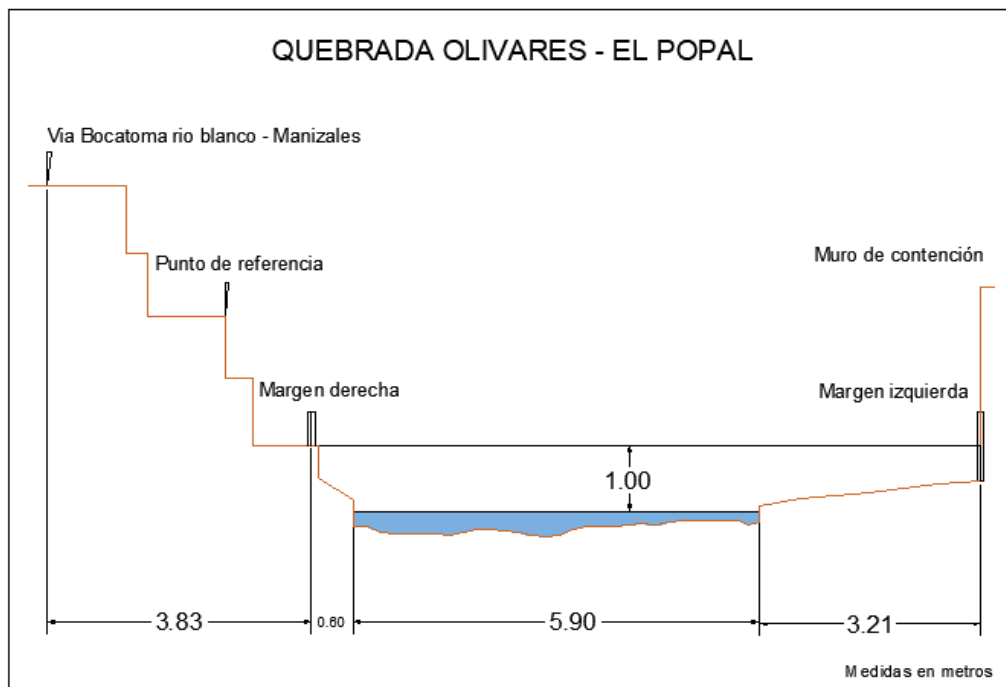


Figura 89. Sección transversal, quebrada Olivares - El Popal, con medidas hechas en un cierto momento



Tabla 18. Resumen de resultados, quebrada Olivares - El Popal

ESTACIÓN		QUEBRADA OLIVARES - EL POPAL								
LATITUD	N 5° 3' 53.8"	LONGITUD	W 75° 28' 38"	ELEVACIÓN (msnm)	2091					
Fecha aforo (dd-mm-aa)	GENERAL SECCIÓN DE AFORO				DATOS DEL SENSOR			RESULTADOS		
	Profundidad máxima (m)	Ancho de la sección mojada (m)	Ancho dovela (m)	Perímetro Mojado (m)	Altura desde el sensor a la superficie del agua (m)	Nivel medido por el sensor (m)	Velocidad media del flujo (m/s)	Área mojada (m ²)	Caudal medido (m ³ /s)	Error cuadrático medio para caudal
31/10/2017	0.665	5.400	0.400	6.156	3.090	2.616	0.238	2.554	0.609	0.005
22/11/2017	0.471	5.000	0.500	5.437	2.900	2.703	0.707	1.822	1.288	0.467
3/01/2018	0.538	6.000	0.500	6.637	2.800	2.710	0.620	2.248	1.393	0.552
27/02/2018	0.359	5.900	0.400	6.367	3.150	2.620	0.490	1.445	0.708	0.095
1/05/2019	0.419	6.870	0.500	7.380	2.890	2.660	0.442	1.941	0.858	0.149
19/06/2019	0.350	6.900	0.700	7.190	2.950	2.684	0.332	1.580	0.525	0.245
30/06/2019	0.334	6.830	0.500	7.220	2.940	2.568	0.251	1.743	0.437	0.062
27/07/2019	0.318	6.810	0.500	7.090	2.990	2.540	0.189	1.331	0.252	0.191
13/09/2019	0.270	6.900	0.600	7.120	3.020	2.525	0.092	1.466	0.136	0.280

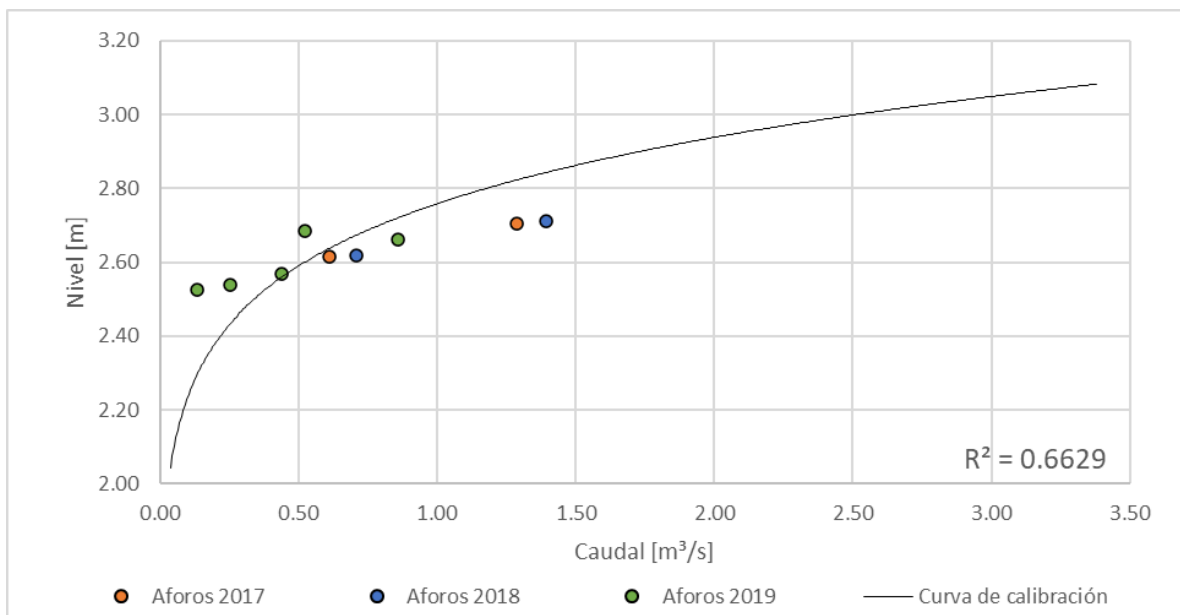


Figura 90. Curva nivel vs caudal, quebrada Olivares - El Popal

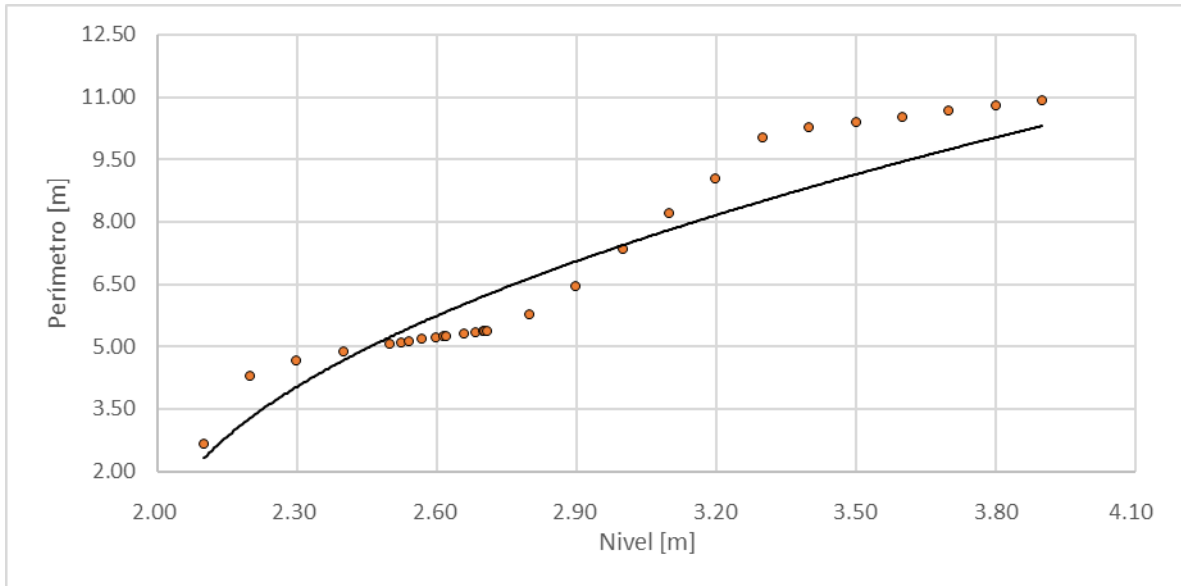


Figura 91. Nivel vs perímetro, quebrada Olivares - El Popal

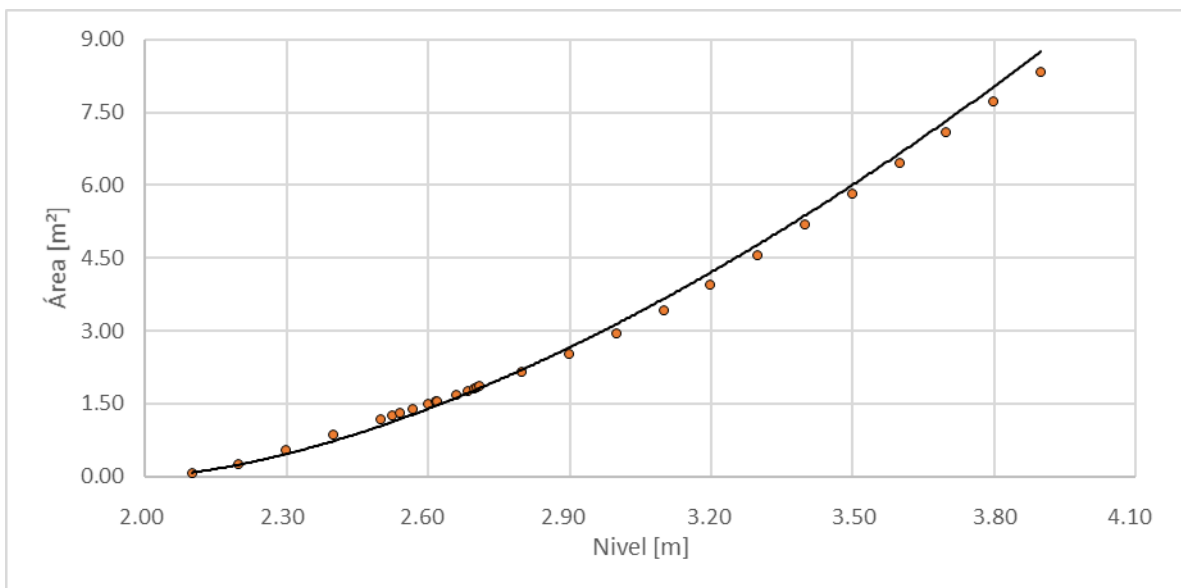


Figura 92. Nivel vs área, quebrada Olivares - El Popal

4.18 Quebrada Palogrande – Ruta 30



Figura 93. Vista en planta, quebrada Palogrande – Ruta 30

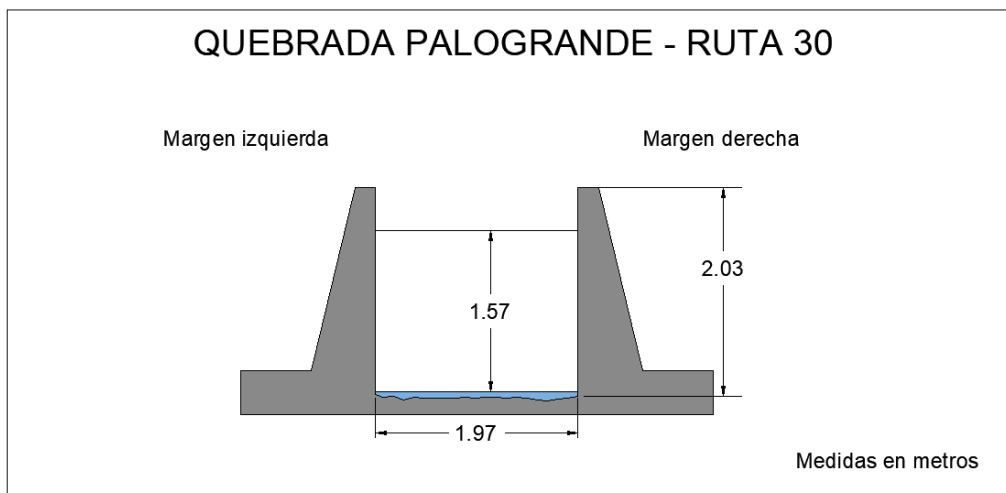


Figura 94. Sección transversal, quebrada Palogrande – Ruta 30, con medidas hechas en un cierto momento.



Tabla 19. Resumen de resultados, quebrada Palogrande – Ruta 30

ESTACIÓN		QUEBRADA PALOGRANDE - RUTA 30								
LATITUD	N 5° 3' 20.42"	LONGITUD	W 75° 30' 3.31"	ELEVACIÓN (msnm)	1986					
GENERAL SECCIÓN DE AFORO				DATOS DEL SENSOR			RESULTADOS			
Fecha aforo (dd-mm-aa)	Profundidad máxima (m)	Ancho de la sección mojada (m)	Ancho dovela (m)	Perímetro Mojado (m)	Altura desde el sensor a la superficie del agua (m)	Nivel medido por el sensor (m)	Velocidad media del flujo (m/s)	Área mojada (m ²)	Caudal medido (m ³ /s)	Error cuadrático medio para caudal
8/09/2018	0.090	1.970	0.200	2.060	6.800	0.048	0.306	0.109	0.033	0.016
2/11/2018	0.121	1.970	0.200	2.120	6.730	0.059	0.516	0.162	0.084	0.013

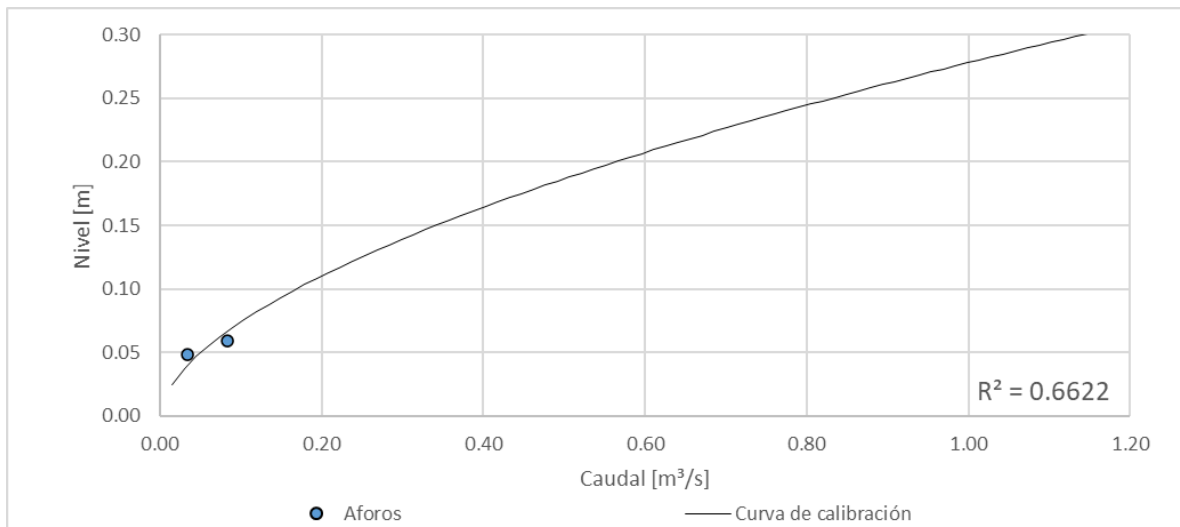


Figura 95. Curva nivel vs caudal, quebrada Palogrande – Ruta 30

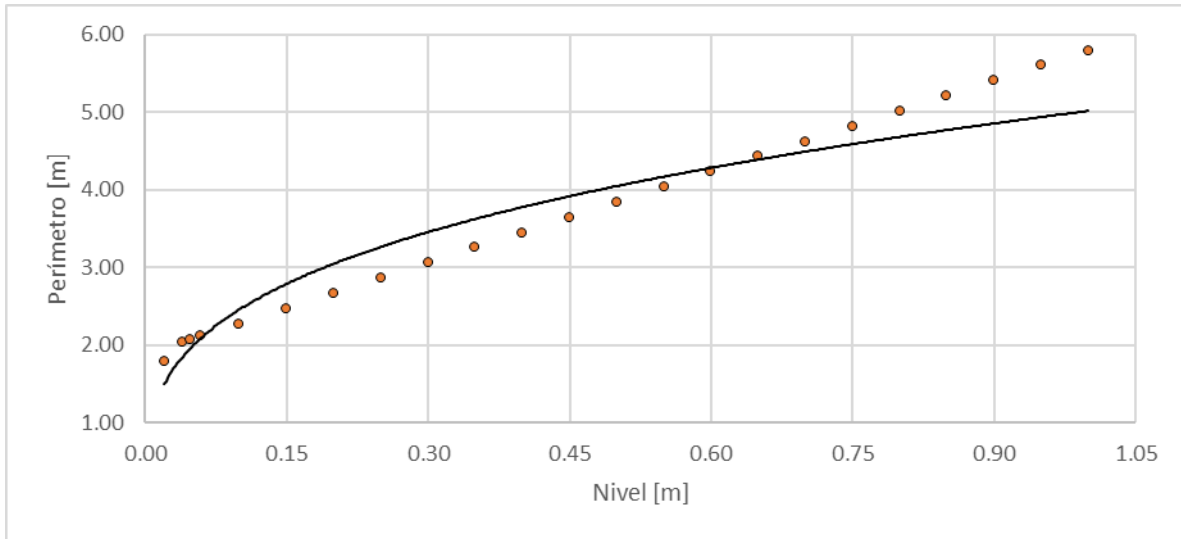


Figura 96. Nivel vs perímetro, quebrada Palogrande – Ruta 30

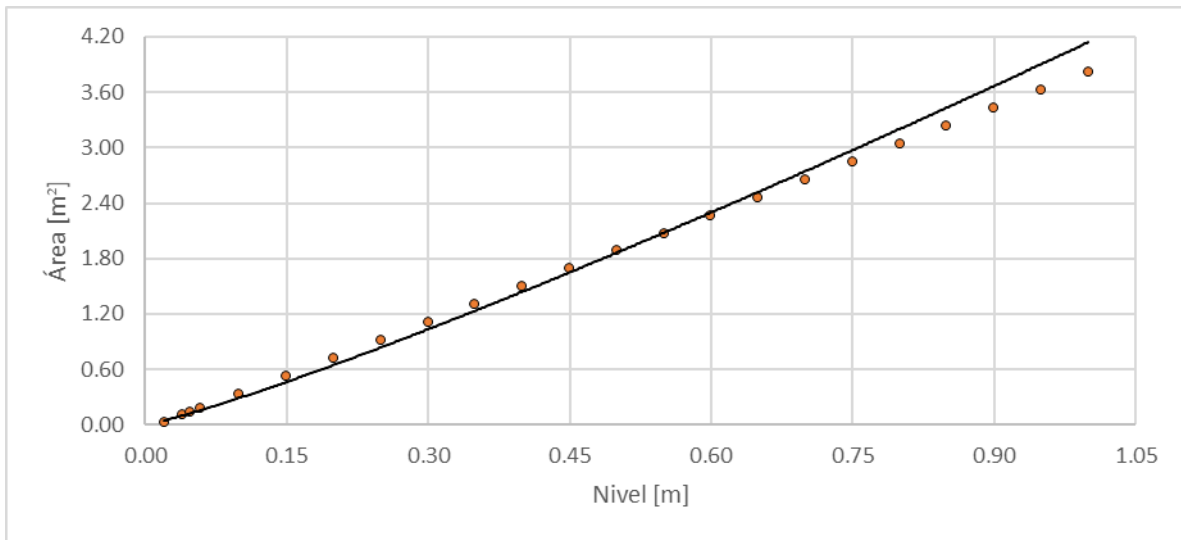


Figura 97. Nivel vs área, quebrada Palogrande – Ruta 30

4.19 Quebrada Palogrande – Terminal de Transportes

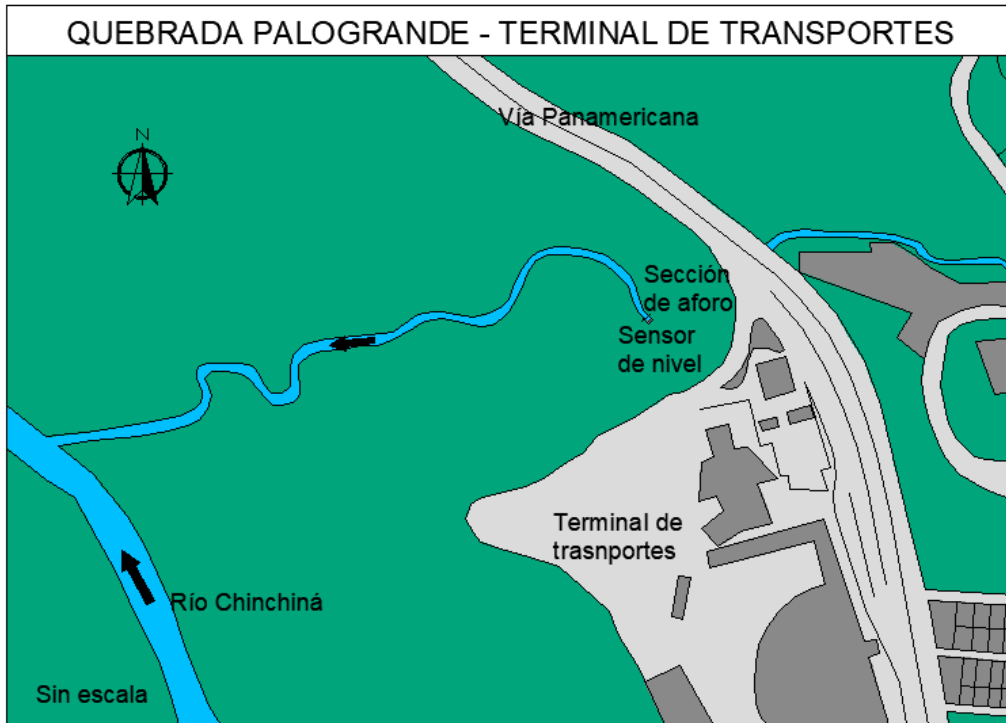


Figura 98. Vista en planta, quebrada Palogrande - Terminal de transportes

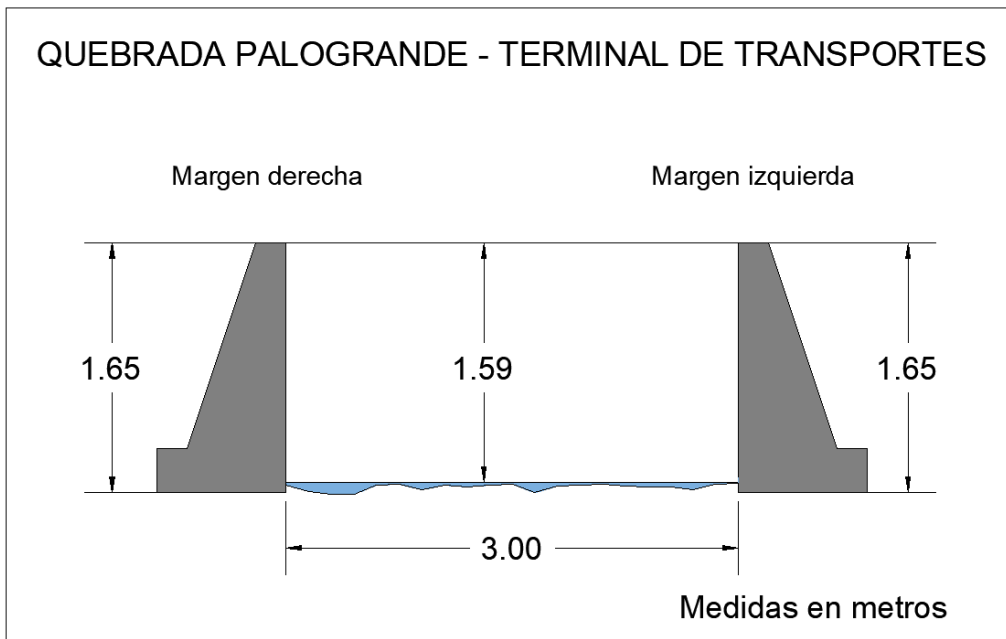


Figura 99. Sección transversal, quebrada Palogrande - Terminal de transportes, con medidas hechas en un cierto momento.



Tabla 20. Resumen de resultados, quebrada Palogrande - Terminal de transportes

ESTACIÓN										
QUEBRADA PALOGRANDE - TERMINAL DE TRANSPORTES										
LATITUD	N 5° 3' 3.88"			LONGITUD	W 75° 30' 25.33"			ELEVACIÓN (msnm)	1881	
GENERAL SECCIÓN DE AFORO				DATOS DEL SENSOR			RESULTADOS			
Fecha aforo (dd-mm-aa)	Profundidad máxima (m)	Ancho de la sección mojada (m)	Ancho dovela (m)	Perímetro Mojado (m)	Altura desde el sensor a la superficie del agua (m)	Nivel medido por el sensor (m)	Velocidad media del flujo (m/s)	Área mojada (m ²)	Caudal medido (m ³ /s)	Error cuadrático medio para caudal
2/11/2017	0.055	3.000	0.300	3.110	2.610	2.360	0.778	0.139	0.108	0.030
23/11/2017	0.058	3.000	0.200	3.040	2.640	2.330	0.714	0.137	0.098	0.034
5/01/2018	0.052	2.800	0.200	2.870	2.660	2.310	0.554	0.100	0.055	0.000
27/02/2018	0.056	3.000	0.300	3.040	2.640	2.330	0.330	0.216	0.071	0.008

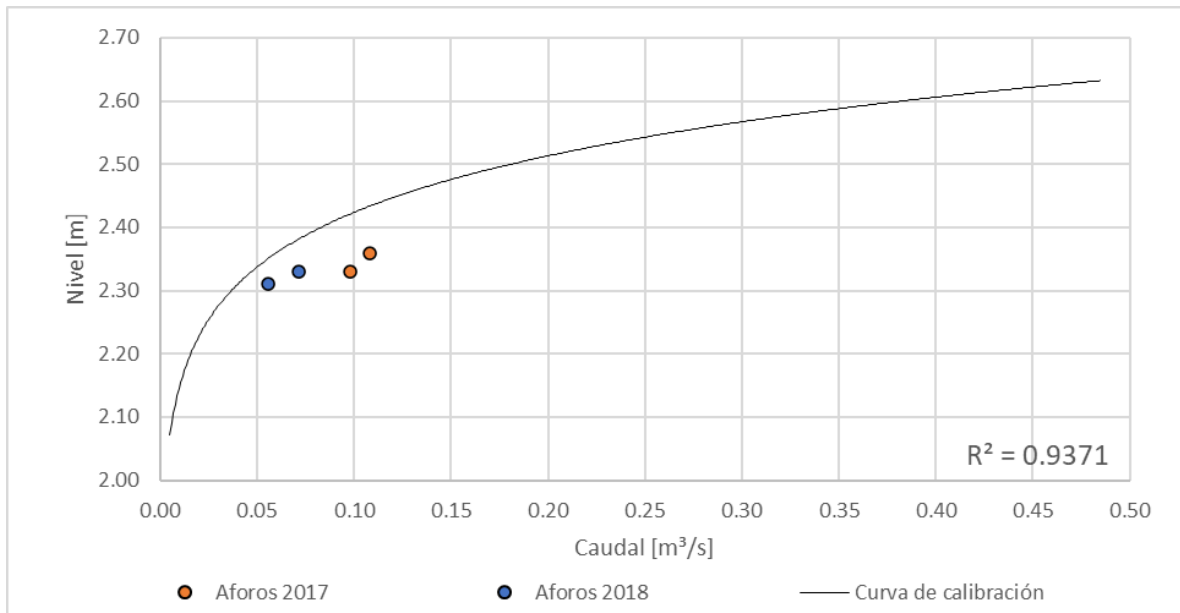


Figura 100. Curva nivel vs caudal, quebrada Palogrande - Terminal de transportes

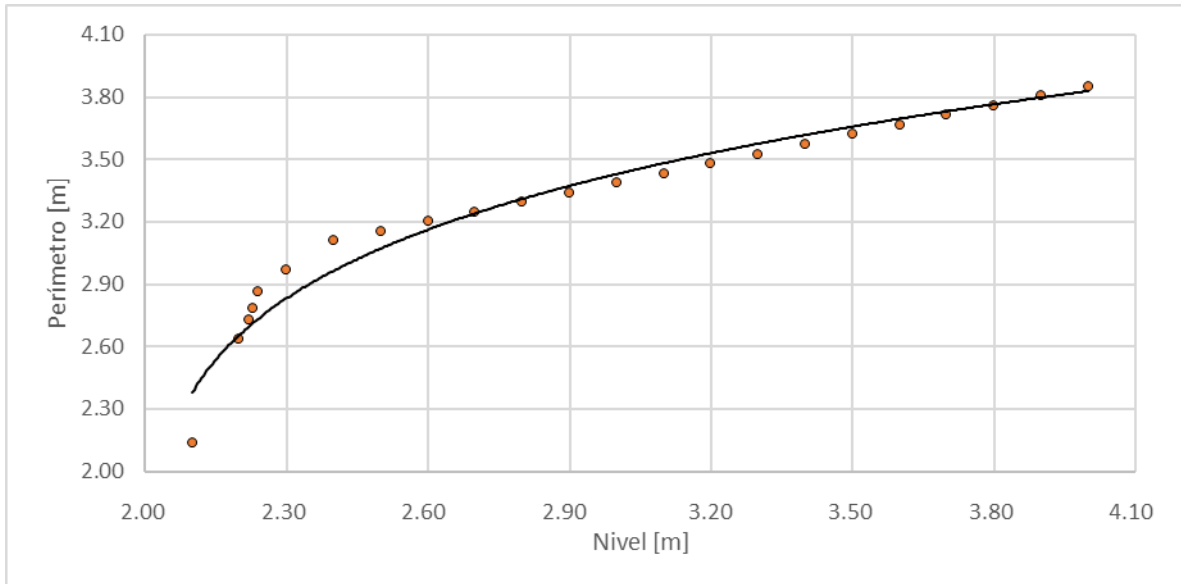


Figura 101. Nivel vs perímetro, quebrada Palogrande - Terminal de transportes

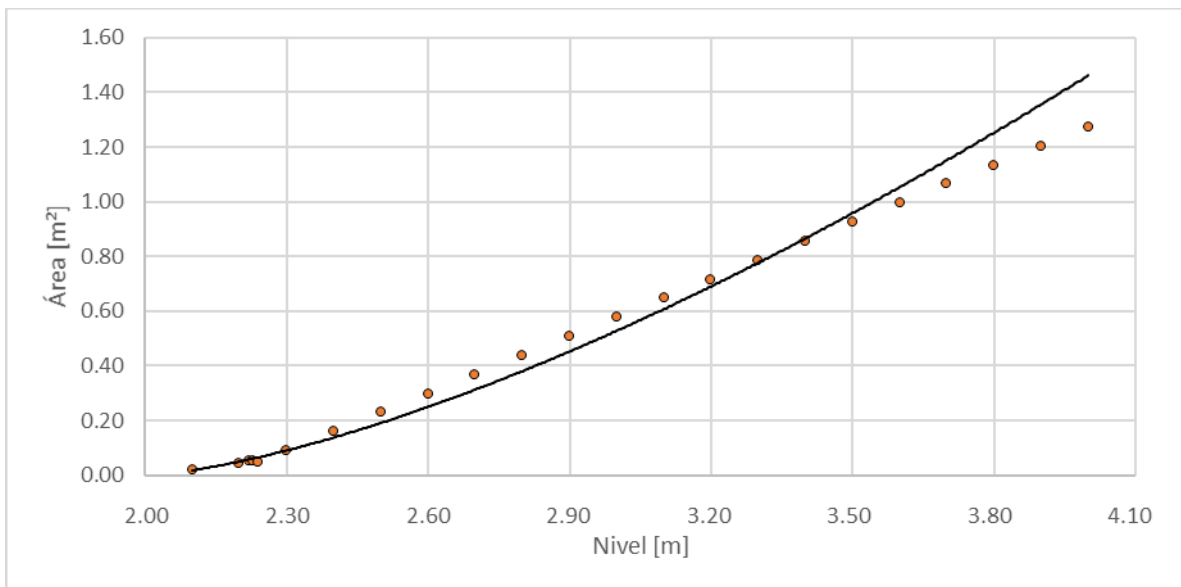


Figura 102. Nivel vs área, quebrada Palogrande - Terminal de transportes

4.20 Quebrada Salinas – Relleno Sanitario EMAS

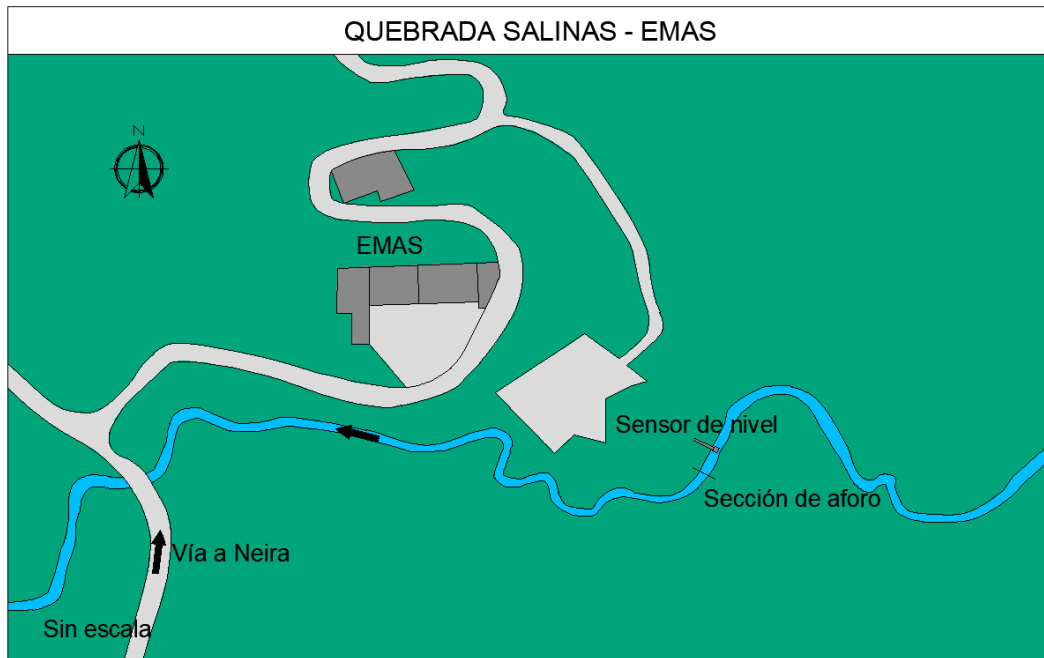


Figura 103. Vista en planta, quebrada Salinas - EMAS

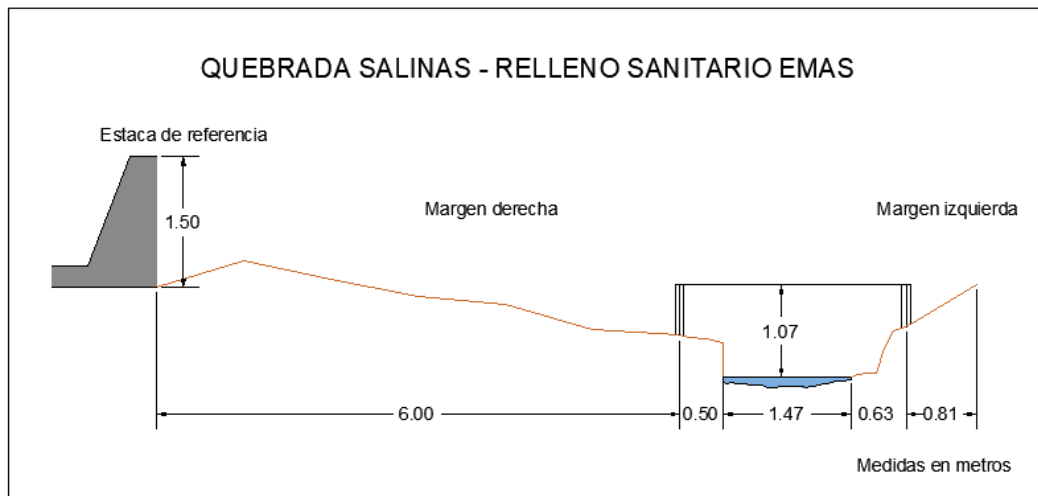


Figura 104. Sección transversal, quebrada Salinas - Relleno sanitario EMAS, con medidas hechas en un cierto momento



Tabla 21. Resumen de resultados, quebrada Salinas - Relleno Sanitario EMAS

ESTACIÓN		QUEBRADA SALINAS - RELLENO SANITARIO EMAS								
LATITUD	N 5° 4' 43.49"	LONGITUD	W 75° 30' 32.37"	ELEVACIÓN (msnm)	2020					
Fecha aforo (dd-mm-aa)	GENERAL SECCIÓN DE AFORO				DATOS DEL SENSOR			RESULTADOS		
	Profundidad máxima (m)	Ancho de la sección mojada (m)	Ancho dovela (m)	Perímetro Mojado (m)	Altura desde el sensor a la superficie del agua (m)	Nivel medido por el sensor (m)	Velocidad media del flujo (m/s)	Área mojada (m ²)	Caudal medido (m ³ /s)	Error cuadrático medio para caudal
23/11/2017	0.106	1.450	0.100	1.540	8.620	2.151	0.262	0.125	0.033	0.004
7/12/2017	0.104	1.400	0.100	1.550	8.690	2.135	0.172	0.116	0.020	0.003
6/01/2018	0.068	1.400	0.100	1.520	8.800	2.146	0.250	0.074	0.019	0.008
28/02/2018	0.111	1.470	0.100	1.580	8.500	2.171	0.328	0.117	0.038	0.003
3/07/2019	0.170	1.600	0.400	1.650	8.510	2.222*	0.068	0.167	0.011	0.044
30/07/2019	0.213	1.840	0.120	2.020	8.730	2.220	0.193	0.281	0.054	0.001
29/08/2019	0.115	1.610	0.120	1.670	8.820	2.138	0.230	0.131	0.030	0.006

*Nivel de sensor inconsistente respecto al caudal medido en campo.

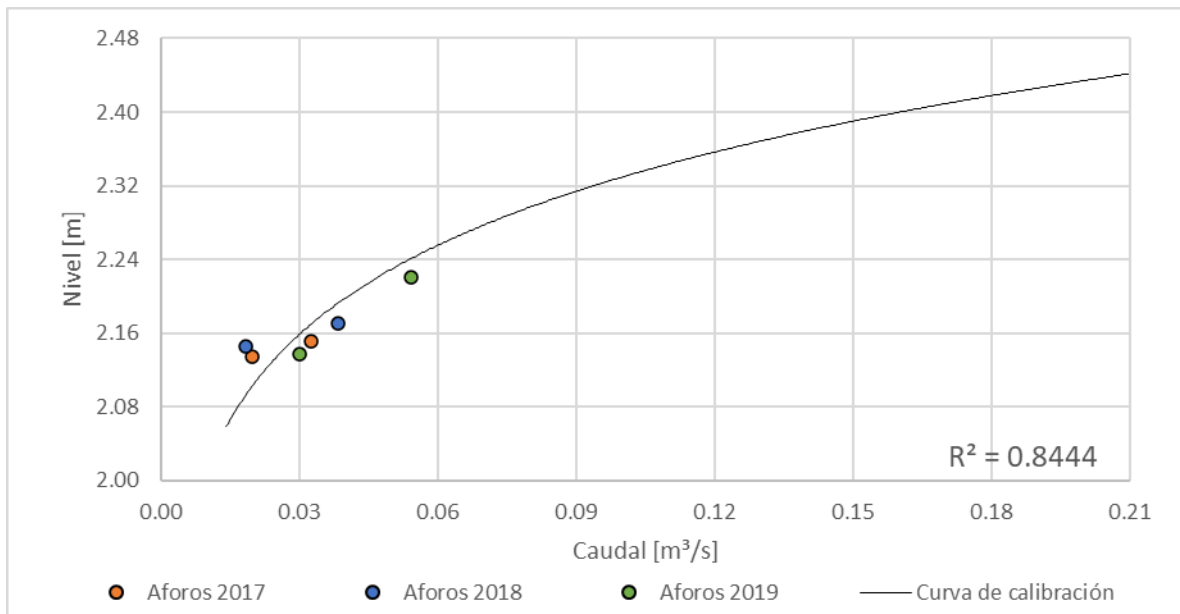


Figura 105. Curva nivel vs caudal, quebrada Salinas - Relleno sanitario EMAS

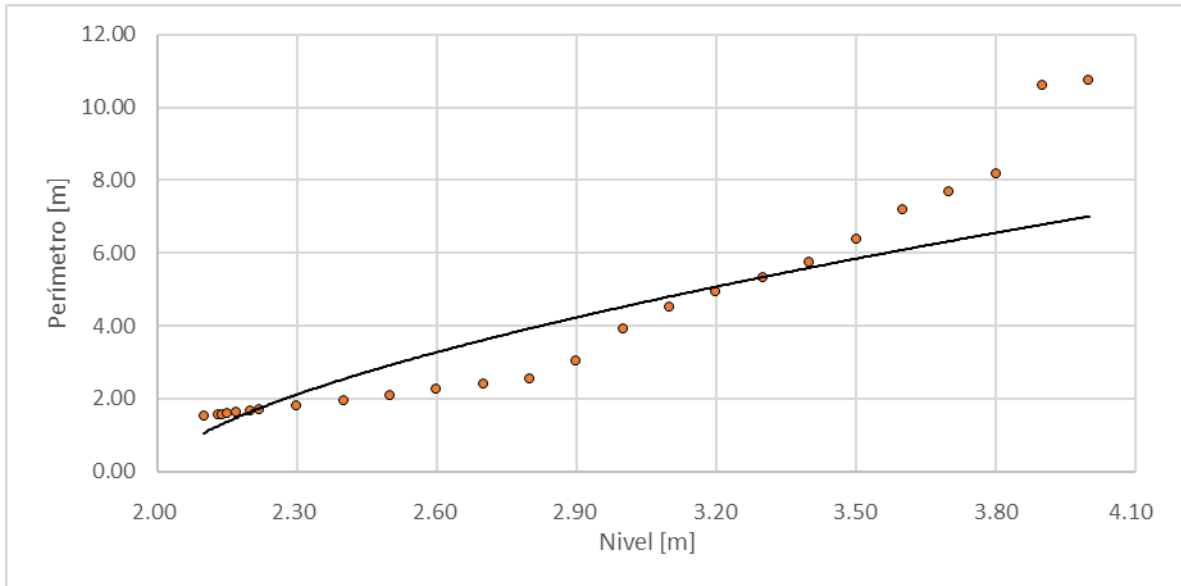


Figura 106. Nivel vs perímetro, quebrada Salinas - Relleno sanitario EMAS

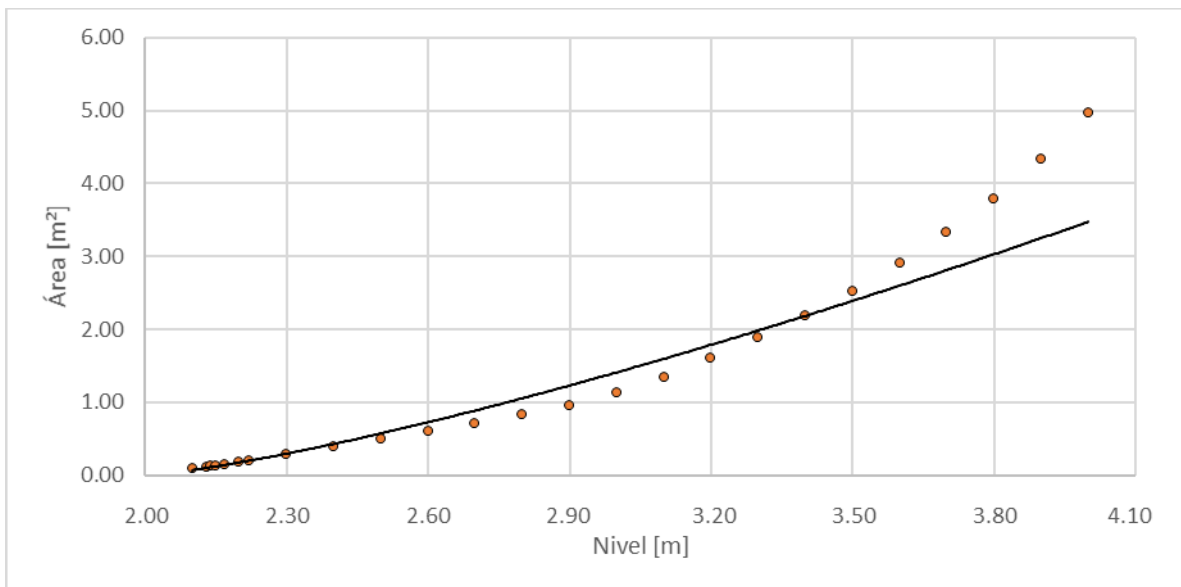


Figura 107. Nivel vs área, quebrada Salinas - Relleno sanitario EMAS

4.21 Quebrada Tesorito



Figura 108. Vista en planta, quebrada Tesorito - Vía al Magdalena

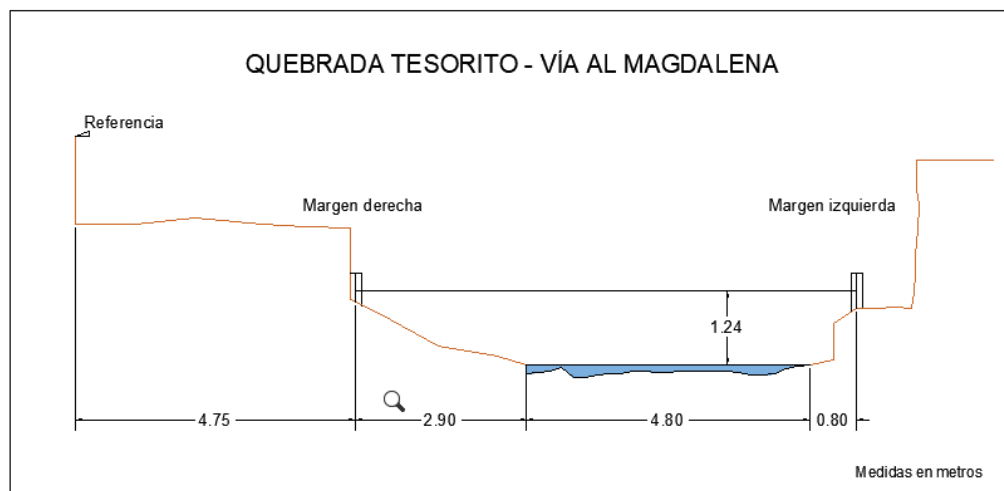


Figura 109. Sección transversal, quebrada Tesorito, con medidas hechas en un cierto momento



Tabla 22. Resumen de resultados, quebrada Tesorito – Vía al Magdalena

ESTACIÓN										
QUEBRADA TESORITO - VÍA AL MAGDALENA										
LATITUD	N 5° 2' 3.76"			LONGITUD	W 75° 25' 53.77"			ELEVACIÓN (msnm)	2295	
Fecha aforo (dd-mm-aa)	GENERAL SECCIÓN DE AFORO				DATOS DEL SENSOR			RESULTADOS		
	Profundidad máxima (m)	Ancho de la sección mojada (m)	Ancho dovela (m)	Perímetro Mojado (m)	Altura desde el sensor a la superficie del agua (m)	Nivel medido por el sensor (m)	Velocidad media del flujo (m/s)	Área mojada (m ²)	Caudal medido (m ³ /s)	Error cuadrático medio para caudal
6/11/2017	0.115	3.600	0.200	3.670	4.910	2.232	0.427	0.304	0.130	0.024
11/12/2017	0.141	6.000	0.400	6.090	4.804	2.219*	0.520	0.646	0.336	0.199
11/01/2018	0.155	5.600	0.400	5.670	4.880	2.141	0.332	0.561	0.186	0.106
23/02/2018	0.210	4.800	0.400	5.080	4.840	2.196	0.390	0.650	0.253	0.086
8/05/2019	0.261	3.800	0.300	4.230	3.980	2.303	0.246	0.608	0.150	0.167
28/06/2019	0.228	3.600	0.300	4.020	5.040	2.290	0.260	0.450	0.117	0.091
22/07/2019	0.214	3.200	0.300	3.470	5.120	2.270	0.190	0.554	0.105	0.112

*Nivel de sensor inconsistente respecto al caudal medido en campo.

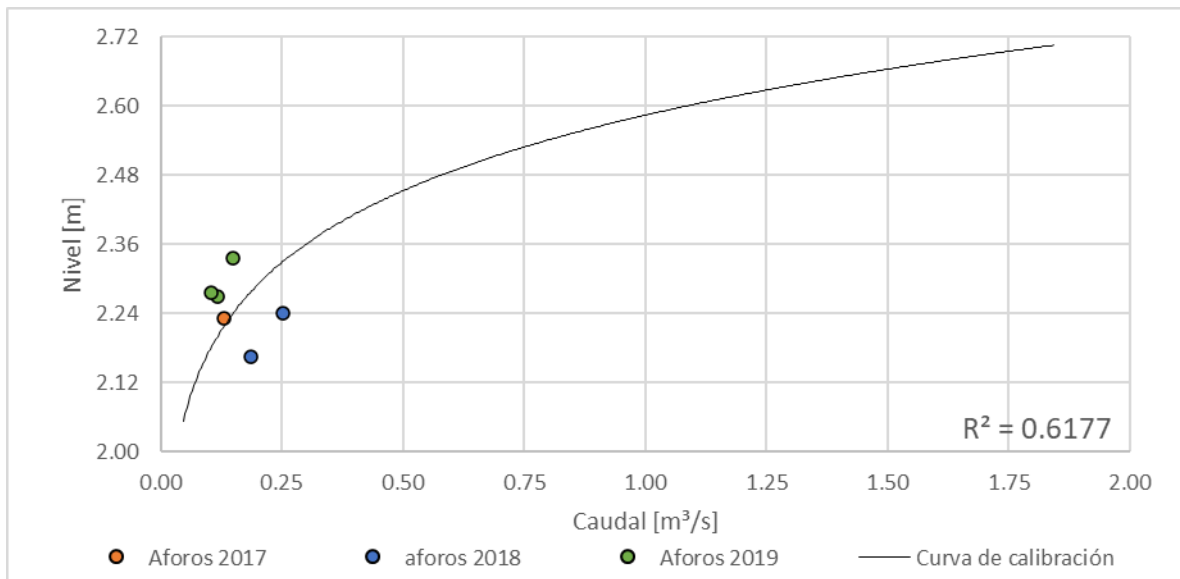


Figura 110. Curva nivel vs caudal, quebrada Tesorito – Vía al Magdalena

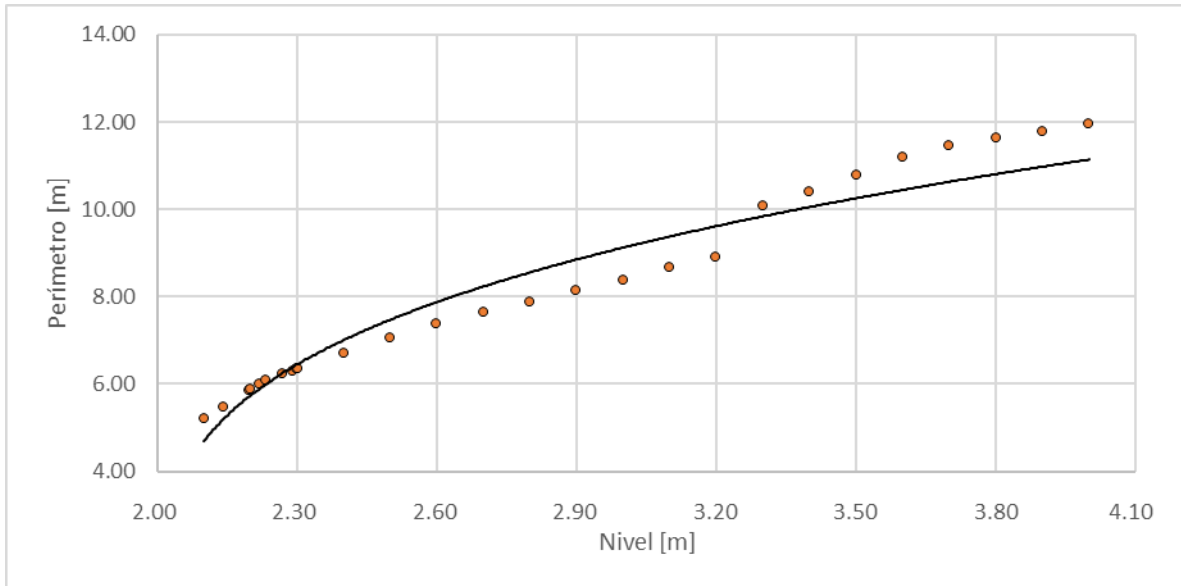


Figura 111. Nivel vs perímetro, quebrada Tesorito – Vía al Magdalena

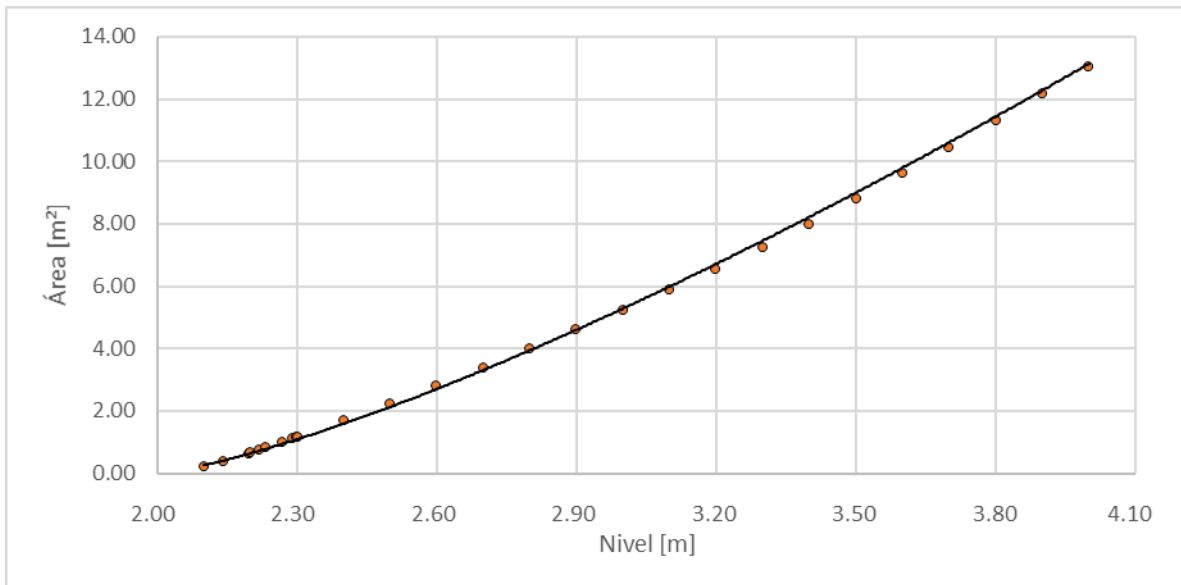


Figura 112. Nivel vs área, quebrada Tesorito – Vía al Magdalena

4.22 Río Chinchiná – Bosque Popular

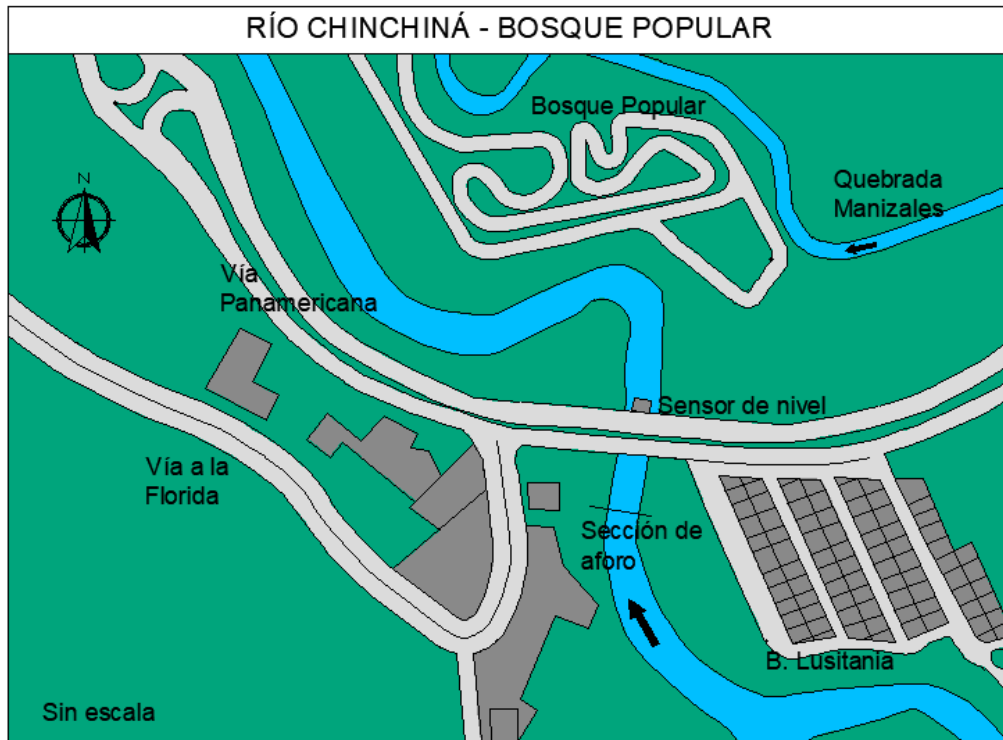


Figura 113. Vista en planta, río Chinchiná - Bosque popular

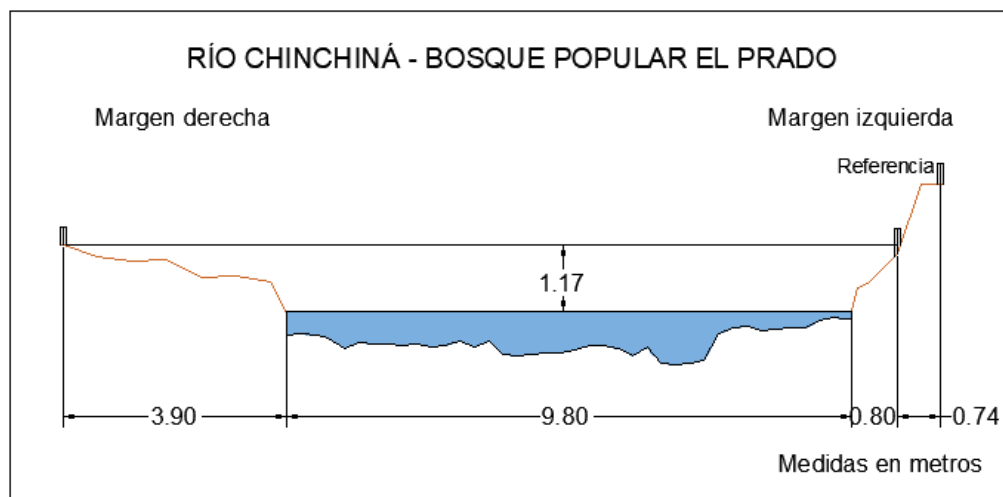


Figura 114. Sección transversal, río Chinchiná - Bosque Popular, con medidas hechas en un cierto momento



Tabla 23. Resumen de resultados, río Chinchiná - Bosque Popular

ESTACIÓN		RÍO CHINCHINA - BOSQUE POPULAR EL PRADO								
LATITUD	N 5° 1' 51.20"	LONGITUD	W 75° 28' 42.76"	ELEVACIÓN (msnm)						
Fecha aforo (dd-mm-aa)	GENERAL SECCIÓN DE AFORO				DATOS DEL SENSOR			RESULTADOS		
	Profundidad máxima (m)	Ancho de la sección mojada (m)	Ancho dovela (m)	Perímetro Mojado (m)	Altura desde el sensor a la superficie del agua (m)	Nivel medido por el sensor (m)	Velocidad media del flujo (m/s)	Área mojada (m ²)	Caudal medido (m ³ /s)	Error cuadrático medio para caudal
19/10/2017	0.790	10.000	0.400	10.610	9.960	2.482	0.323	5.315	1.716	1.142
22/02/2018	1.195	9.700	0.500	12.160	9.210	3.123	0.585	7.011	4.099	0.288
7/03/2018	0.850	9.750	0.600	11.050	9.960	2.385*	0.551	5.214	2.872	2.295
23/03/2018	0.930	9.800	0.500	11.140	9.910	2.427*	0.572	5.275	3.018	2.291
7/05/2018	0.894	11.050	0.800	11.560	9.320	3.016	0.579	5.495	3.184	0.263
24/06/2019	0.821	10.850	0.800	11.410	9.430	2.863	0.489	4.136	2.024	0.304
3/08/2019	0.680	10.400	0.800	10.910	9.550	2.775	0.553	3.177	1.757	0.039

*Nivel de sensor inconsistente respecto al caudal medido en campo.

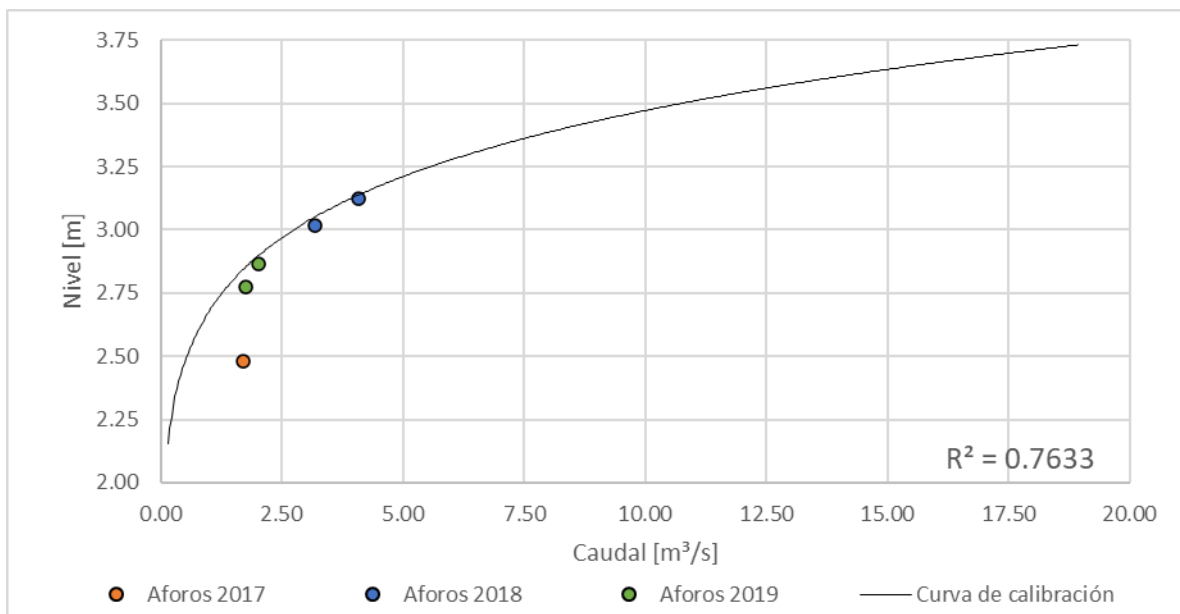


Figura 115. Curva nivel vs caudal, río Chinchiná - Bosque Popular

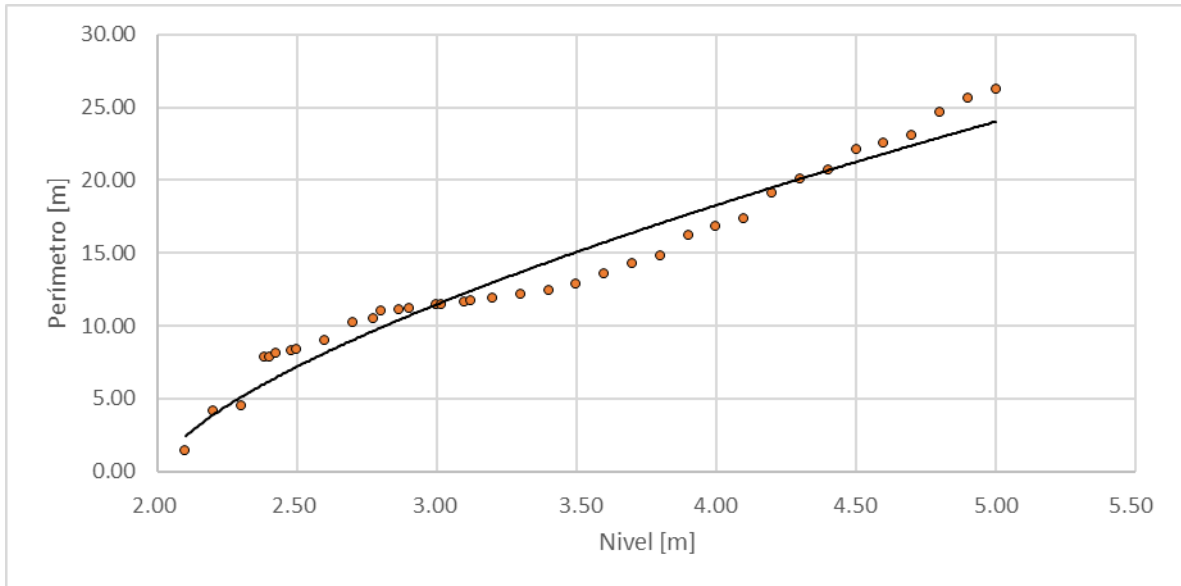


Figura 116. Nivel vs perímetro, río Chinchiná - Bosque Popular

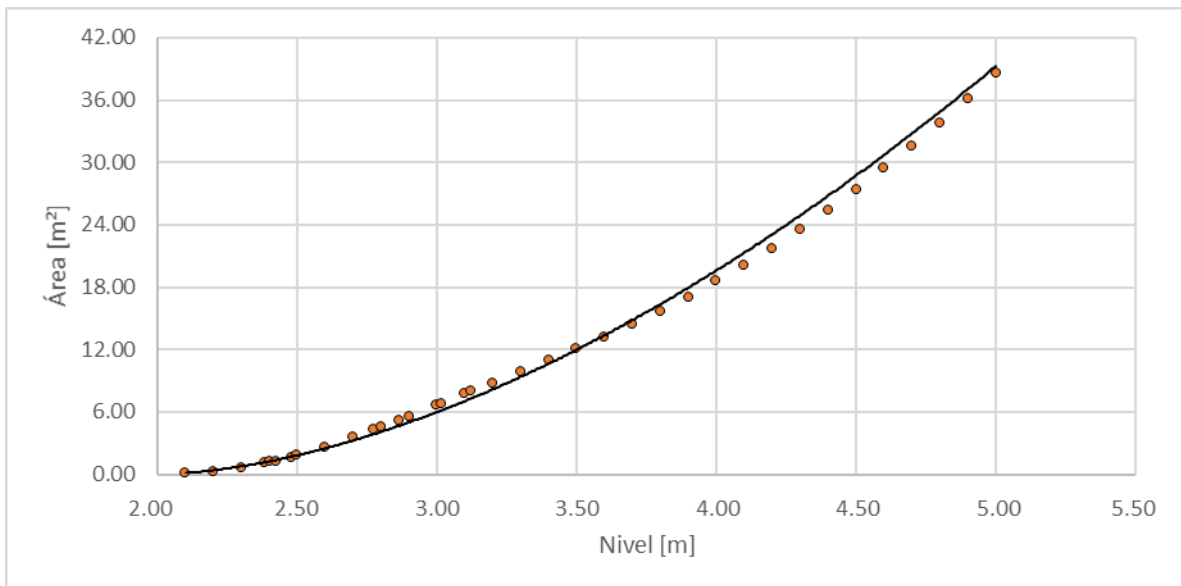


Figura 117. Nivel vs área, río Chinchiná - Bosque Popular

4.23 Río Chinchiná – Cenicafé

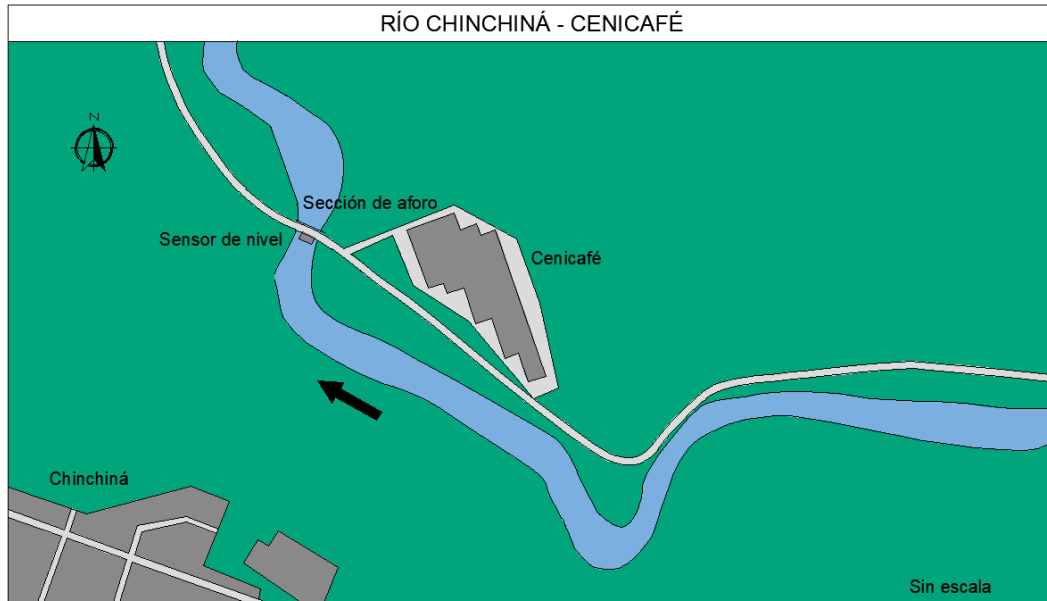


Figura 118. Vista en planta, río Chinchiná – Cenicafé

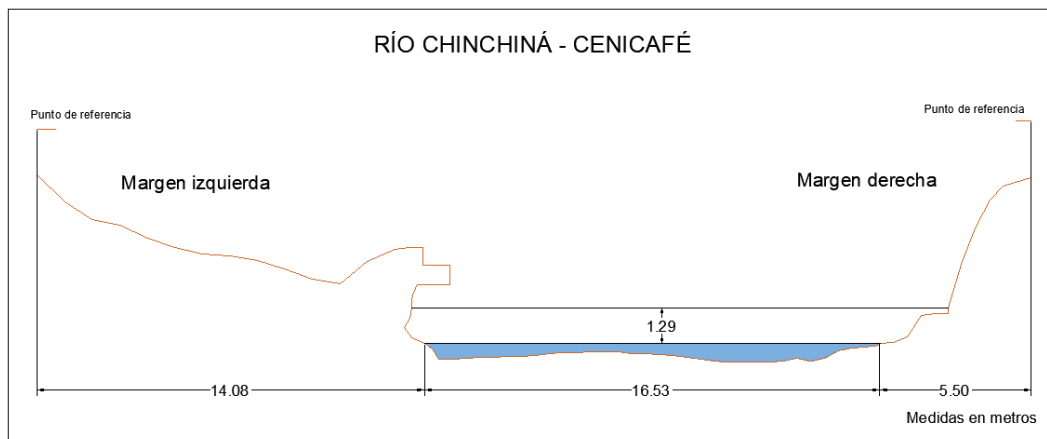


Figura 119. Sección transversal, río Chinchiná - Cenicafé, con medidas tomadas en un cierto momento



Tabla 24. Resumen de resultados, río Chinchiná – Cenicafé

ESTACIÓN		RÍO CHINCHINÁ - CENICAFÉ								
LATITUD	N 4° 59' 32.45"	LONGITUD	W 75° 36' 11.09"	ELEVACIÓN (msnm)	1293					
GENERAL SECCIÓN DE AFORO				DATOS DEL SENSOR			RESULTADOS			
Fecha aforo (dd-mm-aa)	Profundidad máxima (m)	Ancho de la sección mojada (m)	Ancho dovela (m)	Perímetro Mojado (m)	Altura desde el sensor a la superficie del agua (m)	Nivel medido por el sensor (m)	Velocidad media del flujo (m/s)	Área mojada (m ²)	Caudal medido (m ³ /s)	Error cuadrático medio para caudal
23/06/2018	0.620	16.530	1.000	16.940	11.790	2.459	0.505	6.891	3.477	0.046
23/06/2018	0.922	18.000	1.000	18.460	11.250	2.808*	0.712	11.665	8.311	3.707
12/07/2018	0.495	15.200	1.000	15.570	12.050	2.316	0.389	4.425	1.722	0.022
28/07/2018	0.818	17.400	1.000	17.890	11.690	2.470	0.369	9.494	3.508	0.199
21/10/2019	0.460	11.100	1.000	11.590	11.850	2.256	0.409	3.882	1.589	0.587
7/11/2019	0.590	12.000	1.000	12.540	11.800	2.299	0.397	4.327	1.717	0.213
10/12/2019	0.640	13.700	1.000	13.210	11.750	2.333	0.424	5.140	2.177	0.236

*Nivel de sensor inconsistente respecto al caudal medido en campo.

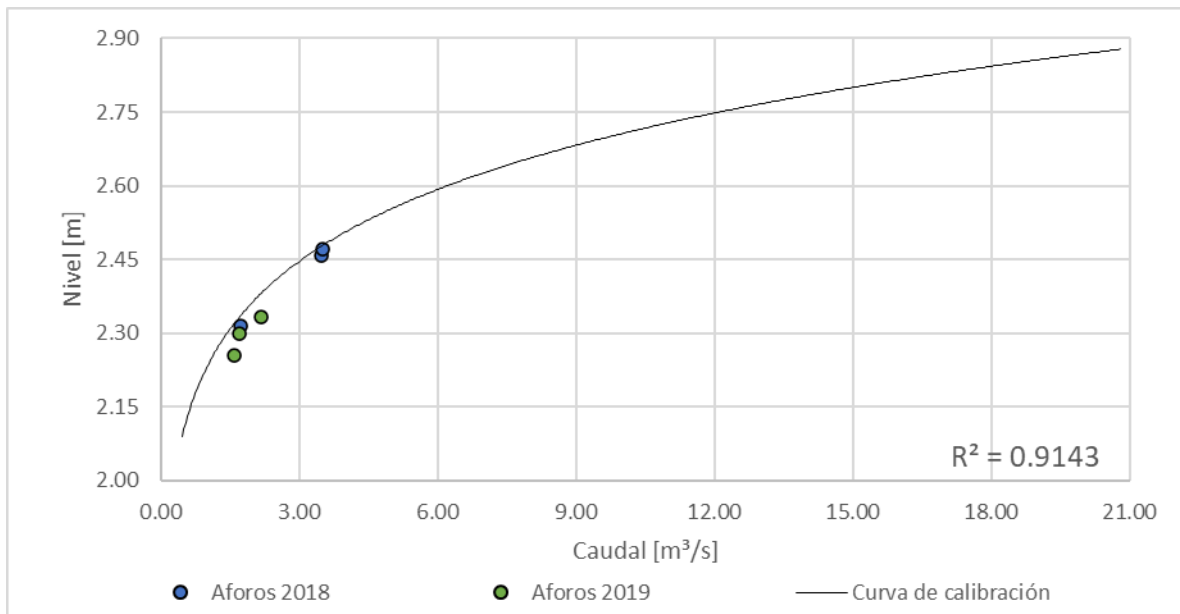


Figura 120. Curva nivel vs caudal, río Chinchiná – Cenicafé

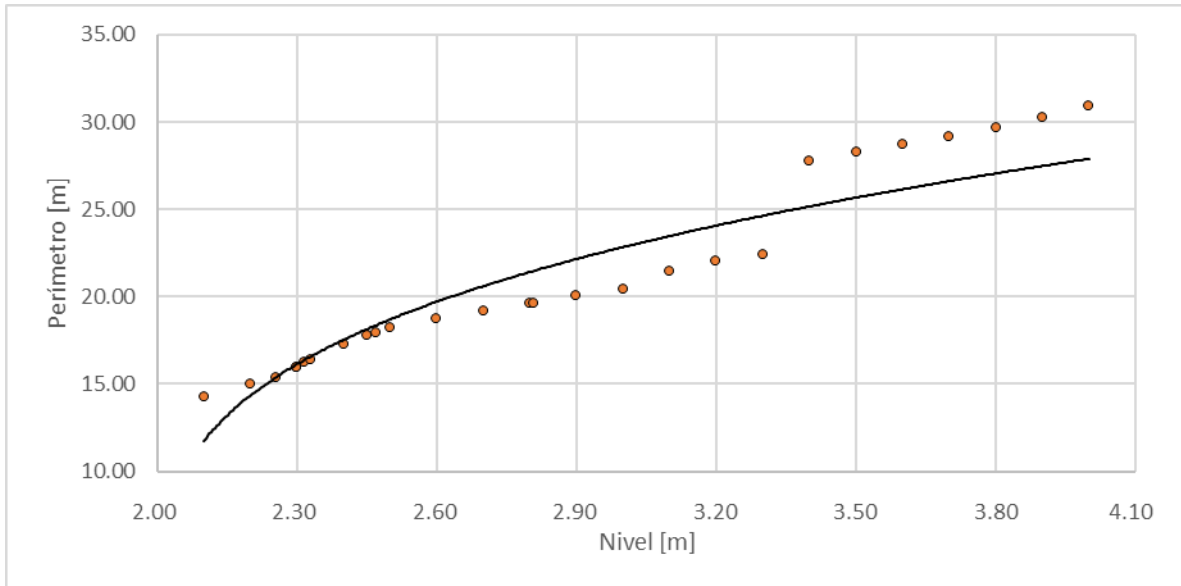


Figura 121. Nivel vs Perímetro, río Chinchiná - Cenicafé

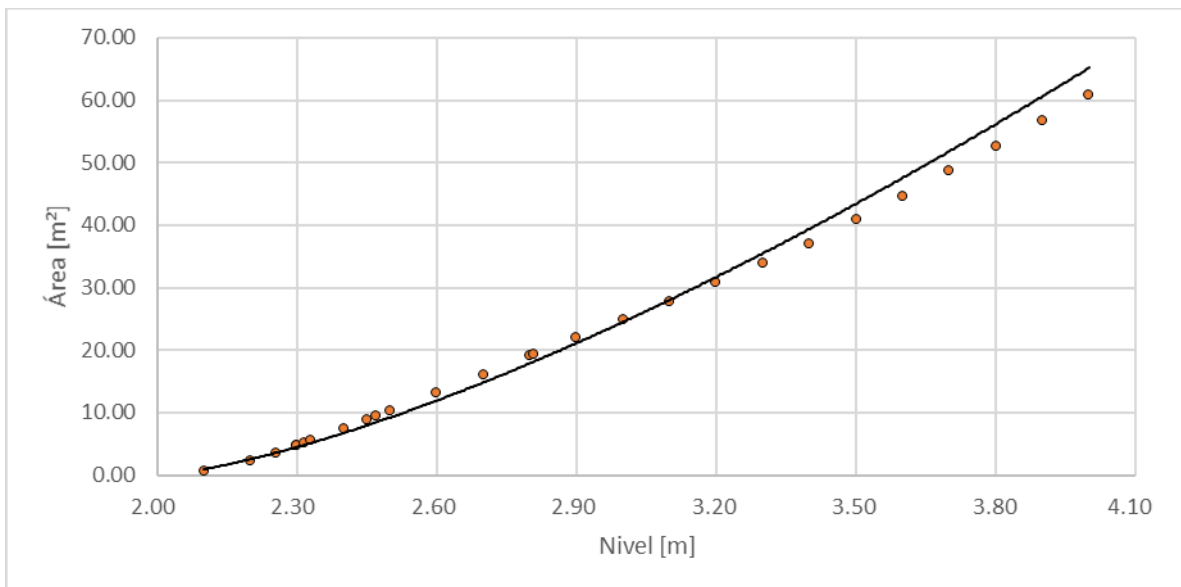


Figura 122. Nivel vs área, río Chinchiná - Cenicafé

4.24 Río Chinchiná – El Bosque

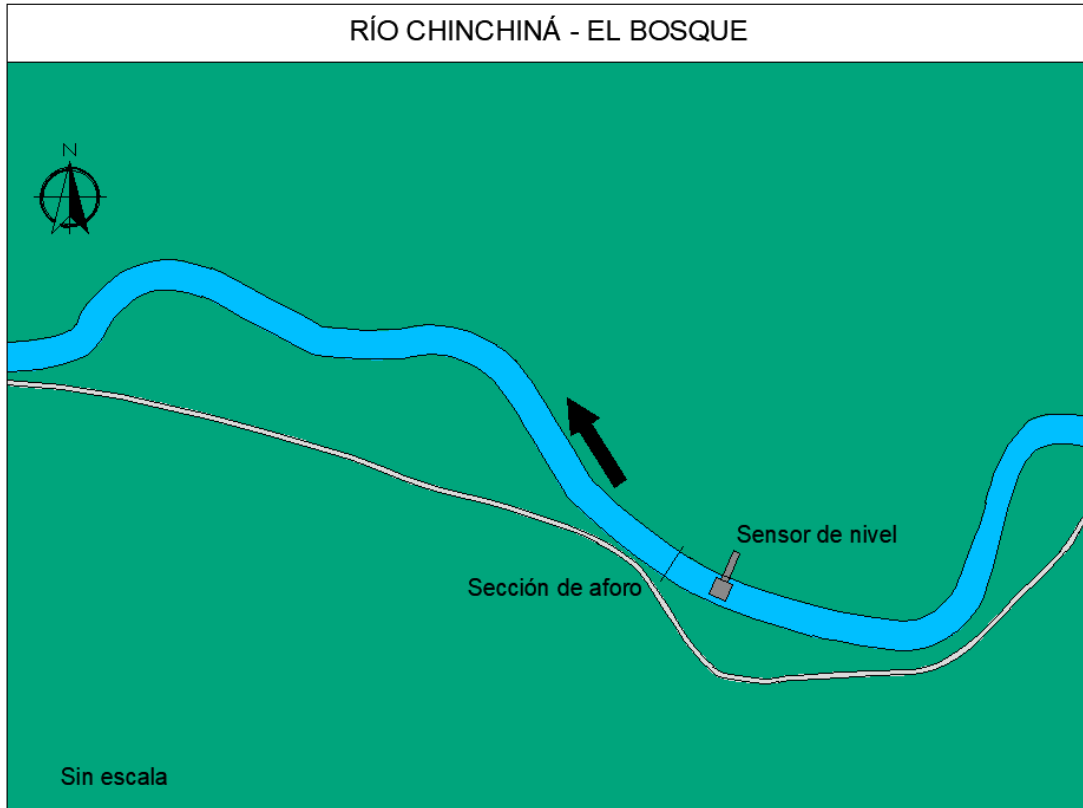


Figura 123. Vista en planta, río Chinchiná - El Bosque

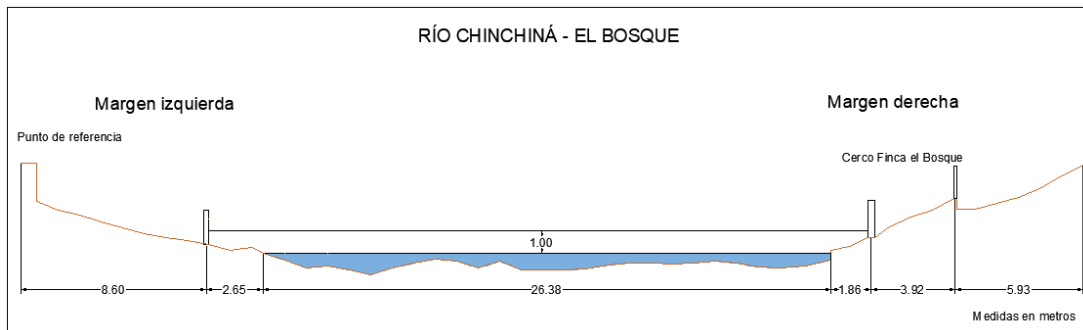


Figura 124. Sección transversal, río Chinchiná - El Bosque, con medidas hechas en cierto momento



Tabla 25. Resumen de resultados, río Chinchiná - El Bosque

ESTACIÓN		RÍO CHINCHINÁ - EL BOSQUE								
LATITUD	N 4° 59' 40.28"	LONGITUD	W 75° 33' 55.95"	ELEVACIÓN (msnm)	1387					
GENERAL SECCIÓN DE AFORO				DATOS DEL SENSOR			RESULTADOS			
Fecha aforo (dd-mm-aa)	Profundidad máxima (m)	Ancho de la sección mojada (m)	Ancho dovela (m)	Perímetro Mojado (m)	Altura desde el sensor a la superficie del agua (m)	Nivel medido por el sensor (m)	Velocidad media del flujo (m/s)	Área mojada (m ²)	Caudal medido (m ³ /s)	Error cuadrático medio para caudal
25/06/2018	0.852	26.150	2.000	26.820	9.510	3.089	0.683	11.379	7.767	1.909
12/07/2018	1.004	26.380	2.000	27.210	9.530	3.113	0.711	14.911	10.607	0.353
31/07/2018	1.103	26.500	2.000	27.300	9.400	3.139	0.737	16.685	12.302	1.398
2/08/2018	0.950	26.150	2.000	26.840	9.450	3.092	0.717	13.111	9.397	0.347
7/11/2019	0.750	24.900	2.000	25.520	9.600	2.930	0.700	13.065	9.150	2.747
27/11/2019	0.820	25.600	2.000	26.150	9.650	2.945	0.869	13.912	12.095	5.405
11/12/2019	0.730	24.900	2.000	25.420	9.560	2.895	0.648	13.302	8.621	2.831

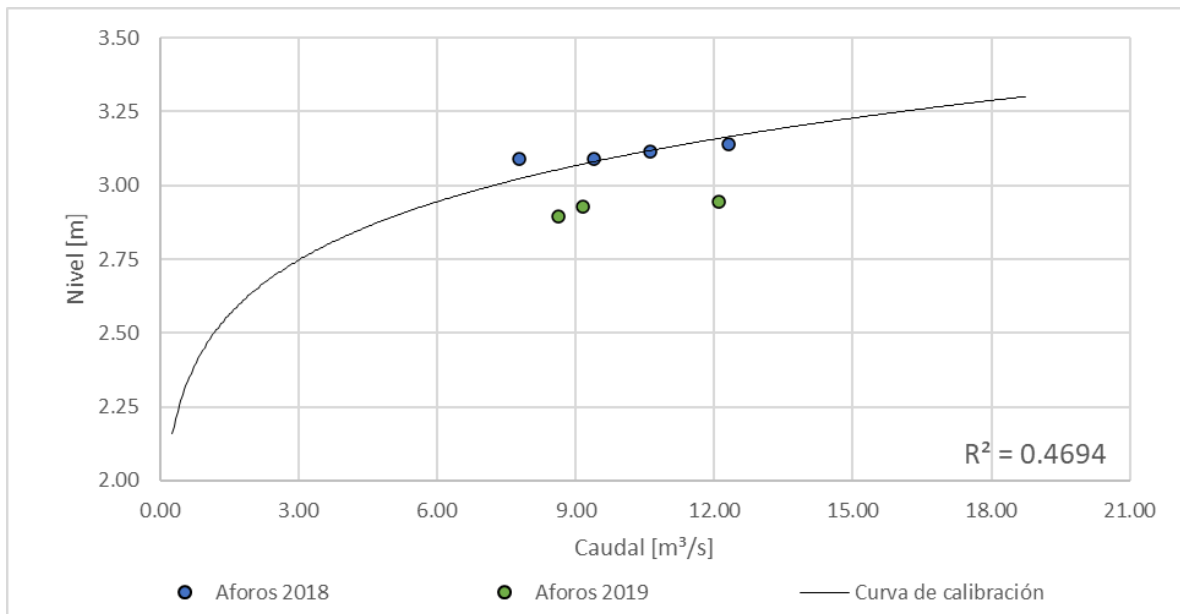


Figura 125. Curva nivel vs caudal, río Chinchiná - El Bosque

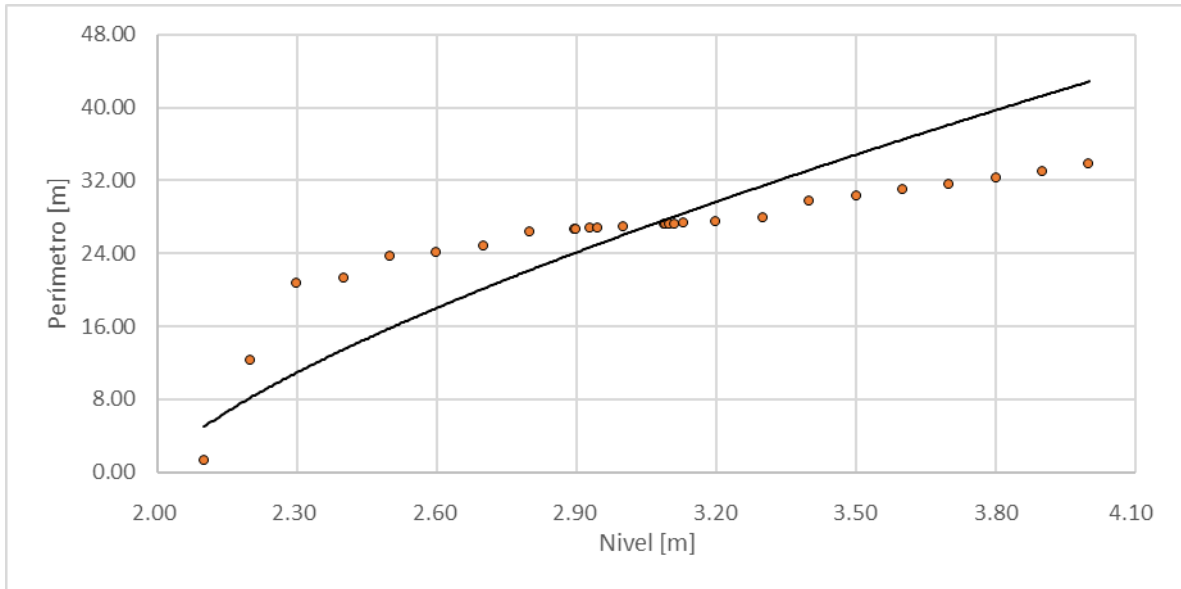


Figura 126. Nivel vs Perímetro, río Chinchiná - El Bosque

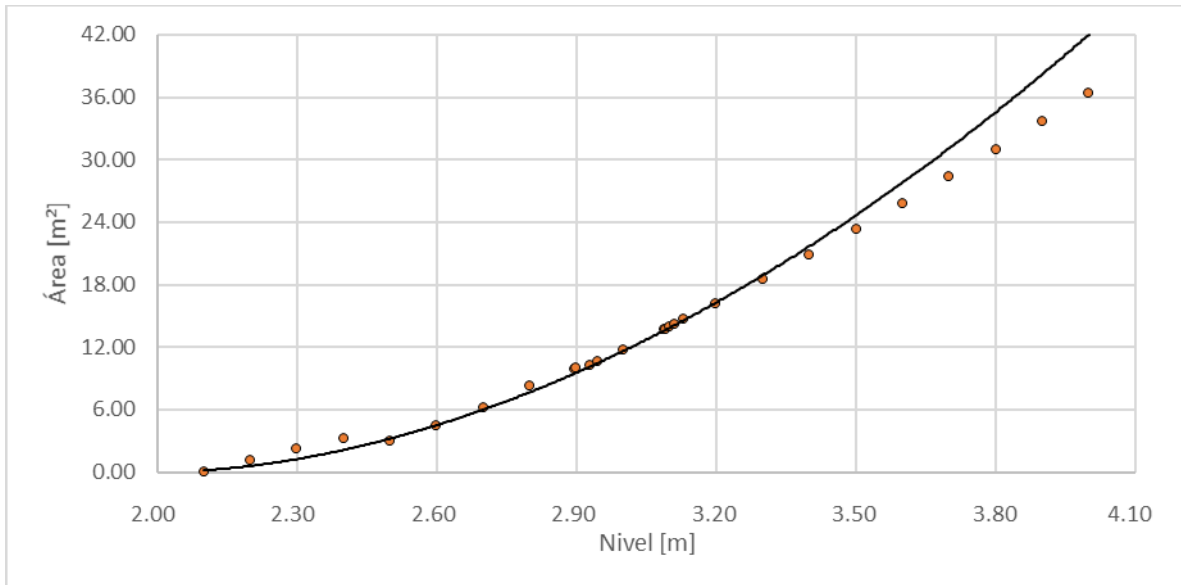


Figura 127. Nivel vs área, río Chinchiná - El Bosque

4.25 Río Doña Juana – Vía la Dorada Norcasia



Figura 128. Vista en planta, río Doña Juana - vía la Dorada Norcasia

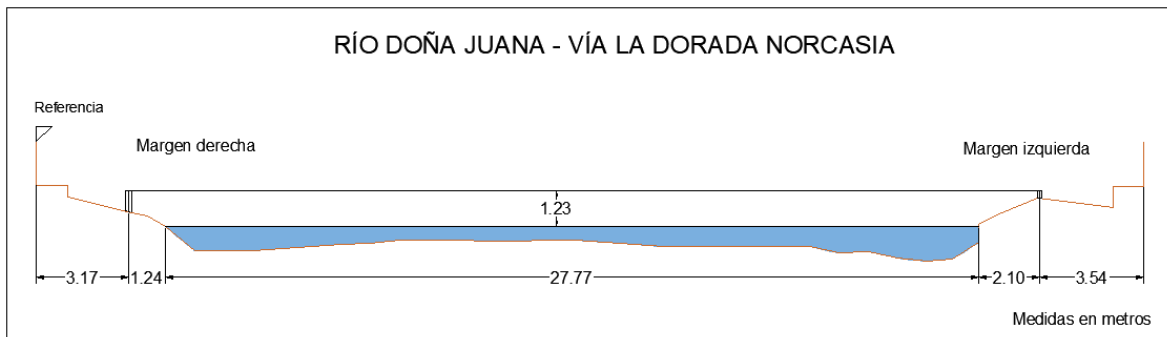


Figura 129. Sección transversal, río Doña Juana - vía la Dorada Norcasia, con medidas hechas en un cierto momento



Tabla 26. Resumen de resultados, río Doña Juana - Vía la Dorada Norcasia

ESTACIÓN		RÍO DOÑA JUANA - VÍA LA DORADA NORCASIA								
LATITUD	N 5° 30' 03.58"	LONGITUD	W 74° 41' 15.38"	ELEVACIÓN (msnm)	190					
SECCIÓN DE AFORO				SENSOR		RESULTADOS				
Fecha aforo (dd-mm-aa)	Profundidad máxima (m)	Ancho de la sección mojada (m)	Ancho dovela (m)	Perímetro Mojado (m)	Altura desde el sensor a la superficie del agua (m)	Nivel medido por el sensor (m)	Velocidad media del flujo (m/s)	Área mojada (m ²)	Caudal medido (m ³ /s)	Error cuadrático medio para caudal
27/10/2017	1.145	29.000	2.000	29.780	5.370	0.987	0.414	22.495	9.324	1.656
1/12/2017	1.203	27.700	2.000	31.200	4.380	1.345	0.602	21.066	12.675	4.239
10/01/2018	2.283	35.700	2.000	31.200	3.520	2.011	0.914	54.426	49.747	2.525
2/03/2018	0.552	26.300	1.000	14.850	4.970	0.725	0.239	7.791	1.862	1.629
1/07/2019	0.830	30.000	2.000	30.740	4.800	0.708	0.178	8.943	1.590	1.690
5/08/2019	0.668	23.620	1.600	24.210	4.910	0.626	0.170	6.374	1.082	1.312

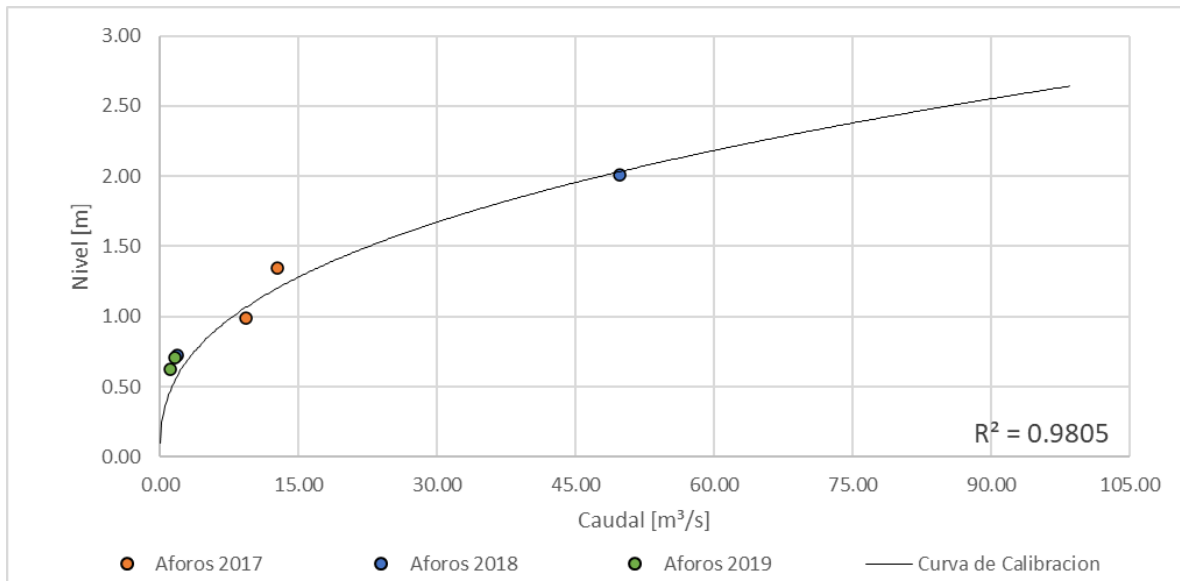


Figura 130. Curva nivel vs caudal, río Doña Juana - Vía la Dorada Norcasia

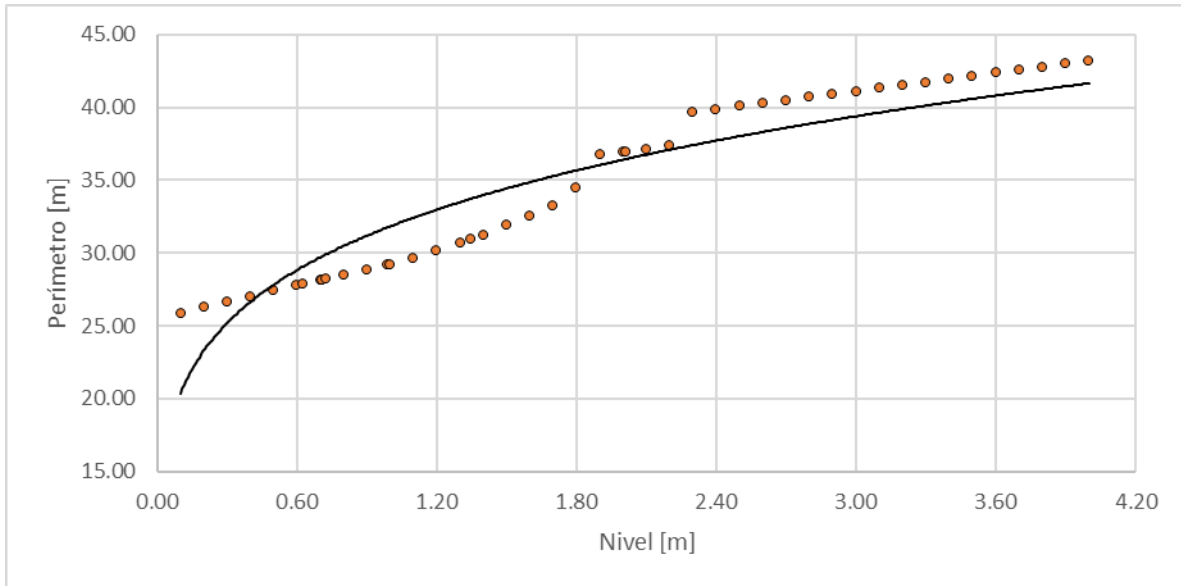


Figura 131. Nivel vs Perímetro, río Doña Juana - Vía la Dorada Norcasia

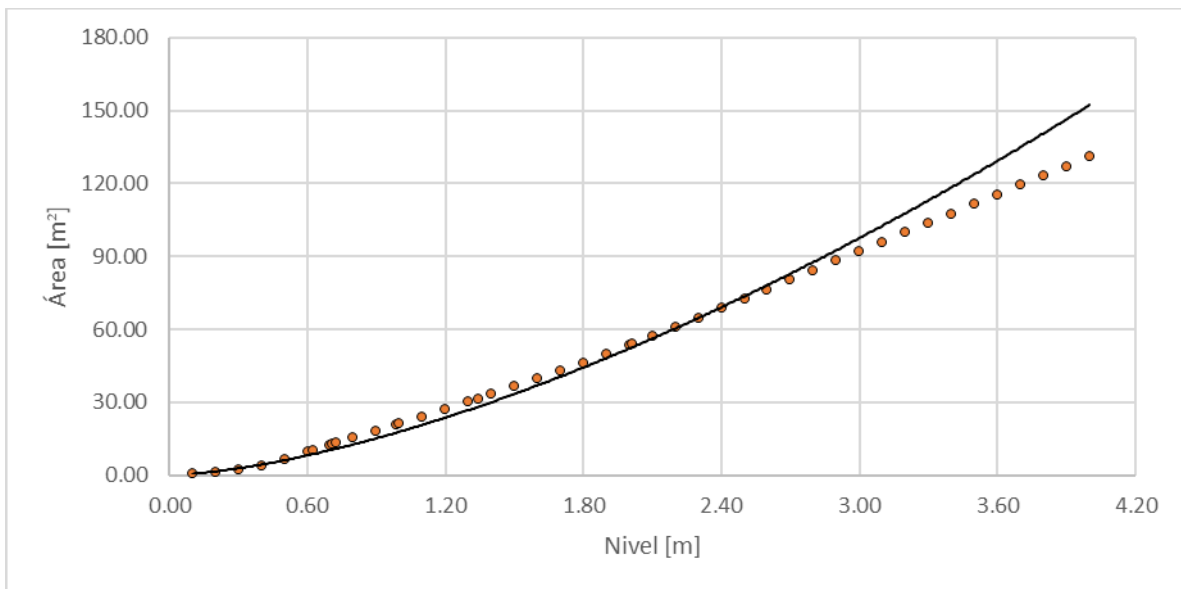


Figura 132. Nivel vs Área, río Doña Juana - Vía la Dorada Norcasia

4.26 Río Guacaica - CHEC



Figura 133. Vista en planta, río Guacaica - CHEC

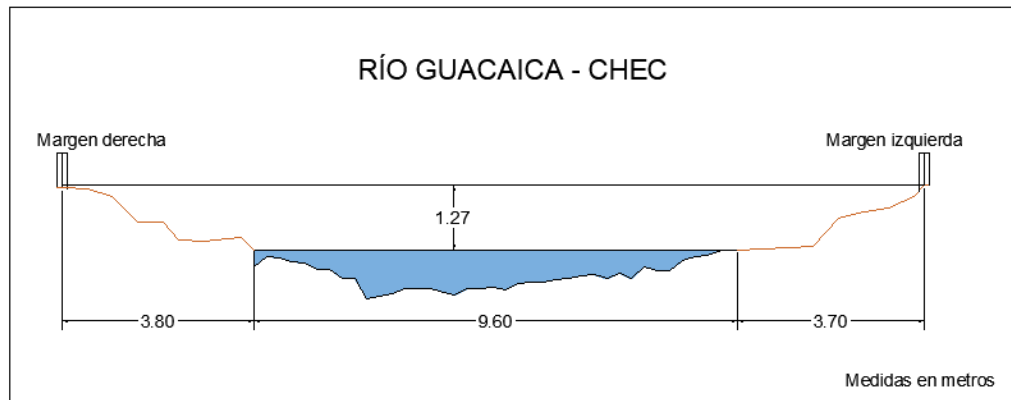


Figura 134. Sección transversal, río Guacaica – CHEC, con medidas hechas en un cierto momento



Tabla 27. Resumen de resultados, río Guacaica – CHEC

ESTACIÓN		RÍO GUACAICA - CHEC								
LATITUD	N 5° 8' 22.62"	LONGITUD	W 75° 29' 59.88"	ELEVACIÓN (msnm)	1621					
GENERAL SECCIÓN DE AFORO				DATOS DEL SENSOR			RESULTADOS			
Fecha aforo (dd-mm-aa)	Profundidad máxima (m)	Ancho de la sección mojada (m)	Ancho dovela (m)	Perímetro Mojado (m)	Altura desde el sensor a la superficie del agua (m)	Nivel medido por el sensor (m)	Velocidad media del flujo (m/s)	Área mojada (m ²)	Caudal medido (m ³ /s)	Error cuadrático medio para caudal
9/11/2017	0.686	8.000	0.800	9.000	7.800	3.628	0.556	4.176	2.321	0.104
15/12/2017	1.183	12.000	1.000	13.830	6.800	3.795	0.654	8.057	5.270	2.103
11/01/2018	0.900	10.500	1.000	12.350	6.900	3.743	0.775	6.283	4.868	1.945
3/03/2018	0.973	9.600	0.500	10.990	7.020	3.776	0.843	4.465	3.762	0.685
22/06/2019	0.802	11.000	1.100	11.850	7.130	3.639	0.539	4.575	2.466	0.002
25/07/2019	0.739	10.300	0.600	10.700	7.220	3.579	0.433	2.788	1.209	1.019

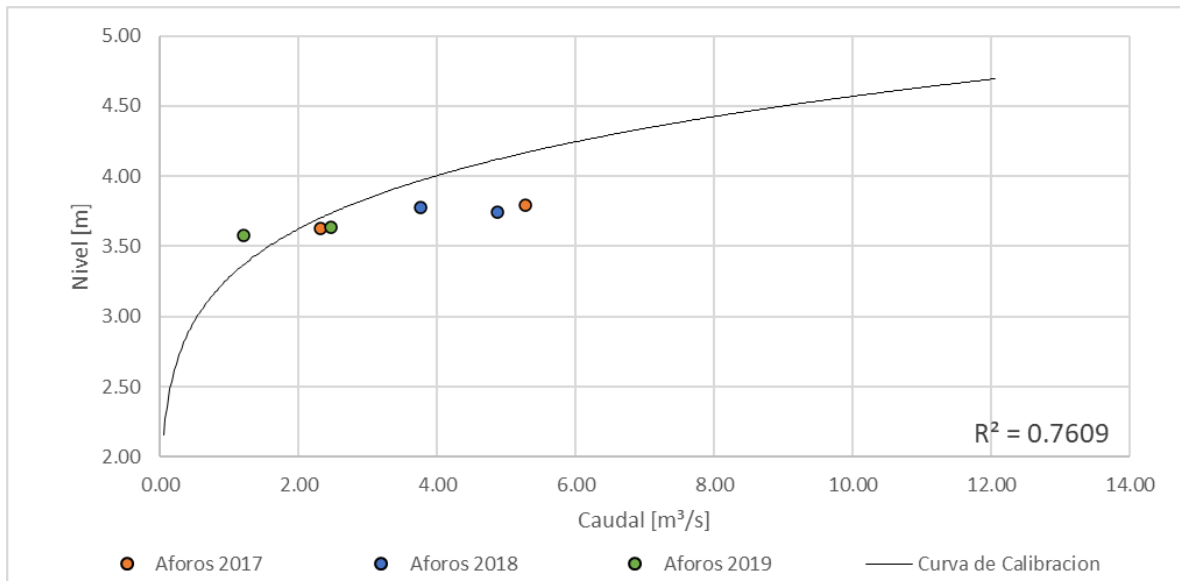


Figura 135. Curva nivel vs caudal, río Guacaica – CHEC

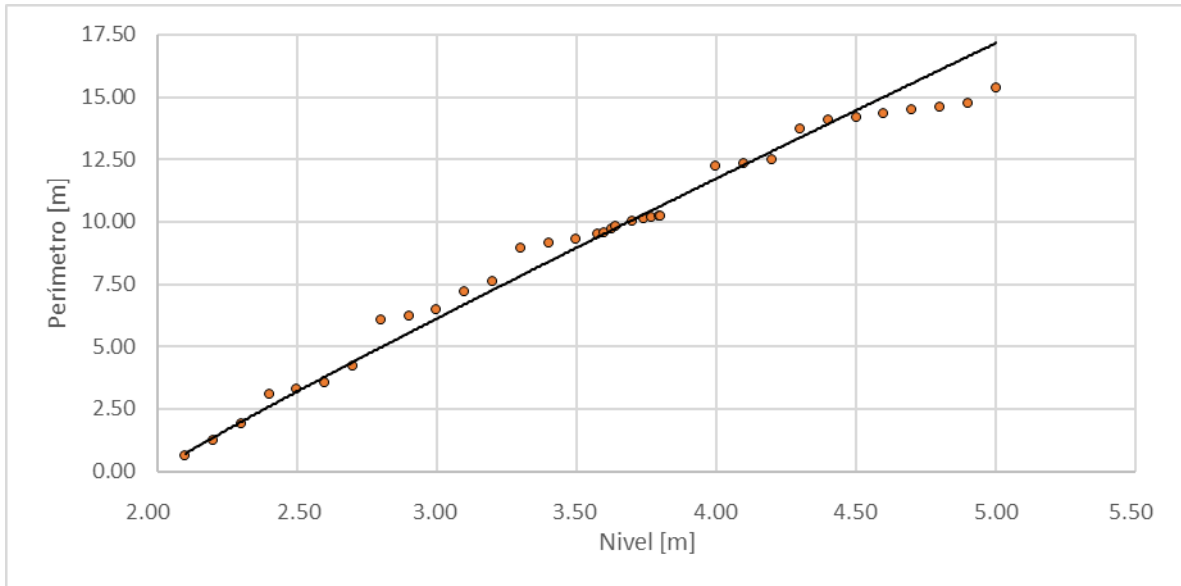


Figura 136. Nivel vs perímetro, río Guacaica – CHEC

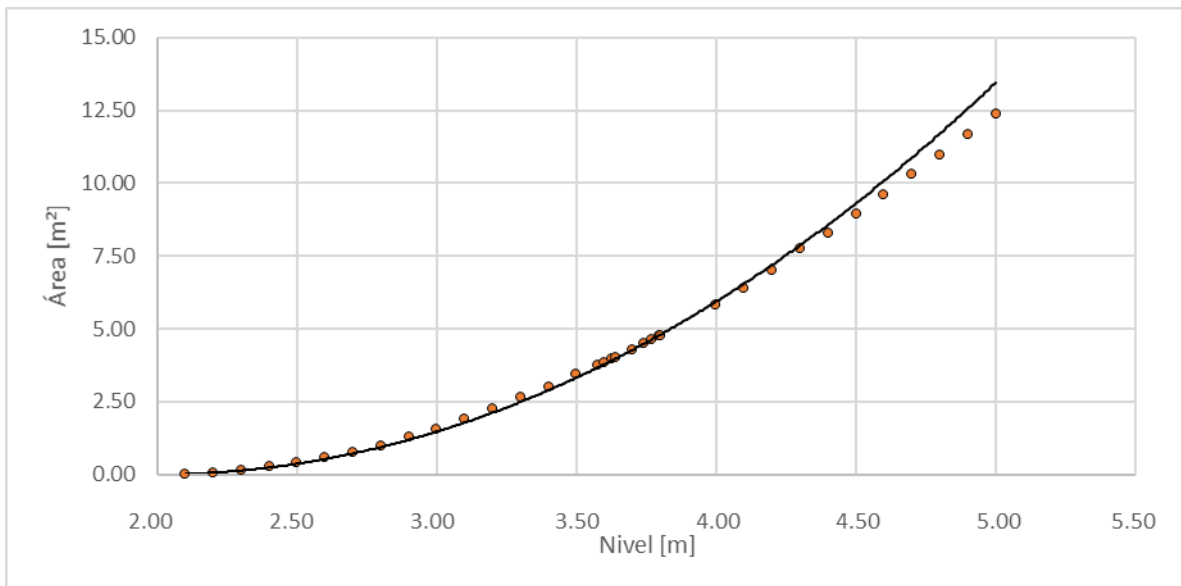


Figura 137. Nivel vs área, río Guacaica – CHEC

4.27 Río Guacaica – El Jordán



Figura 138. Vista en planta, río Guacaica - El Jordán

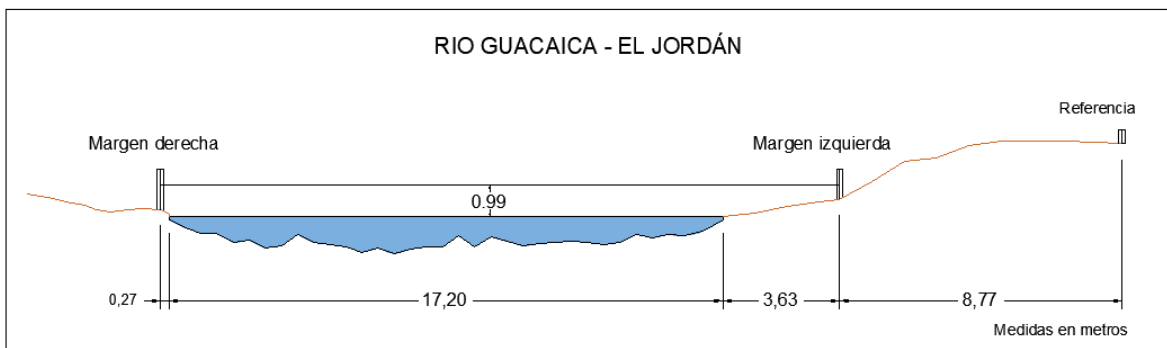


Figura 139. Sección Transversal, río Guacaica - El Jordán, con medidas hechas en un cierto momento



Tabla 28. Resumen de resultados, río Guacaica - El Jordán

ESTACIÓN		RÍO GUACAICA - EL JORDAN								
LATITUD	N 5° 6' 36.37"	LONGITUD	W 75° 39' 28.77"	ELEVACIÓN (msnm)	909					
GENERAL SECCIÓN DE AFORO				DATOS DEL SENSOR			RESULTADOS			
Fecha aforo (dd-mm-aa)	Profundidad máxima (m)	Ancho de la sección mojada (m)	Ancho dovela (m)	Perímetro Mojado (m)	Altura desde el sensor a la superficie del agua (m)	Nivel medido por el sensor (m)	Velocidad media del flujo (m/s)	Área mojada (m ²)	Caudal medido (m ³ /s)	Error cuadrático medio para caudal
29/11/2017	1.065	19.200	1.600	19.821	8.720	3.296	0.681	14.103	9.608	3.615
19/12/2017	0.960	17.000	1.500	17.905	8.850	3.210	0.582	11.621	6.765	1.799
11/01/2018	1.186	18.000	1.000	18.587	8.650	3.353	0.727	15.110	10.980	4.237
1/03/2018	1.020	17.200	1.000	18.451	8.830	3.226	0.552	12.547	6.924	1.773
25/05/2019	0.893	18.080	1.300	19.170	7.910	3.415	0.391	10.314	4.038	3.573
5/07/2019	0.920	21.300	1.500	22.150	8.650	3.191	0.508	12.886	6.544	1.790
1/08/2019	0.840	20.740	1.500	21.050	8.830	3.136	0.459	11.380	5.228	1.048

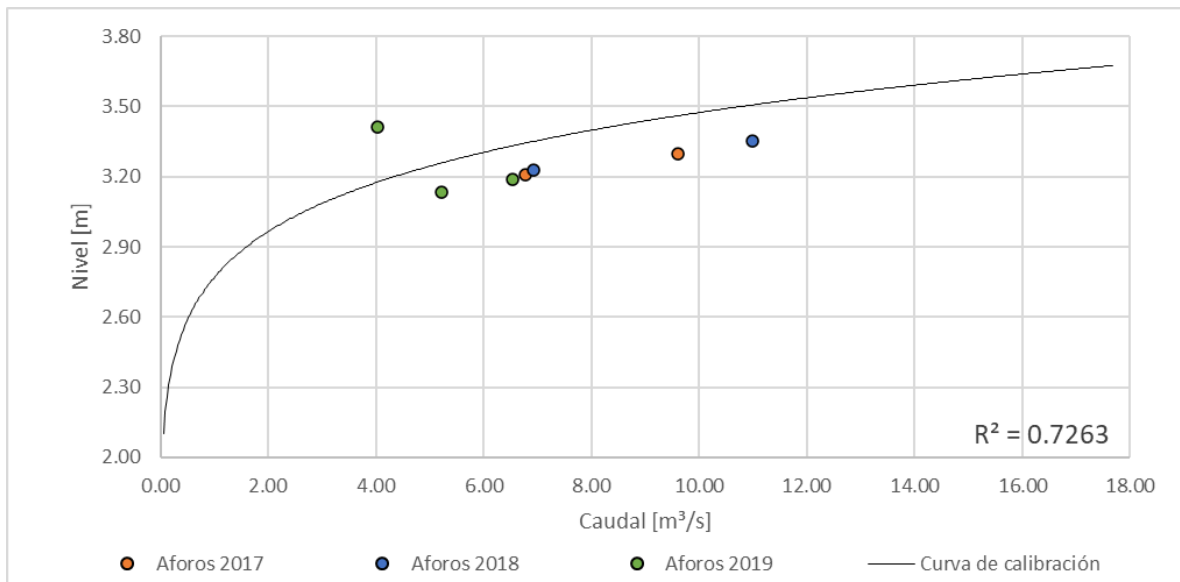


Figura 140. Curva nivel vs caudal, río Guacaica - El Jordán

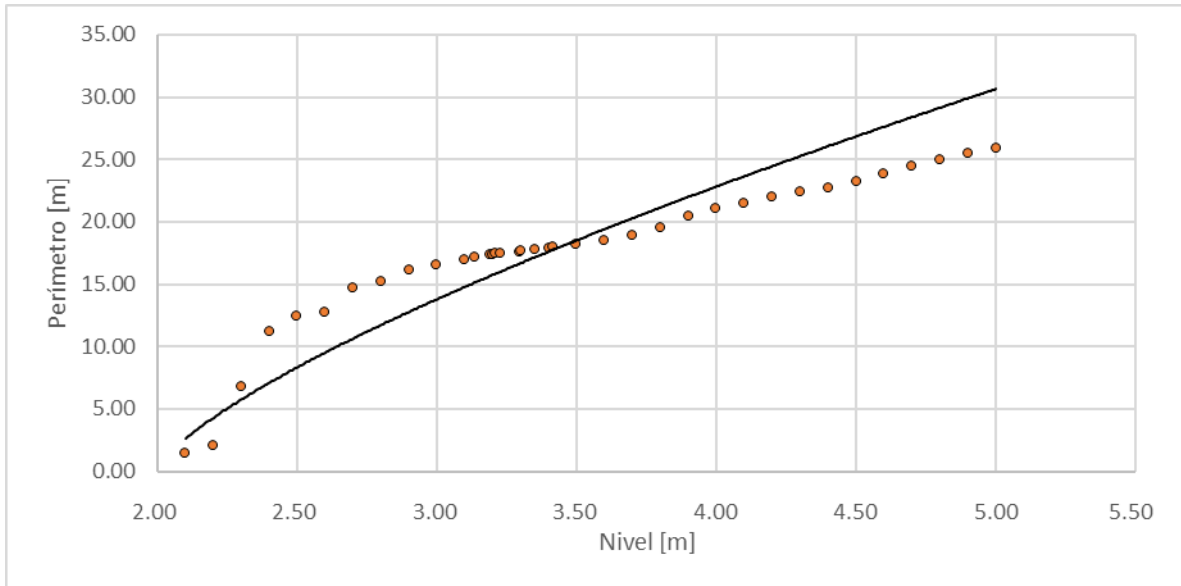


Figura 141. Nivel vs Perímetro, río Guacaica - El Jordán

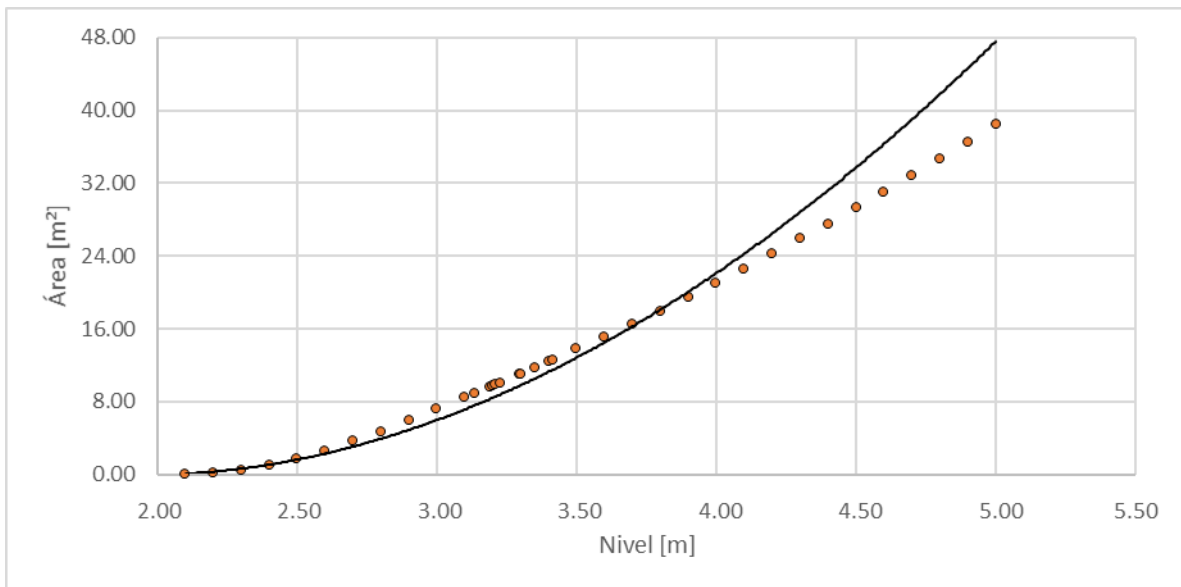


Figura 142. Nivel vs área, río Guacaica - El Jordán

4.28 Río Pácora

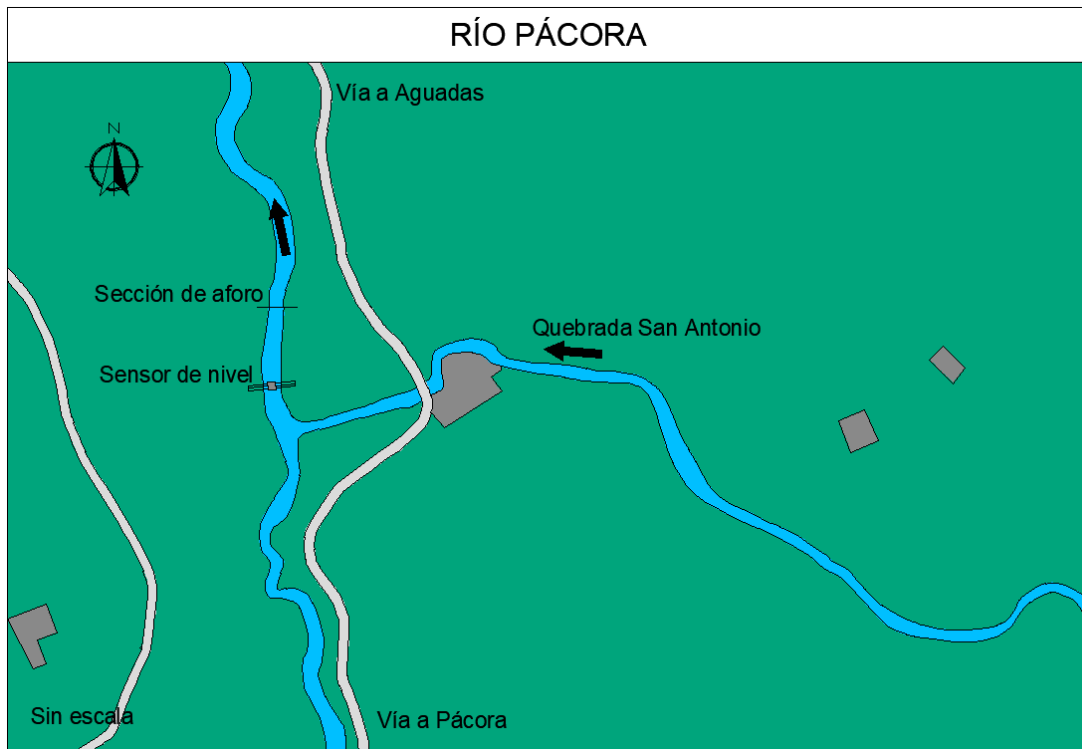


Figura 143. vista en planta, río Pácora

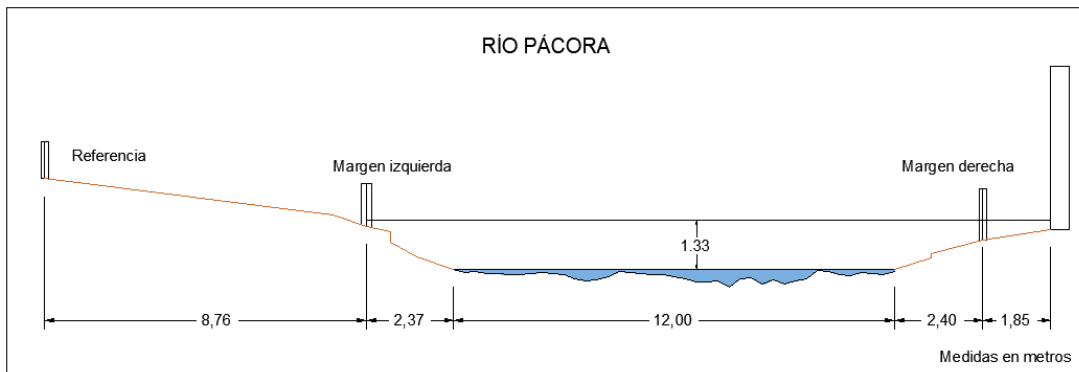


Figura 144. Sección transversal, río Pácora, con medidas hechas en un cierto momento



Tabla 29. Resumen de resultados, río Pácora

ESTACIÓN		RÍO PÁCORÁ								
LATITUD	N 5° 32' 27.04"	LONGITUD	W 75° 27' 31.87"	ELEVACIÓN (msnm)	1690					
GENERAL SECCIÓN DE AFORO				DATOS DEL SENSOR			RESULTADOS			
Fecha aforo (dd-mm-aa)	Profundidad máxima (m)	Ancho de la sección mojada (m)	Ancho dovela (m)	Perímetro Mojado (m)	Altura desde el sensor a la superficie del agua (m)	Nivel medido por el sensor (m)	Velocidad media del flujo (m/s)	Área mojada (m ²)	Caudal medido (m ³ /s)	Error cuadrático medio para caudal
1/11/2017	0.577	14.000	1.000	15.680	6.400	0.880	0.561	4.211	2.361	1.450
5/12/2017	0.670	13.000	1.000	13.580	6.340	0.940	0.516	5.137	2.653	1.868
8/01/2018	0.524	13.000	1.000	13.450	6.760	0.520	0.374	3.803	1.424	0.070
8/03/2018	0.500	12.000	0.600	12.480	6.970	0.310	0.267	2.424	0.647	0.194
21/07/2019	0.576	13.000	0.900	13.420	6.880	0.400	0.218	3.483	0.758	0.057
8/08/2019	0.564	13.500	1.000	14.560	6.960	0.320	0.207	4.229	0.877	0.389

*No hay datos de nivel medidos por el sensor durante los aforos, niveles tomados con base en la altura desde el sensor hasta la superficie del agua.

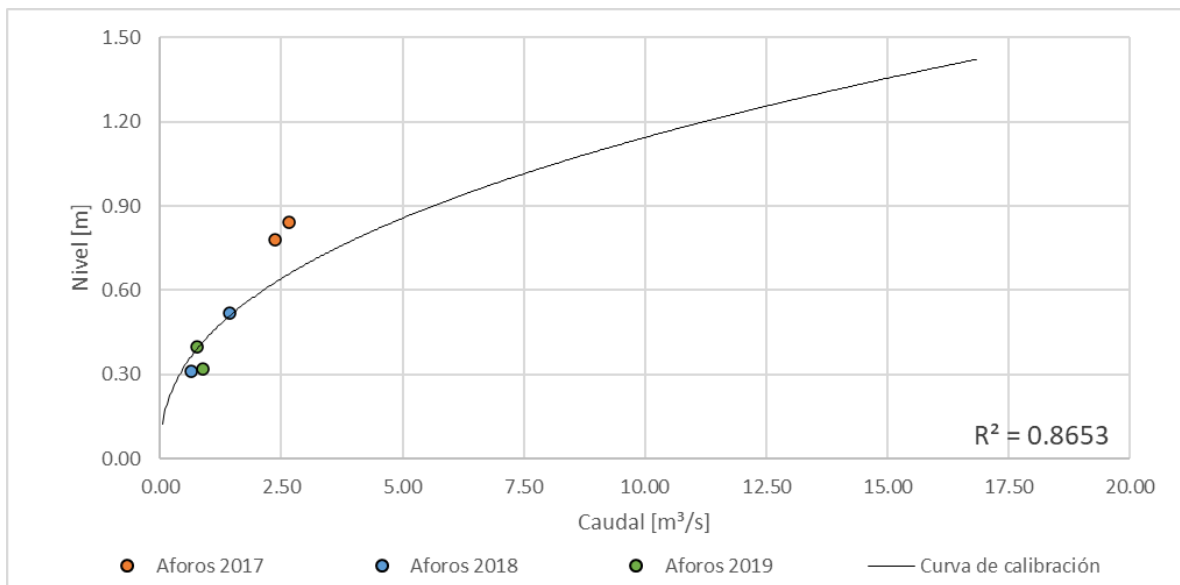


Figura 145. Curva nivel vs caudal, río Pácora

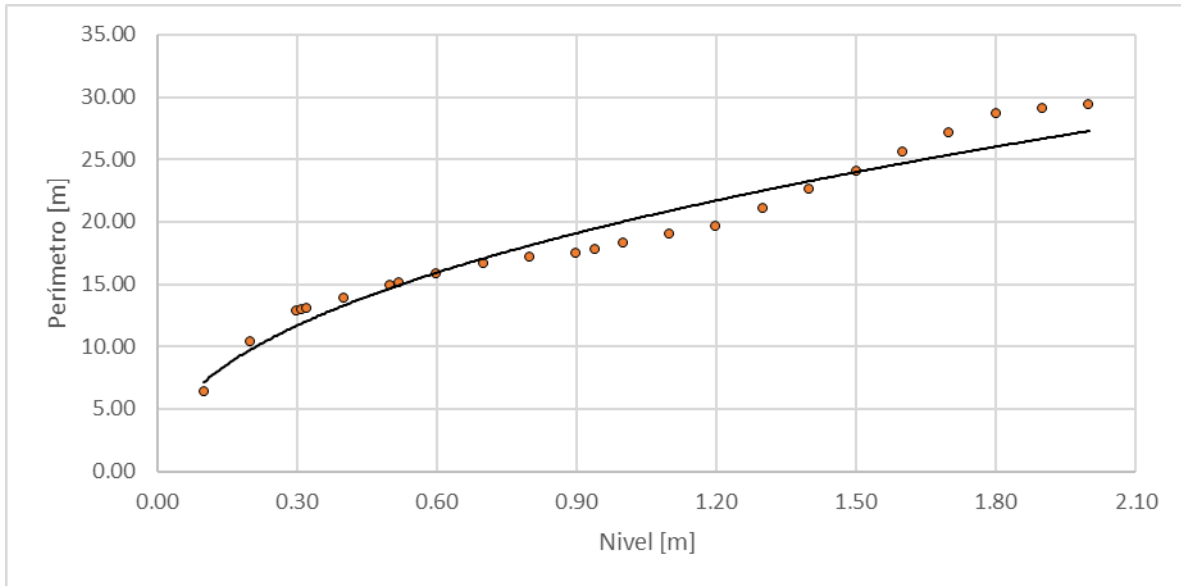


Figura 146. Nivel vs perímetro, río Pácora

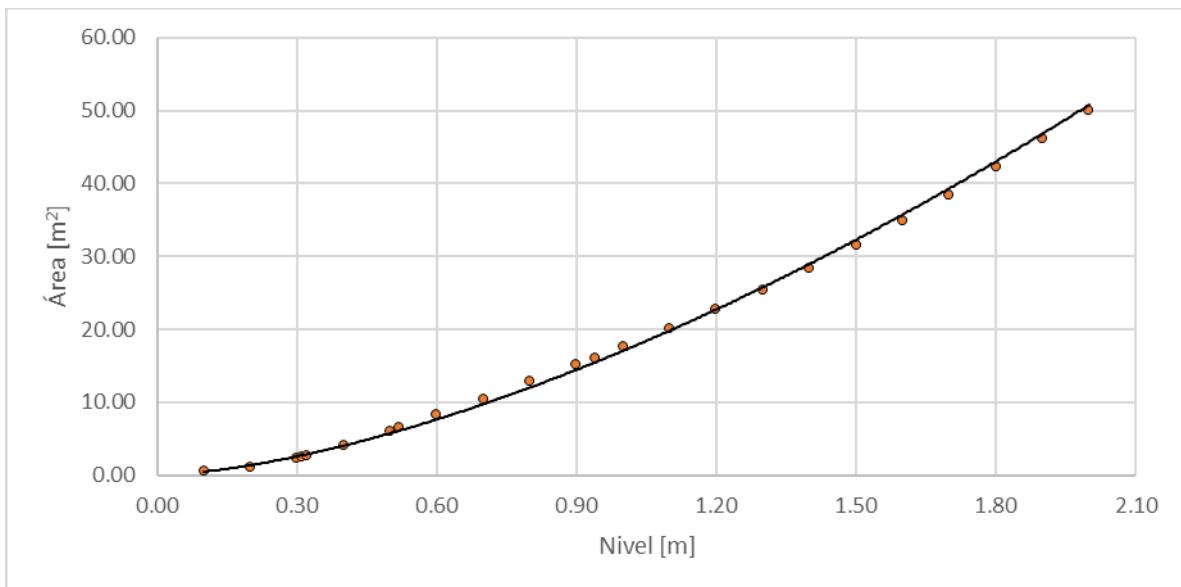


Figura 147. Nivel vs área, río Pácora

4.29 Río Pensilvania - Microcentral

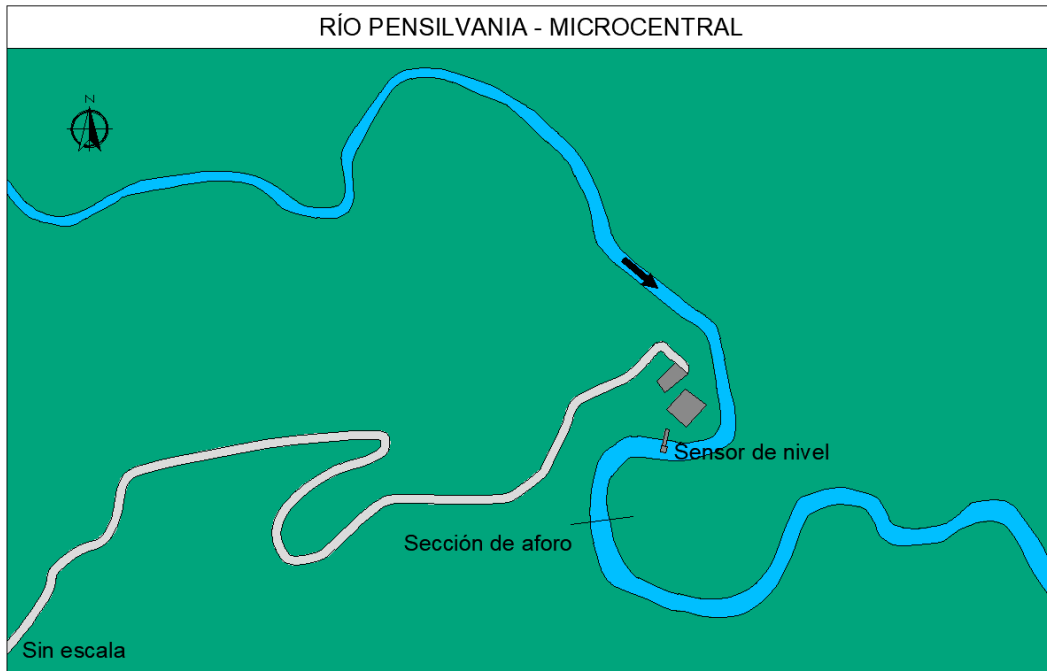


Figura 148. Vista en planta, río Pensilvania - Microcentral

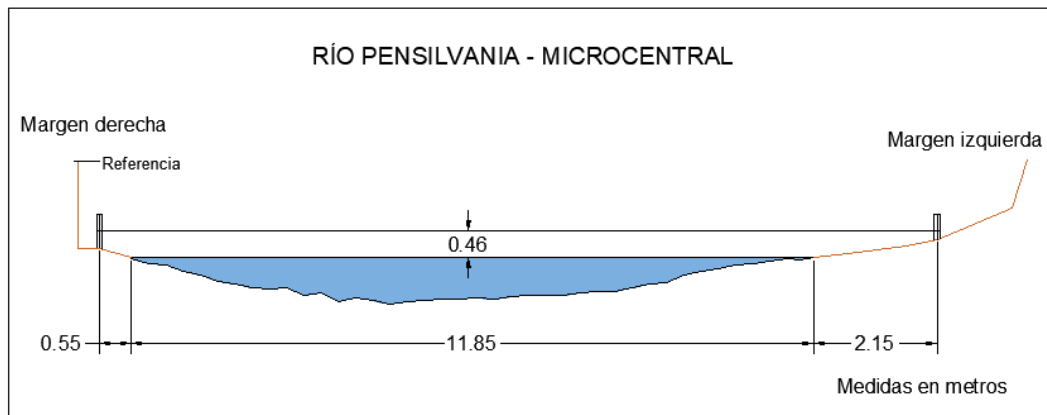


Figura 149. Sección transversal, río Pensilvania – Microcentral, con medidas hechas en un cierto momento



Tabla 30. Resumen de resultados, río Pensilvania – Microcentral

ESTACIÓN		RÍO PENSILVANIA - MICROCENTRAL								
LATITUD	N 5° 23' 6.4"	LONGITUD	W 75° 8' 5.9"	ELEVACIÓN (msnm)	1773					
Fecha aforo (dd-mm-aa)	GENERAL SECCIÓN DE AFORO				DATOS DEL SENSOR			RESULTADOS		
	Profundidad máxima (m)	Ancho de la sección mojada (m)	Ancho dovela (m)	Perímetro Mojado (m)	Altura desde el sensor a la superficie del agua (m)	Nivel medido por el sensor (m)	Velocidad media del flujo (m/s)	Área mojada (m ²)	Caudal medido (m ³ /s)	Error cuadrático medio para caudal
28/10/2017	0.705	12.000	1.000	12.100	5.370	3.110	0.397	5.043	2.000	0.176
30/11/2017	0.862	13.300	1.200	13.540	5.100	3.370	0.443	6.236	2.766	0.215
9/01/2018	0.810	12.900	1.000	13.450	5.170	3.315	0.451	6.039	2.724	0.439
1/03/2018	0.815	11.850	0.600	12.130	5.120	3.260	0.351	5.641	1.979	0.056
15/06/2019	1.055	11.400	0.900	11.770	5.200	3.280	0.402	5.901	2.375	0.115
6/08/2019	0.949	11.750	0.900	12.400	4.900	3.540	0.449	6.533	2.936	0.562

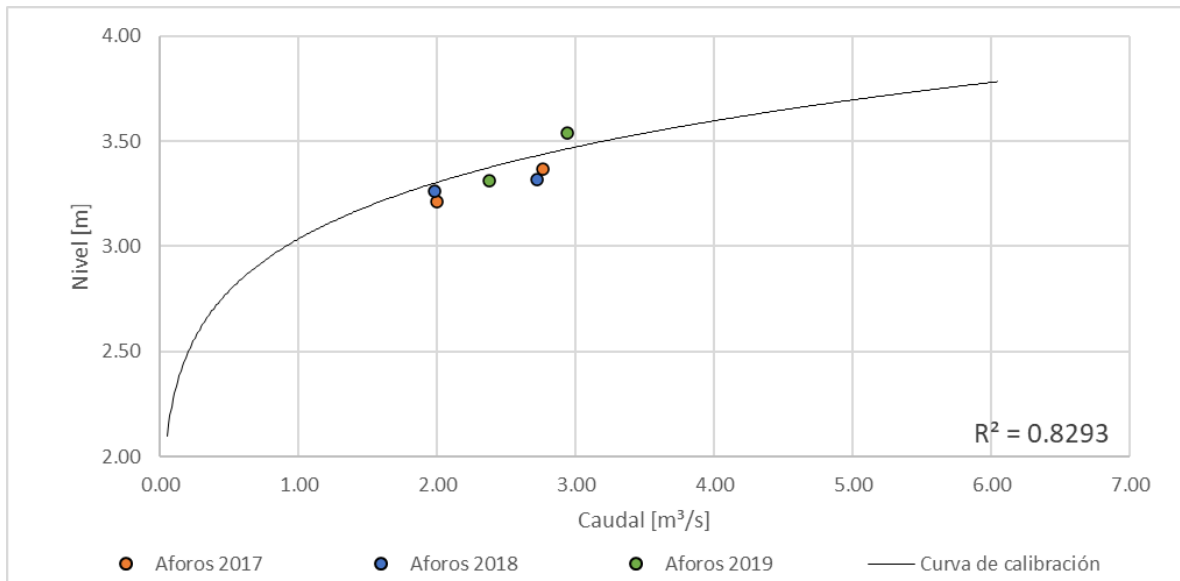


Figura 150. Curva nivel vs caudal, río Pensilvania – Microcentral

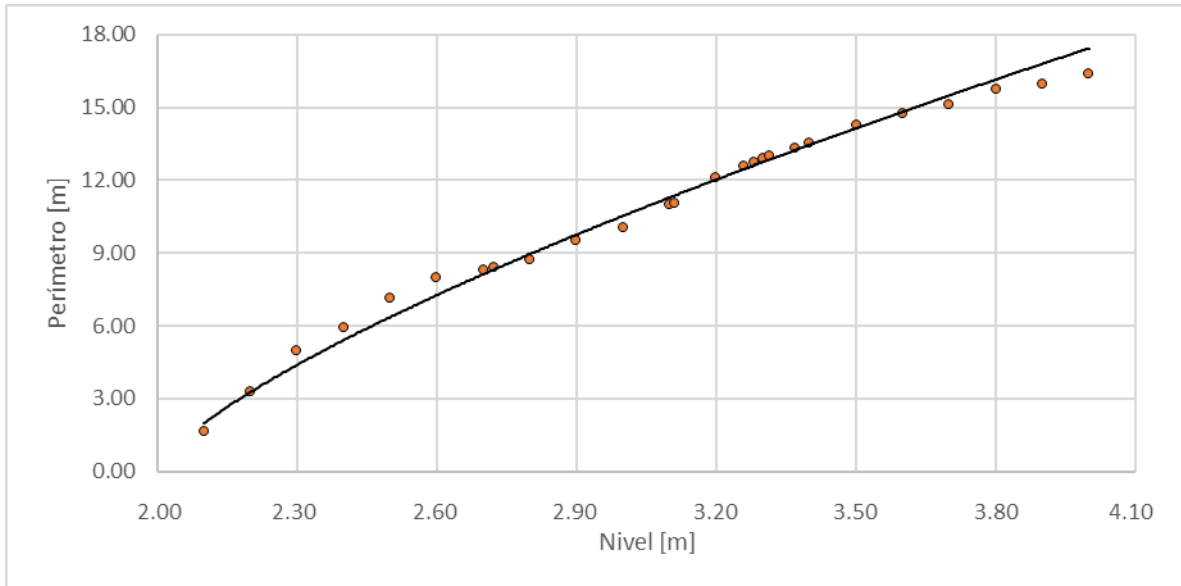


Figura 151. Nivel vs Perímetro, río Pensilvania - Microcentral

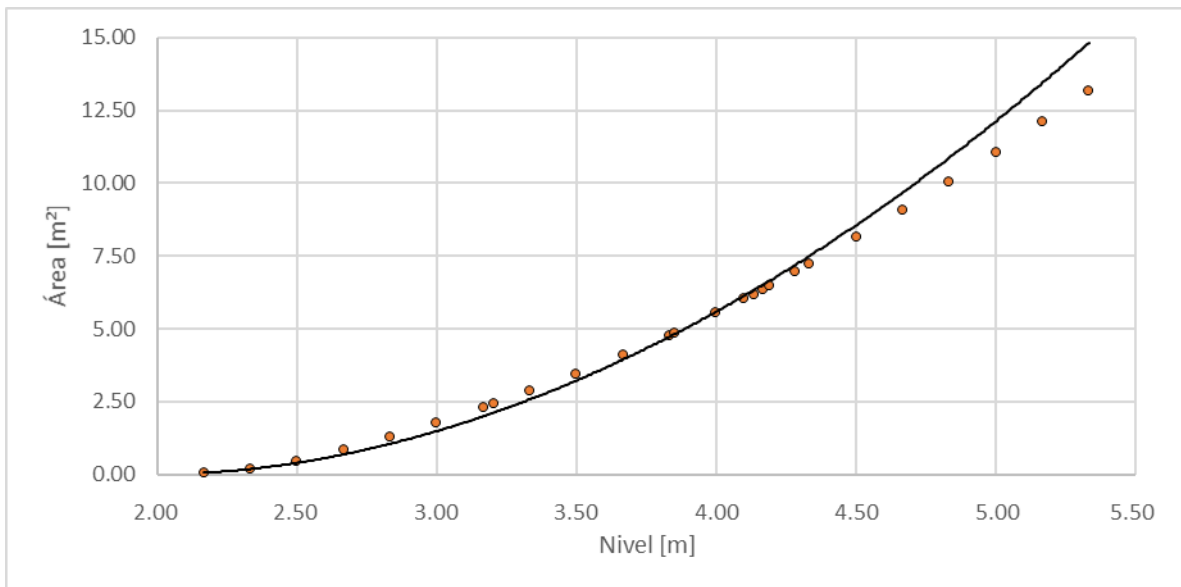


Figura 152. Nivel vs área, río Pensilvania - Microcentral

4.30 Río Pozo – Vía la Merced Pácora

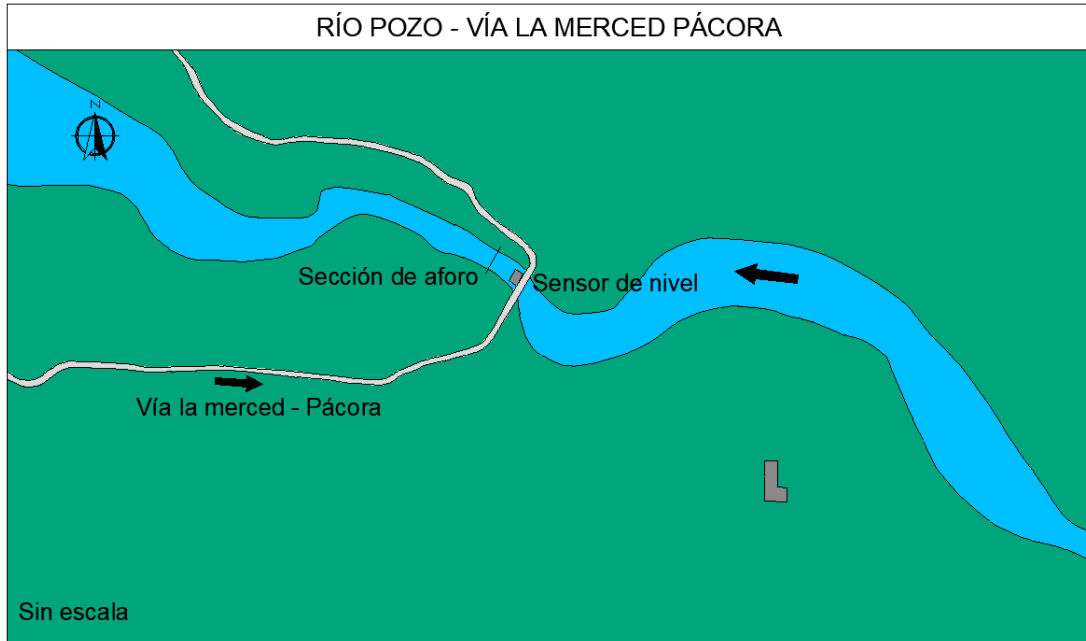


Figura 153. Vista en planta, río Pozo - Vía la Merced Pácora

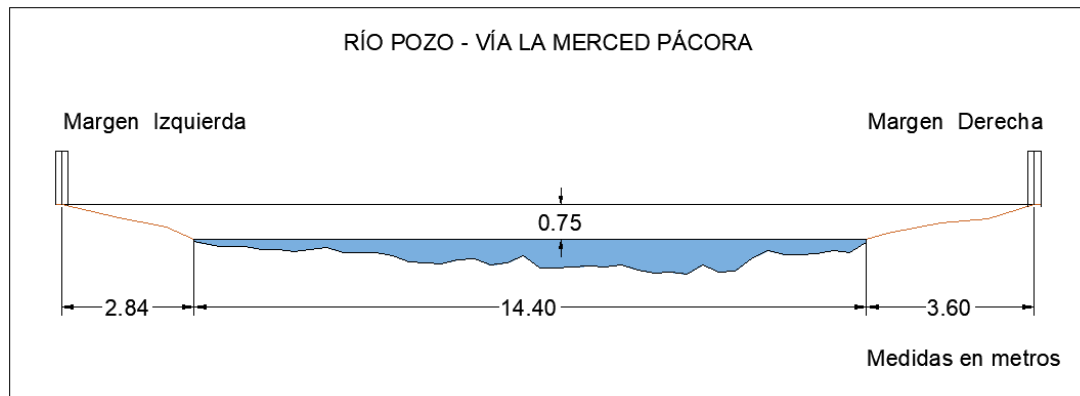


Figura 154. Sección transversal, río Pozo – Vía la Merced Pácora, con medidas hechas en un cierto momento



Tabla 31. Resumen de resultados, río Pozo – Vía la Merced Pácora

ESTACIÓN		RÍO POZO - VÍA LA MERCED PÁCORA								
LATITUD	N 5° 26' 33.86"	LONGITUD	W 75° 33' 24.53"	ELEVACIÓN (msnm)	803					
Fecha (dd-mm-aa)	SECCIÓN DE AFORO				SENSOR		RESULTADOS			
	Profundidad máxima (m)	Ancho del canal (m)	Ancho dovela (m)	Perímetro Mojado (m)	Altura a la superficie del agua (m)	Nivel medido por el sensor (m)	Velocidad (m/s)	Área (m ²)	Caudal medido (m ³ /s)	Error cuadrático medio para caudal
22/12/2017	1.040	14.450	0.800	18.530	9.830	2.847	1.108	9.587	10.627	1.603
13/02/2018	0.885	14.000	0.800	18.530	10.030	2.675	1.097	6.470	7.099	0.268
6/03/2018	0.750	14.400	0.700	18.530	9.980	2.642	0.975	5.819	5.676	0.339
7/03/2018	0.690	14.200	1.000	18.530	9.900	2.653	0.984	6.022	5.927	0.370
21/06/2019	0.720	16.000	1.600	16.510	10.180	2.761	1.045	7.034	7.353	4.734
23/07/2019	0.835	16.570	1.600	16.730	10.050	2.647	1.329	7.731	10.271	7.748

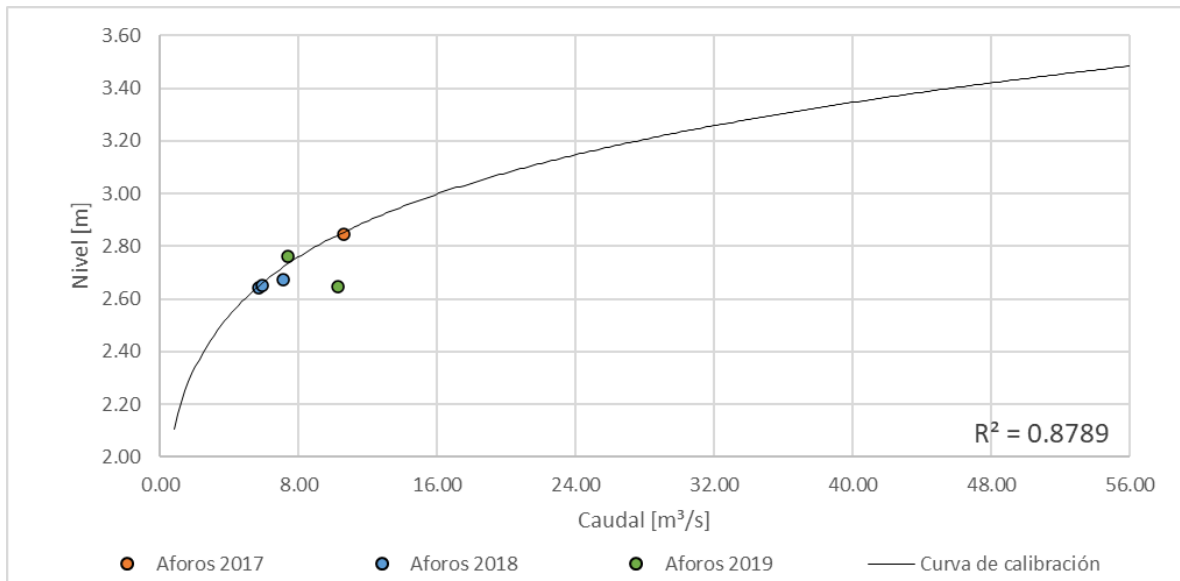


Figura 155. Curva nivel vs caudal, río Pozo – Vía la Merced Pácora

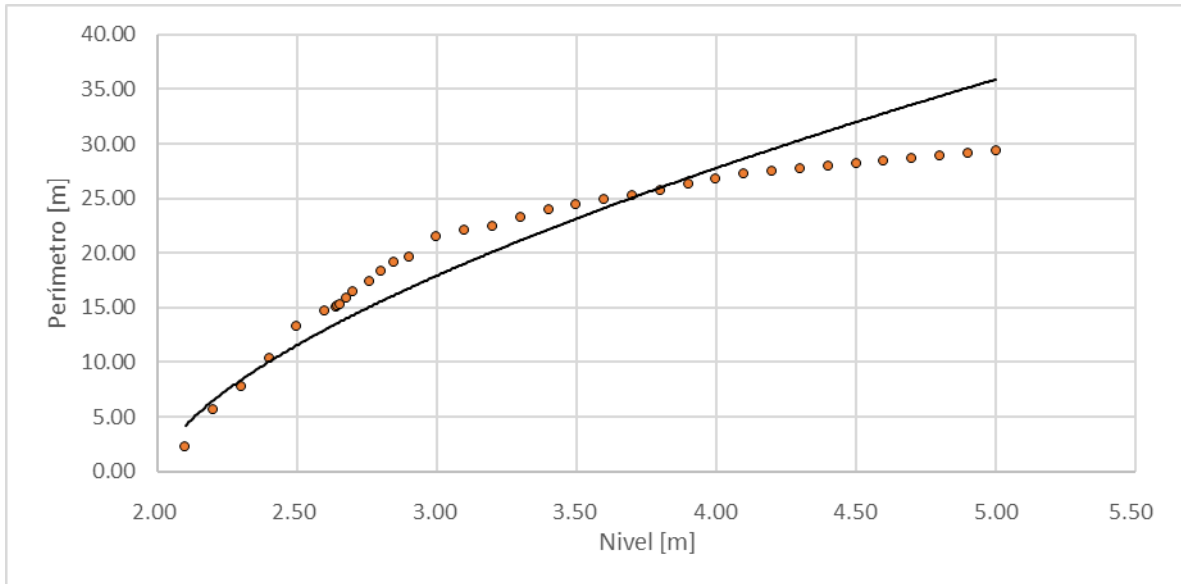


Figura 156. Nivel vs perímetro, río Pozo – Vía la Merced Pácora

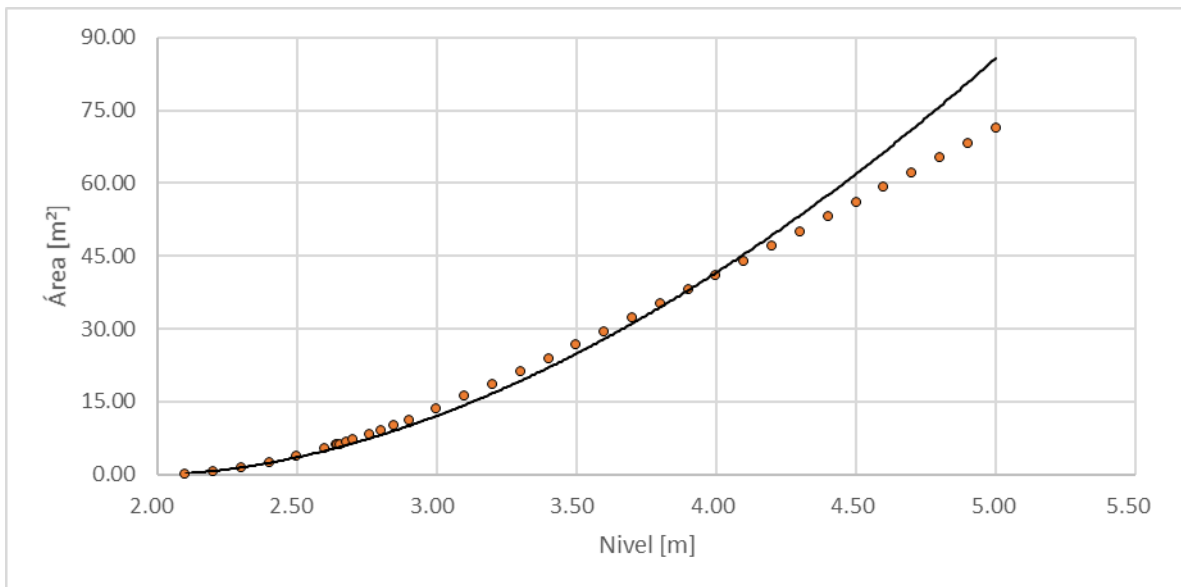


Figura 157. Nivel vs área, río Pozo – Vía la Merced Pácora

4.31 Río Rioclaro – La Batea

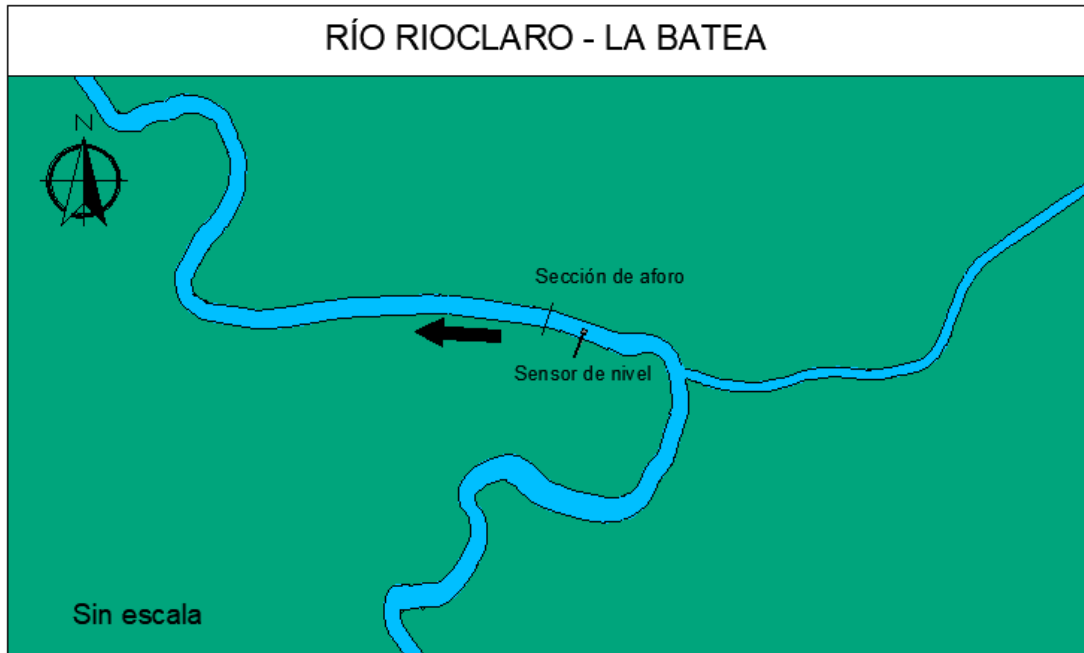


Figura 158. Vista en planta, Río Rioclaro - La Batea

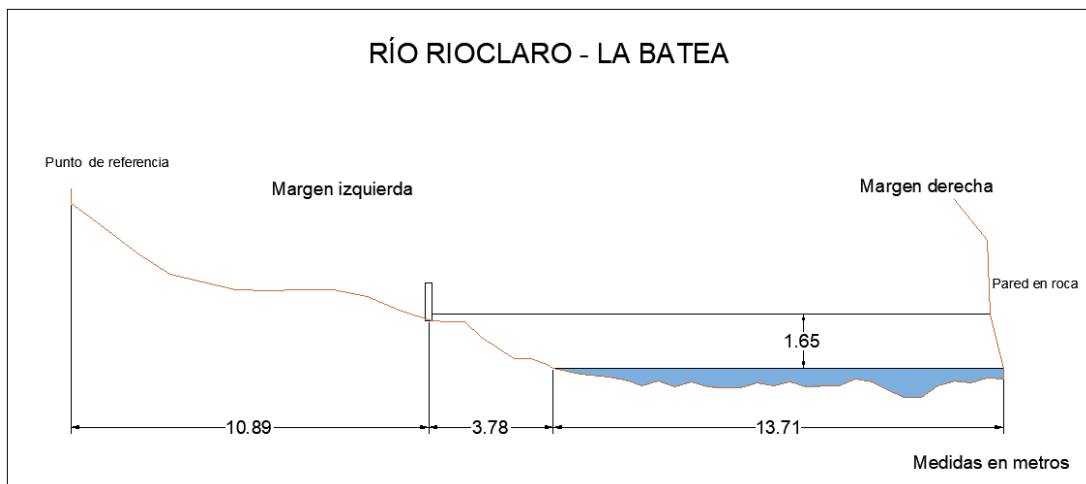


Figura 159. Sección transversal, río Rioclaro - La Batea, con medidas hechas en un cierto momento



Tabla 32. Resumen de resultados, Río Rioclaro - La Batea

ESTACIÓN		RÍO RIOCLARO - LA BATEA								
LATITUD	N 4° 58' 20.28"	LONGITUD	W 75° 32' 2.23"	ELEVACIÓN (msnm)	1641					
GENERAL SECCIÓN DE AFORO				DATOS DEL SENSOR			RESULTADOS			
Fecha aforo (dd-mm-aa)	Profundidad máxima (m)	Ancho de la sección mojada (m)	Ancho dovela (m)	Perímetro Mojado (m)	Altura desde el sensor a la superficie del agua (m)	Nivel medido por el sensor (m)	Velocidad media del flujo (m/s)	Área mojada (m ²)	Caudal medido (m ³ /s)	Error cuadrático medio para caudal
27/06/2018	0.736	13.440	1.000	14.098	5.965	3.035	0.987	5.518	5.447	1.039
26/07/2018	0.759	13.350	1.000	13.940	5.976	3.024	0.789	5.287	4.173	0.085
1/08/2018	0.886	13.710	1.000	14.550	5.933	3.067	0.640	6.688	4.277	0.580
3/08/2018	0.819	13.540	1.000	14.180	5.962	3.038	0.670	6.140	4.116	0.333
18/05/2018	0.600	13.600	0.900	14.140	5.750	3.250*	0.817	4.847	3.961	3.901
20/06/2019	0.558	13.250	1.000	14.920	6.082	2.918	0.811	4.536	3.677	0.746
26/07/2019	0.498	13.000	1.000	13.430	6.108	2.892	0.776	4.415	3.426	0.771

*Nivel de sensor inconsistente respecto al caudal medido en campo.

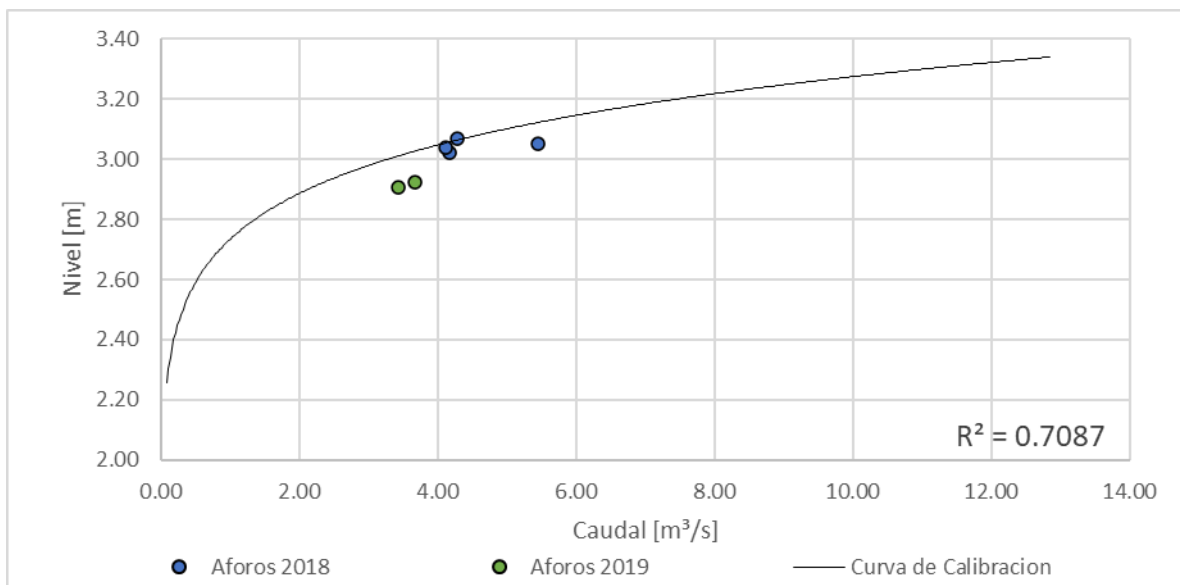


Figura 160. Curva nivel vs caudal, Río Rioclaro - La Batea

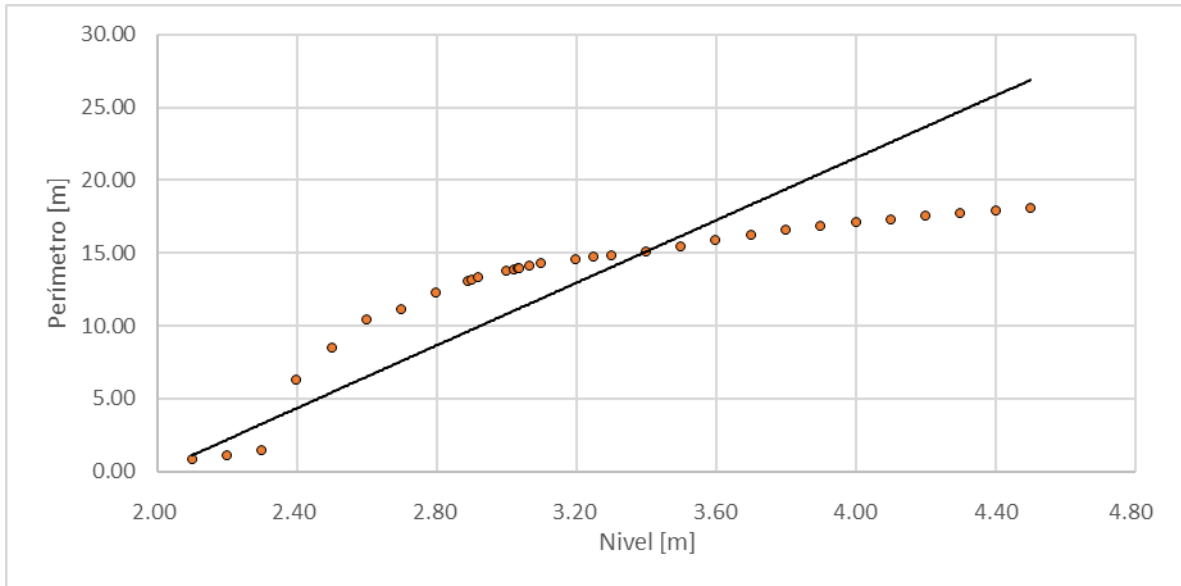


Figura 161. Nivel vs Perímetro, Río Rioclaro - La Batea

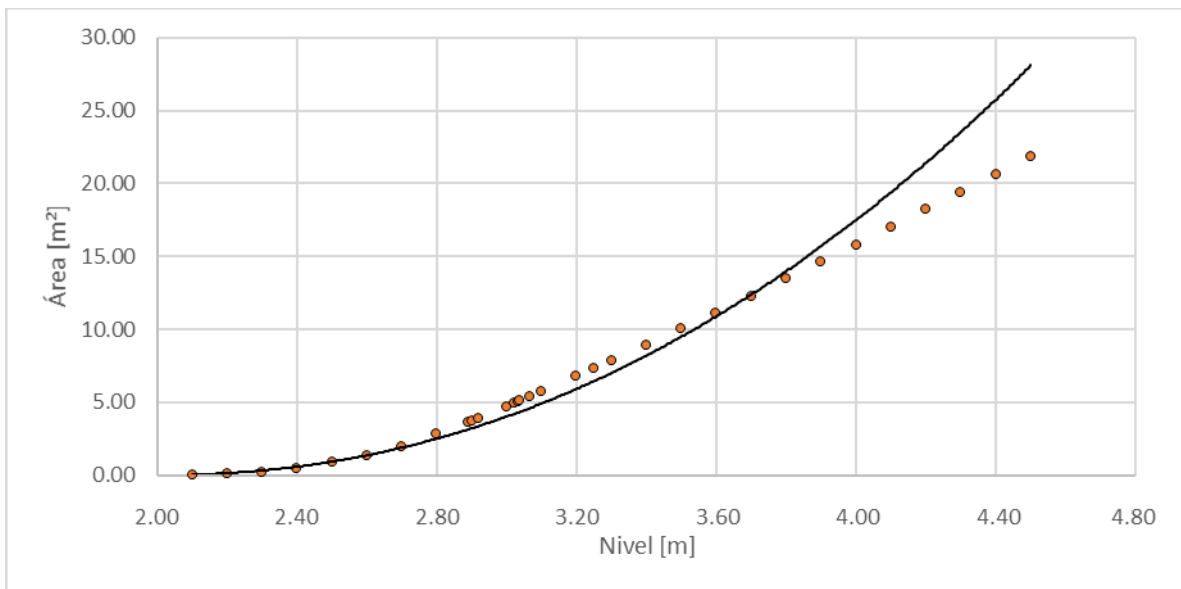


Figura 162. Nivel vs área, Río Rioclaro - La Batea

4.32 Río Rioclaro – La Guayana

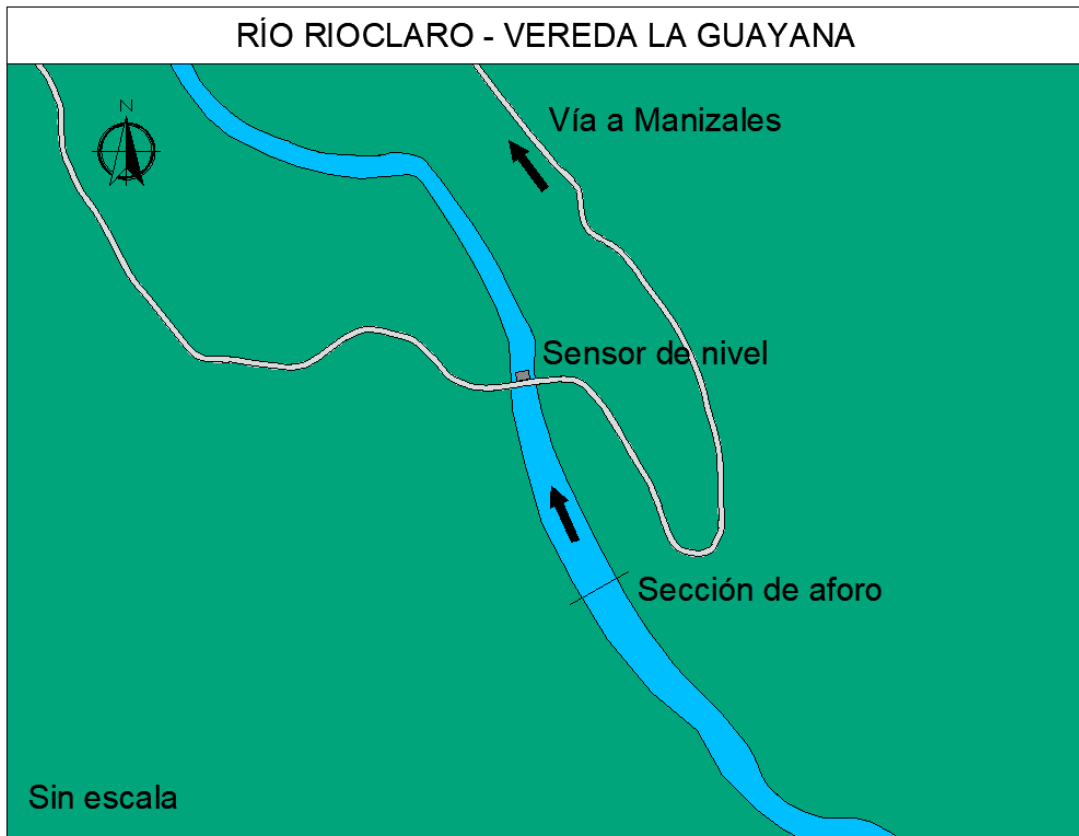


Figura 163. Vista en planta, río Rioclaro - Vereda la Guayana

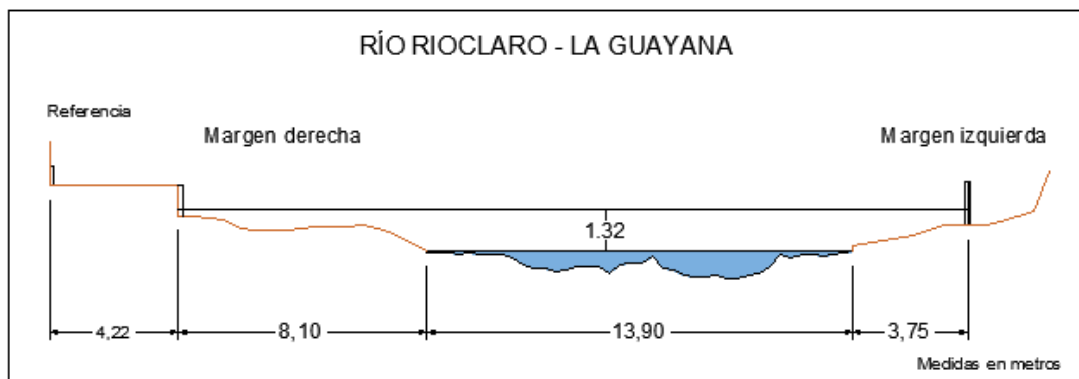


Figura 164. Sección transversal, río Rioclaro - La Guayana, con medidas hechas en un cierto momento



Tabla 33. Resumen de resultados, río Rioclaro - La Guayana

ESTACIÓN		RÍO RIOCLARO - VEREDA LA GUAYANA								
LATITUD	N 4° 56' 48.69"	LONGITUD	W 75° 29' 46.98"	ELEVACIÓN (msnm)	1860					
Fecha aforos (dd-mm-aa)	SECCIÓN DE AFORO				SENSOR		RESULTADOS			
	Profundidad máxima (m)	Ancho de la sección mojada (m)	Ancho dovela (m)	Perímetro Mojado (m)	Altura desde el sensor a la superficie del agua (m)	Nivel medido por el sensor (m)	Velocidad media del flujo (m/s)	Área mojada (m ²)	Caudal medido (m ³ /s)	Error cuadrático medio para caudal
8/11/2017	0.885	14.000	1.000	14.480	9.500	3.110	0.783	6.174	4.835	0.046
14/12/2017	0.895	13.800	1.000	14.293	9.260	3.245	0.749	6.692	5.010	1.286
12/01/2018	0.860	13.800	1.000	14.274	9.600	3.195	0.717	6.355	4.557	1.142
28/02/2018	0.897	13.900	0.700	14.900	9.440	3.233	0.807	6.143	4.957	1.199

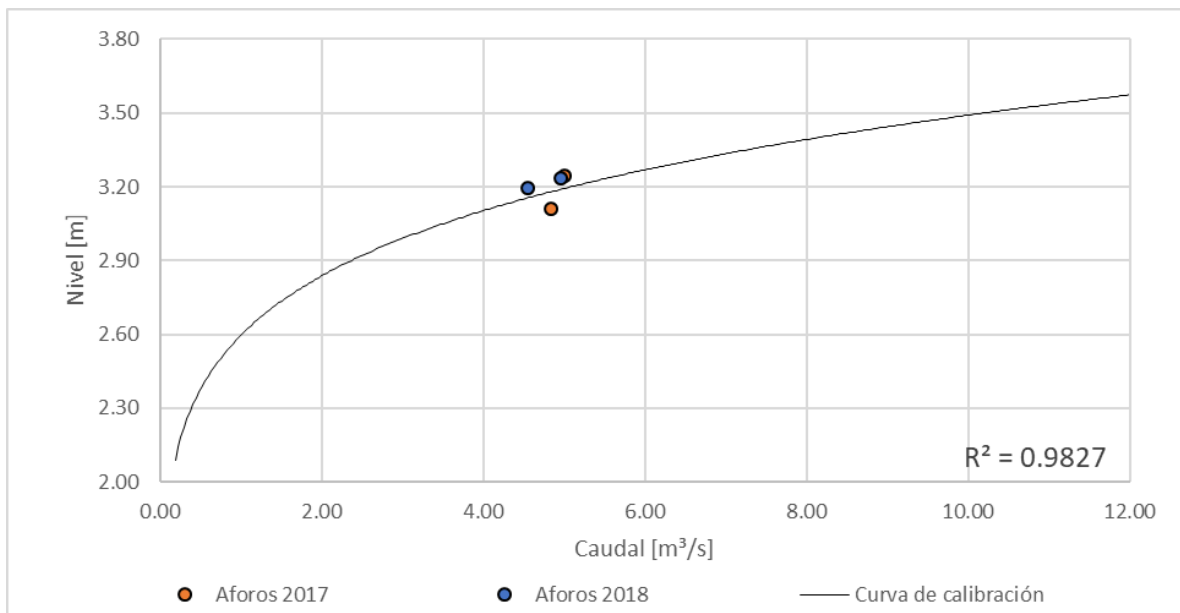


Figura 165. Curva nivel vs caudal, río Rioclaro - La Guayana

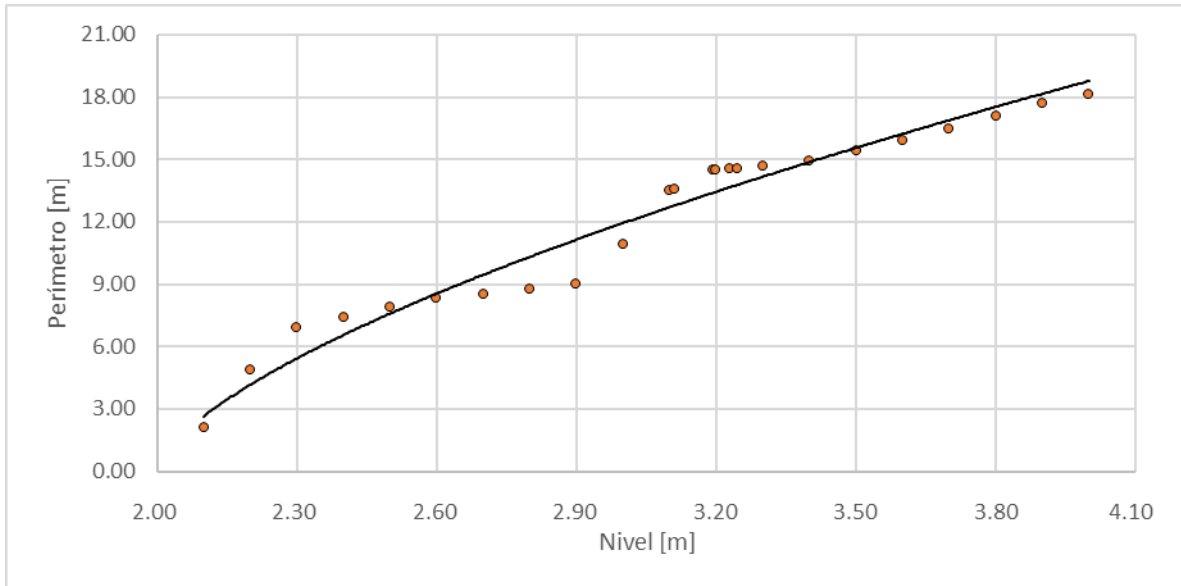


Figura 166. Nivel vs perímetro, río Rioclaro - La Guayana

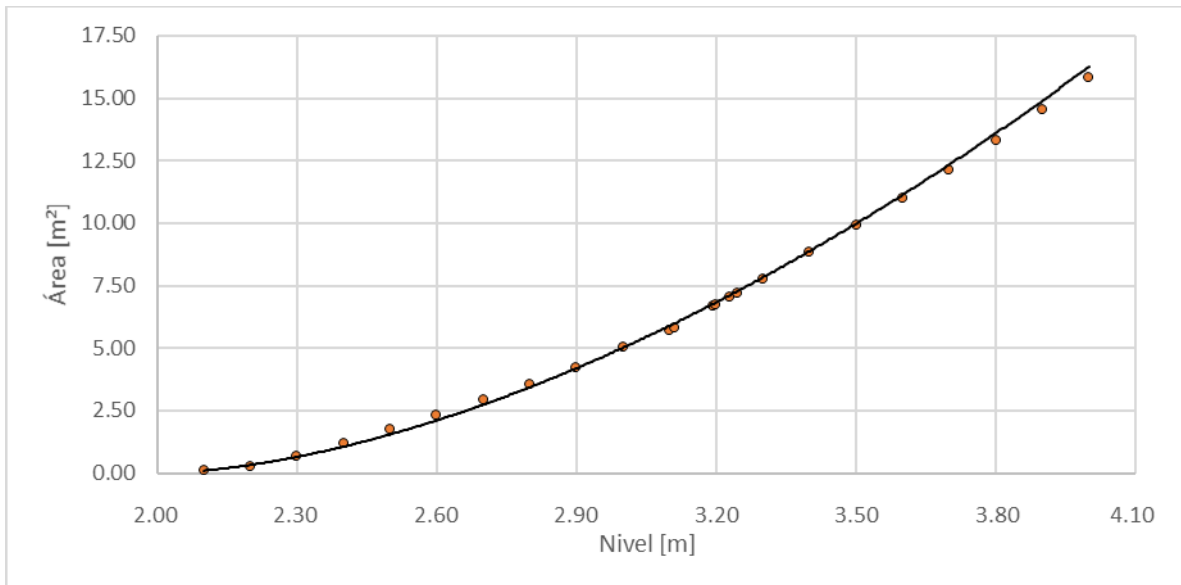


Figura 167. Nivel vs área, río Rioclaro - La Guayana

4.33 Río Risaralda – Camping La Palmera

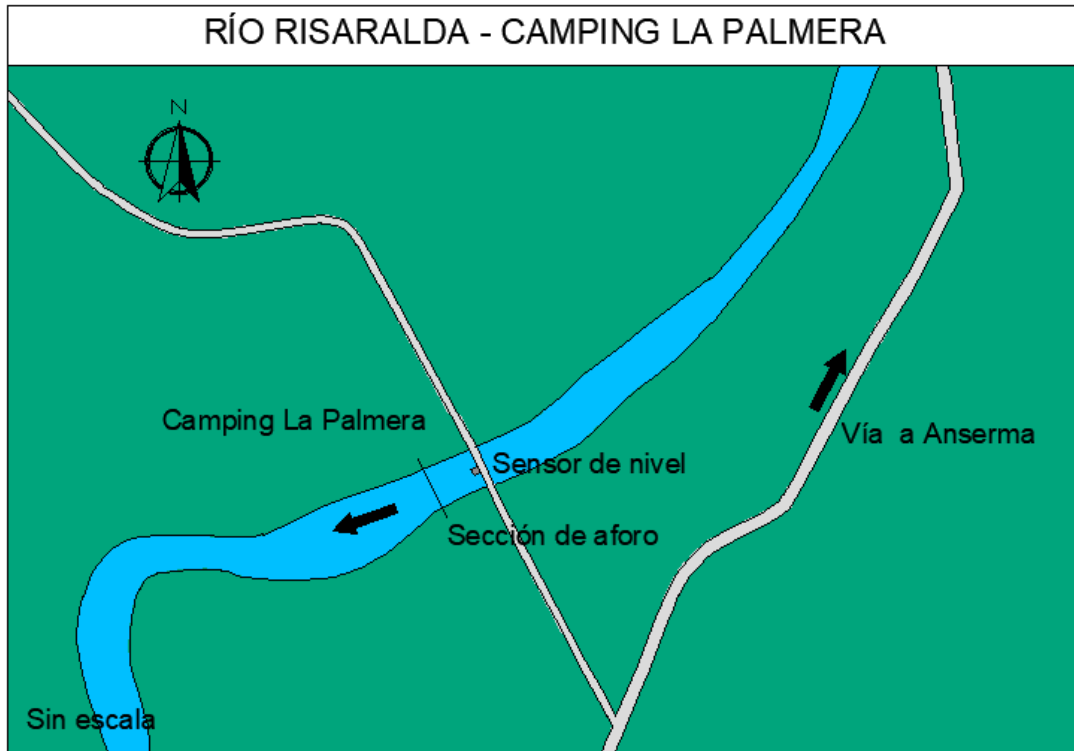


Figura 168. Vista en planta, río Risaralda - Camping la Palmera

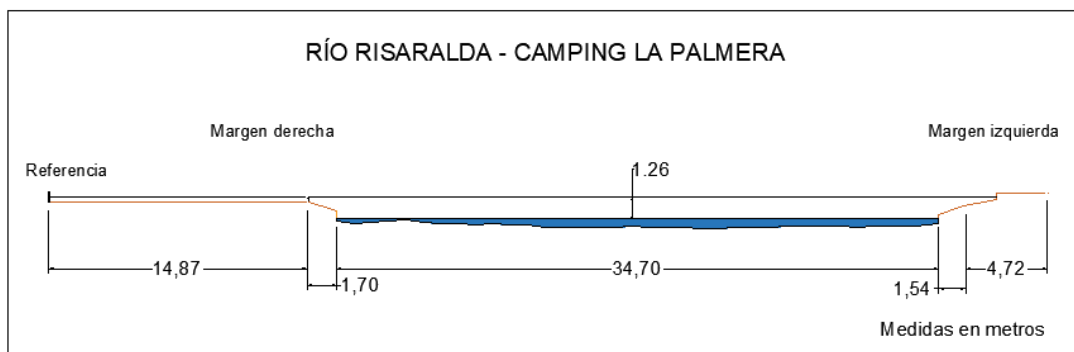


Figura 169. Sección transversal, río Risaralda - Camping La Palmera, con medidas hechas en un cierto momento



Tabla 34. Resumen de resultados, río Risaralda - Camping La Palmera

ESTACIÓN		RÍO RISARALDA - CAMPING LA PALMERA								
LATITUD	N 5° 6' 43.22"	LONGITUD	W 75° 39' 24.6"	ELEVACIÓN (msnm)	1010					
Fecha aforo (dd-mm-aa)	GENERAL SECCIÓN DE AFORO				DATOS DEL SENSOR			RESULTADOS		
	Profundidad máxima (m)	Ancho de la sección mojada (m)	Ancho dovela (m)	Perímetro Mojado (m)	Altura desde el sensor a la superficie del agua (m)	Nivel medido por el sensor (m)	Velocidad media del flujo (m/s)	Área mojada (m ²)	Caudal medido (m ³ /s)	Error cuadrático medio para caudal
21/12/2017	0.680	34.500	2.000	35.431	3.240	3.771	1.165	18.963	22.094	5.871
12/01/2018	0.750	34.500	2.000	35.502	3.140	3.855	1.267	20.710	26.237	7.916
15/02/2018	0.510	35.000	1.500	35.580	3.350	3.595	0.764	12.614	9.640	2.661
2/03/2018	0.554	34.700	2.000	35.124	3.320	3.642	0.709	13.877	9.838	3.431
21/06/2019	1.050	35.250	2.200	36.510	3.020	3.744	0.598	26.150	15.625	0.067
24/07/2019	0.785	34.500	2.200	35.580	3.180	3.688	0.626	16.968	10.619	3.663
25/08/2019	0.814	32.000	2.000	32.850	3.300	3.530	0.484	15.146	7.324	3.699

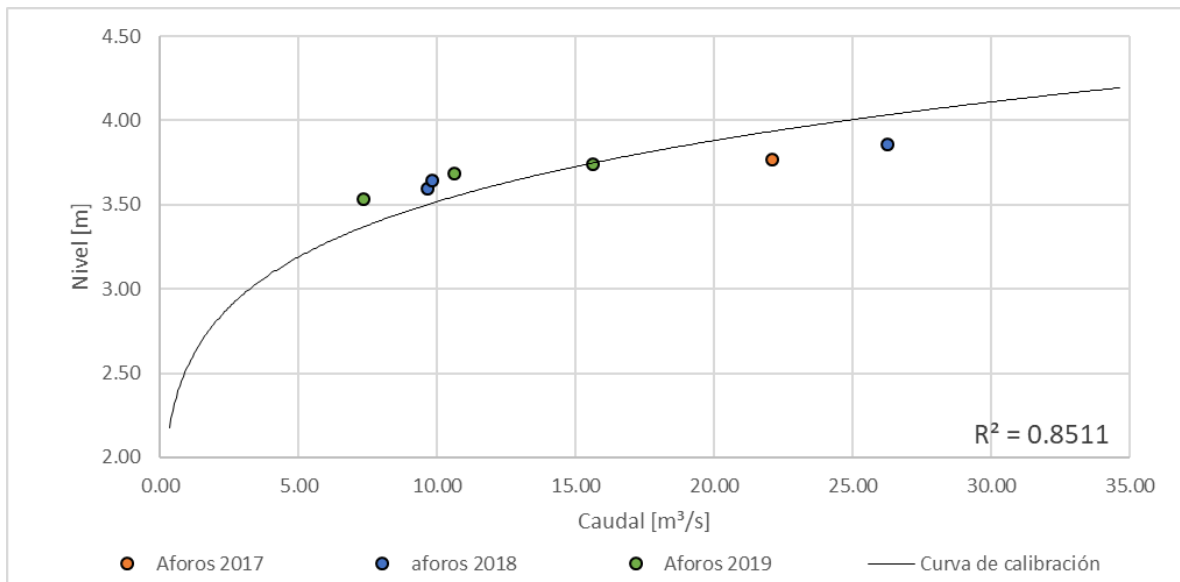


Figura 170. Curva nivel vs caudal, río Risaralda - Camping La Palmera

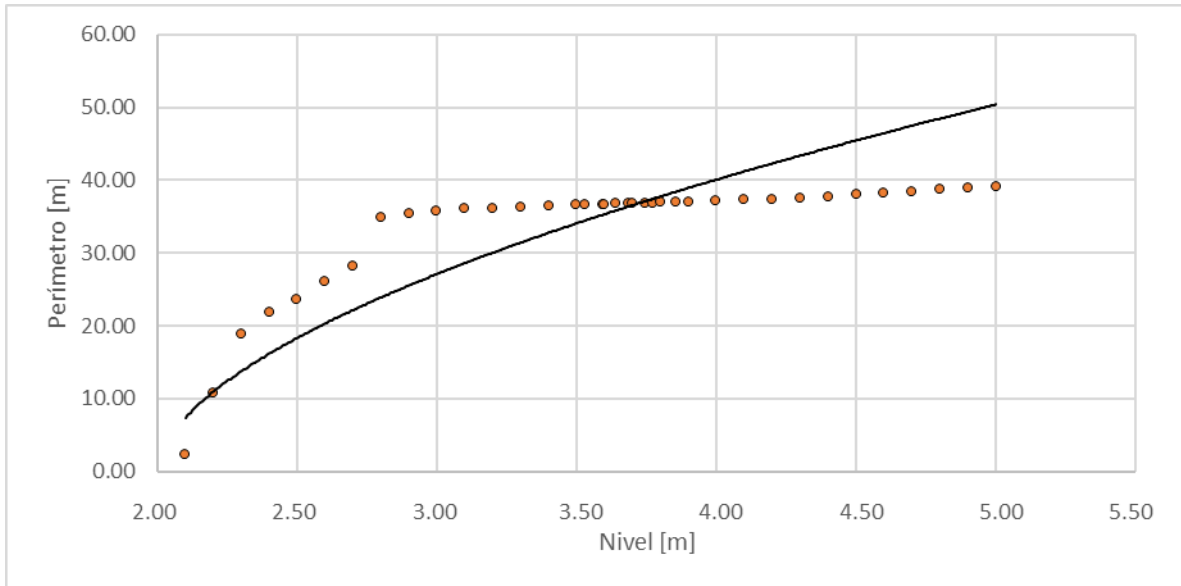


Figura 171. Nivel vs perímetro, río Risaralda - Camping La Palmera

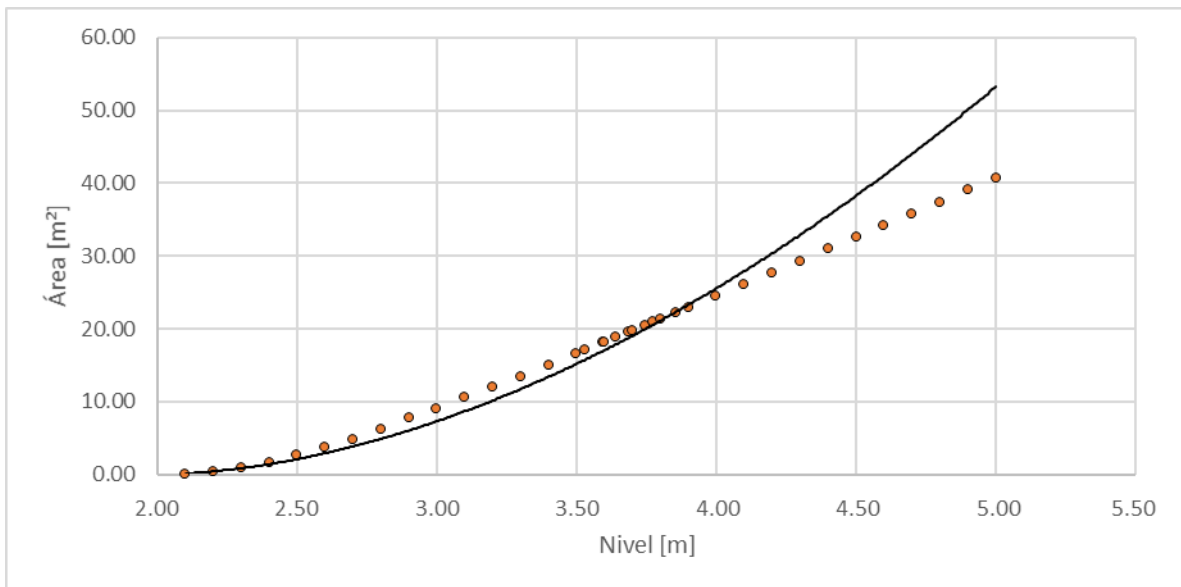


Figura 172. Nivel vs área, río Risaralda - Camping La Palmera

4.34 Río Santo Domingo – Manzanares



Figura 173. Vista en planta, río Santo Domingo - Manzanares

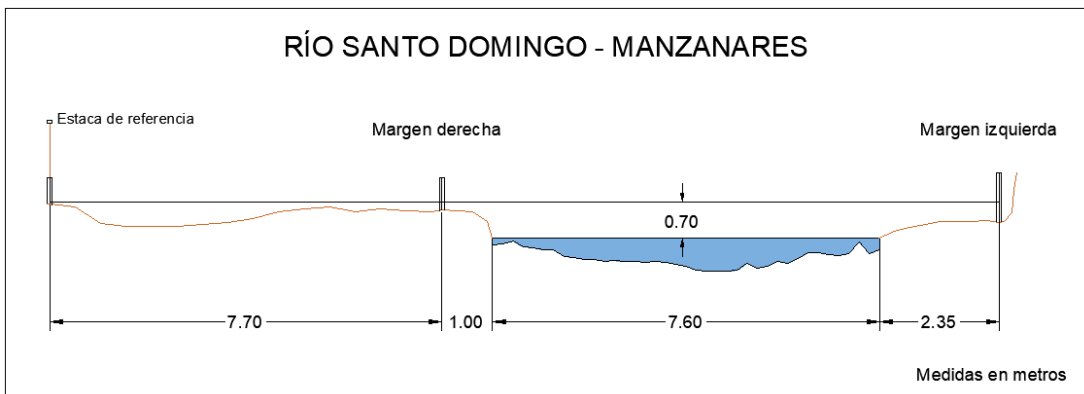


Figura 174. Sección transversal, río Santo Domingo – Manzanares, con medidas hechas en un cierto momento



Tabla 35. Resumen de resultados, río Santo Domingo – Manzanares

ESTACIÓN										
RÍO SANTODOMINGO - MANZANARES										
LATITUD	N 5° 12' 25.87"			LONGITUD	W 75° 8' 16.33"			ELEVACIÓN (msnm)		
Fecha aforo (dd-mm-aa)	GENERAL SECCIÓN DE AFORO				DATOS DEL SENSOR			RESULTADOS		
	Profundidad máxima (m)	Ancho de la sección mojada (m)	Ancho dovela (m)	Perímetro Mojado (m)	Altura desde el sensor a la superficie del agua (m)	Nivel medido por el sensor (m)	Velocidad media del flujo (m/s)	Área mojada (m²)	Caudal medido (m³/s)	Error cuadrático medio para caudal
21/12/2017	0.865	7.600	0.600	8.840	8.400	2.141	0.523	3.624	1.896	0.802
12/01/2018	0.720	8.400	0.800	9.040	8.200	2.341	0.910	3.758	3.420	0.034
15/02/2018	0.670	7.400	0.500	7.990	8.350	2.191	0.808	2.904	2.345	0.135
2/03/2018	0.660	7.600	0.400	8.450	8.270	2.271	0.825	2.983	2.460	0.013
21/06/2019	0.599	17.070	1.000	17.790	7.950	2.511*	0.528	5.988	3.164	17.022
24/07/2019	0.540	17.000	1.000	17.480	8.100	2.158	0.551	4.755	2.618	1.195
25/08/2019	0.492	16.400	1.100	16.910	8.450	2.091	0.391	3.087	1.206	0.809

*Nivel de sensor inconsistente respecto al caudal medido en campo.

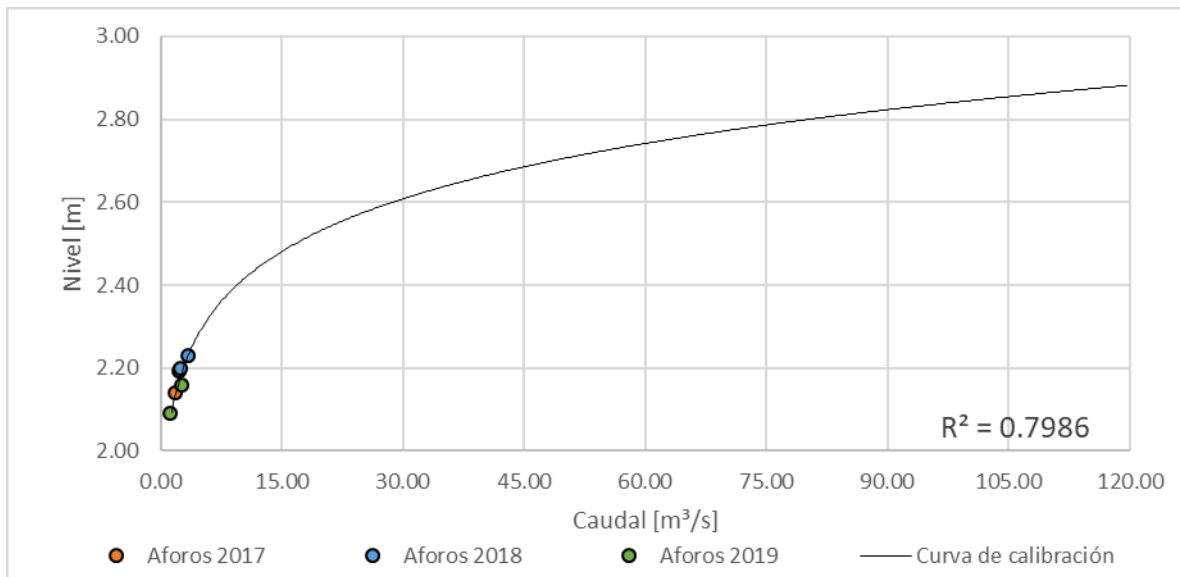


Figura 175. Curva nivel vs caudal, río Santo Domingo - Manzanares

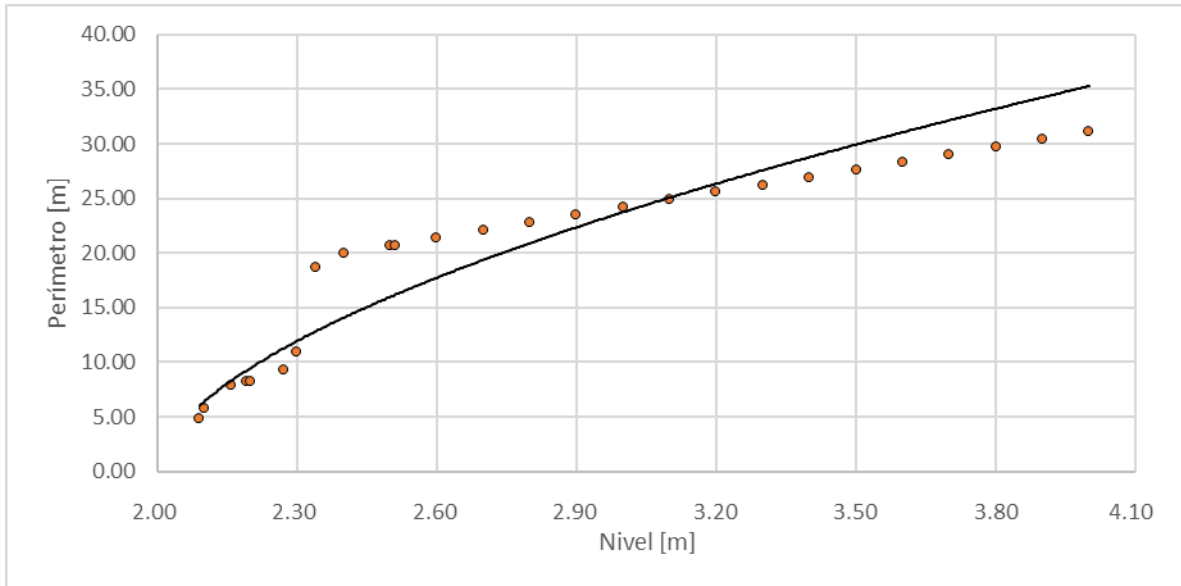


Figura 176. Nivel vs perímetro, río Santo Domingo – Manzanares

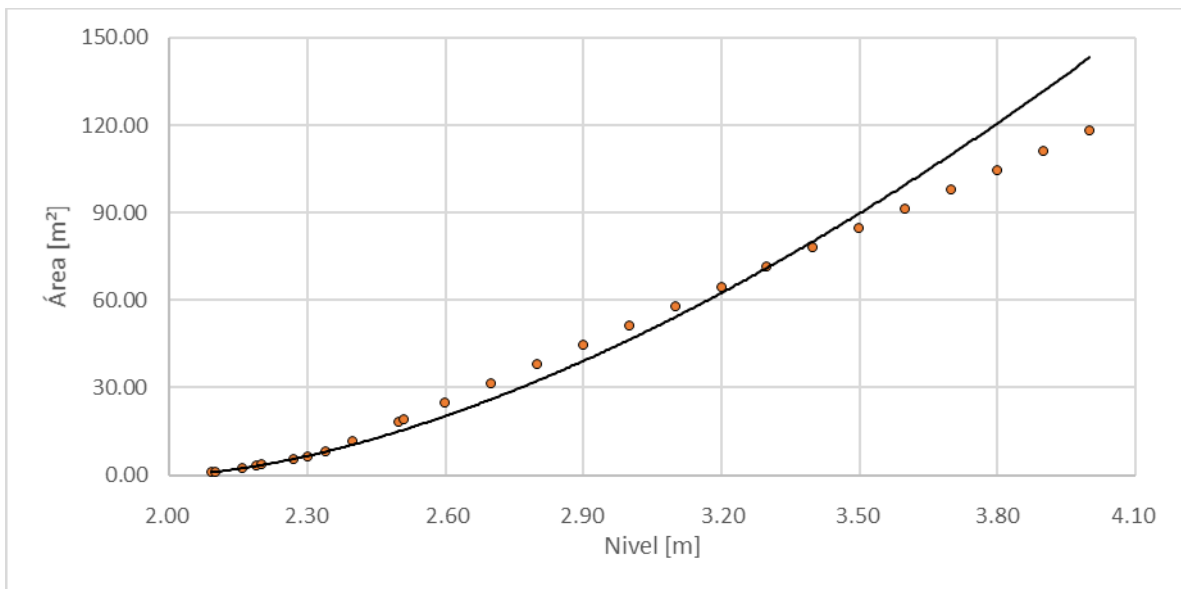


Figura 177. Nivel vs área, río Santo Domingo - Manzanares

4.35 Río Supía – Los Piononos



Figura 178. Vista en planta, río Supía - Los Piononos

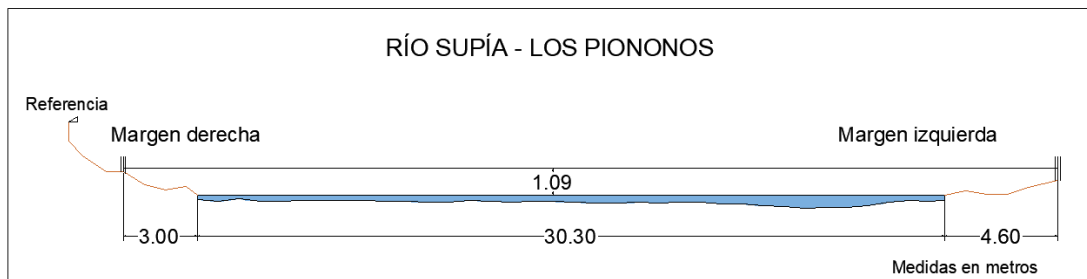


Figura 179. Sección transversal, río Supía - Los Piononos, con medidas hechas en un cierto momento



Tabla 36. Resumen de resultados, río Supía - Los Piononos

ESTACIÓN		RÍO SUPÍA - LOS PIONONOS								
LATITUD	N 5° 22' 35.14"	LONGITUD	W 75° 36' 41.87"	ELEVACIÓN (msnm)	731					
GENERAL SECCIÓN DE AFORO				DATOS DEL SENSOR			RESULTADOS			
Fecha aforo (dd-mm-aa)	Profundidad máxima (m)	Ancho de la sección mojada (m)	Ancho dovela (m)	Perímetro Mojado (m)	Altura desde el sensor a la superficie del agua (m)	Nivel medido por el sensor (m)	Velocidad media del flujo (m/s)	Área mojada (m ²)	Caudal medido (m ³ /s)	Error cuadrático medio para caudal
4/01/2018	0.910	33.600	3.000	34.140	7.710	3.664*	0.859	21.001	18.048	10.964
3/02/2018	0.620	32.700	2.000	33.590	7.890	3.606	0.469	13.312	6.248	0.184
13/03/2018	0.505	30.200	1.000	30.710	7.910	3.213	0.349	8.545	2.984	0.039
14/03/2018	0.520	30.300	1.700	30.720	7.810	3.313	0.356	8.418	2.994	0.747
13/06/2019	1.110	32.000	2.000	33.300	7.210	3.913	0.341	24.166	8.239	2.070
5/07/2019	0.870	30.750	2.000	31.420	7.780	3.453	0.312	18.855	5.891	0.973
1/08/2019	0.700	27.000	2.200	27.520	7.850	3.273	0.309	13.898	4.295	0.853

* Nivel de sensor inconsistente respecto al caudal medido en campo

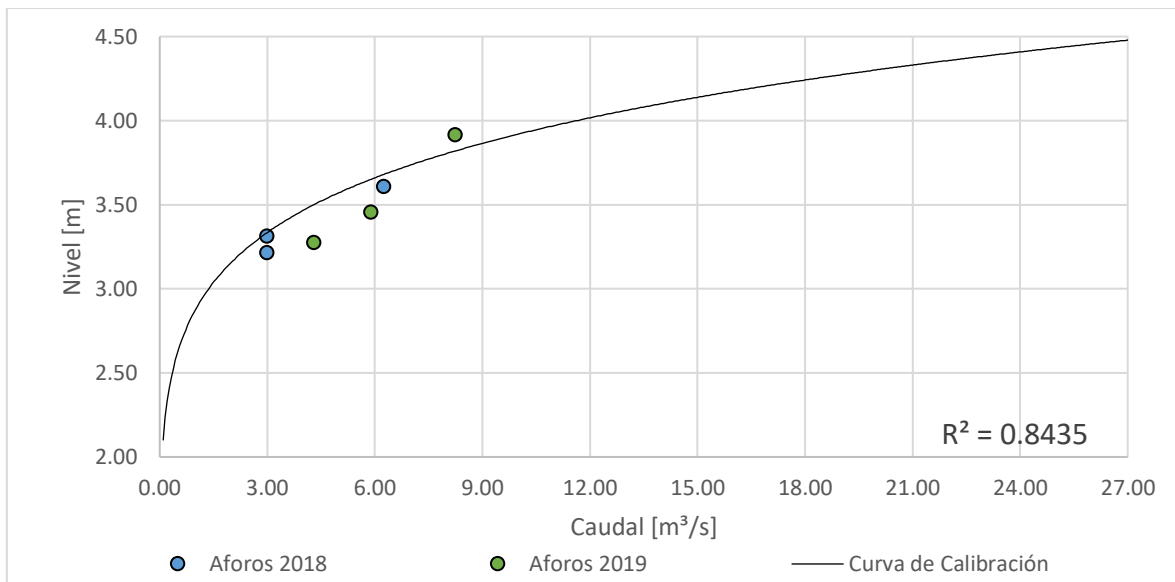


Figura 180. Curva nivel vs caudal, río Supía - Los Piononos

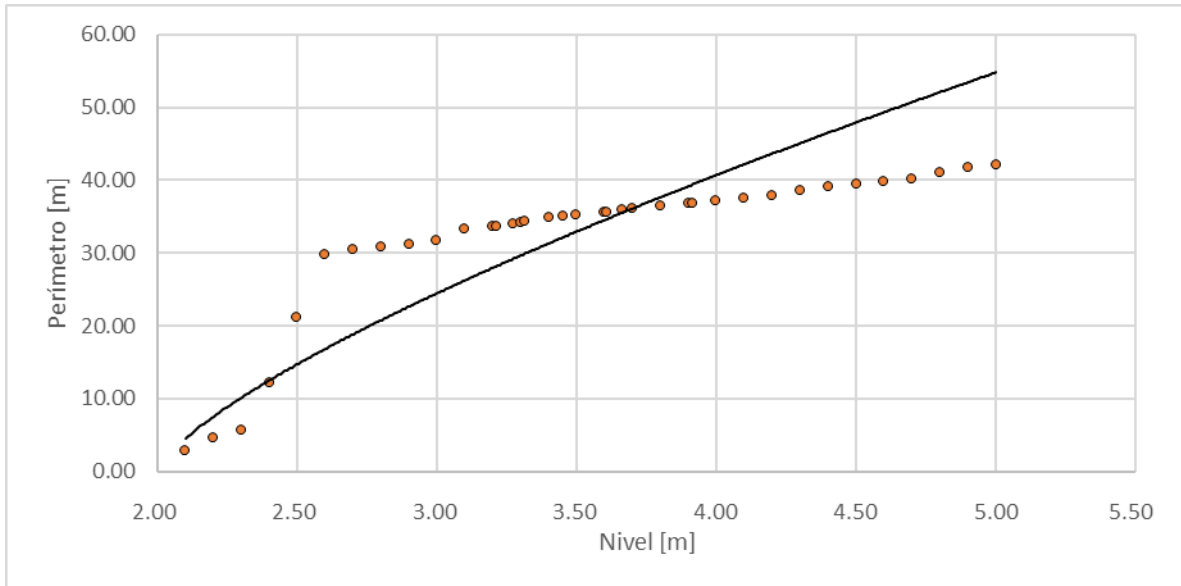


Figura 181. Nivel vs perímetro, río Supía - Los Piononos

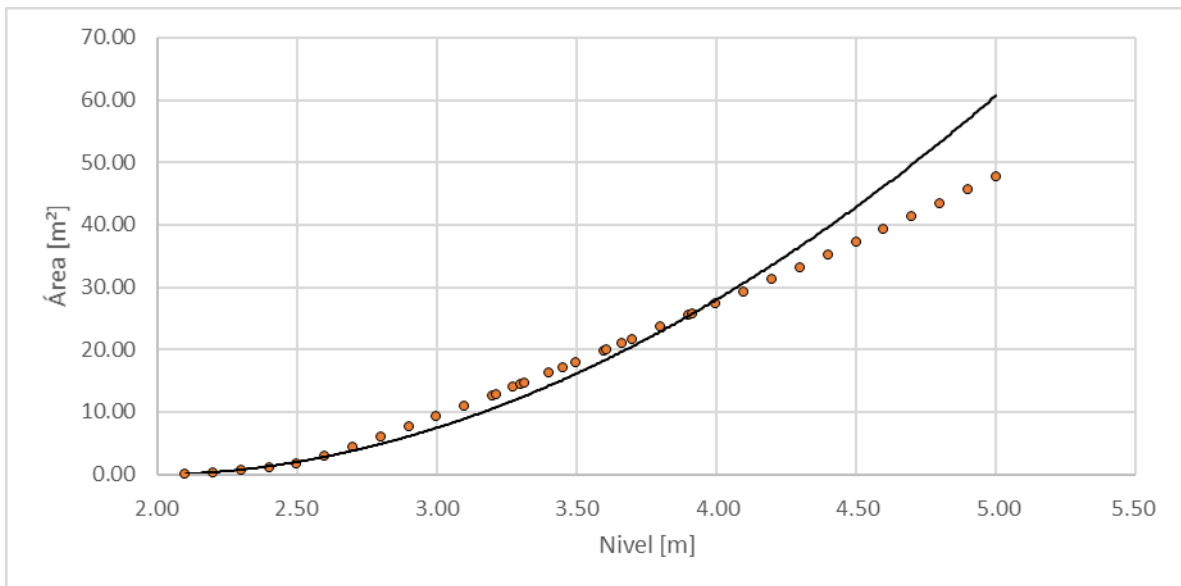


Figura 182. Nivel vs área, río Supía - Los Piononos

4.36 Río Supía – Supía



Figura 183. Vista en planta, río Supía - Supía

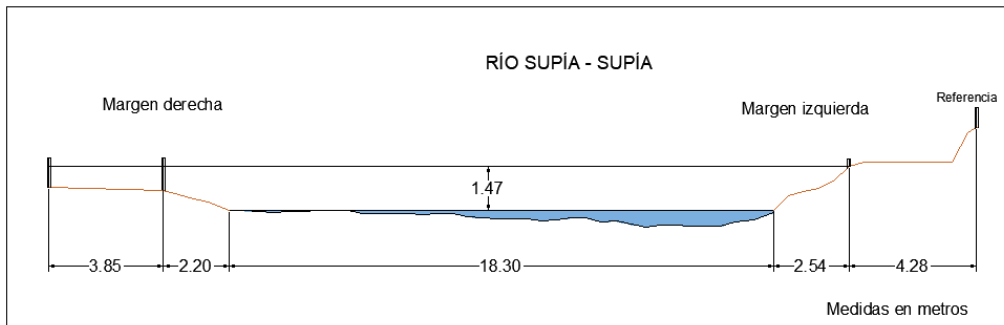


Figura 184. Sección transversal, río Supía – Supía, con medidas hechas en un cierto momento



Tabla 37. Resumen de resultados, río Supía – Supía

ESTACIÓN		RÍO SUPÍA - SUPÍA								
LATITUD	N 5° 27' 7.55"	LONGITUD	W 75° 39' 14.07"	ELEVACIÓN (msnm)	1186					
GENERAL SECCIÓN DE AFORO				DATOS DEL SENSOR			RESULTADOS			
Fecha aforo (dd-mm-aa)	Profundidad máxima (m)	Ancho de la sección mojada (m)	Ancho dovela (m)	Perímetro Mojado (m)	Altura desde el sensor a la superficie del agua (m)	Nivel medido por el sensor (m)	Velocidad media del flujo (m/s)	Área mojada (m ²)	Caudal medido (m ³ /s)	Error cuadrático medio para caudal
13/11/2017	0.798	19.250	1.000	19.910	4.550	2.404	0.813	8.794	7.150	1.218
17/01/2018	1.045	20.500	1.000	21.230	4.310	2.761*	0.925	12.188	11.273	15.568
3/02/2018	0.686	18.570	1.000	19.030	4.660	2.391	0.703	6.215	4.368	1.110
13/03/2018	0.540	18.300	1.000	18.530	4.800	2.213	0.483	4.282	2.067	0.828

* Nivel de sensor inconsistente respecto al caudal medido en campo

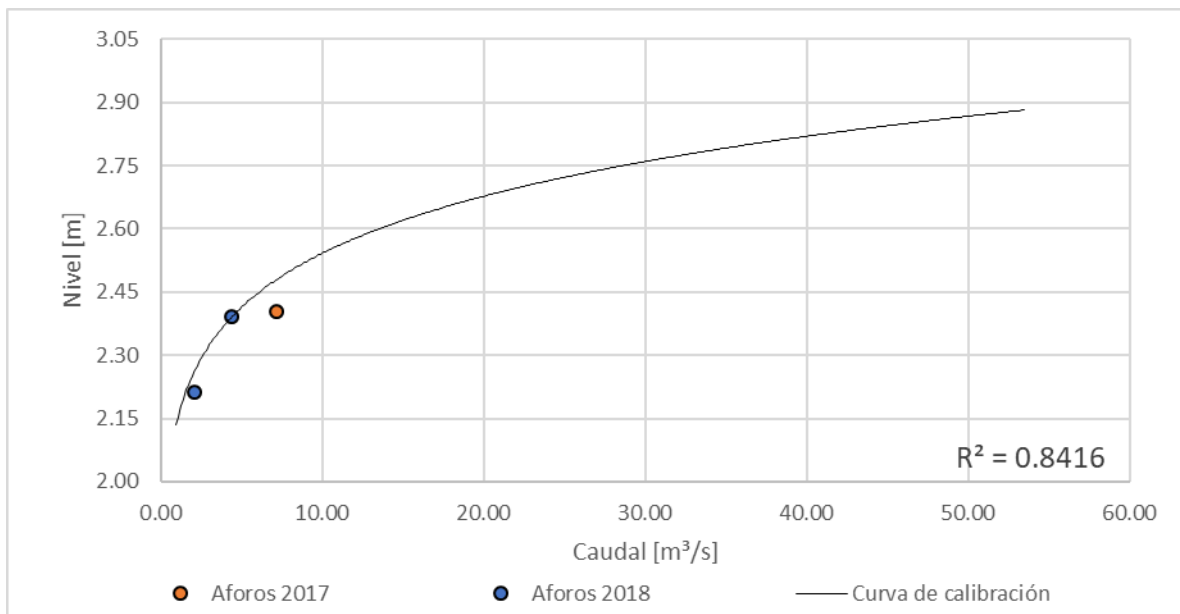


Figura 185. Curva nivel vs caudal, río Supía – Supía

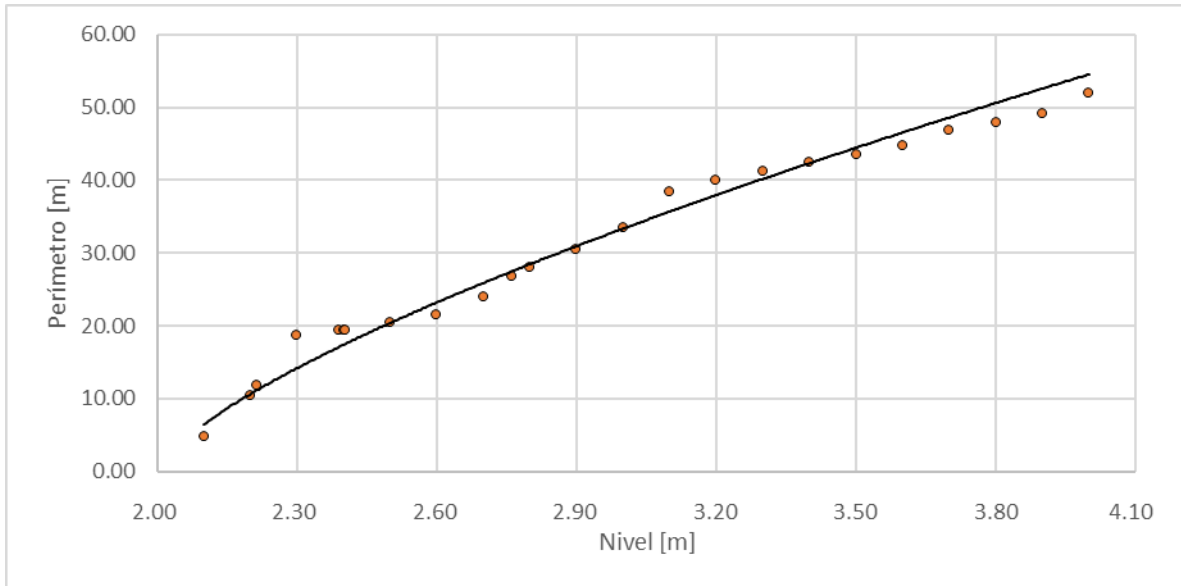


Figura 186. Nivel vs perímetro, río Supía – Supía

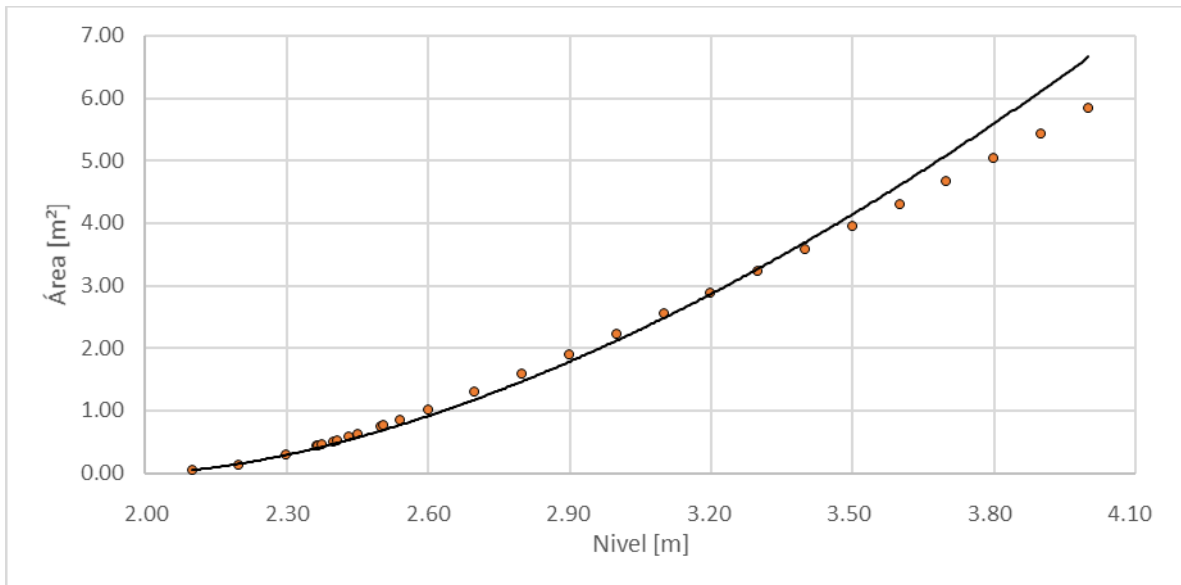


Figura 187. Nivel vs área, río Supía – Supía

4.37 Río Tapias



Figura 188. Vista en planta, río Tapias

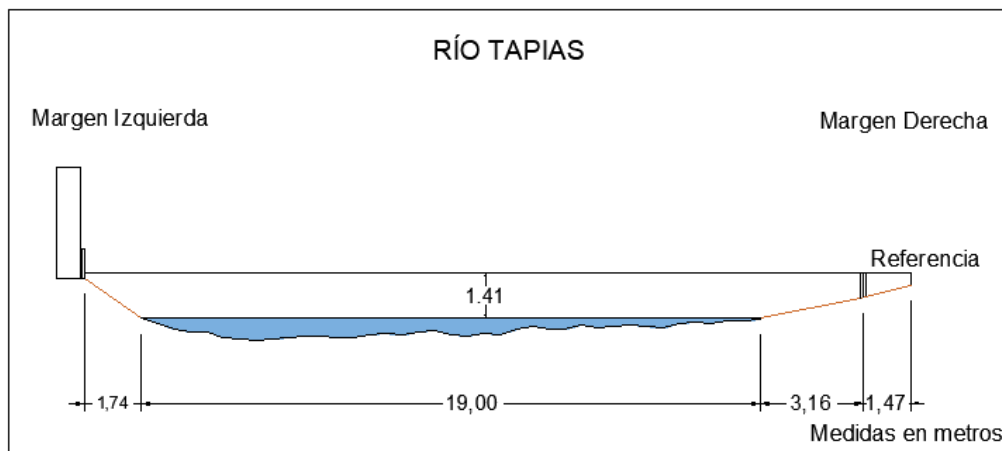


Figura 189. Sección transversal, río Tapias, con medidas hechas en un cierto momento



Tabla 38. Resumen de resultados, Río Tapias

ESTACIÓN		RÍO TAPIAS								
LATITUD	N 5° 13' 21.63"	LONGITUD	W 75° 38' 15.87"	ELEVACIÓN (msnm)	842					
GENERAL SECCIÓN DE AFORO				DATOS DEL SENSOR			RESULTADOS			
Fecha aforo (dd-mm-aa)	Profundidad máxima (m)	Ancho de la sección mojada (m)	Ancho dovela (m)	Perímetro Mojado (m)	Altura desde el sensor a la superficie del agua (m)	Nivel medido por el sensor (m)	Velocidad media del flujo (m/s)	Área mojada (m ²)	Caudal medido (m ³ /s)	Error cuadrático medio para caudal
13/11/2017	0.585	18.000	1.800	18.200	2.950	2.424	0.705	6.158	4.341	0.216
2/02/2018	0.560	19.000	1.000	19.190	2.870	2.476	0.837	5.529	4.628	1.694
23/02/2018	0.740	20.250	1.000	20.580	2.780	2.638	0.796	8.106	6.451	6.868
1/03/2018	0.670	19.000	1.000	19.310	2.900	2.503	0.624	7.188	4.488	2.845
25/06/2019	0.500	14.460	1.000	14.250	3.050	2.371	0.706	5.518	3.893	0.874
2/08/2019	0.480	14.000	1.000	14.400	3.200	2.200	0.536	3.255	1.745	1.294

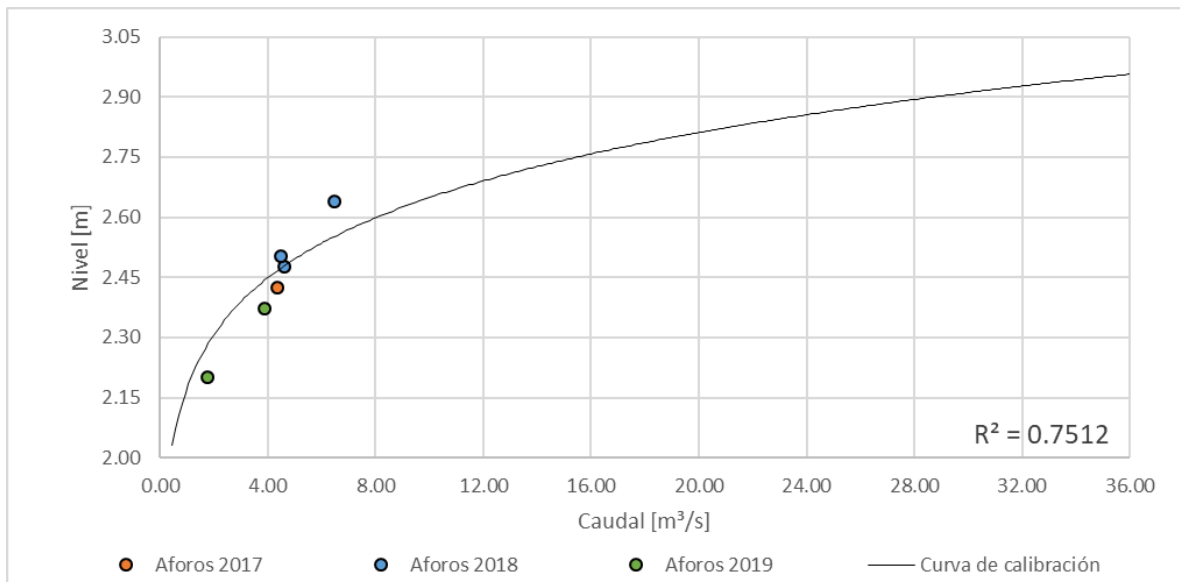


Figura 190. Curva nivel vs caudal, río Tapias

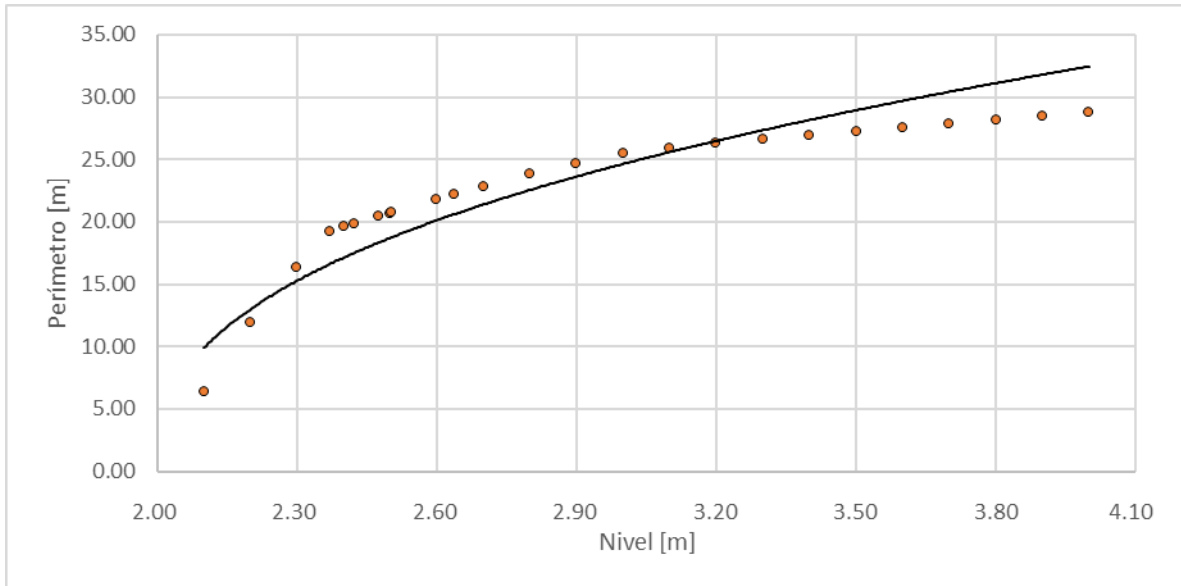


Figura 191. Nivel vs perímetro, río Tapias

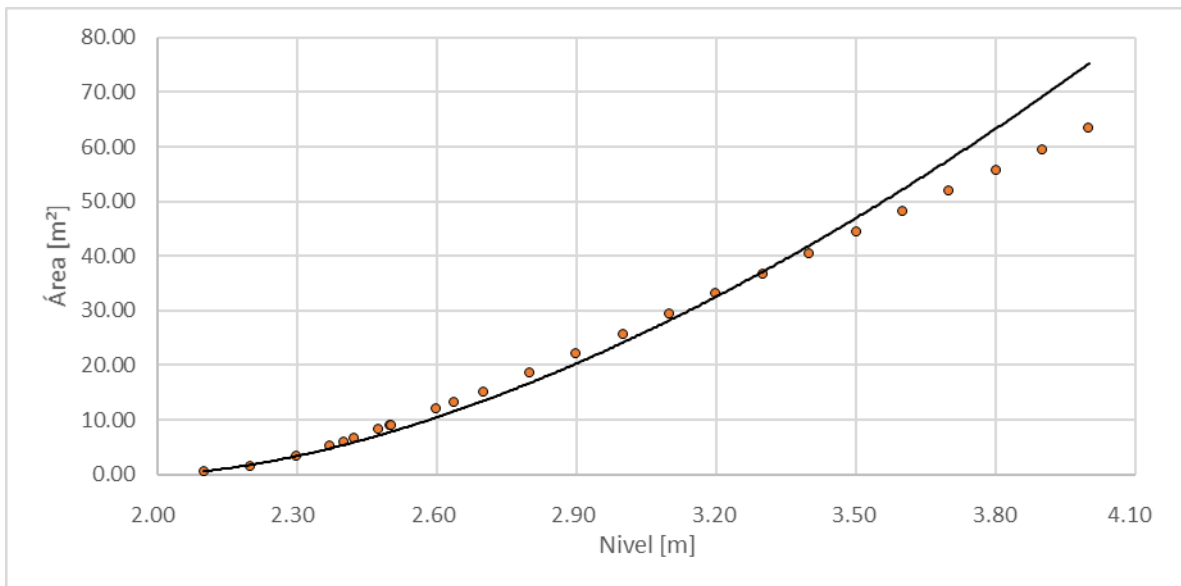


Figura 192. Nivel vs área, río Tapias

5. RESUMEN ECUACIONES DE CALIBRACIÓN

Tabla 39. Resumen de taras y ecuaciones de caudal, perímetro y área respecto del nivel real del sensor (z [m])

Estación	Tara actual (cm)	Caudal (m ³ /s)	R ² Caudal	Perímetro (m)	Área (m ²)
1 Quebrada Cristales - Valles de la Alhambra	740	0.287z ^{2.165}	0.814	3.3109z ^{0.4414}	0.4439z ^{1.4756}
2 Quebrada el Bohío - Vereda el Águila	1613	0.0914z ^{2.2032}	0.453	2.5244z ^{0.6059}	0.3883z ^{1.5643}
3 Quebrada el Guamo - CDI San Sebastián	1523	6.1879z ^{2.2731}	0.655	7.2968z ^{0.482}	6.5697z ^{1.5567}
4 Quebrada el Guamo - Lavadero los puentes	799	2.9216z ^{2.627}	0.451	11.001z ^{0.3518}	2.867z ^{1.7169}
5 Quebrada el Perro - Expoferias	1078	5.1749z ^{2.8174}	0.385	8.3733z ^{0.9645}	1.8391z ^{2.0973}
6 Quebrada el Rosario - San Marcos de León	1130	1.2178z ^{2.4179}	0.744	7.1594z ^{0.4576}	3.5097z ^{1.6338}
7 Quebrada el Triunfo - Mirador de Villapilar	155	20.76z ^{2.5024}	0.309	25.698z ^{0.9786}	44.962z ^{1.8929}
8 Quebrada Guayabal - Recinto del pensamiento	778	0.9638z ^{2.3677}	0.843	4.9555z ^{0.5825}	2.1661z ^{1.6712}
9 Quebrada la Francia - Los puentes	1454	13.923z ^{2.2945}	0.452	14.656z ^{0.7299}	20.976z ^{1.6686}
10 Quebrada las Pavas - Autopistas de café	796	1.2064z ^{1.7535}	0.457	5.5001z ^{0.1825}	2.6003z ^{1.1251}
11 Quebrada Manizales - SKINCO	868	21.294z ^{2.3023}	0.704	12.082z ^{0.5456}	16.235z ^{1.5731}
12 Quebrada Manzanares - IBC	910	29.691z ^{2.4345}	0.616	15.75z ^{0.6604}	15.972z ^{1.7248}
13 Quebrada Marmato - CHEC	848	1.7916z ^{2.6036}	0.538	12.385z ^{0.7848}	8.0583z ^{1.8761}
14 Quebrada Olivares - Aguas de Manizales	591	42.54z ^{1.861}	0.457	16.437z ^{0.2911}	30.094z ^{1.2331}
15 Quebrada Olivares - Bocatoma	626	1.8757z ^{2.4442}	0.631	9.7946z ^{0.9892}	5.3255z ^{1.8953}
16 Quebrada Olivares - Bomberos voluntarios	958	0.4255z ^{2.0697}	0.687	9.406z ^{0.2574}	1.5856z ^{1.3346}
17 Quebrada Olivares - El Popal	551	1.8687z ^{2.3334}	0.663	7.4591z ^{0.5111}	3.1556z ^{1.6012}
18 Quebrada Palogrande - Ruta 30	675	8.9946z ^{1.7141}	0.662	5.0182z ^{0.3093}	4.1417z ^{1.1522}
19 Quebrada Palogrande - terminal de Transporte	497	0.8563z ^{2.3433}	0.937	3.4298z ^{0.1598}	0.5282z ^{1.4695}
20 Quebrada Salinas - EMAS	1067	0.7744z ^{1.7488}	0.844	4.5209z ^{0.6325}	1.4096z ^{1.3023}
21 Quebrada Tesorito	739	2.6731z ^{1.9518}	0.618	9.1235z ^{0.2881}	5.2888z ^{1.3128}
22 Río Chinchiná-Bosque Popular	1208	3.3173z ^{2.4053}	0.763	11.469z ^{0.6733}	5.9838z ^{1.7125}
23 Río Chinchiná - Cenicafé	1424	19.094z ^{2.1717}	0.914	22.839z ^{0.2884}	24.525z ^{1.4102}
24 Río Chinchiná - El Bosque	1293	7.7484z ^{2.6174}	0.469	26.024z ^{0.7197}	11.711z ^{1.865}
25 Río Doña Juana - Vía la Dorada Norcasía	600	7.9258z ^{2.5544}	0.981	31.834z ^{0.194}	17.853z ^{1.5464}



Estación	Tara actual (cm)	Caudal (m ³ /s)	R ² Caudal	Perímetro (m)	Área (m ²)
26 Río Guacaica - CHEC	1190	0.6379z ^{2.7389}	0.761	6.1273z ^{0.9377}	1.4658z ^{2.0184}
27 Río Guacaica - El Jordan	1190	2.9549z ^{2.7278}	0.726	13.793z ^{0.7268}	5.9602z ^{1.8918}
28 Río Pácora	778	6.763z ^{2.309}	0.865	20.011z ^{0.4468}	17.064z ^{1.5736}
29 Río Pensilvania Microcentral	810	1.0899z ^{2.7008}	0.829	10.536z ^{0.7272}	3.9451z ^{1.9114}
30 Río Pozo - Vía la Merced Pácora	975	18.676z ^{2.5542}	0.879	17.925z ^{0.6324}	12.07z ^{1.7855}
31 Río Rioclaro - La Batea	957	3.5402z ^{2.8774}	0.709	10.816z ^{0.9943}	4.0132z ^{2.1241}
32 Río Rioclaro - La Guayana	1296	3.7339z ^{2.3825}	0.983	11.939z ^{0.6534}	5.0197z ^{1.6961}
33 Río Risaralda - Camping la palmera	750	3.5843z ^{2.6409}	0.851	27.103z ^{0.5645}	7.2891z ^{1.8104}
34 Río Santodomingo - Manzanares	920	103.2z ^{2.325}	0.799	23.745z ^{0.5712}	46.497z ^{1.6235}
35 Río Supía - Piononos	1070	1.7967z ^{2.6933}	0.844	24.458z ^{0.7344}	7.4491z ^{1.9097}
36 Río Supia - Supia	711	54.584z ^{2.4481}	0.842	33.354z ^{0.7099}	36.908z ^{1.7528}
37 Río Tapias	537	34.345z ^{2.4694}	0.751	24.642z ^{0.3969}	24.156z ^{1.6404}

6. RESULTADOS DE LOS AFOROS DE CAUDAL SÓLIDO

Entre las iniciativas del SIMAC se encuentra la realización de aforos de caudal sólido en las estaciones de monitoreo hidrometeorológico de Caldas, este proceso se ha realizado con algunas de las estaciones, a continuación, se presentan los resultados obtenidos.

6.1 Quebrada el Rosario – Autopistas

Tabla 40. Resumen de resultados, Quebrada el Rosario – Autopistas

ESTACIÓN		QUEBRADA EL ROSARIO - AUTOPISTAS					
Fecha aforo (dd-mm-aa)	Profundidad máxima (m)	Ancho de la sección mojada (m)	Cantidad de muestras	Carga sedimentos de fondo (ton/día)	Carga sedimentos suspendidos (ton/día)	Carga Total (ton/día)	Caudal líquido (m ³ /s)
27/10/2019	0.280	3.600	4	0.449	0.881	1.330	0.682
11/12/2019	0.327	3.600	4	4.953	2.937	7.890	0.822

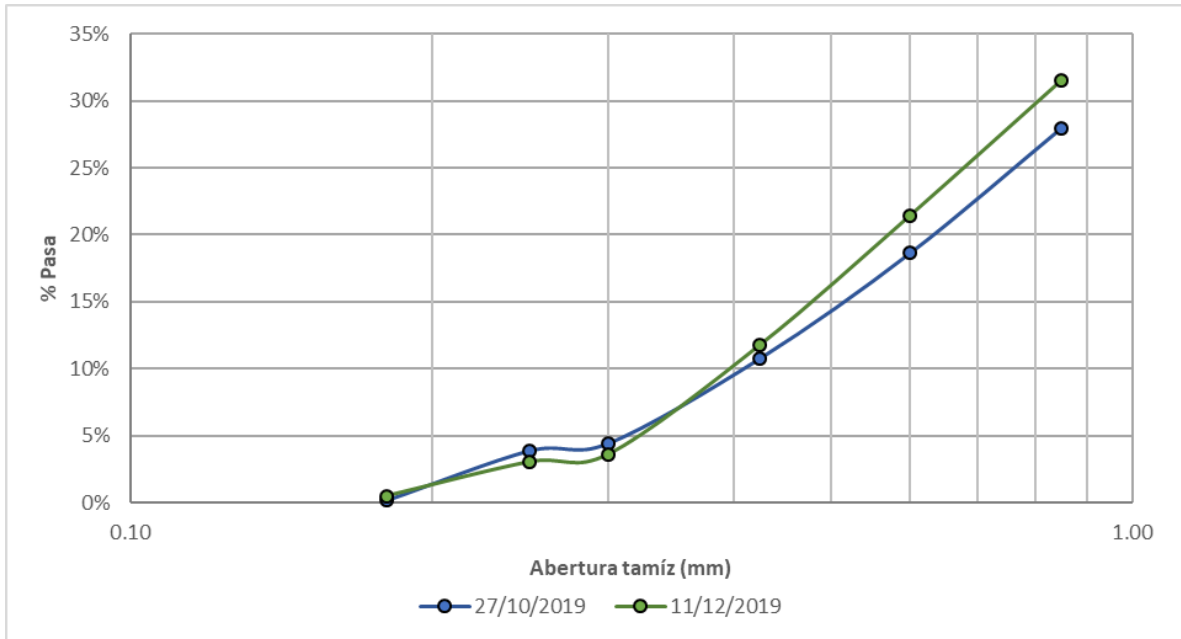


Figura 193. Granulometría sedimentos de fondo, quebrada el Rosario - Autopistas

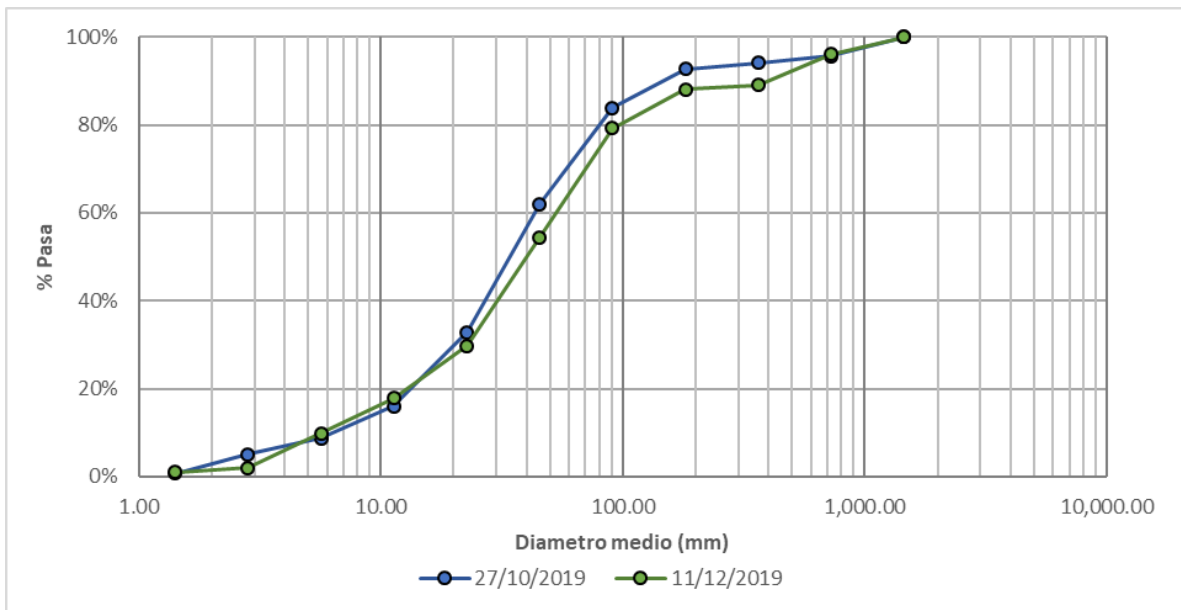


Figura 194. Granulometría material del lecho (conteo de Wolman), Quebrada el Rosario - Autopistas



6.2 Quebrada Olivares – Bocatoma

Tabla 41. Resumen de resultados, Quebrada Olivares – Bocatoma

ESTACIÓN QUEBRADA OLIVARES - BOCATOMA RIO BLANCO							
Fecha aforo (dd-mm-aa)	Profundidad máxima (m)	Ancho de la sección mojada (m)	Cantidad de muestras	Carga sedimentos de fondo (ton/día)	Carga sedimentos suspendidos (ton/día)	Carga Total (ton/día)	Caudal líquido (m ³ /s)
19/06/2019	0.280	2.300	3	0.179	0.181	0.360	0.106
13/09/2019	0.130	2.230	10	0.012	0.098	0.110	0.030

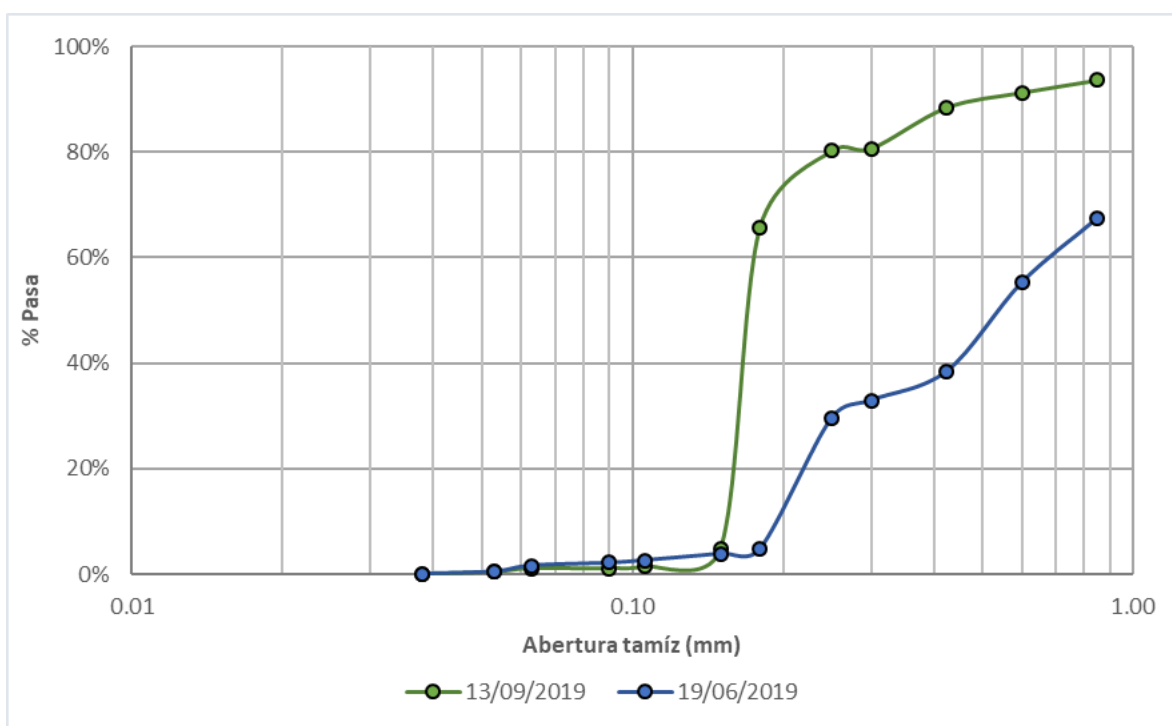


Figura 195. Granulometría sedimentos de fondo, quebrada Olivares – Bocatoma

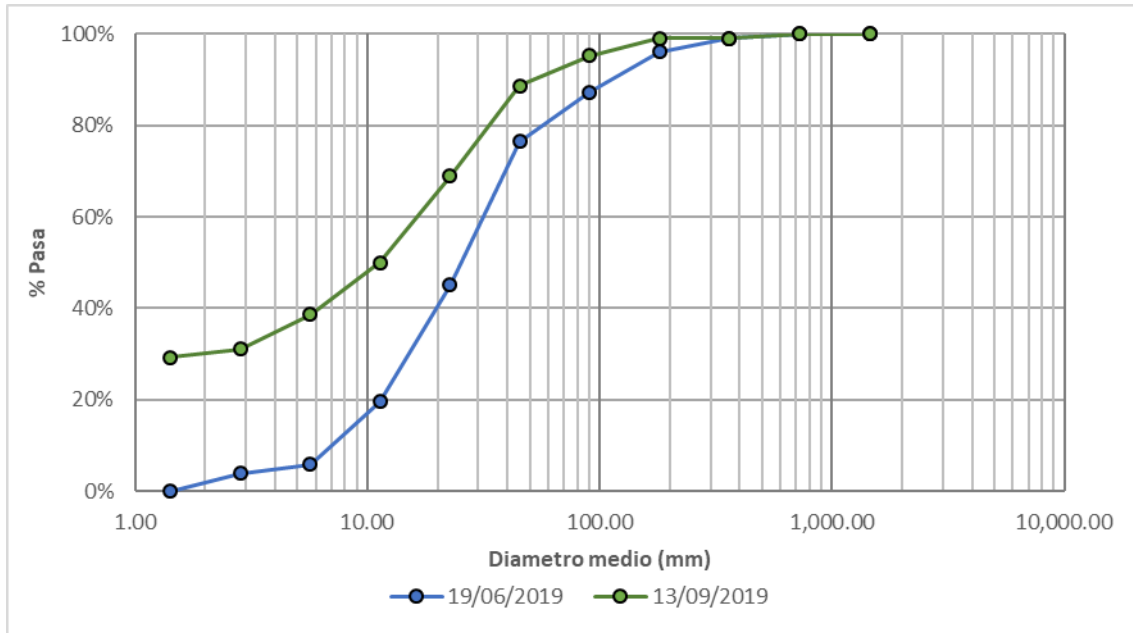


Figura 196. Granulometría material del lecho (conteo de Wolman), Quebrada Olivares – Bocatoma

6.3 Quebrada Olivares – el Popal

Tabla 42. Resumen de resultados, Quebrada Olivares – el Popal

ESTACIÓN							
QUEBRADA OLIVARES - EL POPAL							
Fecha aforo (dd-mm-aa)	Profundidad máxima (m)	Ancho de la sección mojada (m)	Cantidad de muestras	Carga sedimentos de fondo (ton/día)	Carga sedimentos suspendidos (ton/día)	Carga Total (ton/día)	Caudal líquido (m³/s)
19/06/2019	0.350	6.900	4	0.654	2.552	3.206	0.525
13/09/2019	0.500	6.900	7	1.683	0.365	2.048	0.136

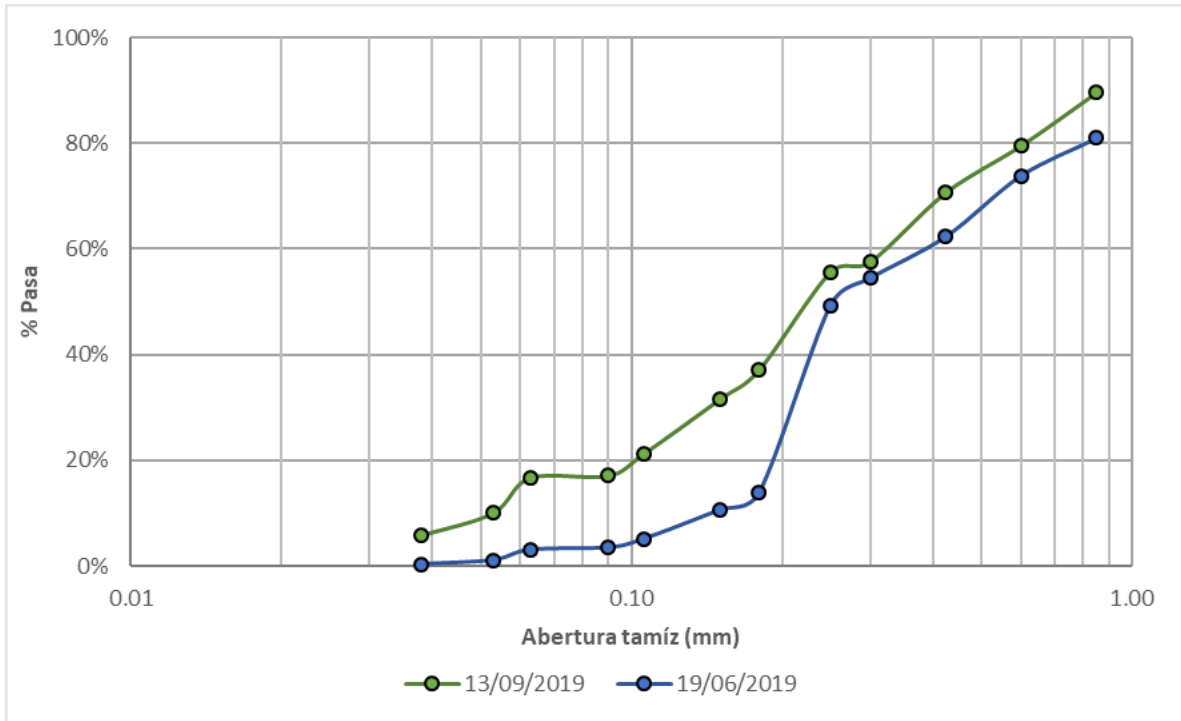


Figura 197. Granulometría sedimentos de fondo, quebrada Olivares – el Popal

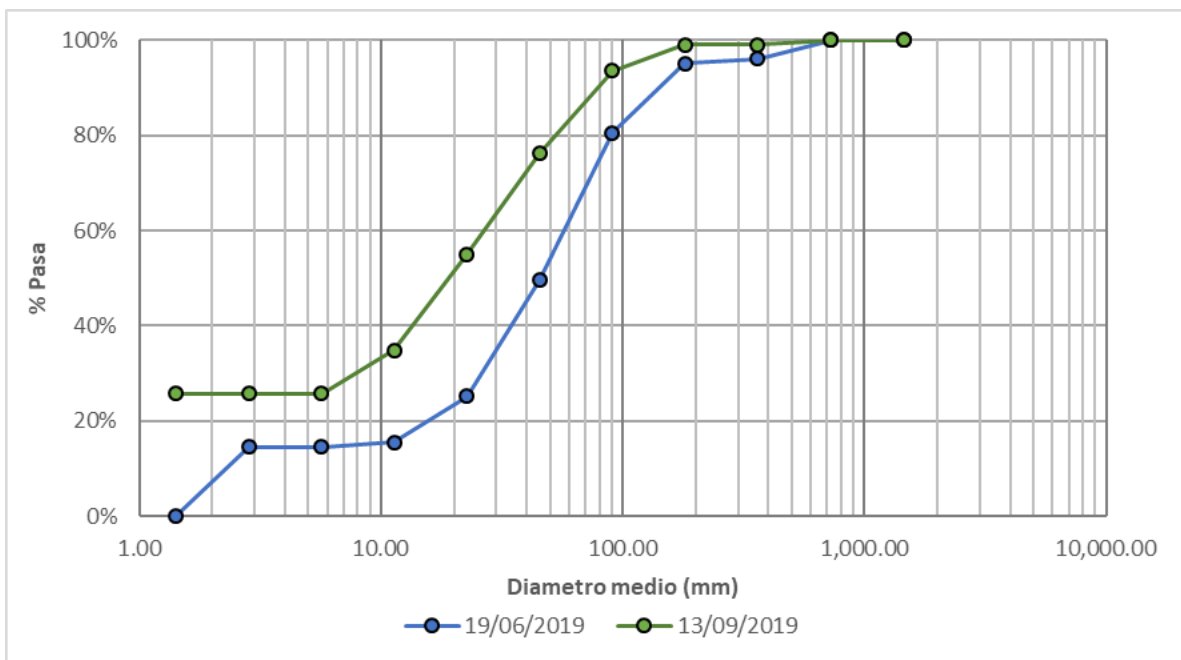


Figura 198. Granulometría material del lecho (conteo de Wolman), Quebrada Olivares – el Popal



6.4 Quebrada Salinas – EMAS

Tabla 43. Resumen de resultados, Quebrada Salinas – EMAS

ESTACIÓN QUEBRADA SALINAS - RELLENO SANITARIO EMAS							
Fecha aforo (dd-mm-aa)	Profundidad máxima (m)	Ancho de la sección mojada (m)	Cantidad de muestras	Carga sedimentos de fondo (ton/día)	Carga sedimentos suspendidos (ton/día)	Carga Total (ton/día)	Caudal líquido (m³/s)
3/07/2019	0.170	1.600	1 (integrado)	0.252	0.106	0.358	0.011

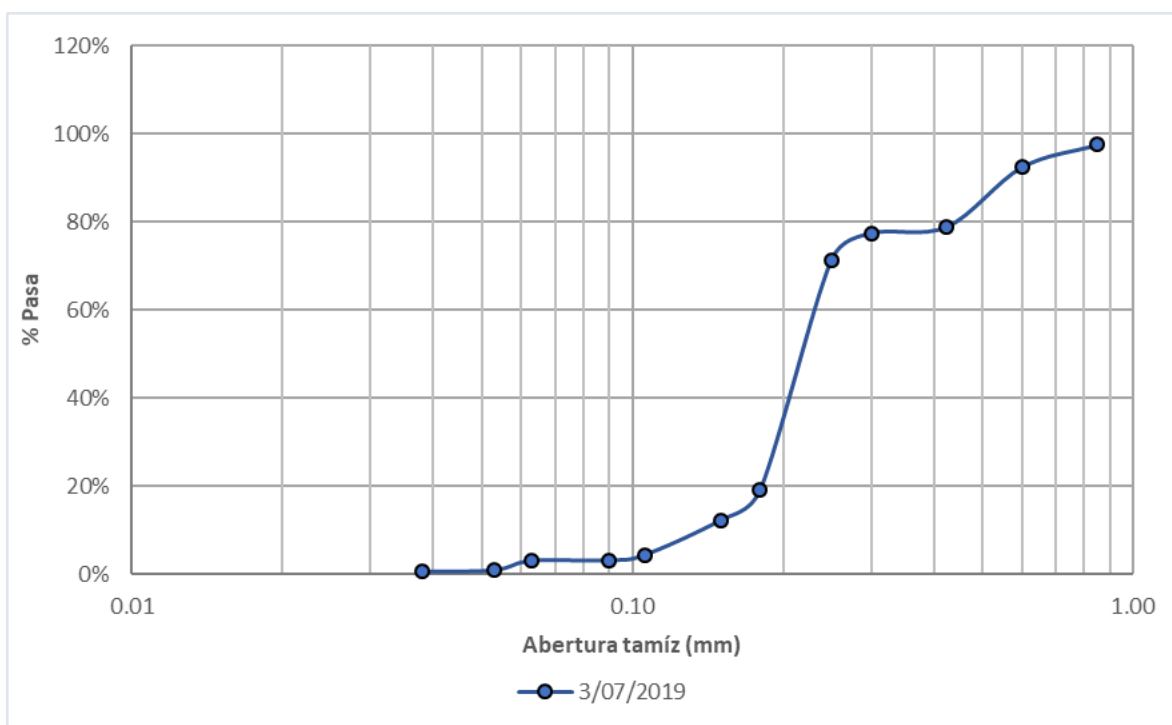


Figura 199. Granulometría sedimentos de fondo, quebrada Salinas - EMAS

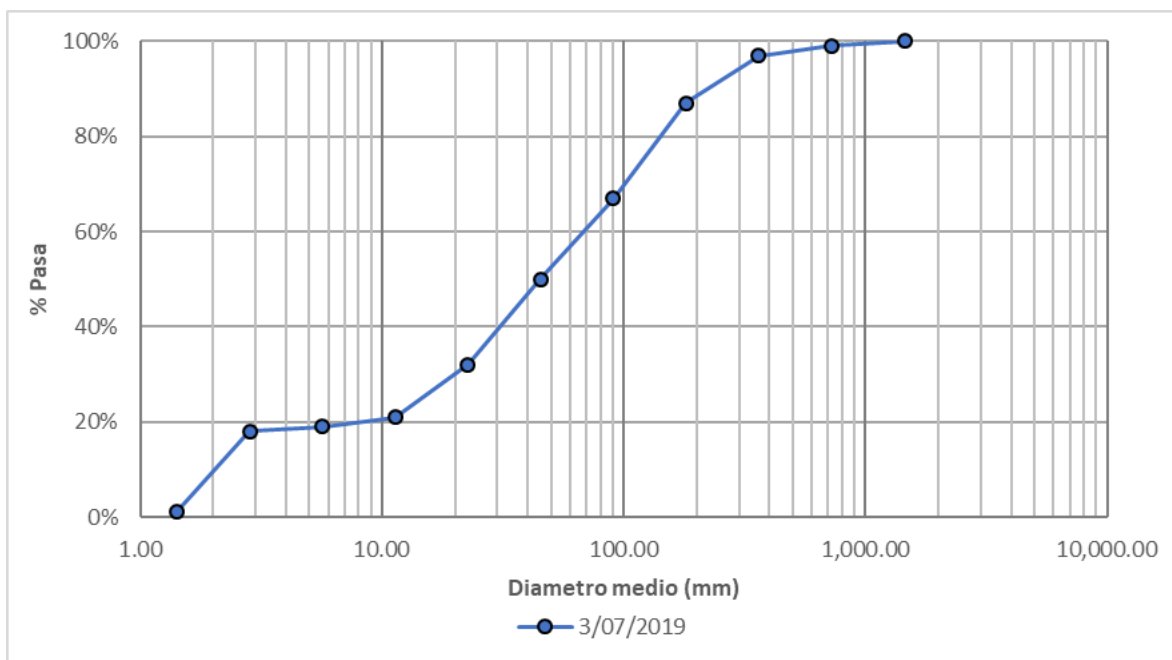


Figura 200. Granulometría material del lecho (conteo de Wolman), Quebrada Salinas - EMAS

6.5 Río Chinchiná – Cenicafé

Tabla 44. Resumen de resultados, río Chinchiná – Cenicafé

ESTACIÓN		RÍO CHINCHINÁ - CENICAFÉ					
Fecha aforo (dd-mm-aa)	Profundidad máxima (m)	Ancho de la sección mojada (m)	Cantidad de muestras	Carga sedimentos de fondo (ton/día)	Carga sedimentos suspendidos (ton/día)	Carga Total (ton/día)	Caudal líquido (m ³ /s)
21/10/2019	0.460	11.100	5	0.147	4.470	4.617	1.589
7/11/2019	0.590	12.000	6	0.091	7.104	7.195	1.717
10/12/2019	0.640	12.000	6	3.815	22.274	26.089	2.177

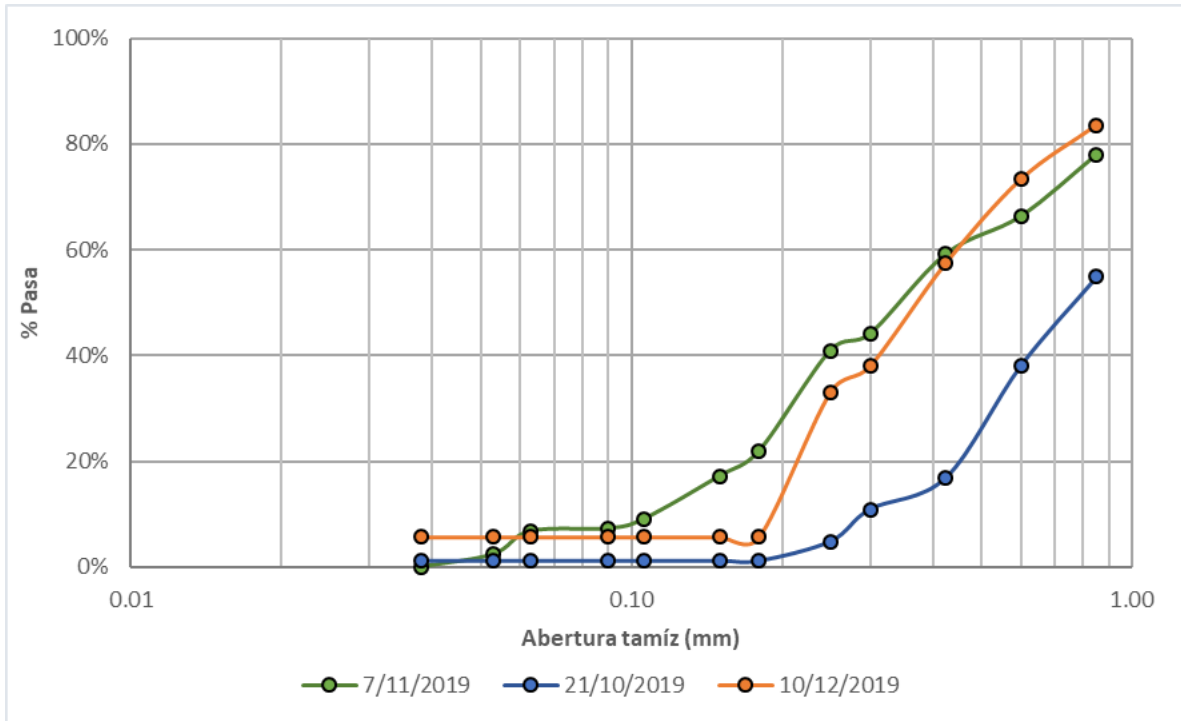


Figura 201. Granulometría sedimentos de fondo, río Chinchiná - Cenicafé

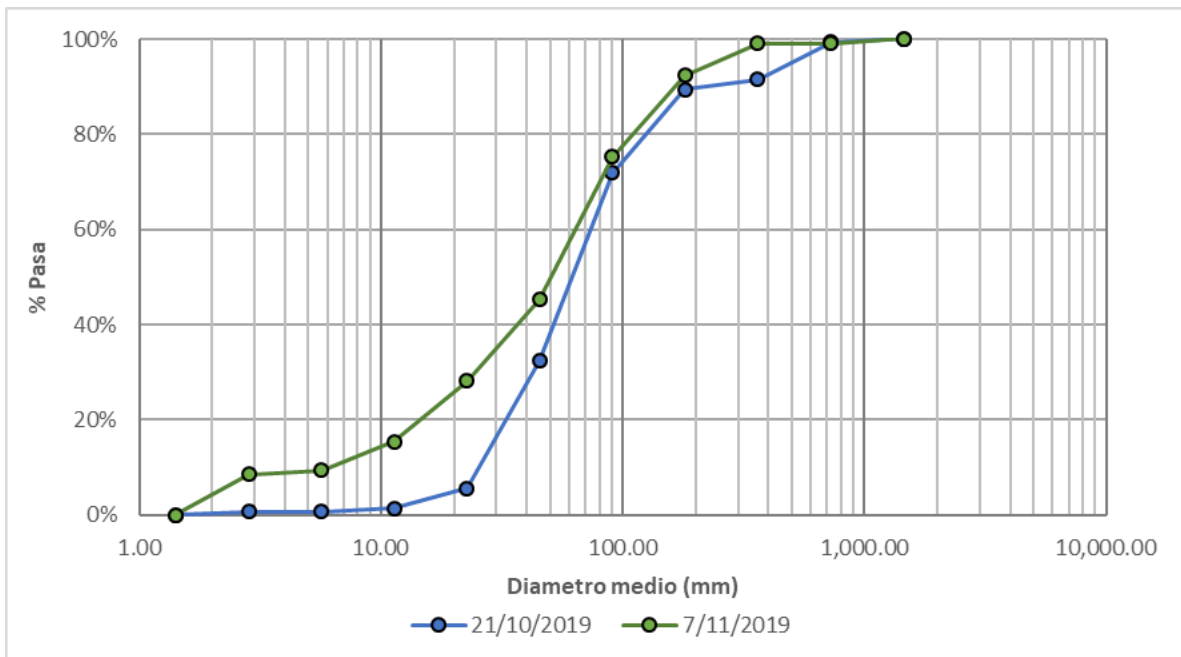


Figura 202. Granulometría material del lecho (conteo de Wolman), río Chinchiná - Cenicafé



6.6 Río Chinchiná – el Bosque

Tabla 45. Resumen de resultados, río Chinchiná – el Bosque

ESTACIÓN RÍO CHINCHINÁ - EL BOSQUE							
Fecha aforo (dd-mm-aa)	Profundidad máxima (m)	Ancho de la sección mojada (m)	Cantidad de muestras	Carga sedimentos de fondo (ton/día)	Carga sedimentos suspendidos (ton/día)	Carga Total (ton/día)	Caudal líquido (m ³ /s)
7/11/2019	0.750	24.900	6	17.880	43.256	61.136	9.150
27/11/2019	0.820	25.600	6	63.341	55.211	118.552	12.095
11/12/2019	0.730	24.900	6	20.436	29.571	50.007	8.621

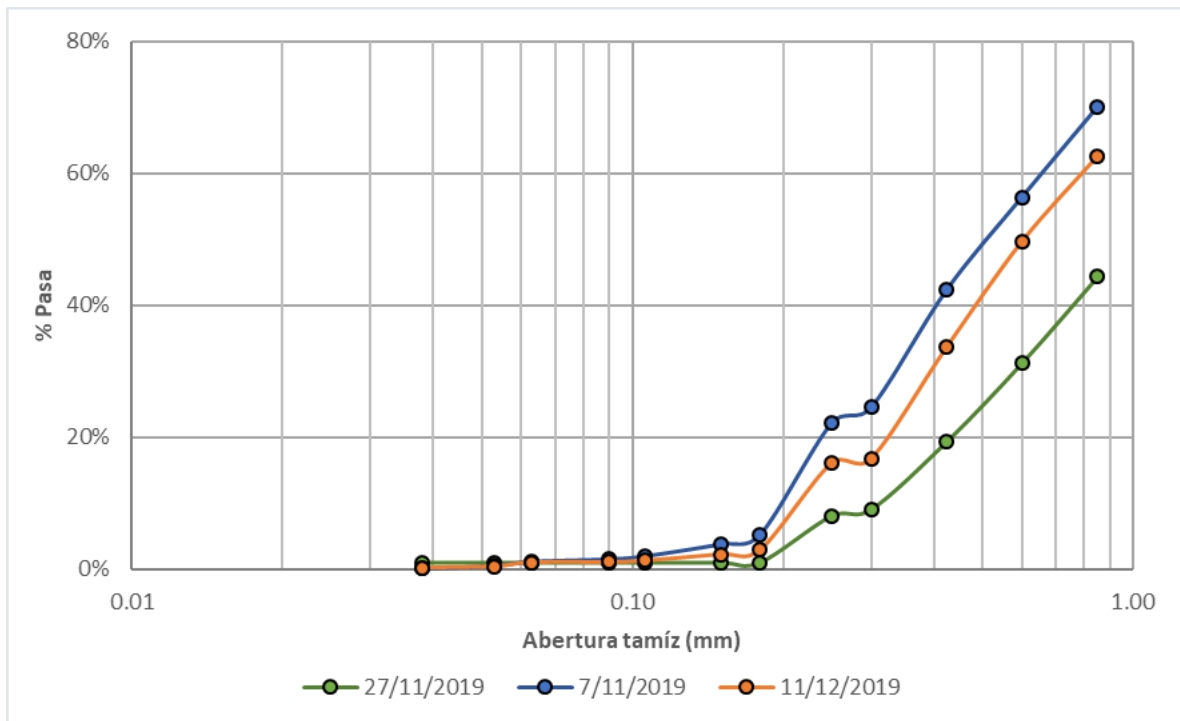


Figura 203. Granulometría sedimentos de fondo, río Chinchiná – el Bosque

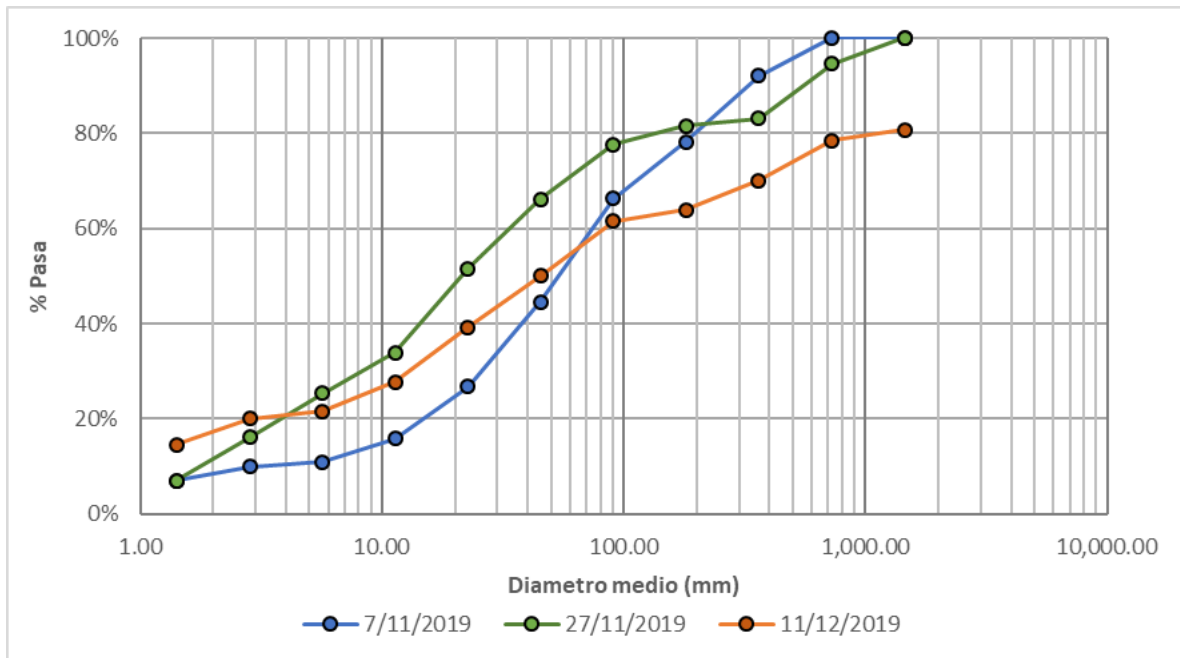


Figura 204. Granulometría material del lecho (conteo de Wolman), río Chinchiná – el Bosque

7. CLASIFICACIÓN DE LOS RÍOS

El objetivo de esta parte del informe es clasificar los ríos fragmentando las unidades más complejas en otras más discretas, facilitando los estudios de cada una de las corrientes; existen tantas clasificaciones como características tienen los cuerpos de agua; una de las primeras clasificaciones es la de Davis, 1909, quien clasificó los ríos según su edad, en ríos jóvenes, maduros y viejos, **Figura 205**; luego, Leopold & Maddock, 1953, clasificaron los ríos según su geometría en ríos rectos y sinuosos.

Más adelante, otros autores como (Schumm, 1977) y (Rosgen, 1994) clasificaron los ríos teniendo en cuenta otros parámetros propios de la geomorfología del cauce como el arrastre y deposición de sedimentos, el tipo, forma y material del lecho, el nivel de banca llena, entre otros. Una clasificación más reciente la proporcionan (Fryirs & Brierley, 2013), la cual tiene una visión más amplia ya que, además de la geomorfología del río, tiene en cuenta la topografía propia de la cuenca, clasificando los cauces en tramos más pequeños. Adicionalmente, está basada en la clasificación de Rosgen.

Todas las clasificaciones se relacionan entre sí, y algunas definiciones son similares. Por ejemplo, un cauce joven es un cauce de montaña, y suele ser encañonado, con pendiente pronunciada y tramos rectos o sinuosos según las formas del relieve, pero, adicionalmente, transporta sedimentos de tamaños considerables producto de la erosión de las montañas.

A su vez, un río maduro, deja las montañas con pendientes altas y empieza a moverse entre una topografía menos pronunciada, lo que le permite generar meandros pequeños, depositando material en una de las márgenes mientras erosiona la margen opuesta, la geometría y material del lecho cambian, en esta zona comienzan a depositarse los materiales de gran tamaño arrastrados en la etapa joven del río.

Por último, un río adulto ha recorrido grandes extensiones de terreno; generalmente, se presenta en explanaciones que le permiten formar meandros, dejando zonas de inundaciones de mayor tamaño que un río maduro, la geometría de la sección transversal es mayor, el cauce más ancho y profundo, producto de los afluentes que durante su recorrido ha recibido y, adicionalmente, la forma y material del lecho es variada.

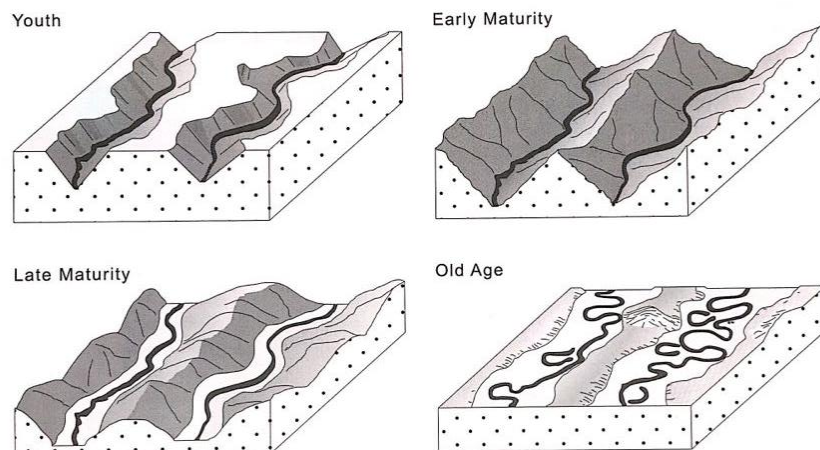


Figura 205. Clasificación de los ríos según su edad. (Fryirs & Brierley, 2013)

7.1 Clasificación aplicada a los ríos de Caldas

Para realizar la clasificación geomorfológica de los ríos analizados se utilizó como base la zonificación hidrológica propuesta por el IDEAM (2013) de 5 grandes áreas hidrográficas

(Figura 206) (Caribe, Pacifico, Magdalena - Cauca, Orinoco y Amazonas) divididas a su vez en diferentes zonas hidrográficas. Los ríos y quebradas de las redes SAT, Caldas y UDEGER se encuentran en las zonas Medio Magdalena y Cauca del área hidrográfica Magdalena – Cauca, como se observa en la **Tabla 46**, con los cuales se realizó una clasificación teniendo en cuenta parámetros de (Rosgen, 1994) y (Fryirs & Brierley, 2013).

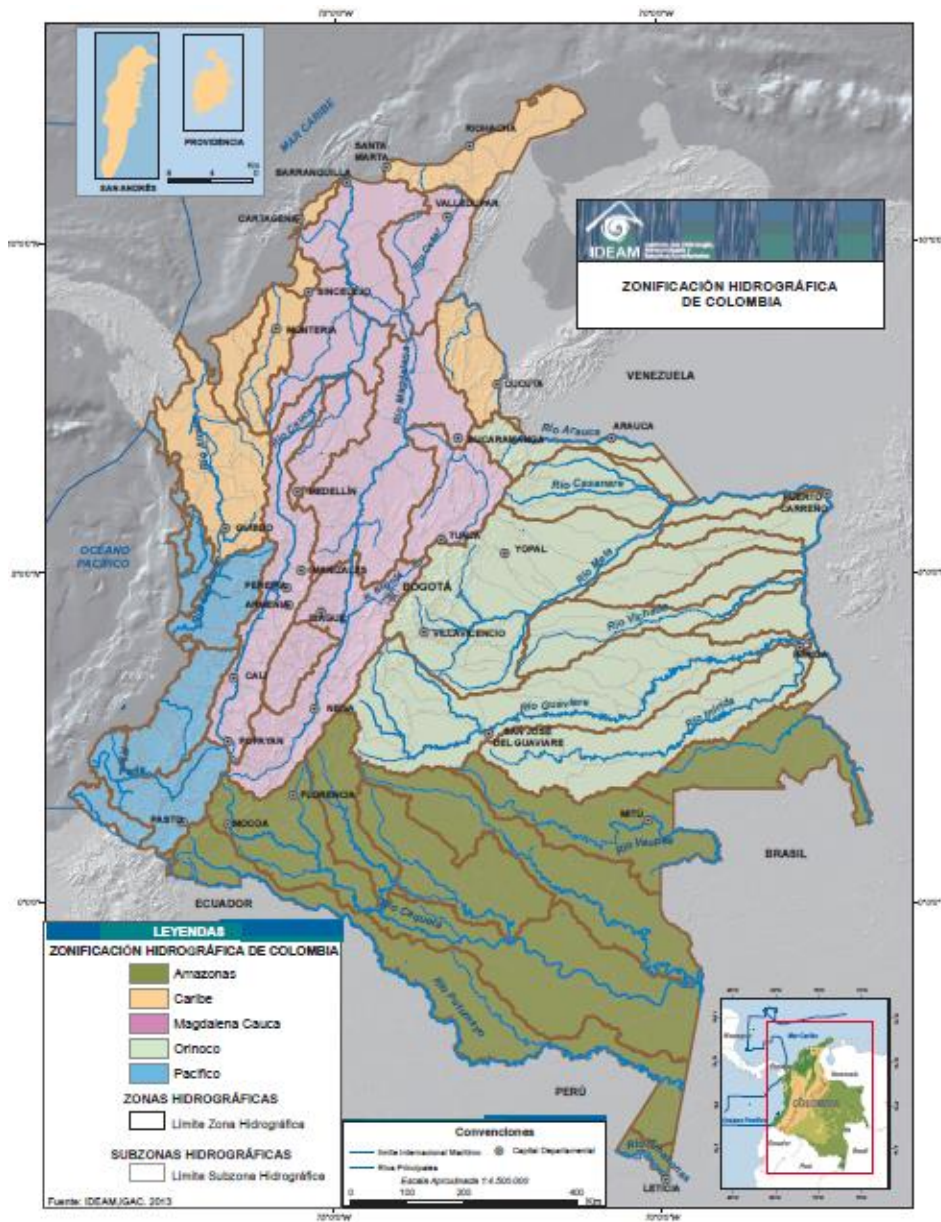


Figura 206. Zonificación hidrográfica de Colombia, (IDEAM, 2013)



Tabla 46. Ubicación de los ríos y quebradas aforadas según zonificación del (IDEAM, 2013)

ZH	Nombre zona hidrográfica	SZH	Nombre Subzona hidrográfica	Id Cuenca	Cuenca	Río /Quebrada	Estación
26	Cauca	2615	Río Chinchiná	234	Quebrada Manizales	Quebrada Manizales	Skinco
						Quebrada Tesorito	vía al Magdalena
						Quebrada Guayabal	Recinto del pensamiento
						Quebrada Cristales	Valles de la alhambra
				253	Río Claro	Río Rioclaro	Vereda la Guayana
						Río Rioclaro	La Batea
				216	Río Chinchiná	Río Chinchiná	Bosque Popular
						Río Chinchiná	El Bosque
						Río Chinchiná	Cenicafé
						Quebrada el Perro	Expoferias
						Quebrada Palogrande	Terminal de transportes
		Quebrada Palogrande	Ruta 30				
		Quebrada Marmato	Planta Intermedia CHEC				
		235	Quebrada el Rosario	Quebrada El Rosario	San Marcos de León		
				Quebrada La Francia	Los puentes		
		224	Quebrada Olivares	227	Quebrada Manzanares	Quebrada Manzanares	Industrias básicas de Caldas
						Quebrada Olivares	Bocatoma río Blanco
				Quebrada Olivares	El Popal		
				Quebrada Olivares	Aguas de Manizales		
				Quebrada El Guamo	CDI San Sebastián		
				Quebrada El Guamo	Lavadero Los puentes		
				Quebrada Olivares	Bomberos voluntarios		
				Quebrada Salinas	EMAS		
Quebrada El Triunfo	Mirador de Villapilar						
Quebrada el Bohío	Vereda el Águila						
206	Río Guacaica	Río Guacaica	CHEC				
		Río Guacaica	El Jordán				
2614	Río Risaralda	247	Río Risaralda	Río Risaralda	Camping La Palmera		
2616	Río Tapias y otros directos al Cauca	194	Río Tapias	Río Tapias			
		108	Río Pozo	Río Pozo	Vía La Merced Pácora		
		73	Río Pácora	Río Pácora			



ZH	Nombre zona hidrográfica	SZH	Nombre Subzona hidrográfica	Id Cuenca	Cuenca	Río /Quebrada	Estación
23	Medio Magdalena	2617	Río Frío y otros directos al Cauca	126	Río Supía	Río Supía	Supía
						Río Supía	Los Piononos
		2302	Río Guarinó	191	Río Santo Domingo	Río Santo Domingo	Manzanares
		2304	Directos al Magdalena (MI)	81	Río Doña Juana	Río Doña Juana	Vía la Dorada Norcasia
		2305	Río Samaná	138	Río Pensilvania	Río Pensilvania	Microcentral

La clasificación de los ríos busca homogenizar hasta donde sea posible las características de cauces similares, encontrando relaciones hidráulicas y de sedimentos para una geomorfología específica de los canales; todo esto, con el fin de extrapolar la información para cauces con características similares en los cuales no se tienen datos.

Dentro de la clasificación que se presenta en este apartado, se tuvieron en cuenta los parámetros de (Rosgen, 1994) para los cauces aforados (**Tabla 46**), estos parámetros tienen en cuenta el material del lecho, sinuosidad, relaciones ancho-profundidad y de encajonamiento, teniendo en cuenta el nivel a banca llena de cada una de las secciones, este nivel corresponde a los caudales que se presentan en promedio 2 veces cada 3 años (Posada García, 1994). Los indicadores propuestos en la metodología de Rosgen son:

- **Índice de encajonamiento:** se refiere a la relación del cauce con su valle, cuantifica el confinamiento que se presenta producto de las formas del terreno, distinguiendo si la llanura adyacente al canal es de inundación frecuente, una terraza abandonada o si el río se ubica en un área que no es propensa a inundaciones. El índice de encajonamiento es la relación que existe entre el ancho a nivel de banca llena y el ancho en el nivel promedio del río. Entre menor sea esta relación, más encajonado es el río.
- **Relación ancho/profundidad:** permite conocer en cierta medida el confinamiento del cauce y la forma de su lecho, la relación se mantiene constante cuando el nivel y



caudal del río es similar al promedio, pero varía con las crecientes que arrastran gran cantidad de material y pueden profundizar el lecho confinando el cauce, o también puede depositar sedimentos disminuyendo su profundidad y haciéndolo más ancho. La relación ancho/profundidad está dada por el ancho del río a nivel de banca llena, y la profundidad media al nivel de banca llena. Los ríos muy angostos y confinados tienden a tener valores bajos, mientras que los ríos más anchos generalmente presentan relaciones mayores a 12 (Rosgen, 1994).

- **Sinuosidad:** Los ríos naturales o poco intervenidos se comportan según las características del terreno, se acomodan a las montañas en la parte alta, y también serpentean en los valles cuando es posible, la sinuosidad relaciona la longitud de un río entre 2 puntos con la distancia que existe entre ambos puntos. Un río es considerado sinuoso cuando presenta valores mayores de 1.30 mientras que un río recto presenta valores entre 1.00 y 1.05.
- **Material del lecho:** El material del lecho es de vital importancia a la hora de clasificar un río, por ejemplo, los ríos con materiales finos tienden a ser más sinuosos, anchos y con llanuras de inundación grandes, mientras que los ríos con lecho en roca, tienden a ser rectos y encajonados; en ocasiones es diferente al material depositado en las orillas que corresponde al material de arrastre del río.
- **Pendiente:** Es de gran importancia para conocer la geomorfología de la zona, los ríos con pendientes bajas dan la posibilidad al cauce de cambiar el canal volviéndolo sinuoso y dejando meandros de diferentes dimensiones, mientras que las pendientes altas no permiten al agua hacer un recorrido con curvas diferentes a las que se presentan gracias a las montañas.

Los parámetros anteriores explican el comportamiento de los ríos en su dinámica espacial y temporal; con el fin de tener una clasificación más amplia, se recurre a (Fryirs &

Brierley, 2013), quienes estudiaron el comportamiento de los ríos teniendo en cuenta los parámetros antes mencionados y encontraron correlaciones importantes.

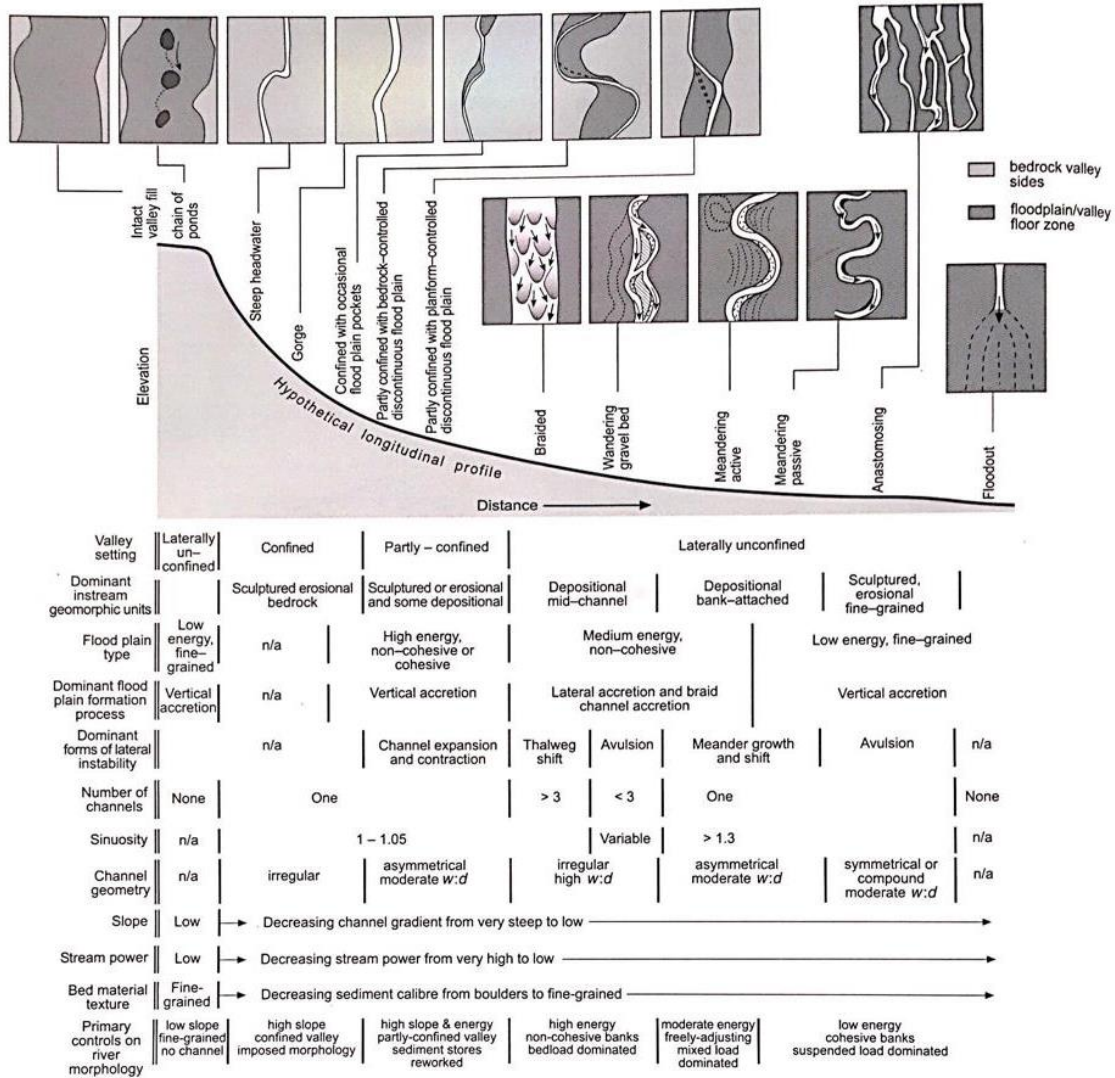


Figura 207. Clasificación de los ríos (Fryirs & Brierley, 2013)

Tabla 47. Aplicación de la Clasificación por tramos para los ríos y quebradas de las redes SAT, Caldas y UDEGER, según Fryis y Brierly

Clasificación por tramos		Descripción
1	Cabecera empinada	Se presenta generalmente en su nacimiento, es un cauce con pendiente pronunciada, por lo general son cauces de alta montaña.
2	Encajonado	La pendiente es menor que el cauce de cabecera, presenta laderas empinadas a ambos lados, adicionalmente tiene índices de encajonamiento bajos.
3	Llanuras de inundación ocasionales	Son cauces de menor pendiente que permite tener un canal más ancho, con lo cual se presentan llanuras de inundación en algunas zonas específicas del cauce.
4	Llanuras de inundación discontinuas	Presenta llanuras de inundación a lo largo de su tramo, pero estas se dan en una de las dos márgenes del río.
5	Trenzado	Es un río con múltiples canales (más de 3), que varían con las crecientes y el arrastre de material del río, generalmente se presentan en ríos con pendientes bajas.
6	Meándrico activo	Constituido por meandros que constantemente cambian debido a que se encuentra en lugares con pendiente baja y la energía del agua es moderada, son ríos muy sinuosos.
7	Meándrico pasivo	La energía del flujo es mejor que del río meándrico activo, lo que hace que los meandros se formen de forma lenta, permitiendo ver los meandros abandonados a cada lado del cauce.
8	Anastomosado	El agua se distribuye a través de vertientes pequeñas dentro de un canal definido, lo que facilita procesos como la avulsión, es un cauce de pendiente baja y sinuoso.
9	Canalizado	Se presenta generalmente cuando el tramo del río es urbano, en este caso el cauce no puede clasificarse como un río natural debido a las intervenciones que ha sufrido.

Con base en los parámetros de la **Figura 207**, se proponen 9 diferentes clasificaciones para los ríos y quebradas de las redes SAT, Caldas y UDEGER que se consignan en la **Tabla 47**. Por medio de los aforos realizados se determinaron los anchos y profundidades en diferentes niveles, incluyendo el nivel a banca llena, la pendiente promedio de los diferentes tramos aforados y el material del lecho (de manera visual); la sinuosidad puede ser determinada a través de fotografías aéreas o imágenes satelitales; estas últimas fueron las usadas en esta ocasión.

Los ríos Pensilvania y Santodomingo no pudieron ser clasificados por la dificultad de encontrar imágenes satelitales de buena resolución donde se detalle el cauce, con lo cual no pueden determinarse parámetros importantes como la sinuosidad y la pendiente.

7.2 Mapas de clasificación

En la siguiente sección, se muestran en forma de mapas los ríos y quebradas por cuencas principales, así como las estaciones del SIMAC que se encuentran en cada cuenca, quebrada y río y en colores la clasificación según la metodología de Fryis y Brierly de cada tramo.

- **Quebrada Olivares:** En la **Figura 208** se encuentra el mapa de la cuenca Olivares, su quebrada se caracteriza en sus inicios por ser de cabecera empinada hasta la bocatoma río Blanco donde, a pesar de ser una zona montañosa, la quebrada tiene un valle un poco más amplio, lo que facilita la existencia de llanuras de inundación ocasionales, que se presentan hasta la zona de El Popal. A partir de ahí, la topografía es más pronunciada y hasta la Escuela de carabineros Alejandro Gutiérrez la quebrada presenta un grado alto de encajonamiento. Luego, se presentan llanuras de inundación discontinuas hasta las oficinas de Aguas de Manizales donde, a pesar de que la quebrada tiene muros de contención a ambos lados, deja llanuras de inundación ocasionales nuevamente; sin embargo, en su paso por el barrio Villa del Río el cauce está en contacto directo con estos muros, con lo que se puede determinar que el cauce está canalizado. A la altura del barrio la Asunción el río presenta nuevamente llanuras de inundación discontinuas, lo que se observa en las crecientes cuando el río se desborda e inunda las calles aledañas; esto sucede hasta la glorieta ubicada en la salida hacia el municipio de Neira donde, gracias a la topografía, el río presenta un encajonamiento pronunciado hasta su desembocadura en el río Guacaica.

Dentro de la cuenca de la quebrada Olivares se tienen otras quebradas que se clasificaron, como es el caso de la quebrada el Guamo, que en gran parte de su recorrido se caracteriza



por ser encajonada, pero a la altura de los barrios Solferino y Bosques del Norte está canalizada hasta desembocar en la quebrada Olivares.

La quebrada Salinas tiene una clasificación de cabecera empinada durante todo su trayecto; la quebrada el Bohío inicia su trayecto como de cabecera empinada, pero unos metros aguas arriba, antes de cruzar la vía Manizales – Neira, el cauce se encajona y presenta saltos y pozos hasta su desembocadura en la quebrada Olivares; por último, la quebrada el Triunfo se encuentra canalizada en su tramo inicial, hasta el paradero de busetas de Villapilar (Socobuses), donde el cauce se encuentra encajonado gracias a su topografía hasta llegar a la quebrada Olivares.

Tabla 48. Parámetros de la clasificación por tramos - cuenca de la quebrada Olivares

Río /Quebrada	Tramo	Tipo de valle	Número de canales	Sinuosidad	Rango de pendiente
Olivares	Nacimiento - Bocatoma río Blanco	Confinado	1	1.03	0.30 - 0.20
	Bocatoma río Blanco - el popal	Confinado	1	1.05	0.15 - 0.10
	El popal - Escuela de Carabineros	Confinado	1	1.01	0.10 - 0.08
	Escuela de carabineros - Aguas de Manizales	Confinado	1	1.07	0.08 - 0.06
	Aguas de Manizales - Villa del río	Confinado	1	1.12	0.08 - 0.06
	Villa del río – La Asunción	Canalizado	1	1.20	0.08 - 0.06
	La Asunción - salida Neira	Confinado	1	1.22	0.08 - 0.06
	Salida Neira - río Guacaica	Confinado	1	1.25	0.20 - 0.15
El Guamo	nacimiento - bosques del norte	Confinado	1	1.09	0.20 - 0.15
	Bosques del norte - Q. Olivares	Canalizado	1	1.06	0.10 - 0.08
Salinas	Toda la Quebrada	Confinado	1	1.10	0.20 - 0.10
El Triunfo	Nacimiento - Control Buses Villa pilar	Canalizado	1	1.06	0.15 - 0.10
	Control de Buses de Villa pilar - Q. Olivares	Confinado	1	1.10	0.15 - 0.10
El Bohío	Nacimiento - Vía Manizales Neira	Confinado	1	1.08	0.30 - 0.20
	Vía Manizales Neira - Q. Olivares	Confinado	1	1.06	0.20 - 0.15

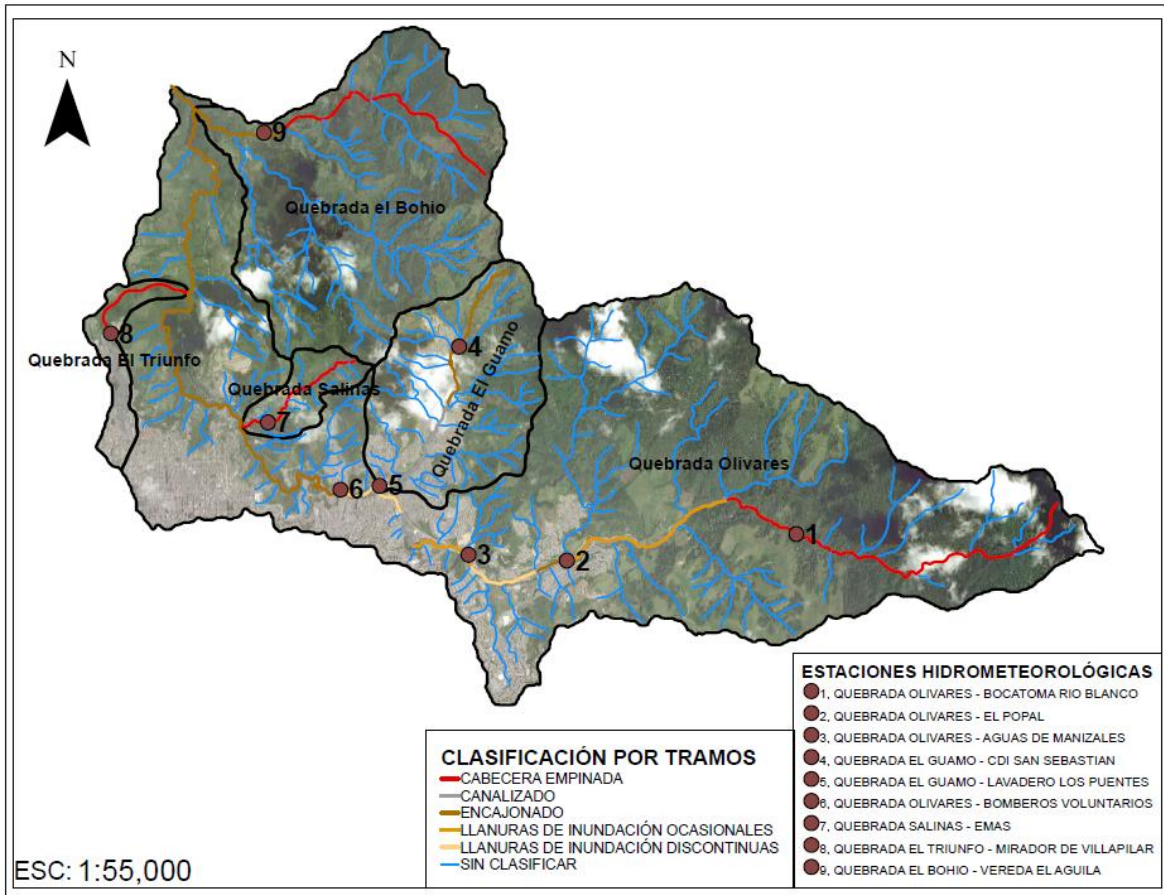


Figura 208. Clasificación cuenca de la quebrada Olivares

- **Río Guacaica:** durante sus primeros 10 km el río se caracteriza por ser de cabecera empinada (ver
- **Figura 209)**, a su paso por la vereda Manga Bonita la cuenca tiene una topografía pronunciada lo que hace que el río sea encajonado y con tramos rectos, hasta la vereda Pueblo hondo, donde el valle se amplía y facilita la generación de llanuras de inundación ocasionales durante casi toda la cuenca media, excepto por un tramo en la vereda Pueblo Rico que se encuentra encajonado. Entre las veredas la Honda y Los Cuervos el cauce tiene un valle más amplio y la pendiente disminuye, lo que favorece que el río sea trezado, para luego tener llanuras de inundación discontinuas en un tramo corto dentro de la vereda los Cuervos; la cuenca a esta altura se hace más

angosta, sin embargo, se siguen presentando llanuras de inundación ocasionales hasta el sector de la Funeraria; a partir de ahí y hasta su desembocadura en el río Chinchiná, el Guacaica se caracteriza por tener llanuras de inundación discontinuas.

Tabla 49. Parámetros de la clasificación por tramos - cuenca del río Guacaica

Río /Quebrada	Tramo	Tipo de valle	Número de canales	Sinuosidad	Rango de pendiente
Guacaica	Nacimiento (10km)	Confinado	1	1.15	0.40 - 0.30
	Vereda Manga Bonita - Vereda Pueblo hondo	Confinado	1	1.10	0.30 - 0.20
	Pueblo Hondo - Pueblo rico	Confinado	1	1.13	0.15 - 0.10
	Pueblo Rico	Confinado	1	1.18	0.20 - 0.15
	Pueblo rico - La honda	Confinado	1	1.13	0.15 - 0.10
	La honda - Los cuervos	No confinado	3	1.07	0.10 - 0.08
	Los cuervos	Parcialmente confinado	1	1.20	0.08 - 0.06
	Los cuervos - Río Chinchiná	Confinado	1	1.08	0.08 - 0.06

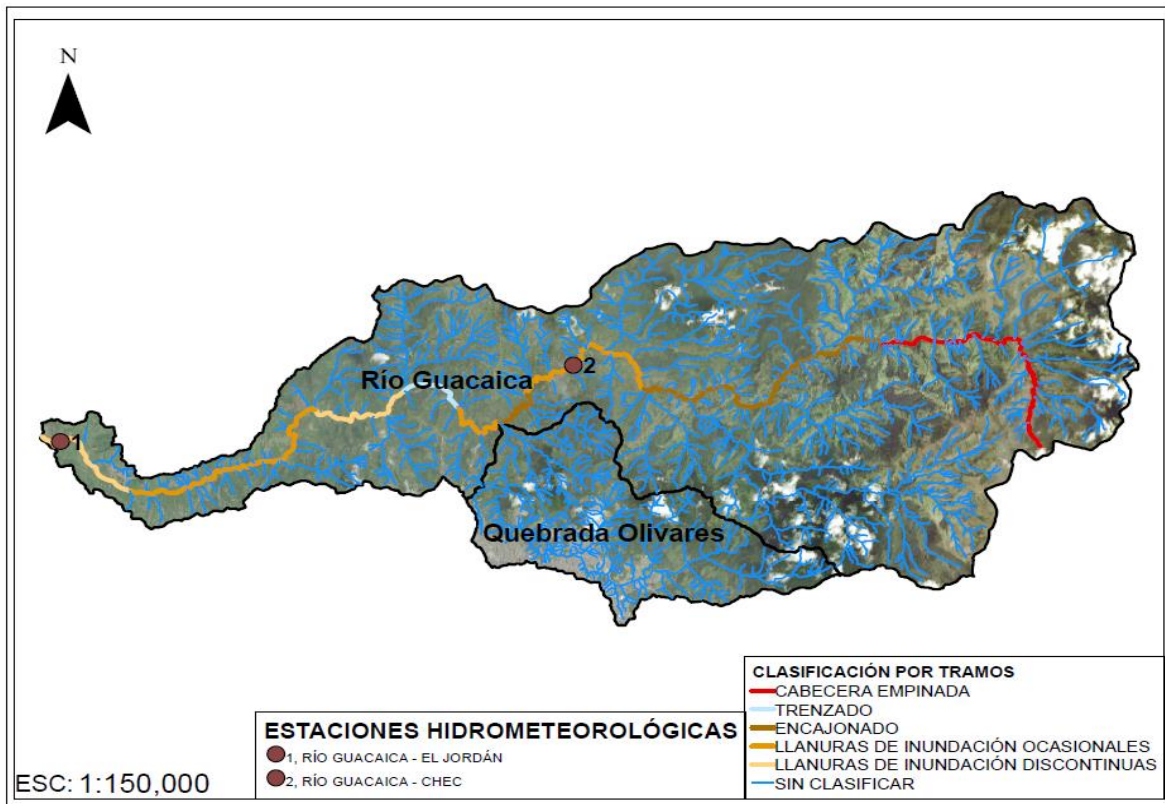


Figura 209. Clasificación cuenca del río Guacaica.



- **Quebrada Manizales:** dentro de la clasificación de la cuenca de la quebrada Manizales, se incluyen otras subcuencas y la cuenca de la quebrada el Perro (a pesar de estar incluida en este mapa es una cuenca independiente, la quebrada el perro desemboca directamente en el río Chinchiná) como se muestra en la **Figura 210**. La quebrada Manizales se clasifica inicialmente por ser de cabecera empinada hasta su llegada a la compañía Skinco, donde se encuentra canalizada; al salir de la empresa, el valle se hace más ancho y se presentan algunas llanuras de inundación ocasionales hasta el cruce con la vía que conduce al SENA, donde nuevamente se clasifica como un tramo canalizado, teniendo en cuenta que en algunos tramos sólo tiene muro de contención en una de las márgenes; sin embargo, esto le impide al río discurrir en forma natural.

En un tramo corto antes del sector de San Marcel y hasta la entrada al barrio La Enea el cauce presenta llanuras de inundación ocasionales, para luego encajonarse hasta su desembocadura en el río Chinchiná. En la zona alta de la cuenca también se encuentra la quebrada Tesorito, la que inicia como quebrada de cabecera empinada hasta que cruza la vía Panamericana. A partir de allí presenta llanuras de inundación ocasionales hasta su desembocadura en la quebrada Manizales.

La quebrada Guayabal, durante todo su trayecto, es de cabecera empinada, desemboca en la quebrada Manizales a la altura del Recinto del Pensamiento.

La quebrada Cristales está clasificada en dos tramos, el inicial es un tramo de cabecera empinada y a su llegada al condominio Valles de la Alhambra intervienen directamente en el cauce muros de contención en por lo menos una de las márgenes hasta su desembocadura en la quebrada Manizales, por lo que se clasifica como tramo canalizado. Para finalizar, se clasificó la quebrada el Perro, iniciando con un tramo de cabecera empinada, a la altura de Expoferias se encuentra canalizada y luego pasa a ser un tramo encajonado.



Tabla 50. *Parámetros de la clasificación por tramos - cuenca de las quebradas Manizales y El Perro*

Río /Quebrada	Tramo	Tipo de valle	Número de canales	Sinuosidad	Rango de pendiente
Manizales	Nacimiento - Skinco	Confinado	1	1.15	0.20 - 0.15
	Skinco	Canalizado	1	1.03	0.08 - 0.05
	Skinco - Vía SENA	Confinado	1	1.10	0.10 - 0.08
	Vía SENA - San Marcel	Canalizado	1	1.00	0.08 - 0.06
	San Marcel	Confinado	1	1.04	0.06 - 0.04
	San Marcel - Río Chinchiná	Confinado	1	1.33	0.06 - 0.04
Tesorito	Nacimiento - vía Panamericana	Confinado	1	1.06	0.40 - 0.20
	Vía Panamericana - Q. Manizales	Confinado	1	1.07	0.20 - 0.10
Guayabal	Toda la quebrada	Confinado	1	1.06	0.20 - 0.15
Cristales	Nacimiento - Valles de la alhambra	Confinado	1	1.05	0.20 - 0.15
	Valles de la alhambra - Q. Manizales	Canalizado	1	1.04	0.10 - 0.08
El Perro	Nacimiento - Expoferias	Confinado	1	1.08	0.30 - 0.20
	Expoferias	Canalizado	1	1.09	0.15 - 0.10
	Expoferias - Río Chinchiná	Confinado	1	1.13	0.30 - 0.20

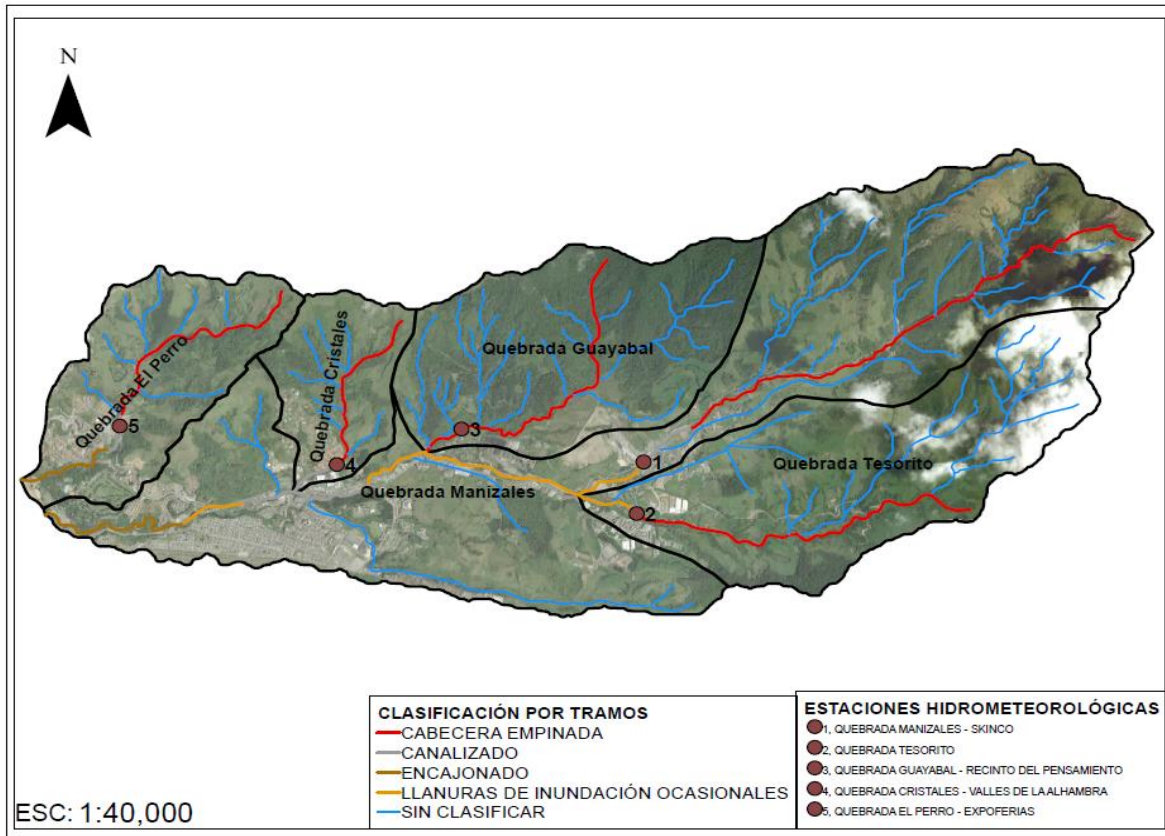


Figura 210. Clasificación cuencas de las quebradas Manizales y el Perro

- Quebradas Marmato y Palogrande:** En la **Figura 211** se presenta el mapa de clasificación de las cuencas de las quebradas Marmato y Palogrande, ambas tributarias del río Chinchiná. Las pendientes pronunciadas de la topografía propia de las cuencas hacen que en todo su recorrido sean clasificadas como quebradas de cabecera empinada; sin embargo, estas quebradas están urbanizadas en su parte alta. La quebrada Palogrande (antes quebrada San Luís) recoge el agua desde el sector de los Barrios Belén y La Estrella y el estadio Palogrande hasta llegar a la vía Panamericana, pasando por los barrios Fátima, Betania, Las Colinas y una parte del barrio el Guamal, entre otros, mientras que la quebrada Marmato recoge las aguas de los barrios aledaños al sector de Villa Hermosa.

Tabla 51. Parámetros de la clasificación por tramos - cuenca de las quebradas Palogrande y Marmato

Río /Quebrada	Tramo	Tipo de valle	Número de canales	Sinuosidad	Rango de pendiente
Palogrande	Nacimiento	Canalizado	1	1.06	0.30 - 0.20
	Parte baja y media de la cuenca	Confinado	1	1.08	0.30 - 0.20
Marmato	Nacimiento	Canalizado	1	1.04	0.30 - 0.20
	Parte baja y media de la cuenca	Confinado	1	1.03	0.20 - 0.10

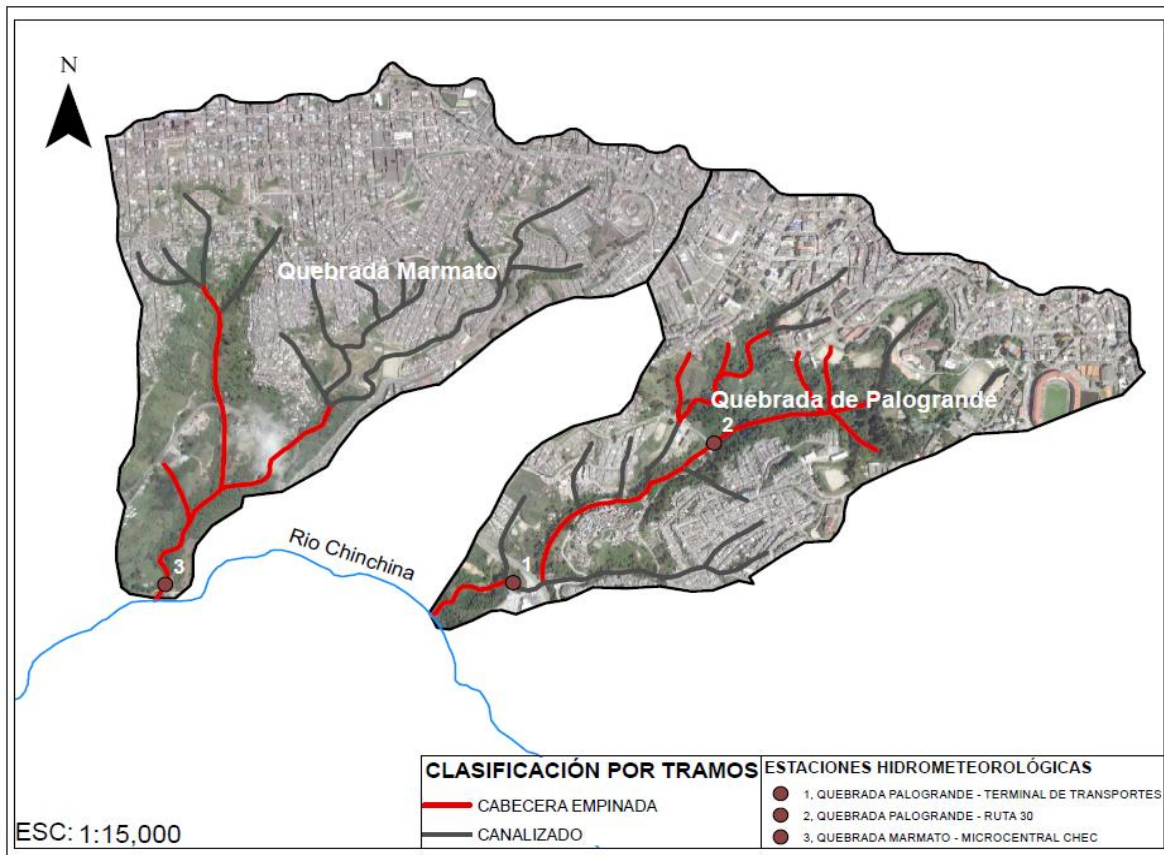


Figura 211. Clasificación cuencas de las quebradas Palogrande y Marmato

- **Río Rioclaro:** El río Rioclaro es uno de los grandes afluentes del río Chinchiná, en la **Figura 212** se encuentra clasificada su corriente principal. La parte alta tiene una pendiente fuerte y se clasifica en un río de cabecera empinada durante unos 5 km, donde la topografía disminuye gradualmente la pendiente. Después se presentan tramos rectos y el río se puede clasificar como encajonado hasta la vereda la Guayana, donde la



ampliación del valle permite la formación de llanuras de inundación ocasionales hasta el sector del Guamal, en este punto el cauce se presenta en un tramo corto con llanuras de inundación discontinuas, para encajonarse nuevamente hasta la vereda llanitos; a partir de ahí, el valle se abre nuevamente, permitiendo llanuras de inundación discontinuas hasta su desembocadura en el río Chinchiná.

Tabla 52. *Parámetros de la clasificación por tramos - cuenca del río Rioclaro*

Río /Quebrada	Tramo	Tipo de valle	Número de canales	Sinuosidad	Rango de pendiente
Rioclaro	Nacimiento (5km)	Confinado	1	1.06	0.40 - 0.30
	Vereda la Guayana	Confinado	1	1.07	0.20 - 0.15
	La Guayana - El Guamal	Confinado	1	1.05	0.10 - 0.08
	El Guamal	Parcialmente confinado	1	1.11	0.10 - 0.08
	El Guamal - Llanitos	Confinado	1	1.15	0.10 - 0.08
	Llanitos - río Chinchiná	Parcialmente confinado	1	1.20	0.08 - 0.06

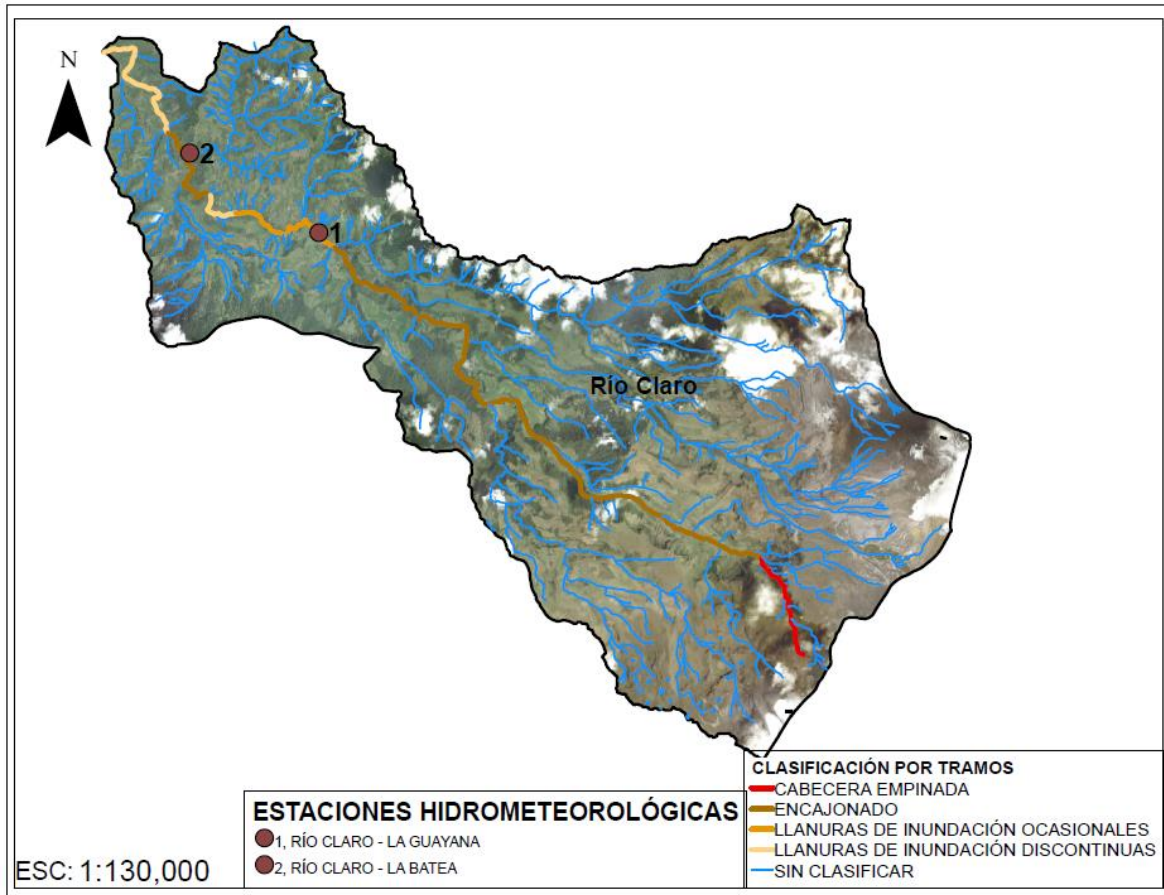


Figura 212. Clasificación cuenca del río Rioclaro

- **Quebrada El Rosario:** En la **Figura 213** se encuentra la clasificación de la cuenca de la quebrada El Rosario y, a su vez, de las quebradas La Francia y Las Pavas, que son afluentes directos de la quebrada El Rosario, la cual se caracteriza en su parte más alta por ser un cauce de cabecera empinada, hasta unos metros aguas abajo del restaurante San Marcos de León, para encajonarse hasta el punto donde se encuentra con la Quebrada de Guacas. A partir de este punto se puede percibir un solo canal, pero diferentes cursos de agua, con lo que se puede decir que este tramo es trenzado, desde 1 km aguas arriba de la desembocadura de la quebrada Las Pavas y 1.5 km aproximadamente aguas abajo de este punto El Rosario se caracteriza por ser una quebrada con llanuras de inundación discontinua. Su último tramo se clasifica como quebrada con llanuras de inundación



ocasionales, hasta su desembocadura en el río Chinchiná. En la parte alta de la cuenca de la quebrada El Rosario se encuentra la quebrada La Francia, clasificada como un solo tramo de cabecera empinada y en la parte baja de la cuenca está ubicada la quebrada Las Pavas, es una cuenca de cabecera empinada con un tramo muy corto a la altura del peaje Las Pavas que se encuentra canalizado, el tramo final se caracteriza por ser una quebrada encajonada hasta su desembocadura en la quebrada El Rosario.

Tabla 53. *Parámetros de la clasificación por tramos - cuenca de la quebrada El Rosario*

Río /Quebrada	Tramo	Tipo de valle	Número de canales	Sinuosidad	Rango de pendiente
El Rosario	Nacimiento - San Marcos de León	Confinado	1	1.01	0.30 - 0.20
	San Marcos de León - Q. las Guacas	Confinado	1	1.10	0.20 - 0.15
	Las Guacas - 1km aguas arriba de las pavas	No confinado	3	1.08	0.08 - 0.06
	1km Aguas arriba de las pavas - 1.5km Aguas abajo de las Pavas	Confinado	1	1.12	0.06 - 0.04
	1.5km aguas abajo de las pavas -río Chinchiná	Confinado	1	1.11	0.06 - 0.04
La Francia	Toda la quebrada	Confinado	1	1.02	0.30 - 0.20
Las Pavas	Nacimiento - peaje las pavas	Confinado	1	1.10	0.30 - 0.20
	Peaje las Pavas	Canalizado	1	1.05	0.10 - 0.08
	Peaje las Pavas - Q. El Rosario	Confinado	1	1.12	0.10 - 0.08

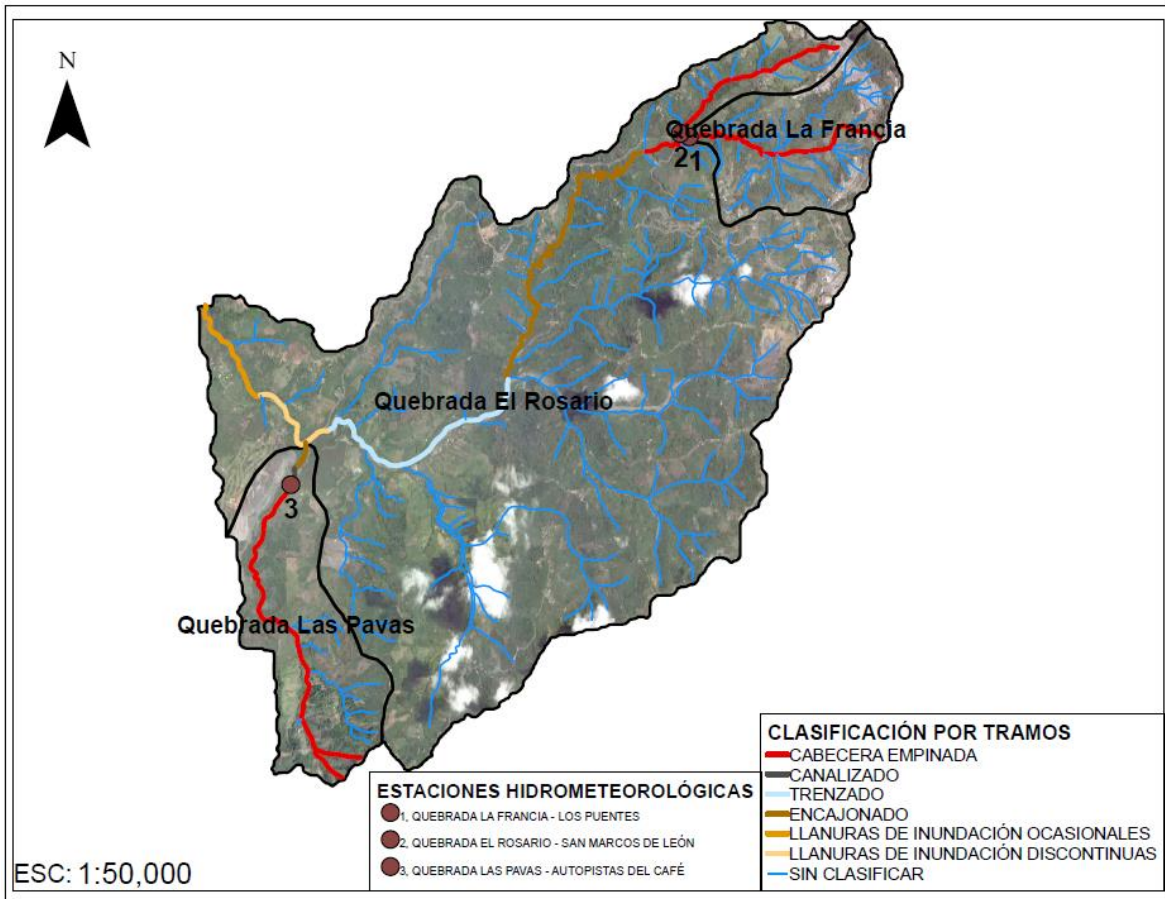


Figura 213. Clasificación cuenca de la quebrada El Rosario

- Quebrada Manzanares:** La Figura 214, muestra el mapa de clasificación por tramos de la quebrada Manzanares. Gracias a la topografía pronunciada de su cuenca se caracteriza por ser un cauce de cabecera empinada desde su nacimiento hasta su paso cerca de la ciudadela La Linda, donde se encuentra con la quebrada Marula y a partir de ese punto puede decirse que la quebrada se comporta como un cauce encajonado, finalizando el mismo a la altura de industrias Básicas de Caldas y hasta su desembocadura en el río Chinchiná se puede caracterizar como un cauce con llanuras de inundación ocasionales.

Tabla 54. Parámetros de la clasificación por tramos - cuenca de la quebrada Manzanares

Río /Quebrada	Tramo	Tipo de valle	Número de canales	Sinuosidad	Rango de pendiente
Manzanares	Nacimiento - la linda	Confinado	1	1.07	0.30 - 0.20
	La Linda - IBC	Confinado	1	1.09	0.15 - 0.10
	IBC - Río Chinchiná	Confinado	1	1.11	0.06 - 0.04

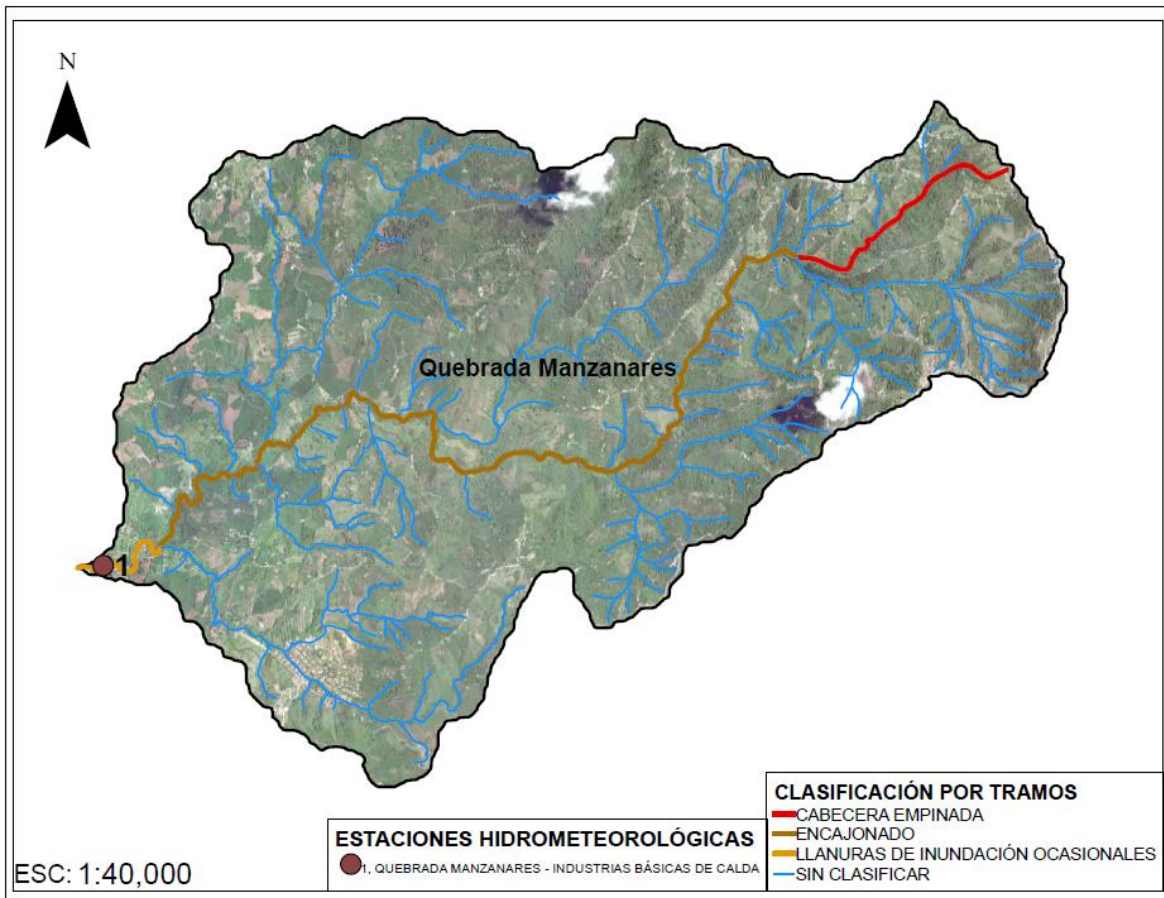


Figura 214. Clasificación cuenca de la quebrada Manzanares

- Río Chinchiná:** Los ríos y quebradas clasificados hasta ahora son todos afluentes del río Chinchiná; en la **Figura 215** se presenta la clasificación de su cauce principal. En la parte alta de la cuenca es un río de cabecera empinada durante los primeros 6 km, para luego ser encajonado hasta su llegada a un costado de la zona industrial de



Maltería en Manizales, donde el valle se hace más ancho y se presentan llanuras de inundación ocasionales.

En su paso por el sur del barrio La Enea, el río Chinchiná presenta llanuras de inundación discontinuas hasta aguas abajo del municipio de Villamaría, donde el cauce se encajona nuevamente hasta la desembocadura del río Rioclaro, para aprovechar el valle que se amplía más y presenta llanuras de inundación discontinuas; en el último tramo, 2 km aguas arriba de la desembocadura del río Guacaica y dada la baja pendiente de la cuenca, el río Chinchiná se comporta como un río meándrico pasivo, con una sinuosidad considerable hasta su desembocadura en el río Cauca.

Tabla 55. Parámetros de la clasificación por tramos - cuenca del río Chinchiná

Río /Quebrada	Tramo	Tipo de valle	Número de canales	Sinuosidad	Rango de pendiente
Chinchiná	Nacimiento (6km)	Confinado	1	1.10	0.30 - 0.20
	Maltería	Confinado	1	1.04	0.10 - 0.08
	Maltería - La Enea	Confinado	1	1.10	0.10 - 0.08
	La Enea - Salida Villamaría	Parcialmente confinado	1	1.12	0.06 - 0.04
	Salida Villamaría - Rioclaro	Confinado	1	1.20	0.15 - 0.10
	Río Rioclaro - Río Guacaica	Parcialmente confinado	1	1.25	0.06 - 0.04
	Río Guacaica - Río Cauca	No confinado	1	1.65	0.04 - 0.02

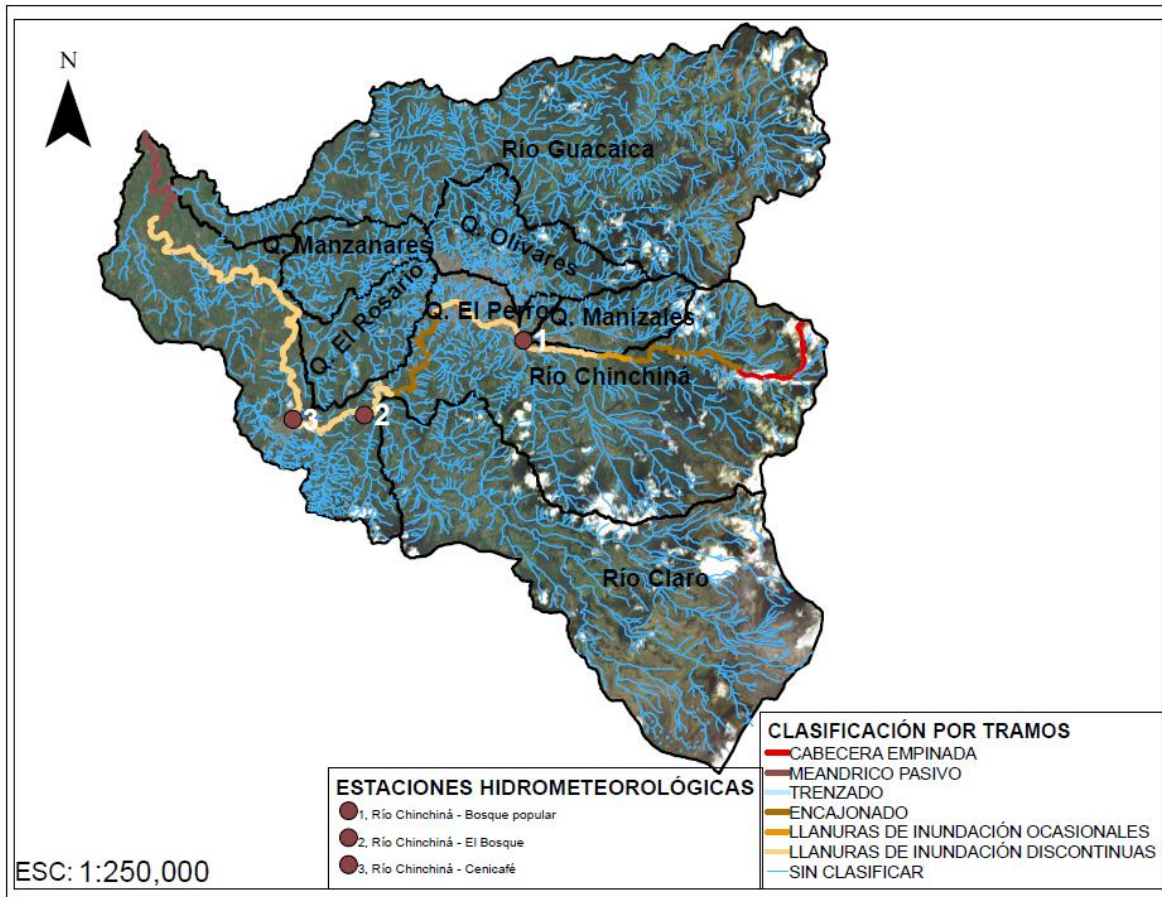


Figura 215. Clasificación cuenca del río Chinchiná

- Río Risaralda:** Una particularidad del río Risaralda es que su recorrido se desarrolla de norte a sur, cuando generalmente los ríos en Colombia recorren el territorio de sur a norte; en la **Figura 216** se presenta la clasificación del cauce principal de la cuenca del río Risaralda que en su tramo inicial se comporta como un río de cabecera empinada, con pendientes pronunciadas hasta llegar al sector de El Llano, entre los municipios de Riosucio (Caldas) y Quinchía (Risaralda). Allí inicia un tramo encajonado del río que continúa hasta ampliar su valle entre los municipios de Anserma (Caldas) y Belén de Umbría (Risaralda) para encontrar llanuras de inundación ocasionales hasta la vereda La Argentina del municipio de Viterbo (Caldas). En este tramo, la cuenca genera un valle amplio que le facilita al río Risaralda ser meándrico activo y percibir cómo los



meandros van formándose; a su entrada al municipio de Viterbo, el río deja muestras de meandros más consolidados y algunos que por la forma del terreno y la dinámica del río han ido quedando abandonados, con lo cual, desde este punto y hasta su desembocadura en el río Cauca, el Risaralda es meándrico pasivo.

Tabla 56. *Parámetros de la clasificación por tramos - cuenca del río Risaralda*

Río /Quebrada	Tramo	Tipo de valle	Número de canales	Sinuosidad	Rango de pendiente
Risaralda	Nacimiento - Vereda El Llano	Confinado	1	1.03	0.30 - 0.20
	Vereda el Llano - Belén de Umbría	Confinado	1	1.05	0.20 - 0.15
	Belén de Umbría - Vereda la Argentina	Confinado	1	1.24	0.10 - 0.08
	La Argentina - Viterbo	No confinado	1	1.35	0.06 - 0.04
	Viterbo - Río Cauca	No confinado	1	1.70	0.06 - 0.04

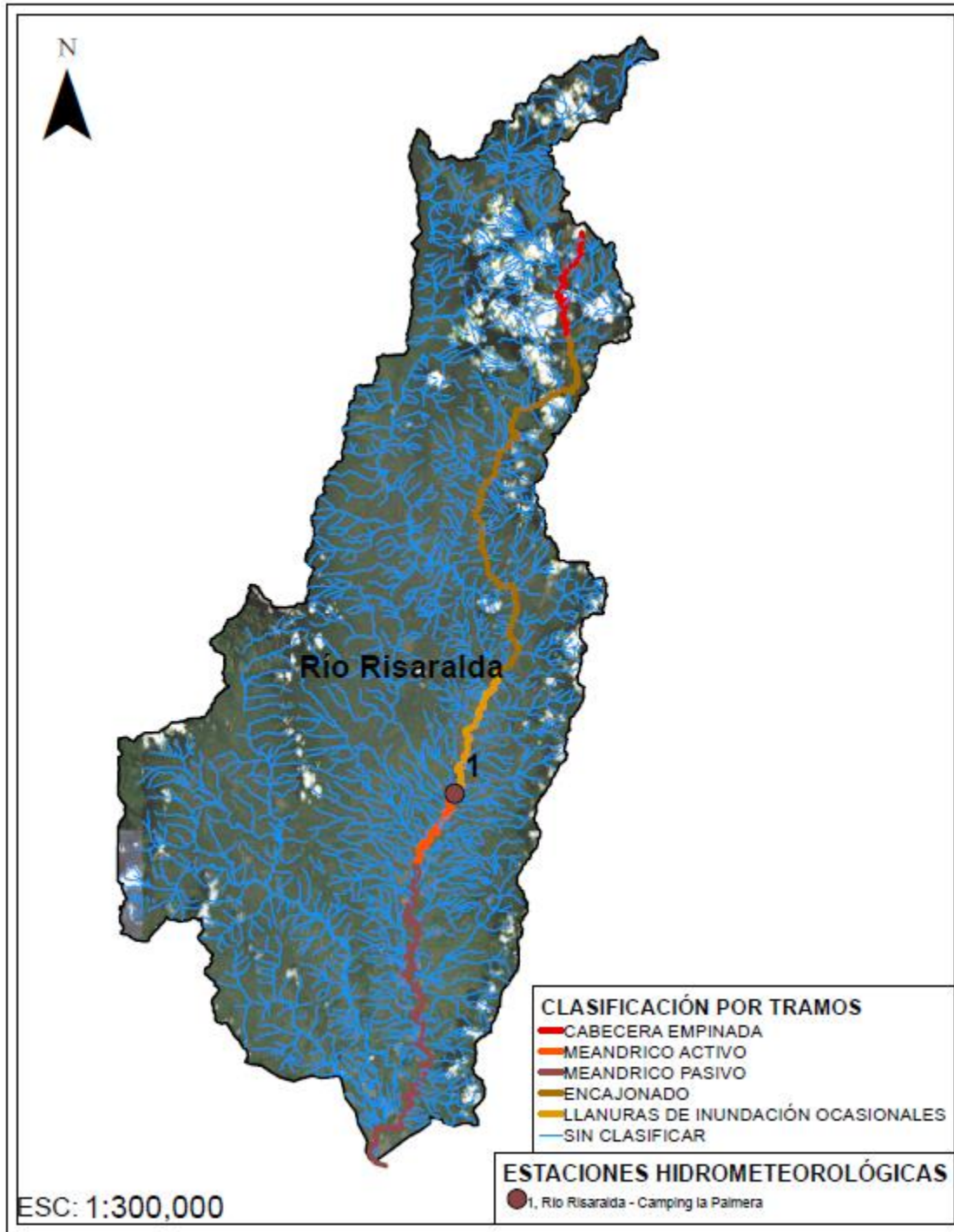


Figura 216. Clasificación cuenca del río Risaralda



- Río Doña Juana:** en la **Figura 217** se muestra el mapa de la cuenca del río Doña Juana y la clasificación del cauce. Su tramo inicial se clasifica en cabecera empinada hasta la vereda Cuba del municipio de Victoria (Caldas), a partir de esta zona el tramo siguiente del río Doña Juana es encajonado hasta la vereda que lleva su mismo nombre, donde el valle se abre y se presentan llanuras de inundación ocasionales hasta el sector América del mismo municipio. En este punto la topografía de la cuenca es de pendiente baja y un valle más amplio lo que favorece al río el ser meándrico activo hasta la vereda Vega Grande, donde se empiezan a ver muestras de algunos meandros abandonados; la característica del cauce en este tramo es la de un río meándrico pasivo y continúa de esta forma hasta su desembocadura en el río Magdalena.

Tabla 57. *Parámetros de la clasificación por tramos - cuenca del río Doña Juana*

Río /Quebrada	Tramo	Tipo de valle	Número de canales	Sinuosidad	Rango de pendiente
Doña Juana	Nacimiento - Cuba	Confinado	1	1.09	0.20 - 0.10
	Cuba - Doña Juana	Confinado	1	1.10	0.30 - 0.20
	Doña Juana - América	Confinado	1	1.20	0.10 - 0.08
	América - Vega Grande	No confinado	1	1.40	0.04 - 0.02
	Vega Grande - río Magdalena	No confinado	1	1.60	0.02 - 0.00

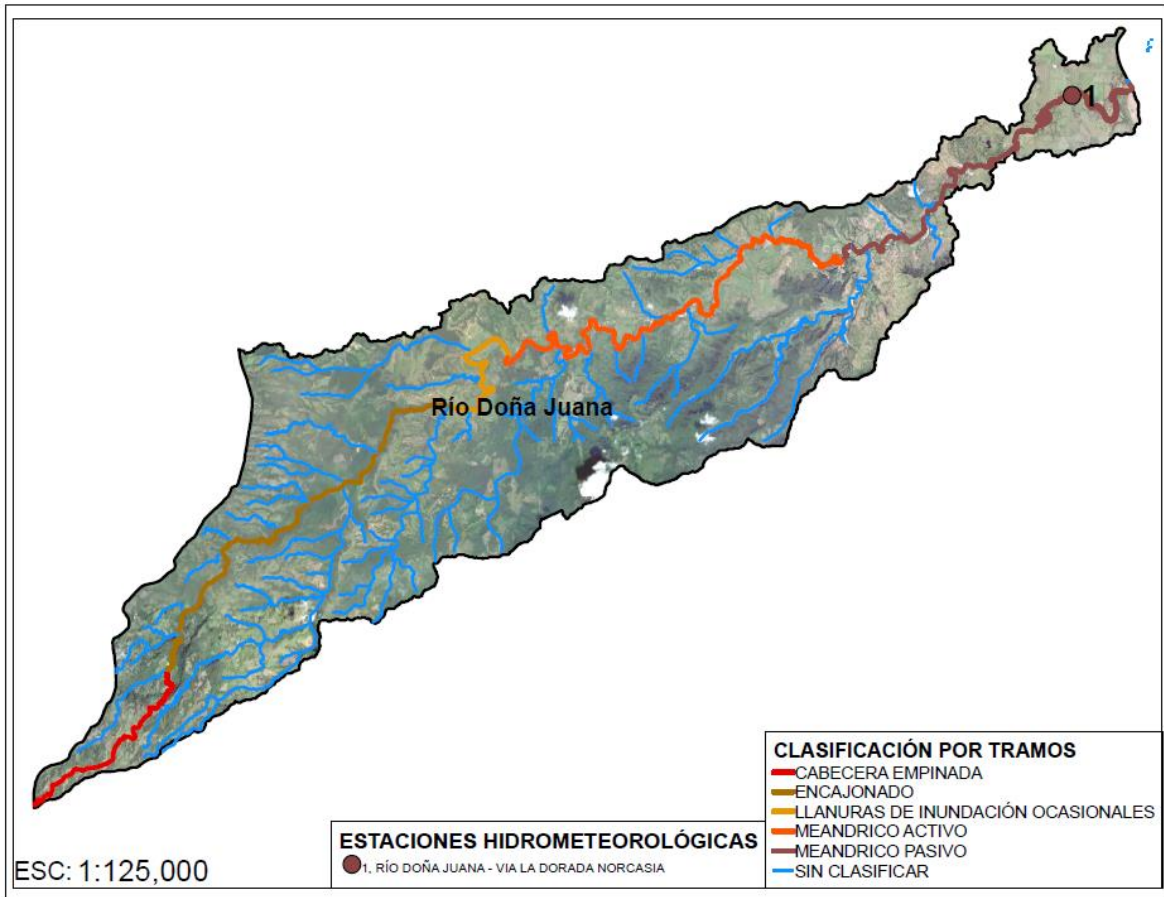


Figura 217. Clasificación cuenca del río Doña Juana

- **Río Tapias:** El río Tapias es afluente del río Cauca (Figura 218). Inicialmente, es un río de cabecera empinada desde su nacimiento hasta la vereda La Granja del municipio de Neira (Caldas). A partir de ese punto, la forma de la cuenca lo obliga a encajonarse hasta la vereda el Cedrito. El tramo siguiente del río se ubica en un valle más amplio que facilita la formación de llanuras de inundación ocasionales; en el punto donde se unen el río Tapias y el río Tareas el cauce cambia a un tipo de río con llanuras de inundación discontinuas, que se presentan aleatoriamente en algunas de las márgenes. En el sector de El Guamo el río toma forma de cauce trenzado hasta su desembocadura en el río Cauca cerca del corregimiento de Irra, Quinchía – Risaralda.

Tabla 58. Parámetros de la clasificación por tramos - cuenca del río Tapias

Río /Quebrada	Tramo	Tipo de valle	Número de canales	Sinuosidad	Rango de pendiente
Tapias	Nacimiento - Vereda la Granja	Confinado	1	1.15	0.30 - 0.20
	Vereda la Granja - Vereda el Cedrito	Confinado	1	1.17	0.20 - 0.15
	Vereda el Cedrito - río Tareas	Confinado	1	1.18	0.10 - 0.08
	Río Tareas - Vereda el Guamo	Confinado	1	1.20	0.08 - 0.06
	Vereda el Guamo - Río Cauca	No confinado	3	1.22	0.04 - 0.02

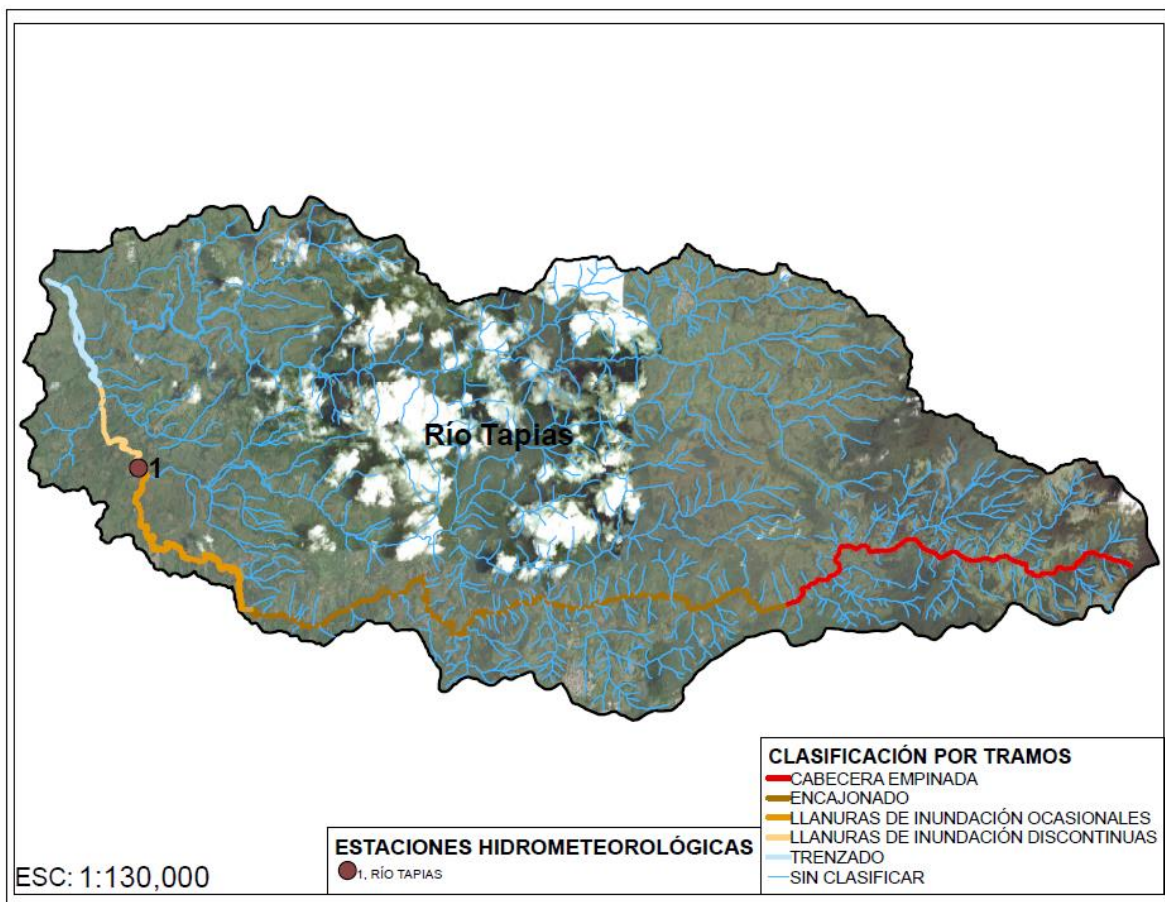


Figura 218. Clasificación cuenca del río Tapias

- **Río Pozo:** El río Pozo se clasifica en tres tramos diferentes (**Figura 219**). La parte alta de la cuenca es de cabecera empinada, hasta la vereda San Pablo del municipio de Salamina (Caldas) donde el río tiene características de cauce encajonado; en el punto

donde se unen el río Pozo y el río Chambery el cauce es trezado, gracias no sólo a la topografía sino también a que el cauce deposita gran cantidad de sedimentos en este tramo, y esta clasificación se mantiene hasta su desembocadura en el río Cauca.

Tabla 59. Parámetros de la clasificación por tramos - cuenca del río Pozo

Río /Quebrada	Tramo	Tipo de valle	Número de canales	Sinuosidad	Rango de pendiente
Pozo	Nacimiento - Vereda San Pablo	Confinado	1	1.08	0.20 - 0.15
	Vereda San Pablo - Salamina	Confinado	1	1.10	0.15 - 0.10
	Salamina - río Chambery	No confinado	3	1.24	0.08 - 0.06

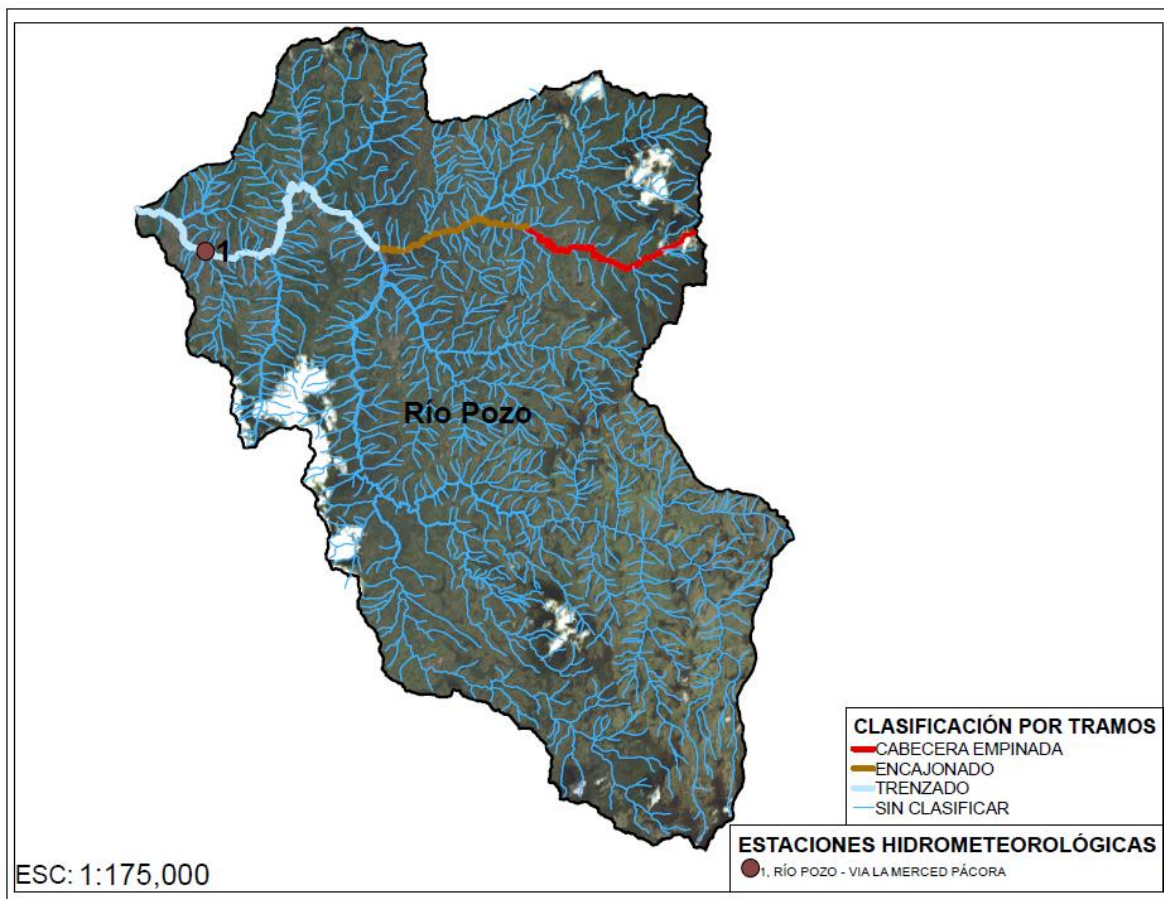


Figura 219. Clasificación cuenca del río Pozo



- Río Pácora:** La topografía de la cuenca del río Pácora es variada, como se puede ver en el mapa de la **Figura 220**. El río nace en la vereda Las Coles del Municipio de Pácora (Caldas) como un cauce de cabecera empinada, 2 kilómetros más adelante dentro de la misma vereda su clasificación cambia por un tramo encajonado. A la entrada del municipio de Pácora (Caldas) el río entra en un valle con llanuras de inundación ocasionales que se extiende hasta el sector del Paraíso, donde nuevamente la topografía obliga al cauce a encajonarse; más adelante, en la vereda Viboral del municipio de Aguadas (Caldas) el cauce recorre un tramo corto con llanuras de inundación discontinuas en ambas márgenes, para luego nuevamente encajonarse hasta la vereda El Jordán; en este punto y a pesar de que la topografía es pronunciada el río se comporta como un cauce trezado hasta cercanías a la vereda California donde, una vez más, la topografía de la cuenca hace que el río sea encajonado hasta su desembocadura en el río Cauca.

Tabla 60. Parámetros de la clasificación por tramos - cuenca del río Pácora

Río /Quebrada	Tramo	Tipo de valle	Número de canales	Sinuosidad	Rango de pendiente
Pácora	Nacimiento - Vereda las Coles	Confinado	1	1.03	0.20 - 0.15
	Vereda las Coles - Pácora	Confinado	1	1.02	0.20 - 0.15
	Pácora - El paraíso	Confinado	1	1.06	0.10 - 0.08
	El paraíso - El Viboral	Confinado	1	1.09	0.20 - 0.15
	El Viboral - El Jordán	Confinado	1	1.10	0.10 - 0.08
	El Jordán - California	No confinado	3	1.09	0.10 - 0.08
	California - Río Cauca	Confinado	1	1.16	0.08 - 0.04

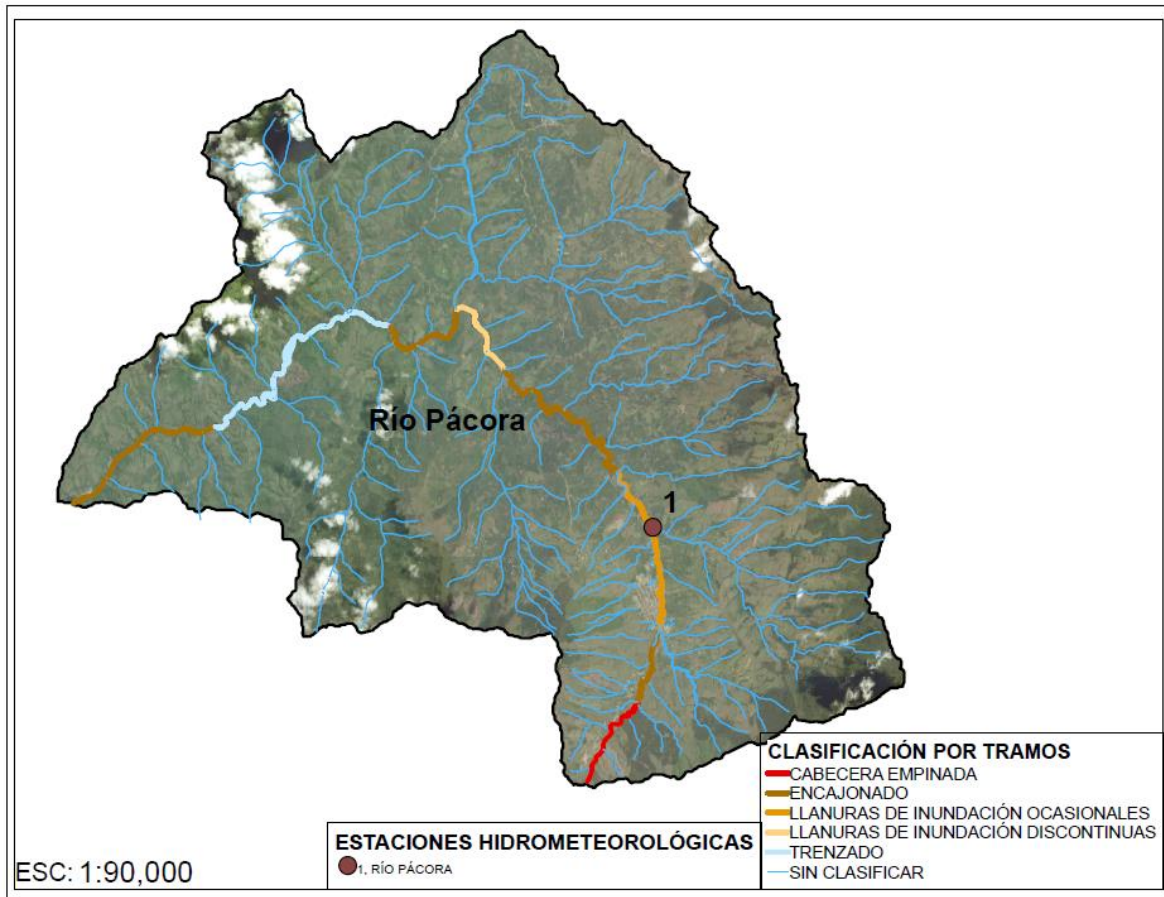


Figura 220. Clasificación cuenca del río Pácora

- **Río Supía:** En la **Figura 221**, se encuentra la clasificación del río Supía, que se caracteriza por tener una cabecera empinada desde su nacimiento y hasta la vereda la Palma, donde el río se comporta como un cauce encajonado hasta su encuentro con la quebrada Estancias. A partir de este punto el cauce se abre un poco más y permite la formación de llanuras de inundación discontinuas hasta su entrada en el municipio de Supía, mientras recorre el municipio se puede decir que el cauce es trezado para luego encajonarse nuevamente desde la salida del municipio de Supía y hasta aproximadamente 2km antes de su llegada al río Cauca, estos últimos 2Km el río presenta nuevamente llanuras de inundación discontinuas.

Tabla 61. Parámetros de la clasificación por tramos - cuenca del río Supía

Río /Quebrada	Tramo	Tipo de valle	Número de canales	Sinuosidad	Rango de pendiente
Supía	Nacimiento - Vereda la palma	Confinado	1	1.10	0.30 - 0.20
	Vereda la palma - Q. estancias	Confinado	1	1.11	0.20 - 0.10
	Q. Estancias - Supía	Parcialmente confinado	1	1.08	0.08 - 0.06
	Supía	No confinado	1	1.15	0.06 - 0.04
	Supía - 2 km antes del cauca	Confinado	1	1.05	0.06 - 0.04
	Río Cauca	Confinado	1	1.14	0.04 - 0.02

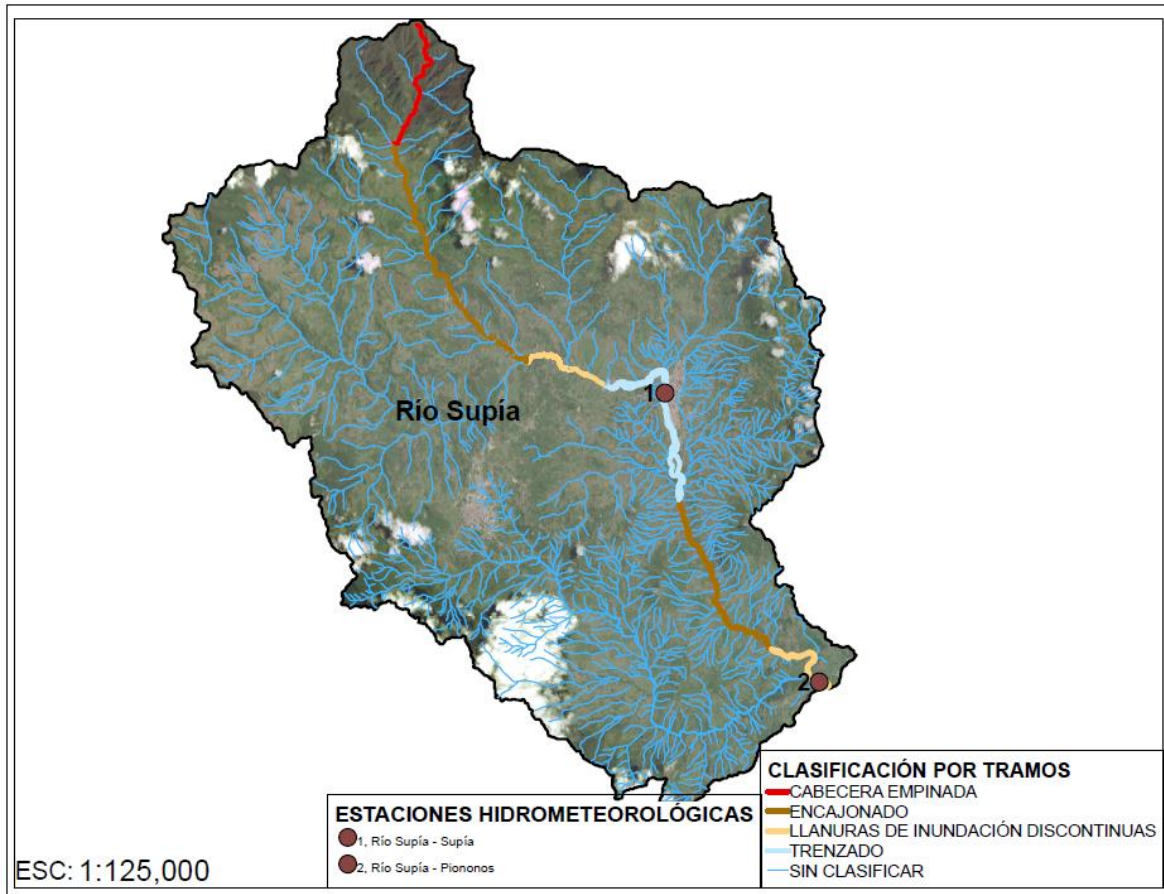


Figura 221. Clasificación cuenca del río Supía.

8. ANEXOS

ANEXO 1. Formatos para la realización de los aforos

ANEXO 2. Resultados de aforos

ANEXO 3. Registro fotográfico

9. REFERENCIAS

Davis, W. (1909). *The geographical cycle*. 14(5), 1–25.

[papers2://publication/uuid/BB964727-ECD7-4494-AE34-D239FCB0FE85](https://publication/uuid/BB964727-ECD7-4494-AE34-D239FCB0FE85)

Fryirs, Kirstie A., & Brierley, G. J. (2013). *geomorphic analysis of river systems* (1st ed.). Wiley-Blackwell.

Hersch, R. W. (2009). *Streamflow measurement*. Routledge.

IDEAM. (2007). *Protocolo para el monitoreo y seguimiento del agua*. Imprenta Nacional de Colombia.

IDEAM. (2013). *Zonificación y Codificación de unidades hidrográficas e hidrogeológicas de Colombia*.

<http://documentacion.ideam.gov.co/openbiblio/bvirtual/022655/022655.htm>

Leopold, L. B., & Maddock, T. J. (1953). The hydraulic geometry of stream channels and some physiographic implications. In *Professional Paper*.

<https://doi.org/10.3133/PP252>

Marbello Pérez, R. (2013). *MANUAL DE PRÁCTICAS DE LABORATORIO DE HIDRÁULICA UNIVERSIDAD NACIONAL DE COLOMBIA*.

Martínez Plata, J. Felipe. (2012). *Propagación de errores en cálculos hidrológicos con caudales obtenidos mediante curvas nivel - caudal construidas con una baja densidad de aforos líquidos*.

OMM. (2011). *Guía de prácticas hidrológicas: Vol. I (Sexta)*. Organización Meteorológica Mundial.

Perez Preciado, A. (1969). *Métodos para elaborar curvas de calibración en cauces aluviales*.

http://documentacion.ideam.gov.co/openbiblio/bvirtual/013609/metodos_elaborar_curvas.pdf



UNIVERSIDAD
NACIONAL
DE COLOMBIA



Posada García, L. (1994). *Hidráulica fluvial: transporte de sedimentos*. Universidad Nacional de Colombia. Facultad Nacional de Minas. Ingeniería civil.

Rosgen, D. L. (1994). A classification of natural rivers. *CATENA*, 22(3), 169–199.
[https://doi.org/10.1016/0341-8162\(94\)90001-9](https://doi.org/10.1016/0341-8162(94)90001-9)

Schumm, S. A. (1977). *The fluvial System*.

Shiklomanov, A. I., Yakovleva, T. I., Lammers, R. B., Karasev, I. P., Vörösmarty, C. J., & Linder, E. (2006). Cold region river discharge uncertainty-estimates from large Russian rivers. *Journal of Hydrology*, 326(1–4), 231–256.
<https://doi.org/10.1016/j.jhydrol.2005.10.037>